



มติครรภบุขของคณสันนา มติการลงคะแนนของครัวอ่อนเป็นการ
บริรวมอุทยาณแห่งชาติที่มุ่งกระสุรินทร์ จังหวัดพัชฯ

ข้อพิจิต ๘๙๔๒๕๗

วิทยานิพนธ์เรื่องต่ออมหน้าวิทยาด้วยรามคำแหง
เป็นส่วนหนึ่งของการศึกษาทางสังกฤตปริญญา
วิทยาศาสตรมหาบัณฑิต (ชีววิทยา)
ปีการศึกษา ๒๕๕๐

ผลการทบทวนคุณภาพสื่อนามมิตรต่อการลงทะเบียนของตัวอ่อนประกัน
บริเวณอุทัยานแห่งชาติหมู่เกาะสุรินทร์ จังหวัดพังงา

ชัยพิชิต แสงให้สุข

วิทยานิพนธ์เสนอต่อมหาวิทยาลัยรามคำแหง
เป็นส่วนหนึ่งของการศึกษาตามหลักสูตรปริญญา
วิทยาศาสตรมหาบัณฑิต (ชีววิทยา)
ปีการศึกษา 2550
ลิขสิทธิ์ของมหาวิทยาลัยรามคำแหง

THE IMPACT OF THE TSUNAMI ON CORAL RECRUITMENT AT
MU KOH SURIN NATIONAL PARK, PHANG NGA PROVINCE

CHAIPICHIT SAENGHAISUK

A THESIS PRESENTED TO RAMKHAMHAENG UNIVERSITY
IN PARTIAL FULFILLMENT OF THE REQUIREMENTS
FOR THE DEGREE OF MASTER OF SCIENCE
(BIOLOGY)

2007

CORYRIGHTED BY RAMKHAMHAENG UNIVERSITY

ชื่อเรื่องวิทยานิพนธ์ ผลกระทบของคลื่นสีนามิต่อการลงเกาของตัวอ่อนปะการัง
บริเวณอุทยานแห่งชาติหมู่เกาะสุรินทร์ จังหวัดพังงา

ชื่อผู้เขียน นายชัยพิชิต แสงให้สุข

ภาควิชาและคณะ ภาควิชาชีววิทยา คณะวิทยาศาสตร์
คณะกรรมการที่ปรึกษาวิทยานิพนธ์

อาจารย์ ดร. ธรรมศักดิ์ ยีมิน

ประธานกรรมการ

รองศาสตราจารย์ ดร. สุทธศน์ สุบินประเสริฐ

รองศาสตราจารย์สุกาวดี จุลละศร

มหาวิทยาลัยรามคำแหงอนุมัติให้วิทยานิพนธ์ฉบับนี้เป็นส่วนหนึ่งของการศึกษา^{น'}
ตามหลักสูตรปริญญามหาบัณฑิต

คณบดีบัณฑิตวิทยาลัย

(ผู้ช่วยศาสตราจารย์พิมล พุพิพิธ)

คณะกรรมการสอบวิทยานิพนธ์

ประธานกรรมการ

(อาจารย์ ดร. ธรรมศักดิ์ ยีมิน)

กรรมการ

(รองศาสตราจารย์ ดร. สุทธศน์ สุบินประเสริฐ)

กรรมการ

(รองศาสตราจารย์สุกาวดี จุลละศร)

บทคัดย่อ

ชื่อเรื่องวิทยานิพนธ์ ผลกระทบของคลื่นสีนามิต่อการลงทะเบียนตัวอ่อนประการง
บริเวณอุทบยานแห่งชาติหมู่เกาะสุรินทร์ จังหวัดพังงา

ชื่อผู้เขียน นายชัยพิชิต แสงใหสุข

ชื่อปริญญา วิทยาศาสตรมหาบัณฑิต

สาขาวิชา ชีววิทยา

ปีการศึกษา 2550

คณะกรรมการที่ปรึกษาวิทยานิพนธ์

1. อาจารย์ ดร. ธรรมศักดิ์ ยิมิน

ประธานกรรมการ

2. รองศาสตราจารย์ ดร. สุทธัน พุฒินประเสริฐ

3. รองศาสตราจารย์ สุภาวดี จุลละศร

การศึกษาโครงสร้างและการลงทะเบียนตัวอ่อนบริเวณแนวประการงในเขตอุทบยานแห่งชาติหมู่เกาะสุรินทร์ จังหวัดพังงา ซึ่งมีความหลากหลายของประการงและกลุ่มสัมมิชีวิตอื่น ๆ เป็นแหล่งท่องเที่ยวที่ได้รับความนิยมมากแห่งหนึ่งของประเทศไทย แต่ภายหลังจากเกิดภัยของคลื่นสีนามิในปี 2547 ทำให้แนวประการงในบางพื้นที่ได้รับความเสียหายเป็นอย่างมาก ฉะนั้นการศึกษานี้จึงมุ่งเน้นศึกษารูปแบบการลงทะเบียนและการเปลี่ยนแปลงของความหนาแน่นของตัวอ่อนประการงในพื้นที่แนวประการงที่ได้รับความเสียหายจากคลื่นสีนามิ รวมถึงความซับซ้อนของพื้นที่ที่ตัวอ่อนสามารถคงกรากเพื่อใช้เป็นฐานข้อมูลสำหรับการจัดการและการฟื้นฟูทรัพยากรแนวประการง โดยดำเนินการศึกษาตั้งแต่เดือนมกราคม 2547 ถึงพฤษภาคม 2549 คัวบัญชีศึกษาการลงทะเบียนตัวอ่อนประการงที่ลงเอยบนพื้นแนวประการงและจากการทดลองบนแผ่นกระเบื้องในธรรมชาติ

ผลการศึกษาพบว่าความหนาแน่นของตัวอ่อนประการงในบริเวณเกาะตอรินดา อ่าวพักกาด เกาะป่าชุมนา อ่าวเต่า อ่าวจาก อ่าวแม่ยาย เกาะสตอร์ค อ่าวไม้งาม และอ่าวสุเทพ หลังรับผลกระทบจากคลื่นสีนามิมีค่าลดลง $0.10, 0.44, 0.89, 0.33, 0.29, 0.90, 0.05, 0.41$

และ 0.09 โคลoniต่อตารางเมตร ตามลำดับ เนื่องจากพื้นที่ว่างที่มีตัวอ่อนลงเกาะถูกพัดพา ด้วยกระแสน้ำพัดพาหลุดออกจากแนวปะการัง สำหรับความหนาแน่นของตัวอ่อนที่ลงเกาะบนแผ่นกระเบื้อง พนว่ามีความแปรปรวนตามพื้นที่และถูกคุกคาม โดยปริมาณตัวอ่อนลงเกาะมากที่สุดในระหว่างเดือนกรกฎาคมถึงมีนาคม มีค่าเฉลี่ย 56.36 ± 12.59 โคลoniต่อตารางเมตร อัตราการลงเกาะของตัวอ่อนปะการังในบริเวณอ่าวจาก อ่าวแม่ยาย อ่าวสุเทพ อ่าวพักกาด และเกาะตอรินลา มีค่าเฉลี่ย $45.56 \pm 17.78, 36.05 \pm 12.01, 25.43 \pm 6.31, 34.57 \pm 13.58$ และ 35.39 ± 10.56 โคลoniต่อตารางเมตรต่อปี ตัวอ่อนปะการังชนิดเด่นที่พบเป็นสกุล *Acropora, Porites* และ *Pocillopora* นอกจากนี้ยังพบว่าการสร้างเซลล์สีบพันธุ์ ของโคลoniปะการังเขากวาง *Acropora formosa* ในธรรมชาตินิ่งตลอดทั้งปี โดยพบประมาณ $22.73\text{-}71.87\%$ ของโคลoniที่สำรวจ ส่วนความคงของไข่มีค่าเฉลี่ย 6.74 ± 0.38 ไข่ต่อโพลิป โดยมีแนวโน้มที่มีเซลล์ไข่พร้อมจะปล่อยสู่น้ำลงในช่วงเดือนกรกฎาคมถึงมีนาคมและเดือนกรกฎาคม

ผลการติดตามความเสียหายของสภาพแนวปะการังจากผลกระทบของคลื่นสึนามิ พบว่าการปักลุมของปะการังมีชีวิตคล่องเคลื่อนที่ประมาณ 25% ของพื้นที่แนวปะการัง รวมถึงเกิดการแตกหักและพลิกคว่ำของโคลoniปะการังเป็นจำนวนมากจากการกระแสน้ำทำให้แนวปะการังนี้พื้นที่ว่างในส่วนที่เป็นปะการังตายเพิ่มขึ้น เฉลี่ยร้อยละ 28.89 ของพื้นที่แนวปะการัง โดยปะการังที่ตายมีทั้งแบบกึ่งก้านและแบบก้อน ซึ่งมีความซับซ้อนของผิวโครงสร้าง ส่งผลให้ตัวอ่อนปะการังมีโอกาสเลือกลงเกาะมากกว่าพื้นที่ว่างประเภทอื่น ๆ แนวปะการังบริเวณหมู่เกาะสุรินทร์โดยเฉพาะที่อ่าวพักกาดและเกาะตอรินลา ซึ่งได้รับความเสียหายจากคลื่นสึนามิมาก จึงทำให้แนวปะการังมีสัดส่วนของพื้นที่ว่างมากขึ้น และแนวปะการังมีปริมาณตัวอ่อนที่ลงเกาะมากเพียงพอต่อการฟื้นตัวได้ตามธรรมชาติ

การใช้เทคนิคและวิธีการฟื้นฟูแนวปะการังนั้นควรศึกษาข้อมูลทางวิทยาศาสตร์ ในเชิงลึก เพื่อใช้ในกระบวนการตัดสินใจเลือกวิธีการฟื้นฟูแนวปะการังที่เหมาะสม ซึ่งมีข้อมูลที่มีความจำเป็นอยู่หลายประการ ได้แก่ สถานภาพของแนวปะการัง การสร้างเซลล์สีบพันธุ์ของปะการัง ความหนาแน่นตัวอ่อนของปะการังในพื้นที่ สัดส่วนของพื้นที่ว่าง ในแนวปะการัง สาเหตุและปัจจัยที่ทำให้แนวปะการังเสื่อม โกร姆 เป็นต้น ผลจากการศึกษา

นี้ให้ข้อมูลพื้นฐานที่จำเป็นสำหรับการวางแผนการจัดการแนวปะการังหมู่เกาะสุรินทร์

ABSTRACT

Thesis Title	The Impact of the Tsunami on Coral Recruitment at Mu Koh Surin National Park, Phang Nga Province
Student's Name	Mr. Chaipichit Saenghaisuk
Degree Sought	Master of Science
Major	Biology
Academic Year	2007
Advisory Committee	
1. Dr. Thamasak Yeemin	Chairperson
2. Assoc. Prof. Dr. Sutat Subinprasert	
3. Assoc. Prof. Supawadee Chullasorn	

This thesis is concerned with investigating the structure and coral recruitment of coral reefs at Mu Koh Surin National Park, Phang-Nga province, a place of high coral reef biodiversity and a popular tourist destination.

After the Indian Ocean tsunami in 2004, certain coral reef areas were severely damaged. The present study focuses on coral recruitment patterns, changes in juvenile colony density in damaged coral reefs and the complexity of available substrates for coral recruitment. It is hoped that this research will be used as a database for coral reef management and restoration. In carrying out this investigation, field observations of juvenile corals on natural substrates and settlement plate experiments were conducted in the period between January

2004 and May 2006.

Findings are as follows:

After the tsunami, densities of juvenile coral colonies at Koh Torinla, Ao Pakkaad, Koh Pachumba, Ao Tao, Ao Jaak, Ao Mae Yai, Koh Stock, Ao Mai Ngam and Ao Suthep decreased to 0.10, 0.44, 0.89, 0.33, 0.29, 0.90, 0.05, 0.41 and 0.09 colonies/m², respectively. This is because juvenile colonies on substrates were washed away by strong waves and currents.

Coral recruitment on settlement plate experiments varied by location and season. The peak of coral recruitment was in the January-March interval with an average of 56.36 ± 12.59 colonies/m². Coral recruitment rates at Ao Jaak, Ao Mae Yai, Ao Suthep, Ao Pakkaad and Koh Torinla were 45.56 ± 17.78 , 36.05 ± 12.01 , 25.43 ± 6.31 , 34.57 ± 13.58 and 35.39 ± 10.56 colonies/m²/year, respectively.

The dominant juvenile corals belong to the *Acropora*, *Porites* and *Pocillopora* species. Gametes in colonies of a branching coral, *Acropora formosa*, on the reefs were found all year round in 22.73-71.87 percent of the examined colonies. The average rate of fecundity was 6.74 ± 0.38 eggs/polyp. The spawning periods seemed to be in the period between January and July.

Monitoring coral reef conditions after the impact of the tsunami showed that live coral cover decreased by approximately 25 percent of the coral reef areas. Many coral colonies were broken and up-turned because of waves and currents resulting in an increase in dead coral cover at an average of 28.89 percent of coral reef areas.

There were both branching and massive dead coral colonies with high structural complexity that provided more available substrates for coral recruitment. The tsunami had a high impact on coral reefs at Mu Koh Surin, especially at Ao Pakkaad and Koh Torinla. However, as a consequence, these sites had more available substrates for coral recruitment, and the coral reef provided a large quantity of coral larvae beneficial to the process of natural reef recovery.

The application of coral reef restoration techniques and methods require sound scientific data for making decisions concerning methods. The required data include information concerning coral reef conditions, the sexual reproduction of corals, the density of juvenile coral colonies, available substrates for coral recruitment, causes of coral reef degradation, etc. The present study provides basic essential data for planning coral reef management at Mu Koh Surin.

กิตติกรรมประกาศ

วิทยานิพนธ์เล่มนี้ สำเร็จสมบูรณ์ได้ด้วยความกรุณาจาก อาจารย์ ดร. ธรรมศักดิ์ ยิมิน ประธานกรรมการที่ปรึกษาวิทยานิพนธ์ รองศาสตราจารย์ ดร. สุทัศน์ สุบินประเสริฐ และรองศาสตราจารย์สุกาวาดี จุลละศร กรรมการที่ปรึกษาที่ได้ให้คำปรึกษา แนะนำ ช่วยเหลือสนับสนุนในทุกด้าน พร้อมทั้งแก้ไขข้อบกพร่องต่างๆ ด้วยความเอาใจใส่ อย่างดียิ่งตลอดมา ผู้วิจัยจึงขอกราบขอบพระคุณเป็นอย่างสูงไว้ ณ โอกาสนี้

ขอขอบพระคุณภาควิชาชีววิทยา คณะวิทยาศาสตร์ มหาวิทยาลัยรามคำแหง ที่ได้ ให้ความอนุเคราะห์อุปกรณ์ดำเนินการเครื่องมือในการวิเคราะห์ข้อมูล หัวหน้าอุทายาน สมเกียรติ หลวงบำรง และคณะเจ้าหน้าที่อุทayan แห่งชาติหมู่เกาะสุรินทร์ ที่ได้อนุญาตให้ เข้าไปใช้พื้นที่ในการศึกษาและอำนวยความสะดวกด้านที่พัก กลุ่มวิจัยความหลากหลายทางชีวภาพในทะเลที่ช่วยเหลือในการปฏิบัติงานถ่ายภาพใน รวมถึงพื้นที่เพื่อน ฯ และ น้อง ฯ ในภาควิชาชีววิทยาและสาขาวิชาสิ่งแวดล้อม มหาวิทยาลัยรามคำแหงทุกคน ที่ เคยช่วยเหลือและเป็นกำลังใจที่ดีแก่ผู้วิจัยเสมอมา ตลอดระยะเวลาในการทำวิทยานิพนธ์

โครงการวิจัยนี้ได้รับทุนสนับสนุนจากโครงการพัฒนาองค์ความรู้และศึกษา นโยบายการจัดการทรัพยากรชีวภาพในประเทศไทย ซึ่งร่วมจัดตั้งโดยสำนักงานกองทุน สนับสนุนการวิจัยและศูนย์พันธุ์วิศวกรรมและเทคโนโลยีชีวภาพแห่งชาติ รหัส โครงการ BRT T_349012 โครงการสำรวจและประเมินผลกระทบจากเหตุการณ์ธรณีพิบัติภัยต่อ ทรัพยากรชีวภาพในทะเลอันดามัน จึงขอขอบพระคุณไว้ ณ โอกาสนี้

คุณค่าและประโยชน์อันเพียงคิดจากวิทยานิพนธ์เล่มนี้ ผู้วิจัยขออนเป็นเครื่องบูชา พระคุณของบิความรู้ ครูอาจารย์ และผู้มีพระคุณทุกท่านด้วยความเคารพ

ชัยพิชิต แสงให้สุข

สารบัญ

	หน้า
บทคัดย่อภาษาไทย	(4)
บทคัดย่อภาษาอังกฤษ.....	(7)
กิตติกรรมประกาศ.....	(10)
สารบัญตาราง.....	(15)
สารบัญภาพประกอบ.....	(20)
บทที่	
1 บทนำ.....	1
ความเป็นมาและความสำคัญของปัญหา.....	1
วัตถุประสงค์.....	2
สมมติฐาน.....	3
ขอบเขตของการวิจัย.....	3
นิยามศัพท์เฉพาะ.....	3
ประโยชน์ที่คาดว่าจะได้รับ.....	5
2 วรรณกรรมที่เกี่ยวข้อง.....	6
สถานภาพแนวปัจจารังและความเสี่ยง.....	6
ลำดับทางอนุกรมวิธาน.....	13
ชีวิทยาของปัจจารัง.....	13
ลักษณะทั่วไปของปัจจารัง.....	13
การสืบพันธุ์.....	15
การลงเกาของตัวอ่อนปัจจารัง.....	23
การพื้นฟูแนวปัจจารัง.....	26

บทที่	หน้า
3 วิธีดำเนินการวิจัย.....	29
สถานที่ทำการศึกษา.....	29
โครงสร้างของประชามนปะการัง.....	34
องค์ประกอบของแนวปะการัง.....	34
การสร้างเซลล์สีบพันธุ์และความคงของไข่.....	37
การลงเกาของตัวอ่อนปะการังในธรรมชาติ.....	40
การเปลี่ยนแปลงของความหนาแน่นตัวอ่อนปะการัง (juvenile coral) และความหลากหลายของชนิดปะการังที่ลงเกา บริเวณแนวปะการังหลังจากได้รับผลกระทบจากคลื่นสึนามิ.....	40
ความหนาแน่นของตัวอ่อนปะการัง (juvenile coral) ที่ลงเกาเฉพาะ บนพื้นที่ที่มีศักยภาพ (substrate) ในแนวปะการังธรรมชาติ.....	40
การศึกษาระบanism การลงเกาตัวอ่อนปะการังลงเกาบนแผ่น- กระเบื้อง และสิ่งมีชีวิตชนิดอื่น ๆ จากการทดลองในภาชนะ (settlement plate experiment).....	42
ความซับซ้อนของพื้นที่ที่มีศักยภาพต่อการลงเกา ของตัวอ่อนปะการังบนพื้นแนวปะการังหมู่เกาะสุรินทร์.....	44
เครื่องมือและอุปกรณ์ที่ใช้ในงานวิจัย.....	45
4 ผลการศึกษา.....	46
โครงสร้างประชามนปะการัง.....	46
การสร้างเซลล์สีบพันธุ์และความคงของไข่ปะการัง.....	66
การสร้างเซลล์สีบพันธุ์.....	66
ความคงของไข่และขนาดของไข่ปะการัง.....	70
การเปลี่ยนแปลงของปริมาณประชากรตัวอ่อนปะการัง (juvenile corals) และความหลากหลายของชนิดปะการังลงเกาบริเวณแนวปะการังหลัง จากแนวปะการังได้รับผลกระทบจากคลื่นสึนามิ.....	81

การเปลี่ยนแปลงความหนาแน่นของตัวอ่อนปะการังที่ลงเกาะในแนวปะการัง.....	81
ขอบเขตการลงเกาะของตัวอ่อนปะการังในแนวปะการัง.....	85
การลงเกาะของตัวอ่อนปะการังบนพื้นธรรมชาติ.....	102
ความหนาแน่นของตัวอ่อน (juvenile corals) ที่ลงเกาะเฉพาะบนพื้นว่างที่มีศักยภาพ (substrate) ต่อการเจริญเติบโตของตัวอ่อนปะการังในธรรมชาติ.....	107
ตัวอ่อนปะการังที่ลงเกาะบนพื้นว่างในแนวปะการังที่มีเส้นผ่าแน่นยื่นของตัวอ่อนปะการังตั้งแต่เมื่อเห็นด้วยตาเปล่าจนถึงขนาด 5 เซนติเมตร.....	108
ตัวอ่อนปะการังที่ลงเกาะใหม่บนพื้นว่างในธรรมชาติที่มีขนาดเส้นผ่านศูนย์กลางของตัวอ่อนปะการังน้อยกว่า 0.5 เซนติเมตร.....	130
การเปรียบเทียบความหนาแน่นและการแพร่กระจายของตัวอ่อนปะการังจากศึกษาวิธีต่าง ๆ ในพื้นที่แนวปะการังอุทยานแห่งชาติหมู่เกาะสุรินทร์.....	136
ตัวอ่อนปะการังในมวลน้ำทะเล.....	139
ตัวอ่อนปะการังในมวลน้ำทะเลบริเวณหมู่เกาะสุรินทร์.....	139
การเปรียบเทียบปริมาณตัวอ่อนปะการังระหว่างกลุ่ม Broadcasting species และ Brooding species ในแนวปะการัง.....	141
รูปแบบการลงเกาะตัวอ่อนปะการังบนแผ่นกระเบื้องในตำแหน่งการวางที่แตกต่างกัน.....	141
การลงเกาะของสิ่งมีชีวิตอื่น ๆ บนแผ่นกระเบื้อง.....	156
ลักษณะของพื้นว่างที่ตัวอ่อนปะการังเลือกลงเกาะบริเวณแนวปะการังหมู่เกาะสุรินทร์.....	161

บทที่	หน้า
5 สรุป อภิปรายผล และข้อเสนอแนะ.....	164
สรุปและอภิปรายผลการศึกษา.....	164
โครงสร้างของแนวปะการังและความเสียหายจากคลื่นสึนามิ.....	164
การสร้างเซลล์สีบพันธุ์และความคงของไช่ปะการังในธรรมชาติ....	166
การลงเกาะของตัวอ่อนและการเปลี่ยนแปลงของตัวอ่อนจาก คลื่นสึนามิ.....	169
ตัวอ่อนปะการังในมวลน้ำทะเลบริเวณอุทยานแห่งชาติหมู่เกาะ สุรินทร์.....	171
ความซับซ้อนของพื้นว่าที่มีความสำคัญต่อศักยภาพของการลงเกาะ ของตัวอ่อนปะการังและการฟื้นตัวของแนวปะการังหมู่เกาะสุรินทร์	174
ข้อเสนอแนะ.....	176
ภาคผนวก.....	178
บรรณานุกรม.....	192
ประวัติผู้เขียน.....	209

สารบัญตาราง

ตาราง	หน้า
1 องค์ประกอบของการปักคลุมแนวปะการังที่ทำการสำรวจบนเส้นทางศึกษา ในช่วงเวลา ก่อน และหลังเหตุการณ์คลื่นสึนามิ บริเวณเกาะสตอร์ค.....	48
2 องค์ประกอบของการปักคลุมแนวปะการังที่ทำการสำรวจบนเส้นทางศึกษา ในช่วงเวลา ก่อน และหลังเหตุการณ์คลื่นสึนามิ บริเวณอ่าวจาก เกาะสุรินทร์เหนือ.....	50
3 องค์ประกอบของการปักคลุมแนวปะการังที่ทำการสำรวจบนเส้นทางศึกษา ในช่วงเวลา ก่อน และหลังเหตุการณ์คลื่นสึนามิ บริเวณอ่าวแม่ยาย เกาะสุรินทร์เหนือ.....	52
4 องค์ประกอบของการปักคลุมแนวปะการังที่ทำการสำรวจบนเส้นทางศึกษา ในช่วงเวลา ก่อน และหลังเหตุการณ์คลื่นสึนามิ บริเวณอ่าวไม้จาน เกาะสุรินทร์เหนือ.....	54
5 องค์ประกอบของการปักคลุมแนวปะการังที่ทำการสำรวจบนเส้นทางศึกษา ในช่วงเวลา ก่อน และหลังเหตุการณ์คลื่นสึนามิ บริเวณเกาะป่าขุนба.....	56
6 องค์ประกอบของการปักคลุมแนวปะการังที่ทำการสำรวจบนเส้นทางศึกษา ในช่วงเวลา ก่อน และหลังเหตุการณ์คลื่นสึนามิ บริเวณอ่าวสูเทพ เกาะสุรินทร์ใต้.....	58
7 องค์ประกอบของการปักคลุมแนวปะการังที่ทำการสำรวจบนเส้นทางศึกษา ในช่วงเวลา ก่อน และหลังเหตุการณ์คลื่นสึนามิ บริเวณอ่าวเต่า เกาะสุรินทร์ใต้.....	60
8 องค์ประกอบของการปักคลุมแนวปะการังที่ทำการสำรวจบนเส้นทางศึกษา ในช่วงเวลา ก่อน และหลังเหตุการณ์คลื่นสึนามิ บริเวณอ่าวผักกาด เกาะสุรินทร์ใต้.....	62

9 องค์ประกอบของการปักลูมแนวปะการังที่ทำการสำรวจบนเส้นทางศึกษา ในช่วงเวลา ก่อนและหลังเหตุการณ์คลื่นสึนามิ บริเวณเกาะตอรินดา.....	64
10 ค่าความคงและขนาดของไจ่ปะการัง <i>Acropora formosa</i> ในแต่ละสถานี ศึกษาระหว่างช่วงเดือนมีนาคม 2548 - พฤษภาคม 2549.....	73
11 การลงเกาะตัวอ่อนปะการังบนแผ่นกระเบื้องในตำแหน่งการวางที่ แตกต่างกันในระหว่างเดือนเมษายน 2548 - พฤษภาคม 2549.....	142
12 ค่าเฉลี่ยพื้นผิวหน้าสัมผัสของพื้นที่ว่างแต่ละประเภท (substrate) ที่มี ศักยภาพต่อการลงเกาะของตัวอ่อนปะการังในเขตแนวปะการังหมู่เกาะ สุรินทร์.....	163
13 การวิเคราะห์ด้วย Two-way ANOVA เปรียบเทียบปริมาณการสร้างเซลล์ สีบพันธุ์ระหว่างแต่ละพื้นที่และช่วงเวลาของปะการัง <i>Acropora formosa</i> ...	179
14 การวิเคราะห์ด้วย Two-way ANOVA เปรียบเทียบเปรียบเทียบความคง ของไจ่ระหว่างแต่ละพื้นที่และเวลาของปะการัง <i>Acropora formosa</i>	179
15 การวิเคราะห์ด้วย Two-way ANOVA เปรียบเทียบเปรียบเทียบขนาดของ ไจ่ระหว่างแต่ละพื้นที่และเวลาของปะการัง <i>Acropora formosa</i>	180
16 การวิเคราะห์ด้วย Two-way ANOVA เปรียบเทียบความเปลี่ยนแปลงความ หนาแน่นการลงเกาะของปะการังตัวอ่อน ในแต่ละพื้นที่ระหว่างช่วงเวลา ในพื้นที่หมู่เกาะสุรินทร์.....	180
17 การวิเคราะห์ด้วย Two-way ANOVA เปรียบเทียบความเปลี่ยนแปลงความ หนาแน่นการลงเกาะของปะการังตัวอ่อน ในแต่ละพื้นที่ระหว่างช่วงก่อน และหลังเกิดคลื่นสึนามิ.....	181
18 การวิเคราะห์ด้วย Two-way ANOVA เปรียบเทียบความเปลี่ยนแปลงความ หนาแน่นการลงเกาะของตัวอ่อนปะการังกลุ่ม Broadcasting species และ กลุ่ม Brooding species ในระหว่างช่วงก่อนและหลังเกิดคลื่นสึนามิ.....	181

19 การวิเคราะห์ด้วย Two-way ANOVA เปรียบเทียบความเปลี่ยนแปลงความ หนาแน่นการลงเกาของตัวอ่อนปะการังกลุ่ม Broadcasting species และ กลุ่ม Brooding species ในระหว่างพื้นที่กับช่วงเวลาที่ศึกษาในบริเวณ หมู่เกาะสุรินทร์.....	182
20 การวิเคราะห์ด้วย Two-way ANOVA เปรียบเทียบความเปลี่ยนแปลงการ ลงเกาของตัวอ่อนปะการังบนพื้นที่ว่าง (substrate) ในแต่ละพื้นที่.....	182
21 การวิเคราะห์ด้วย Two-way ANOVA เปรียบเทียบความเปลี่ยนแปลงของ ตัวอ่อนลงเกาของปะการังตัวอ่อนบนพื้นว่าง (substrate) ระหว่างช่วง ก่อนและหลังเกิดคลื่นสึนามิในบริเวณหมู่เกาะสุรินทร์.....	183
22 การวิเคราะห์ด้วย Two-way ANOVA เปรียบเทียบความหนาแน่นของ ตัวอ่อนปะการังลงเกาบนพื้นว่างที่มีศักยภาพต่อการลงเกาในธรรมชาติ ระหว่างในแต่ละพื้นที่และช่วงเวลาของหมู่เกาะสุรินทร์.....	183
23 การวิเคราะห์ด้วย Two-way ANOVA เปรียบเทียบความหนาแน่นของ ตัวอ่อนปะการังลงเกาบนพื้นว่างที่มีศักยภาพต่อการลงเกาในธรรมชาติ แต่ละพื้นที่ระหว่างก่อนและหลังคลื่นสึนามิในบริเวณหมู่เกาะสุรินทร์.....	184
24 การวิเคราะห์ด้วย Two-way ANOVA เปรียบเทียบขอบเขตการลงเกาของ ตัวอ่อนปะการังระหว่างกลุ่ม Broadcasting species และกลุ่ม Brooding species บนพื้นว่างที่ศักยภาพกับพื้นที่ในบริเวณหมู่เกาะสุรินทร์.....	184
25 การวิเคราะห์ด้วย Two-way ANOVA เปรียบเทียบรูปแบบการลงเกา ตัวอ่อนปะการังบนพื้นว่างประเภทต่าง ๆ ระหว่างพื้นที่.....	185
26 การวิเคราะห์ด้วย Two-way ANOVA เปรียบเทียบความเปลี่ยนแปลง รูปแบบการลงเกาตัวอ่อนปะการังบนพื้นว่างระหว่างช่วงก่อนและหลัง เกิดคลื่นสึนามิในบริเวณหมู่เกาะสุรินทร์.....	185

27 การวิเคราะห์ด้วย Two-way ANOVA เปรียบเทียบความหนาแน่นของตัวอ่อนประการังลงเกาะใหม่บนพื้นว่างระหว่างในแต่ละพื้นที่และช่วงเวลาศึกษา.....	186
28 การวิเคราะห์ด้วย Two-way ANOVA เปรียบเทียบของเขตของตัวอ่อนประการังที่ลงเกาะใหม่ของกลุ่ม Broadcasting species และกลุ่ม Brooding species ระหว่างแต่ละพื้นที่.....	186
29 การวิเคราะห์ด้วย Two-way ANOVA เปรียบเทียบรูปแบบการลงเกาะใหม่ของตัวอ่อนประการังบนพื้นว่างประเภทต่าง ๆ ระหว่างพื้นที่.....	187
30 การวิเคราะห์ด้วย Two-way ANOVA เปรียบเทียบพื้นที่ว่างในการลงเกาะของตัวอ่อนประการังทั้ง 3 ขนาดพื้นที่ของพื้นที่ศึกษา.....	187
31 การวิเคราะห์ด้วย Two-way ANOVA เปรียบเทียบความหนาแน่นของตัวอ่อนประการังที่ลงเกาะบนแผ่นกระเบื้องระหว่างแต่ละพื้นที่ได้รับผลกระทบจากคลื่นสึนามิและช่วงเวลาที่ศึกษา.....	188
32 การวิเคราะห์ด้วย Two-way ANOVA เปรียบเทียบการลงเกาะบนแผ่นกระเบื้องระหว่างชนิดตัวอ่อนประการังและพื้นที่ได้รับผลกระทบจากคลื่นสึนามิ.....	188
33 การวิเคราะห์ด้วย Two-way ANOVA เปรียบเทียบการลงเกาะบนแผ่นกระเบื้องระหว่างชนิดตัวอ่อนประการังและช่วงเวลาที่ศึกษา.....	189
34 การวิเคราะห์ด้วย Two-way ANOVA ของเขตของตัวอ่อนประการังที่ลงเกาะของบนแผ่นกระเบื้องกลุ่ม Broadcasting species และกลุ่ม Brooding species ระหว่างแต่ละพื้นที่.....	189
35 การวิเคราะห์ด้วย Two-way ANOVA ของเขตของตัวอ่อนประการังที่ลงเกาะของบนแผ่นกระเบื้องกลุ่ม Broadcasting species และกลุ่ม Brooding species ระหว่างแต่ละพื้นที่.....	190

36 การวิเคราะห์ด้วย Two-way ANOVA เปรียบเทียบความหนาแน่นของตัวอ่อนที่ลงเกะบันแผ่นกระเบื้องระหว่างตำแหน่งที่แตกต่างกันกับช่วงเวลาที่ศึกษา.....	190
37 การวิเคราะห์ด้วย One-way ANOVA เปรียบเทียบพื้นผิวน้ำสัมผัสของพื้นที่ว่างแต่ละประเภท (substrate) ที่มีศักยภาพต่อการลงเกาะของตัวอ่อนปะการังในเขตแนวปะการังหมู่เกาะสูรินทร์.....	191

สารบัญภาพประกอบ

ภาพ	หน้า
1 การกระจายของความเวลาและความเร็วคลื่นของแพ่นดิน ให้จากเกาะสูมาตราต่อการเกิดคลื่นสึนามิในเขตมหาสมุทรอินเดีย ในวันที่ 26 ธันวาคม 2547.....	9
2 ลักษณะการเปลี่ยนแปลงรูปแบบของความยาวช่วงคลื่นก่อนเข้าปะทะตามแนวชายฝั่งและช่วงคลื่นจากนอกชายฝั่งที่กำลังเคลื่อนตัวเป็นแนวตั้งจากปะทะเข้าหาแนวชายฝั่ง.....	10
3 ภาพถ่ายดาวเทียมแสดงสถานภาพการปักกลุ่มพื้นที่ของปะการังมีชีวิตในพื้นที่หมู่เกาะสุรินทร์ก่อนเกิดคลื่นสึนามิ.....	11
4 ภาพถ่ายดาวเทียมแสดงสถานภาพการปักกลุ่มพื้นที่ของปะการังมีชีวิตในพื้นที่หมู่เกาะสุรินทร์หลังเกิดคลื่นสึนามิ.....	12
5 ลักษณะทางกายวิภาคของตัวปะการัง.....	16
6 สำรวจเชลล์เดียวชูแซนเทลลี (zooxanthellae) จำนวนมากในชี้้นของเนื้อยื่อ (ภาพตัดขวางของเนื้อยื่อปะการัง) ปะการังเขากวาง (<i>Acropora millepora</i>) ที่มีร่องวัตถุต่าง ๆ ที่ช่วยในการสัมเคราะห์แสงและทำให้มีสีสันที่แตกต่างกันให้แก่ปะการัง.....	17
7 แสดงอาณานิคมพื้นที่อุทยานแห่งชาติหมู่เกาะสุรินทร์ จังหวัดพังงา.....	35
8 สถานภาพแนวปะการังและสถานีศึกษาพื้นที่ศึกษาริเวณอุทยานแห่งชาติหมู่เกาะสุรินทร์ จังหวัดพังงา.....	36
9 การถ่ายภาพบนเส้นเทป (video techniques) เพื่อศึกษาโครงสร้างปะการัง.....	37
10 วิธีศึกษาการสึนามิและความดกของไข่ปะการัง.....	39
11 การสำรวจตัวอ่อนปะการังด้วยวิธี Belt transect ในพื้นที่ศึกษา.....	41

12 การสำรวจด้วยวิธีการส่องประกายที่มีขนาดเล็กกว่า 0.5 เซนติเมตร ในภาคสนามด้วยวิธีการสู่มเลือกบนพื้นที่ว่าง (quadrat ขนาด 0.20×0.20 เมตร).....	42
13 Settlement plate experiment: ฐานเหล็กของรับแผ่นกระเบื้องขนาด 15×15 เซนติเมตร วางในแนวอน แนวคั่ง และแนวเฉียง ในพื้นที่ศึกษา.....	43
14 การศึกษาข้อมูลตัวอย่างบนกระเบื้องหินที่นำมาจากพื้นที่ศึกษา.....	43
15 การวัดความยาวพื้นผิวหน้าสัมผัสขององค์ประกอบบนแนวปะการังเพื่อศึกษาความซับซ้อนของโครงสร้างแต่ละประเภทของพื้นทะเล.....	44
16 ความเสียหายของแนวปะการังของหมู่เกาะสุรินทร์หลังได้รับผลกระทบจากเหตุการณ์คลื่นสึนามิที่เกิดขึ้นวันที่ 26 เดือนธันวาคม 2547.....	47
17 การปักกลุ่มพื้นที่ของปะการังมีชีวิตชนิดต่าง ๆ บริเวณเกาะสตอร์ค.....	49
18 การปักกลุ่มพื้นที่ของปะการังมีชีวิตชนิดต่าง ๆ บริเวณอ่าวจากเกาะสุรินทร์เหนือ.....	51
19 การปักกลุ่มพื้นที่ของปะการังมีชีวิตชนิดต่าง ๆ บริเวณอ่าวแม่ยาย เกาะสุรินทร์เหนือ.....	53
20 การปักกลุ่มพื้นที่ของปะการังมีชีวิตชนิดต่าง ๆ บริเวณอ่าวไม้งาน เกาะสุรินทร์เหนือ.....	55
21 การปักกลุ่มพื้นที่ของปะการังมีชีวิตชนิดต่าง ๆ บริเวณเกาะป่าชุมนา.....	57
22 การปักกลุ่มพื้นที่ของปะการังมีชีวิตชนิดต่าง ๆ บริเวณอ่าวสุเทพ เกาะสุรินทร์ใต้.....	59
23 การปักกลุ่มพื้นที่ของปะการังมีชีวิตชนิดต่าง ๆ บริเวณอ่าวเต่า เกาะสุรินทร์ใต้.....	61
24 การปักกลุ่มพื้นที่ของปะการังมีชีวิตชนิดต่าง ๆ บริเวณอ่าวผักกาด เกาะสุรินทร์ใต้.....	63
25 การปักกลุ่มพื้นที่ของปะการังมีชีวิตชนิดต่าง ๆ บริเวณเกาะตอรินลา.....	65

26 ไข่ (oocyte) ที่อยู่ภายในโพลิปของปะการังเขากวาง <i>Acropora formosa</i> ที่พับในเดือนมีนาคม 2548.....	67
27 ไข่ (oocyte) จำนวนมากของ <i>Acropora formosa</i> ในแต่ละโพลิป.....	67
28 โพลิปของปะการัง <i>Acropora formosa</i> ที่กำจัดหินปูนออกและมีการสร้างเซลล์สีบพันธุ์ ในช่วงเดือนมีนาคม 2548.....	68
29 ภาพตามยาวของโพลิปปะการัง <i>Acropora formosa</i> สามารถมองเห็นไข่ (oc) ที่มี nucleus (nu) อยู่ภายใน และมีถุง sperm sacs อยู่รอบข้าง ในช่วงเดือนมีนาคม 2548.....	68
30 ภาพตามยาวของโพลิปปะการัง <i>Acropora formosa</i> สามารถมองเห็นไข่ (oc) ที่มี nucleus (nu) อยู่บริเวณกลางไข่ และมีถุง sperm sacs รอบ ๆ ของช่วงเดือนมีนาคม 2548.....	69
31 ขนาดของไข่ที่พับในเดือนมีนาคม 2548 ที่มีขนาดใหญ่ที่สุด บริเวณหมู่เกาะสุรินทร์.....	69
32 จำนวนโคลนิปปะการัง <i>Acropora formosa</i> ที่มีการสร้างเซลล์สีบพันธุ์ บริเวณหมู่เกาะสุรินทร์ ในช่วงเดือนมีนาคม 2548 - พฤษภาคม 2549.....	70
33 ความคง (mean \pm SE) ของไข่ปะการัง <i>Acropora formosa</i> ในบริเวณแนวปะการังหมู่เกาะสุรินทร์ ในระหว่างช่วงเดือนมีนาคม 2548 - พฤษภาคม 2549.....	71
34 ขนาดเส้นผ่าศูนย์กลาง (mean \pm SE) ของไข่ปะการัง <i>Acropora formosa</i> บริเวณแนวปะการังหมู่เกาะสุรินทร์ ในช่วงเดือนมีนาคม 2548 - พฤษภาคม 2549.....	72
35 ความถี่ของเส้นผ่านศูนย์กลางของไข่ปะการัง <i>Acropora formosa</i> ในบริเวณหมู่เกาะสุรินทร์ ในช่วงเดือนมีนาคม 2548 - พฤษภาคม 2549.....	75
36 ความถี่ของเส้นผ่านศูนย์กลางของไข่ปะการัง <i>Acropora formosa</i> บริเวณอ่าวจาก ในช่วงเดือนมีนาคม 2548 - พฤษภาคม 2549.....	76

37 ความถี่ของเส้นผ่านศูนย์กลางของไข่ปะการัง <i>Acropora formosa</i> บริเวณ อ่าวแม่ยาย ในช่วงเดือนมีนาคม 2548 - พฤษภาคม 2549.....	77
38 ความถี่ของเส้นผ่านศูนย์กลางของไข่ปะการัง <i>Acropora formosa</i> บริเวณ อ่าวสุเทพ ในช่วงเดือนมีนาคม 2548 - พฤษภาคม 2549.....	78
39 ความถี่ของเส้นผ่านศูนย์กลางของไข่ปะการัง <i>Acropora formosa</i> บริเวณ อ่าวพักกาด ในช่วงเดือนมีนาคม 2548 - พฤษภาคม 2549.....	79
40 ความถี่ของเส้นผ่านศูนย์กลางของไข่ปะการัง <i>Acropora formosa</i> บริเวณ เกาะตอรินลา ในช่วงเดือนมีนาคม 2548 - พฤษภาคม 2549.....	80
41 ชนิดของตัวอ่อนปะการังในพื้นที่อุทยานแห่งชาติหมู่เกาะสุรินทร์.....	86
42 ความหนาแน่นตัวอ่อนปะการังที่ลงเกาะบนพื้นที่แนวปะการังของหมู่เกาะ สุรินทร์ (สำหรับในเดือนธันวาคม 2550 ได้ทำการสำรวจเพียง 5 พื้นที่).....	90
43 ความหนาแน่นของชนิดตัวอ่อนปะการัง บริเวณเกาะสตอร์ค.....	91
44 ความหนาแน่นของชนิดตัวอ่อนปะการัง บริเวณอ่าวจาก เกาะสุรินทร์เหนือ	92
45 ความหนาแน่นของชนิดตัวอ่อนปะการัง บริเวณอ่าวแม่ยาย เกาะสุรินทร์ เหนือ.....	93
46 ความหนาแน่นของชนิดตัวอ่อนปะการัง บริเวณอ่าวไม้งาม เกาะสุรินทร์ เหนือ.....	94
47 ความหนาแน่นของชนิดตัวอ่อนปะการัง บริเวณเกาะป่าชุมนา.....	95
48 ความหนาแน่นของชนิดตัวอ่อนปะการัง บริเวณอ่าวสุเทพ เกาะสุรินทร์ใต้.....	96
49 ความหนาแน่นของชนิดตัวอ่อนปะการัง บริเวณอ่าวเต่า เกาะสุรินทร์ใต้.....	97
50 ความหนาแน่นของชนิดตัวอ่อนปะการัง บริเวณอ่าวพักกาด เกาะสุรินทร์ใต้	98
51 ความหนาแน่นของชนิดตัวอ่อนปะการัง บริเวณเกาะตอรินลา.....	99
52 ขอบเขตการลงเกาะของตัวอ่อนปะการังระหว่างปะการังกลุ่มที่ปล่อยเซลล์ สีบพันธุ์ (broadcasting species) และกลุ่มปะการังที่ออกเป็นตัว (brooding species) ในบริเวณแนวปะการังของแต่ละพื้นที่.....	100

53 การลงเเกะของตัวอ่อนປະກັງບນໍິນທີ່ວ່າງໃນປະເທດຕ່າງໆ ໃນແນວປະກັງ ບຣິວັນເກາະສຕອຣົກ.....	103
54 การลงเກະຂອງຕັວອ່ອນປະກັງບນໍິນທີ່ວ່າງໃນປະເທດຕ່າງໆ ໃນແນວປະກັງ ບຣິວັນອ່າວຈາກ ເກະສຸຣິນທົມເໜືອ.....	103
55 การลงเກະຂອງຕັວອ່ອນປະກັງບນໍິນທີ່ວ່າງໃນປະເທດຕ່າງໆ ໃນແນວປະກັງ ບຣິວັນແມ່ຍາຍ ເກະສຸຣິນທົມເໜືອ.....	104
56 การลงเກະຂອງຕັວອ່ອນປະກັງບນໍິນທີ່ວ່າງໃນປະເທດຕ່າງໆ ໃນແນວປະກັງ ບຣິວັນອ່າວໄມ້ຈານ ເກະສຸຣິນທົມເໜືອ.....	104
57 การลงเກະຂອງຕັວອ່ອນປະກັງບນໍິນທີ່ວ່າງໃນປະເທດຕ່າງໆ ໃນແນວປະກັງ ບຣິວັນເກາະປາຊຸມນາ.....	105
58 การลงเກະຂອງຕັວອ່ອນປະກັງບນໍິນທີ່ວ່າງໃນປະເທດຕ່າງໆ ໃນແນວປະກັງ ບຣິວັນສຸເທພ ເກະສຸຣິນທົມໄຕ.....	105
59 การลงเກະຂອງຕັວອ່ອນປະກັງບນໍິນທີ່ວ່າງໃນປະເທດຕ່າງໆ ໃນແນວປະກັງ ບຣິວັນອ່າວເຕົາ ເກະສຸຣິນທົມ.....	106
60 การลงเກະຂອງຕັວອ່ອນປະກັງບນໍິນທີ່ວ່າງໃນປະເທດຕ່າງໆ ໃນແນວປະກັງ ບຣິວັນອ່າວພັກຄາດ ເກະສຸຣິນທົມໄຕ.....	106
61 การลงเກະຂອງຕັວອ່ອນປະກັງບນໍິນທີ່ວ່າງໃນປະເທດຕ່າງໆ ໃນແນວປະກັງ ບຣິວັນເກາະໂຄຣິນລາ.....	107
62 ຄວາມໜານແນ່ນຂອງຈຳນວນປະຈາກຕັວອ່ອນປະກັງທີ່ລັງເກະບນໍິນທີ່ ວ່າງຂອງແນວປະກັງຂອງໜູ່ເກະສຸຣິນທົມ ໃນຮະຫວ່າງເດືອນມកຣາມ 2547- ສັນວາມ 2549.....	112
63 ຄວາມໜານແນ່ນຂອງໜົນຶດຕັວອ່ອນປະກັງລັງເກະບນໍິນທີ່ວ່າງໃນແນວປະກັງ ບຣິວັນເກາະສຕອຣົກ.....	113
64 ຄວາມໜານແນ່ນຂອງໜົນຶດຕັວອ່ອນປະກັງລັງເກະບນໍິນທີ່ວ່າງໃນແນວປະກັງ ບຣິວັນອ່າວຈາກ ເກະສຸຣິນທົມເໜືອ.....	114

65 ความหมายของนิคตัวอ่อนปะการังลงเกะบันพื้นที่ว่างในแนวปะการังบริเวณอ่าวแม่ยาย เกาะสุรินทร์เหนือ.....	115
66 ความหมายของนิคตัวอ่อนปะการังลงเกะบันพื้นที่ว่างในแนวปะการังบริเวณอ่าวไม้จาม เกาะสุรินทร์เหนือ.....	116
67 ความหมายของนิคตัวอ่อนปะการังลงเกะบันพื้นที่ว่างในแนวปะการังบริเวณเกาะป่าชุมบาก.....	117
68 ความหมายของนิคตัวอ่อนปะการังลงเกะบันพื้นที่ว่างในแนวปะการังบริเวณอ่าวสุเทพ เกาะสุรินทร์ใต้.....	118
69 ความหมายของนิคตัวอ่อนปะการังลงเกะบันพื้นที่ว่างในแนวปะการังบริเวณอ่าวเต่า เกาะสุรินทร์ใต้.....	119
70 ความหมายของนิคตัวอ่อนปะการังลงเกะบันพื้นที่ว่างในแนวปะการังบริเวณอ่าวผักกาด เกาะสุรินทร์ใต้.....	120
71 ความหมายของนิคตัวอ่อนปะการังลงเกะบันพื้นที่ว่างในแนวปะการังบริเวณเกาะคอรินดา.....	121
72 ความหมายของตัวอ่อนปะการังในกลุ่มปะการังที่ปล่อยเซลล์สืบพันธุ์ (broadcasting species) และกลุ่มปะการังที่ออกลูกเป็นตัว (brooding species) ลงเกะบันพื้นที่ว่างบริเวณแนวปะการัง.....	122
73 พื้นที่ว่างที่มีศักยภาพต่อการลงเกะของตัวอ่อนปะการังและสิ่งมีชีวิตอื่น ๆ บริเวณเกาะสตอร์ค.....	125
74 พื้นที่ว่างที่มีศักยภาพต่อการลงเกะของตัวอ่อนปะการังและสิ่งมีชีวิตอื่น ๆ บริเวณอ่าวจาก เกาะสุรินทร์เหนือ.....	125
75 พื้นที่ว่างที่มีศักยภาพต่อการลงเกะของตัวอ่อนปะการังและสิ่งมีชีวิตอื่น ๆ บริเวณอ่าวแม่ยาย เกาะสุรินทร์เหนือ.....	126
76 พื้นที่ว่างที่มีศักยภาพต่อการลงเกะของตัวอ่อนปะการังและสิ่งมีชีวิตอื่น ๆ บริเวณอ่าวไม้จาม เกาะสุรินทร์เหนือ.....	126

77 พื้นที่ที่มีศักยภาพต่อการลงเกาของตัวอ่อนปะการังและสิ่งมีชีวิตอื่น ๆ บริเวณเกาะป่าชุมนา.....	127
78 พื้นที่ที่มีศักยภาพต่อการลงเกาของตัวอ่อนปะการังและสิ่งมีชีวิตอื่น ๆ บริเวณอ่าวสุเทพ เกาะสุรินทร์ใต้.....	127
79 พื้นที่ที่มีศักยภาพต่อการลงเกาของตัวอ่อนปะการังและสิ่งมีชีวิตอื่น ๆ บริเวณอ่าวเต่า เกาะสุรินทร์ใต้.....	128
80 พื้นที่ที่มีศักยภาพต่อการลงเกาของตัวอ่อนปะการังและสิ่งมีชีวิตอื่น ๆ บริเวณปะการังอ่าวพัคกากด เกาะสุรินทร์ใต้.....	128
81 พื้นที่ที่มีศักยภาพต่อการลงเกาของตัวอ่อนปะการังและสิ่งมีชีวิตอื่น ๆ บริเวณบริเวณเกาะตอรินลา.....	129
82 สิ่งมีชีวิตอื่น ๆ ที่ปกคลุมพื้นที่บริเวณแนวปะการังของหมู่เกาะสุรินทร์ในเดือนมีนาคม 2549.....	129
83 การลงเกาของตัวอ่อนปะการังขนาดเส้นผ่าศูนย์กลางน้อยกว่า 0.50 เซนติเมตร.....	132
84 การลงเกาของตัวอ่อนปะการังชนิดต่าง ๆ บริเวณแนวปะการังบริเวณหมู่เกาะสุรินทร์ในเดือนมกราคม 2549.....	133
85 การลงเกาของตัวอ่อนปะการังชนิดต่าง ๆ บริเวณแนวปะการังบริเวณหมู่เกาะสุรินทร์ในเดือนมีนาคม 2549.....	133
86 การลงเกาของปะการังกลุ่ม Broadcasting species และปะการังกลุ่ม Brooding species บริเวณหมู่เกาะสุรินทร์ในเดือนมกราคม-มีนาคม 2549....	134
87 ความหนาแน่นของตัวอ่อนปะการังที่บนพื้นที่ที่มีศักยภาพต่อการลงเกาในเดือนมกราคม 2549.....	134
88 ความหนาแน่นของตัวอ่อนปะการังที่บนพื้นที่ที่มีศักยภาพต่อการลงเกาในเดือนมีนาคม 2549.....	135

89 ความหลากหลายของกลุ่มสิ่งมีชีวิตอื่น ๆ ที่เข้ามาเก่งแย่งพื้นที่การลงเกะของตัวอ่อนปะการังในเดือนกรกฎาคม 2549.....	135
90 ความหลากหลายของกลุ่มสิ่งมีชีวิตอื่น ๆ ที่เข้ามาเก่งแย่งพื้นที่การลงเกะของตัวอ่อนปะการังในเดือนมีนาคม 2549.....	136
91 ความหนาแน่น และการเพร่กระจายของตัวอ่อนปะการัง บริเวณแนวปะการังหมู่เกาะสุรินทร์.....	138
92 ชนิดของตัวอ่อนปะการังในพื้นที่อุทยานแห่งชาติหมู่เกาะสุรินทร์.....	143
93 โครงสร้างของตัวอ่อนปะการังจากกล้องจุลทรรศน์อิเล็กตรอนแบบสแกนหรือ SEM (Scanning Electron Microscope).....	146
94 อัตราการลงเกะตัวอ่อนปะการัง (ทุกชนิด) บนแผ่นกระเบื้องจาก 5 สถานีศึกษา ในบริเวณแนวปะการังหมู่เกาะสุรินทร์ตามระดับความรุนแรงจากอิทธิพลคลื่นสีนามิในช่วงเดือนเมษายน 2548 - พฤษภาคม 2549.....	148
95 ความหนาแน่นของตัวอ่อนปะการังที่ลงเกะบนแผ่นกระเบื้องตามช่วงเวลาที่ศึกษาบริเวณอ่าวจาก เกาะสุรินทร์เหนือ.....	149
96 ความหนาแน่นของตัวอ่อนปะการังที่ลงเกะบนแผ่นกระเบื้องตามช่วงเวลาที่ศึกษาบริเวณอ่าวแม่ยาย เกาะสุรินทร์เหนือ.....	150
97 ความหนาแน่นของตัวอ่อนปะการังที่ลงเกะบนแผ่นกระเบื้องตามช่วงเวลาที่ศึกษาบริเวณอ่าวสุเทพ เกาะสุรินทร์ใต้.....	151
98 ความหนาแน่นของตัวอ่อนปะการังที่ลงเกะบนแผ่นกระเบื้องตามช่วงเวลาที่ศึกษาบริเวณอ่าวพักกด เกาะสุรินทร์ใต้.....	152
99 ความหนาแน่นของตัวอ่อนปะการังที่ลงเกะบนแผ่นกระเบื้องตามช่วงเวลาที่ศึกษาบริเวณเกาะตอรินดา.....	153
100 ความหนาแน่นของตัวอ่อนปะการังที่พบรอบแผ่นกระเบื้องในพื้นที่หมู่เกาะสุรินทร์ ในช่วงเดือนเมษายน 2548 - พฤษภาคม 2549.....	154

101 ความหมายและนัยของตัวอ่อนประการังที่ลงเกะบันแผ่นกระเบื้องในแต่ละ ตำแหน่งในพื้นที่ศึกษาของช่วงเดือนเมษายน 2548 - พฤษภาคม 2549.....	155
102 ความหลากหลายกลุ่มสิ่งมีชีวิตอื่น ๆ ที่ลงเกะบันพื้นที่ว่างของแผ่นกระเบื้อง	156
103 การปักกลุ่มพื้นที่ของกลุ่มสิ่งมีชีวิตอื่น ๆ บนแผ่นกระเบื้อง ในบริเวณ อ่าวจาก เกาะสุรินทร์เหนือ.....	158
104 การปักกลุ่มพื้นที่ของกลุ่มสิ่งมีชีวิตอื่น ๆ บนแผ่นกระเบื้อง ในบริเวณ อ่าวแม่ยาย เกาะสุรินทร์เหนือ.....	159
105 การปักกลุ่มพื้นที่ของกลุ่มสิ่งมีชีวิตอื่น ๆ บนแผ่นกระเบื้อง ในบริเวณ อ่าวสูเทพ เกาะสุรินทร์ใต้.....	159
106 การปักกลุ่มพื้นที่ของกลุ่มสิ่งมีชีวิตอื่น ๆ บนแผ่นกระเบื้อง ในบริเวณ อ่าวผักกาด เกาะสุรินทร์ใต้.....	160
107 การปักกลุ่มพื้นที่ของกลุ่มสิ่งมีชีวิตอื่น ๆ บนแผ่นกระเบื้อง ในบริเวณ เกาะตอรินลา.....	160
108 ประเภทของพื้นที่ว่างที่ตัวอ่อนประการัง และสิ่งมีชีวิตอื่น ๆ สามารถเลือก ลงเกาะได้ในพื้นที่แนวประการัง.....	162
109 องค์ประกอบของพื้นที่ว่างประเภทต่าง ๆ ในแนวประการังบริเวณหมู่เกาะ สุรินทร์ในช่วงเดือนมีนาคม 2549.....	163

คำอธิบายคำย่อ

μm	= micrometer
\bar{X}	= mean
ANOVA	= analysis of variance
cm.	= centimeter
Ed. (Eds.)	= editor (editors)
et al.	= <i>et alii</i> ; and other
N	= Total number in sample
p. (pp.)	= page (pages)
SE	= Standard error
sp.	= Species
spp.	= many species
Vol.	= Volume
ซ.ม.	= เซนติเมตร
ตร.ม.	= ตารางเมตร
ตร.ซ.ม.	= ตารางเซนติเมตร
ม.ม.	= มิลลิเมตร

บทที่ 1

บทนำ

ความเป็นมาและความสำคัญของปัญหา

แนวปะรังเป็นระบบนิเวศที่มีความหลากหลายทางชีวภาพสูงที่สุดในทะเล มีความซับซ้อนและความอุดมสมบูรณ์ของทรัพยากรสิ่งมีชีวิตที่อยู่ร่วมกันจนเป็นแหล่งที่อาศัยของสิ่งมีชีวิตที่มีสำคัญต่อระบบอนิเวศทางทะเล โดยระบบอนิเวศแนวปะรังมีการเปลี่ยนแปลงอยู่ตลอดเวลา เนื่องจากกิจกรรมต่าง ๆ ของมนุษย์ และปัจจัยทางธรรมชาติ ซึ่งทำให้เกิดผลกระทบต่อแนวปะรัง เช่น กิจกรรมการค้าประมง กระแสน้ำ และคลื่น เป็นต้น การเกิดแผ่นดินไหวได้ทะเลเป็นอีกเหตุการณ์หนึ่งที่ทำให้เกิดผลกระทบอย่างรุนแรงกับแนวปะรังและแนวชายฝั่งทะเล โดยปรากฏการณ์คลื่นสึนามิที่เกิดขึ้นในช่วงเดือนธันวาคม พ.ศ. 2547 ซึ่งทางภาคใต้ของประเทศไทยได้ส่งผลกระทบต่อระบบอนิเวศแนวปะรังในบางพื้นที่ ทำให้ทรัพยากรปะรังเสียหายพังทลายจากอิทธิพลของคลื่นและกระแสน้ำโดยตรง ดังนั้นกลไกการสร้างความเสียหายของคลื่นสึนามิที่มีต่อแนวปะรัง มี 3 ประการ คือ (1) การกระทำของคลื่นต่อแนวปะรังโดยการเคลื่อนตัวไปทำให้ปะรังและหินหลุดออก (2) เกิดตะกอนปักลุมปะรัง และ (3) การปักลุมของเศษซาก珊瑚ที่มาจากการแผ่นดินบนปะรังบางพื้นที่ได้รับความเสียหายอย่างรุนแรง (Wilkinson, Souter, & Goldberg, 2006, p. 8)

แนวปะรังบริเวณอุทยานแห่งชาติหมู่เกาะสุรินทร์เป็นอุทยานแห่งชาติทางทะเล แห่งหนึ่งที่มีแนวปะรังน้ำตื้นที่สวยงามและมีความอุดมสมบูรณ์ที่สุด โดยตั้งอยู่ระหว่างเส้นละติจูดที่ 9 องศา 21 ลิปดา 50 พีลิปดาเหนือ ถึง 9 องศา 30 ลิปดา 30 พีลิปดาเหนือ และเส้นลองจิจูดที่ 97 องศา 48 ลิปดา ถึง 97 องศา 54 ลิปดา 25 พีลิปดาตะวันออก ในอาณาเขตพื้นที่อำเภอครุระบุรี จังหวัดพังงา โดยมีระยะทางห่างจากฝั่งประมาณ 60 กิโลเมตร

และมีพื้นที่เกาะประมาณ 135 ตารางกิโลเมตร กิดเป็นพื้นที่นำทะเลประมาณ 102 ตารางกิโลเมตร หรือ 76% ของพื้นที่ ประกอบด้วยเกาะต่าง ๆ จำนวน 5 เกาะ คือ เกาะสุรินทร์ เนื้อ เกาะสุรินทร์ใต้ เกาะสตอร์ค (เกาะรี) เกาะป่าจุนบาน (เกาะมังกร) และเกาะตอริลา (เกาะไจ) โดยอุทยานแห่งชาติหมู่เกาะสุรินทร์มีช่วงเวลาการปิดเขตพื้นที่อุทยานในช่วง ฤดูมรสุมและพื้นที่ได้รับผลกระทบจากคลื่นสึนามิ เพื่อเป็นการพักฟื้นตัวของทรัพยากร แนวปะการังในธรรมชาติ หลังจากถูกการทำลายท่องเที่ยวในช่วงเดือนพฤษภาคมถึงเดือน พฤศจิกายนของทุกปี (กรมป่าไม้, 2542, หน้า 8; 2543, หน้า 1-3)

การวิเคราะห์ศักยภาพในการฟื้นตัวของปะการังในบริเวณแนวปะการังหมู่เกาะ สุรินทร์มีความสำคัญมาก ซึ่งขึ้นอยู่กับปัจจัยสิ่งแวดล้อมที่สำคัญหลายประการ ได้แก่ การทดสอบประชากรหรือการลงเกาของตัวอ่อนปะการัง (recruitment) อัตราการตาย ของตัวอ่อนปะการังภายหลังการลงเกา อัตราการเจริญเติบโตของตัวอ่อนปะการัง ปัจจัยที่เกี่ยวกับสีนพันธุ์แบบอาศัยเพศ (sexual reproduction) รูปแบบการแพร่กระจายและ ความหนาแน่นของโคลoniปะการังขนาดเล็ก (juvenile colony) จากเหตุการณ์คลื่นสึนามิ ในบางบริเวณของแนวปะการังที่มีความเสียหายมาก สำหรับงานวิจัยครั้งนี้จึงมุ่งศึกษา ผลกระทบที่เกิดจากคลื่นสึนามิที่มีต่อแนวปะการัง โดยเน้นศึกษาอัตราการลงเกาและ ความแปรปรวนของชนิดตัวอ่อนปะการังที่ลงเกาในพื้นที่และความแปรปรวนตาม ถูกการทำลายเพื่อหาความสัมพันธ์ระหว่างองค์ประกอบของชนิดตัวอ่อนและโครงสร้างของ กลุ่มประชากรของสิ่งมีชีวิตในแนวปะการังบริเวณอุทยานแห่งชาติหมู่เกาะสุรินทร์ ซึ่ง จะเป็นข้อมูลพื้นฐานที่เป็นประโยชน์ต่อการกำหนดมาตรการต่าง ๆ เพื่อการอนุรักษ์และ การวางแผนการจัดการแนวปะการังของอุทยานแห่งชาติหมู่เกาะสุรินทร์ทั้งในปัจจุบัน และอนาคต

วัตถุประสงค์

- เพื่อศึกษารูปแบบการลงเกาของตัวอ่อนปะการัง บริเวณอุทยานแห่งชาติหมู่เกาะสุรินทร์

2. เพื่อศึกษาการเปลี่ยนแปลงของอัตราการลงเกะของตัวอ่อนปะการังในช่วงก่อนและหลังการเกิดคลื่นสึนามิ บริเวณอุทยานแห่งชาติหมู่เกาะสุรินทร์
3. เพื่อรับรวมข้อมูลพื้นฐานสำหรับการจัดการและการฟื้นฟูทรัพยากรธรรมชาติของแนวปะการัง

สมมุติฐาน

อิทธิพลจากคลื่นสึนามิส่างผลต่อองค์ประกอบและความหนาแน่นของปะการังวัยอ่อน (juvenile coral) ที่ลงเกาะในบริเวณอุทยานแห่งชาติหมู่เกาะสุรินทร์ ซึ่งทำให้ความหนาแน่นของปะการังวัยอ่อนลดลง

ขอบเขตของการวิจัย

การวิจัยครั้งนี้มุ่งเน้นศึกษาอิทธิพลจากคลื่นสึนามิที่ส่างผลกระทบต่อการลงเกะของปะการังทั้งในด้านองค์ประกอบและปริมาณของปะการังวัยอ่อน เพื่อวิเคราะห์ศักยภาพในการฟื้นตัวของกลุ่มสิ่งมีชีวิต (community) ในเขตอุทยานแห่งชาติหมู่เกาะสุรินทร์ จังหวัดพังงา

นิยามศัพท์เฉพาะ

Live coral cover	การปกคลุมพื้นที่ของปะการังมีชีวิต
Coral fragment	ชิ้นส่วนปะการังที่แตกหักออกจากโคลนีเดินสามารถเคลื่อนที่ได้โดยแรงกระทำของกระแสน้ำและมีขนาดความยาวไม่เกิน 30 เซนติเมตร
Up-turned coral	การพลิกคว่ำของโคลนีปะการัง
Partial mortality	การตายบางส่วนของเนื้อเยื่อปะการัง

Settlement	ตัวอ่อนในขณะที่เริ่มจับหรือยึดเกาะพื้นอย่างถาวร ซึ่งในกรณีของสิ่งมีชีวิตที่ดำรงชีพแบบยึดติดกับพื้นจะหมายถึงตัวอ่อนที่อยู่ในระบบของแพลงก์ตอนก่อนเริ่มตรึงตัวลงติดกับพื้น
Planula larva	ตัวอ่อนประการังที่ล่องลอยอยู่ในมหาสมุทร
Recruitment	ตัวอ่อนที่ลงเกาะกับพื้นแล้วและรออาศัยชีวิตหลังจากระยะ settlement ในช่วงเวลาหนึ่ง ดังนั้นถ้าหากนิยามข้างต้น ตัวอ่อนประการังที่พบจากการศึกษาในธรรมชาติหลังจากการลงเกาะ (settlement) แล้วเกินกว่า 24 ชั่วโมง ต้องถือว่าเป็นการศึกษา recruitment
Juvenile coral	ประการังวัยอ่อนบนพื้นธรรมชาติสามารถมองด้วยตาเปล่าเห็นจนถึงมีขนาดเดือนผ่านศูนย์กลาง 5 เซนติเมตร พื้นที่ว่างในทะเลที่มีลักษณะเป็นพื้นแข็งที่เหมาะสมต่อสิ่งมีชีวิตลงเกาะและเจริญเติบโตได้
Substrate	ความชัดเจนของผิวพื้นที่ว่างในทะเล
Complex substrate	การสืบพันธุ์ของประการังแบบอาศัยเพศ
Sexual reproduction	การสืบพันธุ์ของประการังแบบไม่อาศัยเพศ
Asexual reproduction	ความดกของไจ่าประการัง
Fecundity	ประชากรมของสิ่งมีชีวิต หรือกลุ่มสิ่งมีชีวิต
Community	กลุ่มคลื่นที่มีความยาวคลื่นมาก ๆ ขนาดหลายร้อยไมล์ นับจากยอดคลื่นที่ได้ตามกันไป เกิดขึ้นจากการที่น้ำทะเลในปริมาตรที่มาก ถูกผลักดันให้เคลื่อนที่ในแนวคิ่งด้วยเหตุจากการเคลื่อนไหวของเปลือกโลกส่วนที่อยู่ใต้ทะเลลึก บางครั้งก็เรียกว่า seismic wave เพราะส่วนใหญ่เกิดจากการเคลื่อนไหว
Tsunami	แผ่นกระเบื้องที่ใช้ล้อตัวอ่อนประการังที่อยู่ในมหาสมุทร การวัดโดยใช้พื้นที่เลือกสุ่มตัวอย่างเป็นพื้นที่ตารางเมตร
Plate experiment	
Quadrat	

แล้วเปรียบเทียบกับบริเวณอื่นที่ใช้ประโยชน์ในการศึกษา
ระบบนิเวศเพื่อทราบความหนาแน่นและชนิดตลอดจน
ข้อมูลอื่นที่เกี่ยวข้อง

Belt intercept transect การวัดพื้นที่ด้วยความยาวเส้นเทปศึกษา เพื่อเปรียบเทียบ
กับบริเวณอื่นใช้ประโยชน์ในการศึกษาระบบนิเวศเพื่อ
ทราบความหนาแน่นและชนิดตลอดจนข้อมูลอื่นที่เกี่ยวข้อง

ประโยชน์ที่คาดว่าจะได้รับ

1. ทราบชนิดและปริมาณการลงเกะของตัวอ่อนปะการังบนพื้นธรรมชาติ
ในช่วงก่อนและหลังเกิดเหตุการณ์คลื่นสึนามิ ในบริเวณอุทยานแห่งชาติหมู่เกาะสุรินทร์
2. สามารถใช้เป็นข้อมูลพื้นฐานด้านชีวิทยาและนิเวศวิทยาของปะการัง
3. เป็นข้อมูลเบื้องต้นที่มีความสำคัญต่อการอนุรักษ์ทรัพยากรแนวปะการัง และ¹
สามารถนำข้อมูลที่ได้รับจากงานวิจัยนี้มาประยุกต์ใช้ในด้านการจัดการทรัพยากรแนว-
ปะการัง

บทที่ 2

วรรณกรรมที่เกี่ยวข้อง

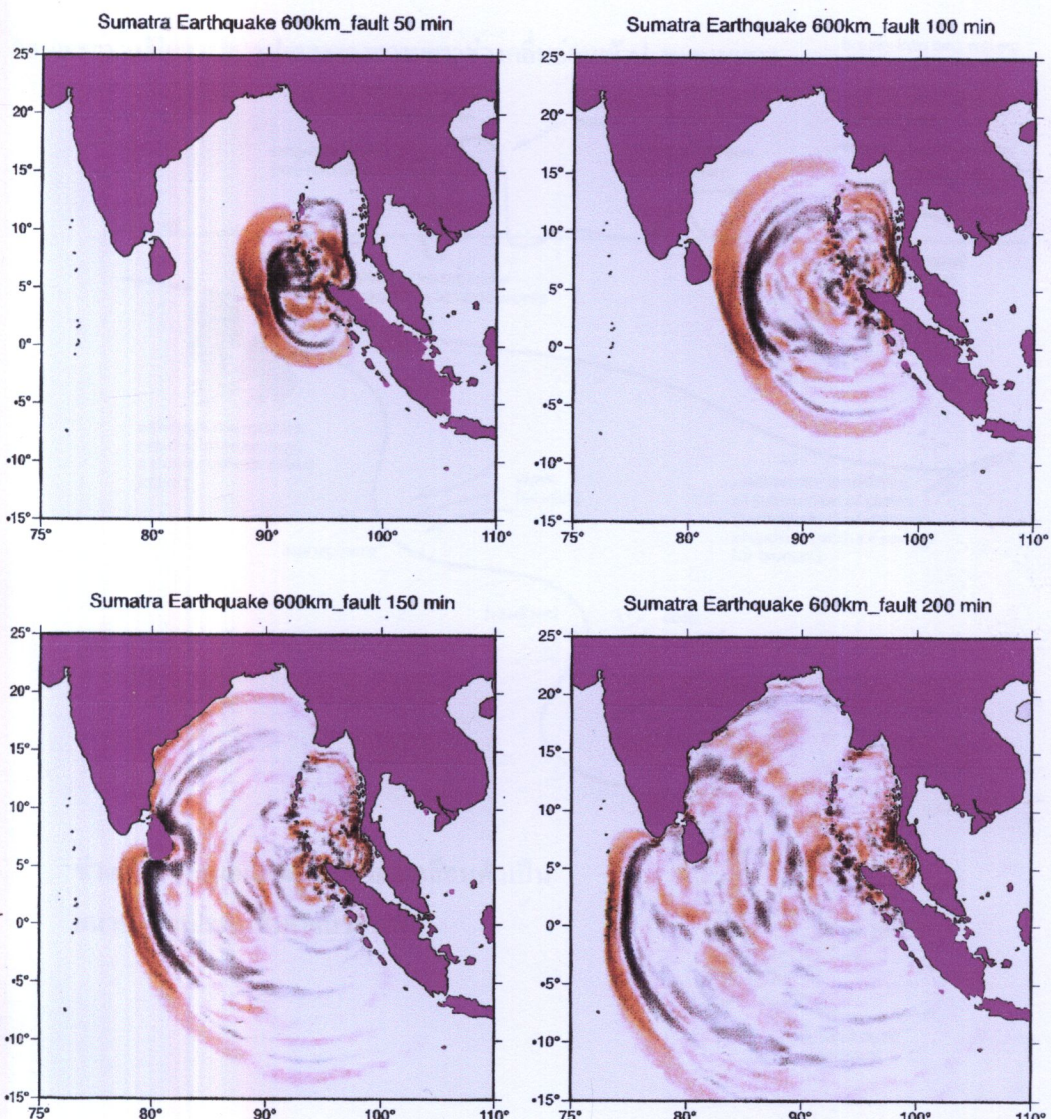
สถานภาพแนวปะการังและความเสียหาย

แนวปะการังในพื้นที่น่านน้ำทะเลไทยทั้งบริเวณฝั่งอ่าวไทยและฝั่งทะเลอันดามันรวมถึงแนวปะการังทั่วโลกมีแนวโน้มมีความเสื่อมโกร增幅มากขึ้น โดยสาเหตุที่เกิดจากกิจกรรมของมนุษย์ ได้แก่ การพัฒนาพื้นที่ชายฝั่งทะเลเพื่ออุตสาหกรรม การขุดร่องน้ำการถอนทะเล ขยาย น้ำมัน ปริมาณสารอาหารที่มาจากการน้ำทิ้งหรือภัคการเกษตร กิจกรรมการท่องเที่ยว เช่น สมอเรือ การเหมี่ยบย้ำปะการังจากการดำเนินต้น เครื่องมือประมง และการระเบิดปลา เป็นต้น และสาเหตุที่เกิดจากปัจจัยทางธรรมชาติ ได้แก่ การแกร่งเยิ่งพื้นที่จากสิ่งมีชีวิตอื่น ๆ การโพลพันน้ำของปะการังในเขตน้ำเขิน-น้ำลง แผ่นดินไหว พายุ และคลื่นสึนามิ เป็นต้น (กิตติโชติ งานประศิทธิ์, 2543, หน้า 76-78; ธรรมศักดิ์ ยิมิน, 2540, หน้า 8-115; Connell, Hughes, & Wallace, 1997, p. 461; Cox & Ward, 2002, pp. 1230-1231; Fox, Pet, Dahuri, & Caldwell, 2003, pp. 1024-1025; Gusiakov, 2005, pp. 3-9; Lam, 2003, pp. 642-643; Raymundo, Maypa, Gomez, & Cadiz, 2007, pp. 1009-1010; Wilkinson et al., 2006, pp. 8-11) โดยเฉพาะการเกิดแผ่นดินไหวในควบคุมของมหาสมุทรของมหาสมุทรอินเดีย เมื่อวันที่ 26 ธันวาคม 2547 ซึ่งมีจุดศูนย์กลางอยู่ที่เกาะสุมาตราประเทศอินโดนีเซีย “เขตวงแหวนไฟ” มีระดับความรุนแรงของแผ่นดินไหวประมาณ 9.15-9.3 ริกเตอร์ มีสาเหตุเนื่องมาจากแผ่นเปลือกโลกอินเดียและอสเตรเลียเกิดการเคลื่อนตัวมีลักษณะมุดตัวลงและซ้อนทับของแผ่นโลกทั้งสองนี้ ทำให้มีการปลดปล่อยพลังงานที่มีการบีบอัดตัวและสะสมไว้ได้เปลือกโลกอย่างมหาศาล ในรูปของช่วงคลื่นที่มีลักษณะเป็นแนวตั้งจากแร็คเมือกในวงกว้างอย่างรวดเร็ว โดยมีน้ำทะเลเป็นสื่อกลางในเคลื่อนตัวและกระจายพลังงานที่เรียกว่า “แรงเครียด” ออกไป ซึ่งมีความเร็วประมาณ

600-1,000 กิโลเมตรต่อชั่วโมง ทำให้เกิดการก่อตัวของมวลน้ำและยกตัวเป็นคลื่นสึนามิ ในเขตน้ำดีน้ำเข้าทำลายชายฝั่งและแนวปะการัง ดังแสดงในภาพ 1 และ 2 ซึ่ง Wilkinson et al., (2006, pp. 5-8) ได้กล่าวถึงผลกระทบของคลื่นสึนามิที่สร้างความเสียหายต่อ ทรัพยากรธรรมชาติ คือ ป่าชายเลน หญ้าทะเล และแนวปะการัง จากคลื่นไก 3 ประการ คือ การกระทำของคลื่นต่อแนวปะการังโดยเคลื่อนตัวปะทะ การเกิดตะกอนคินปักลุม โคลโนนีปะการัง การปักลุมของเศษหากขยะที่มาจากการแผ่นดินบนโคลโนนีปะการังในบาง พื้นที่ได้รับความเสียหาย สำหรับประเทศไทยได้สำรวจความเสียหายของสภาพแนวปะการัง ฝั่งทะเลอันดามันใน 6 จังหวัดภาคใต้ที่มีชายฝั่งทะเล ตึ้งแต่จังหวัดระนองจนถึงสตูล พบ ความเสียหายในพื้นที่แนวปะการังประมาณ 10% ของพื้นที่แนวปะการังทั้งหมด โดย ปะการังมีลักษณะแตกหักและพลิกคว่ำเป็นส่วนใหญ่ รวมทั้งบันสายฝั่งเกิดความเสียหาย ต่อสิ่งปลูกสร้างต่าง ๆ เช่น บริเวณเขายาหลัก-ลารู๊ ในเขตจังหวัดพังงา แหลมปะการัง เกาะ ลันตา จังหวัดกระบี่ เป็นต้น (นิพนธ์ พงษ์สุวรรณ และคณะ ปี 2548, หน้า 63-71; Cochard et al., 2008, p. 3; Marchand, 2006, pp. 923-924)

นอกจากนี้กิจกรรมสำรวจความเสียหายของแนวปะการังจากคลื่นสึนามิใน ชายพื้นที่ ออาทิเช่น บริเวณอุทยานแห่งชาติหมู่เกาะสุรินทร์ ซึ่งได้รับความเสียหายใน พื้นที่แนวปะการังประมาณ 30% ของพื้นที่แนวปะการังทั้งหมด ซึ่งความเสียหายที่เกิดขึ้นต่อ แนวปะการังมีลักษณะแตกหักและพลิกคว่ำของโคลโนนีปะการัง ตะกอนทรายปักลุมบน โคลโนนีปะการังแต่ไม่มีผลกระทบต่อการตายบางส่วนของเนื้อเยื่อปะการัง (partial mortality) (กรมทรัพยากรทางทะเลและชายฝั่ง, 2548, หน้า 8-21; Kench, Nichol, Smithers, McLean, & Brander, 2008, p. 361) ซึ่งสอดคล้องกับผลการศึกษาของคณะนักวิจัยจากประเทศไทย อังกฤษ Comley, O'Farrell, Hamylton, Ingwersen, and Walker (2005, pp. 9-16) ได้ทำการ สำรวจพื้นที่แนวปะการังบริเวณหมู่สุรินทร์ที่ได้รับความเสียหายจากคลื่นสึนามิร่วมกับ การใช้เทคนิคการวิเคราะห์ภาพถ่ายดาวเทียมและระบบสารสนเทศภูมิศาสตร์ (Geographic Information System--GIS) เพื่อประกอบการประเมินผลในพื้นที่แนวปะการัง ดังแสดงใน ภาพ 3 และ 4 พบปะการังมีชีวิตมีการปักลุมลดลงประมาณ 8% ของพื้นที่แนวปะการัง ทั้งหมด

ในประเทศไทยฯ มีการสำรวจผลกระทบจากคลื่นสึนามิ เช่น ทางตอนใต้ของแนวปะการัง Maalhosmadulu atoll ในหมู่เกาะ Maldives ปะการังได้รับความเสียหายเฉลี่ย 3.75% ของพื้นที่แนวปะการังทั้งหมด (Kench et al., 2008, p. 361) ในบริเวณเกาะสุมาตรา ประเทศไทยอินโดนีเซีย สถาบันวิจัยและนวัตกรรมที่ศึกษาเรื่องของ Ache มีสภาพปะการังมีความเสียหาย เกิดการแตกหักของปะการังจากคลื่นและกระแทกแน่น้ำในเขตน้ำตื้นทำให้มีตะกอนปักคลุมบนปะการังอยู่ทั่วไป หลังจากแนวปะการังได้รับผลกระทบจากคลื่นส่งผลให้เกิดร่องรอยฉีกขาดในแนวปะการัง เช่น Acropora spp. มีอัตราการสร้างเซลล์สึบพันธุ์ลดลง ซึ่งคล้ายกับการศึกษาในเรื่องการปักคลุมและความสมดุลของปะการังมีชีวิตในเขตน้ำตื้นที่ได้รับความเสียหายจากพายุ Hurricanes ทำให้โครงสร้างแนวปะการังและปะการังมีชีวิตเกิดการแตกหักและถูกพัดพาจากกระแทกแน่น้ำ ทำให้เกิดผลกระทบต่อการเติบโตและการสืบทอดพันธุ์ของปะการัง (Baird et al., 2005, pp. 1926-1927; Dollar, 1982, p. 71; Massel & Done, 1993, p. 153; Rogers, 1993, p. 132; Rogers, McLain, & Tobias, 1991, p. 189; Smith & Hughes, 1999, p. 148) ในงานวิจัยของ Rogers (1993, p. 127) ได้ทำการศึกษาผลกระทบของคลื่นที่เกิดจากพายุ Cyclone ที่มีต่อปะการัง บริเวณ Great Barrier Reef พบว่าภัยจากพายุมีผลกระทบและความเสียหายโดยตรงกับความหนาแน่น โครงสร้างและการแพร่กระจายของปะการัง ทั้งนี้รวมถึงมีความเสี่ยงต่อการตายบางส่วนและการแตกหักของโคโลนีปะการัง ซึ่งแนวปะการังที่ได้รับความเสียในเขตน้ำตื้นนี้มีลักษณะความเสียหายคล้ายกับแนวปะการังที่ได้รับผลกระทบจากคลื่นสึนามิ



ภาพ 1 การกระจายของความเสียหายและความเรื้อรังของแนวปะการังสู่ชายฝั่งที่ติดต่อการเกิดคลื่นสึนามิในเขตมหาสมุทรอินเดีย ในวันที่ 26 ธันวาคม 2547

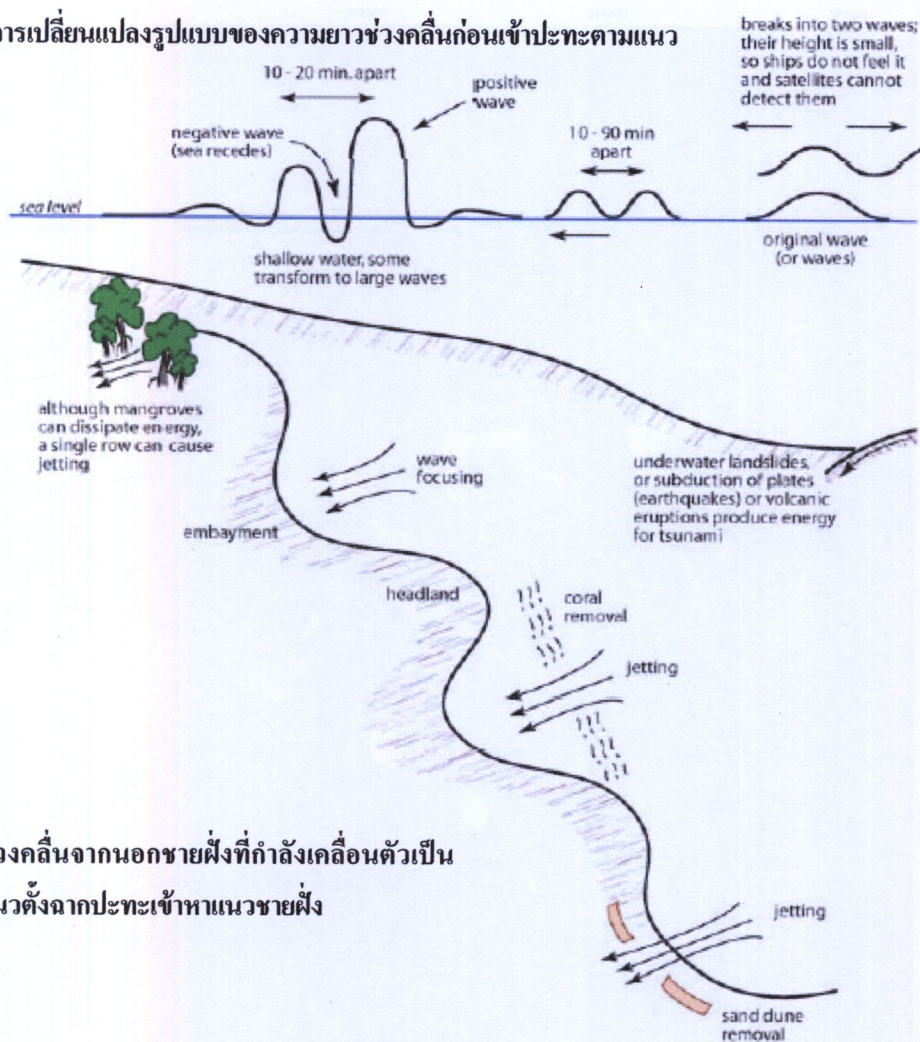
ที่มา. จาก *Status of Coral Reefs in Tsunami Affected Countries: 2005* (p. 27), by C.

Wilkinson et al., 2006, Queensland, Australia: Australian Institute of Marine Science.

C. Wilkinson, 2005. Retrieved April 12, 2008, from

<http://www.aims.gov.au/research/civil/publications/IndianOceanTsunami.pdf>

ลักษณะการเปลี่ยนแปลงรูปแบบของความยาวช่วงคลื่นก่อนเข้าประเทศตามแนว



ช่วงคลื่นจากนอกชายฝั่งที่กำลังเคลื่อนตัวเป็นแนวตั้งจากประเทศเข้ามาแนวชายฝั่ง

ภาพ 2 ลักษณะการเปลี่ยนแปลงรูปแบบของความยาวช่วงคลื่นก่อนเข้าประเทศตามแนวชายฝั่ง

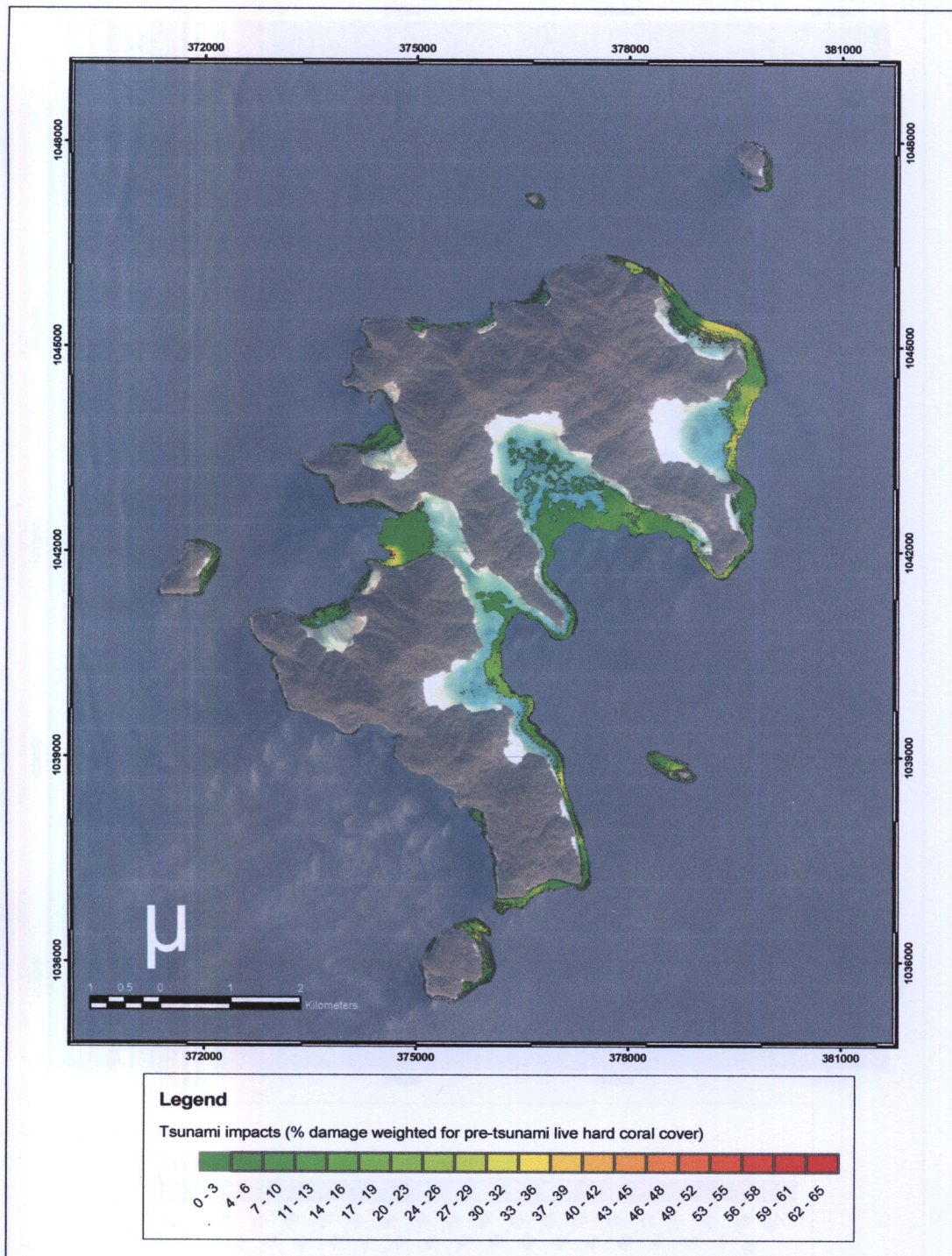
และช่วงคลื่นจากนอกชายฝั่งที่กำลังเคลื่อนตัวเป็นแนวตั้งจากประเทศเข้ามาแนวชายฝั่ง

ที่มา. จาก *The Indian Ocean Tsunami of December 26, 2004: A journey through the*

disaster with an Emphasis on Sri Lanka (p. 2), by J. Fernando, A. Brau, R. Galappatti,

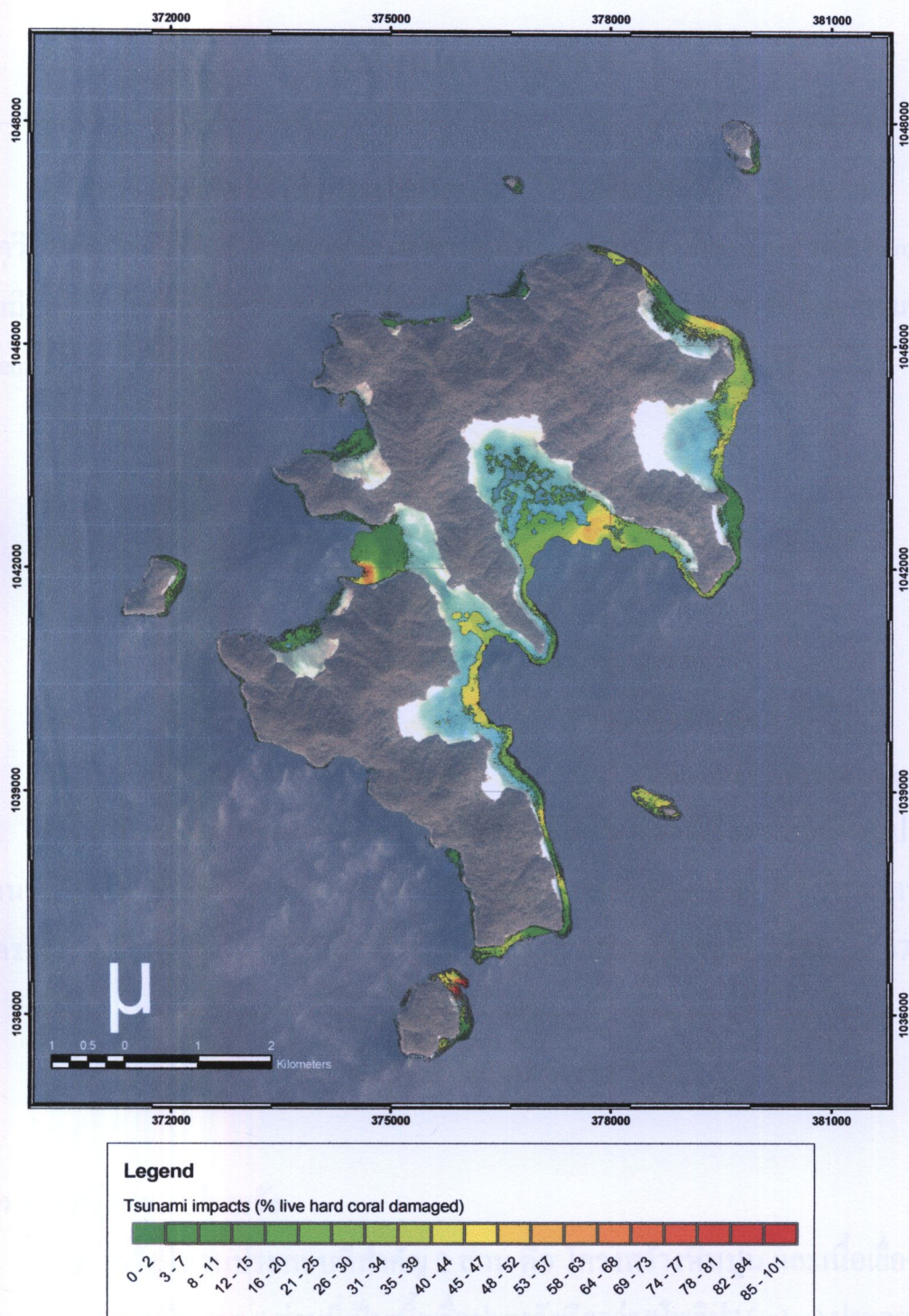
J. Ruwanpura, and S. C. Wirasinghe, 2005, Retrieved April 12, 2008, from

http://www.schulich.ucalgary.ca/reseach_civil/publications/IndianOceanTsunami.doc



ภาพ 3 ภาพถ่ายดาวเทียมแสดงสถานภาพการบกคลุมพื้นที่ของปะการังมีชีวิตในพื้นที่หมู่เกาะสุรินทร์ก่อนเกิดคลื่นสึนามิ

ที่มา. จาก Report prepared: *The Impact of the December 2004 Indian Ocean Tsunami on the Coral Reef Resources of Mu Ko Surin Marine National Park, Thailand* (p. 12) by J. Comley et al., 2005, London, UK: Coral Cay Conservation.



ภาพ 4 ภาพถ่ายดาวเทียมแสดงสถานภาพการปัก殖民พื้นที่ของปะการังมีชีวิตในพื้นที่หมู่เกาะสุรินทร์หลังเกิดคลื่นสึนามิ

ที่มา. จาก Report prepared: *The Impact of the December 2004 Indian Ocean Tsunami on the Coral Reef Resources of Mu Ko Surin Marine National Park, Thailand* (p. 12) by J. Comley et al., 2005, London, UK: Coral Cay Conservation.

ลำดับทางอนุกรมวิธาน

ปะการังเป็นสัตว์ที่ไม่มีกระดูกสันหลังอยู่ในไฟลัมไนดาเรีย (Cnidaria)

นักวิทยาศาสตร์ได้จัดลำดับทางอนุกรมวิธานของกลุ่มปะการัง (stony coral หรือ hard coral) ซึ่งมีช่องว่างในลำตัวและมีเนื้อเยื่อ 2 ชั้น มีปากแต่ไม่ทราบหนัก มีหนวดซึ่งมีเซลล์เข็มพิษ (nematocyst) อยู่รอบปากเพื่อจับเหยื่อและป้องกันตัวโดยได้จำแนกปะการังไว้ดังนี้

Kingdom Animalia

Subkingdom Metazoa

Phylum Cnidaria

Class Anthozoa

Subclass Zoantharia

Order Scleractinia

Suborder Astrocoeniina

สัตว์ในกลุ่มย่อย zoantharia มีลักษณะเด่น คือ หนวดที่เรียงรายอยู่รอบปากจำนวน 6 เส้น หรือทวีคูณของ 6 ปะการังจัดอยู่ในอันดับ scleractinia ซึ่งเป็นพวกที่สร้างโครงร่างแข็งที่เป็นฐานรองรับเนื้อเยื่ออ่อนนุ่มของตัวปะการัง (Veron, 2000. pp. 47-49)

ชีววิทยาของปะการัง

ลักษณะทั่วไปของปะการัง

ปะการังมีส่วนประกอบที่สำคัญ 2 ส่วน คือ โครงสร้างหินปูน และเนื้อเยื่อของตัวปะการัง ดังแสดงในภาพ 5 ส่วนที่เป็นเนื้อเยื่อปะการังเรียกว่า “โพลิป” (polyp) ประกอบด้วยปากที่เป็นช่องเปิดเข้าไปในช่องว่างภายในลำตัว มีหนวดเรียงเป็นวงโดยรอบ แต่ละโพลิปฝังตัวอยู่ในช่องหินปูนและมักมีรูปร่างคล้ายถ้วยเล็ก ๆ ซึ่งผนังของช่องอาจยกตัวสูงขึ้นมาเป็นทรงกระบอก บนผนังภายในช่องมีแผ่นซี่หินปูนที่เรียกว่า “เซปต้า” (septa) เรียงແຕวเป็นรัศมีเข้าหากันดูสูนย์กลางของช่อง บริเวณจุดศูนย์กลางนี้มักจะมีกลุ่มหนามหินปูนอยู่

เป็นกระดูก จุดนี้จะอยู่ตำแหน่งปากของโพลิป โครงร่างหินปูนที่ประกอบขึ้นมาเป็นท่ออยู่ของแต่ละโพลิปเรียกว่า “คอรอลไลท์” (corallite) ปะการังแต่ละชนิดมีลักษณะโครงสร้างไลท์แตกต่างกันไป ในปะการังแต่ละกองหรือแต่ละก้อนมีโพลิปอยู่เป็นจำนวนมาก โดยที่โพลิปมีเนื้อเยื่อเชื่อมโยงถึงกันหมวด โพลิปอยู่รวมกันเป็นกลุ่มเรียกว่า “โคโลนี” (colony) ยกเว้นปะการังเพียงไม่กี่ชนิด เช่น ปะการังคอกเห็ด (mushroom coral) ซึ่งเป็นชนิดที่อยู่เดียว ๆ (solitary) คือ ห้องก้อนมีอยู่โพลิปเดียว (สถาบันวิจัยชีววิทยาและประมงทะเล ภูเก็ต, 2538, หน้า 10-13; Veron, 2000. pp. 47-55)

ปะการังจะใช้หนวดจับแพลงก์ตอนที่ล่องลอยอยู่ในมวลน้ำเป็นอาหารเข้าปาก และปะการังยังได้รับสารอาหารจากสาหร่ายเซลล์เดียวที่เรียกว่า “ซูแซนเทลล์” (zooxanthellae) ซึ่งมีอยู่จำนวนมากภายในเนื้อเยื่อของปะการังในผิวชั้นนอก (epidermis) จากภาพ 6 สาหร่ายจะใช้ของเสียจากปะการัง เช่น ก้าษคราบอน ไอออกไซด์ ในเครื่องและฟอสเฟตในการสังเคราะห์แสงเพื่อสร้างอาหารและเพิ่มจำนวนเซลล์ โดยที่ปะการังจะได้รับสารอาหารที่สาหร่ายสร้างขึ้นด้วย (Veron, 1995, pp. 45-46)

การจำแนกชนิดของปะการังจะถือเอาลักษณะรูปทรงหินปูนและรายละเอียดของโครงสร้างโครงสร้างไลท์เป็นหลัก แต่ความสับสนอย่างหนึ่งในการแยกชนิดปะการัง สำหรับผู้ที่ไม่มีความรู้ทางค้านอนุกรมวิธานของปะการัง คือ ความหลากหลายของรูปทรง และสีสันของโคโลนีปะการังชนิดเดียวกัน ซึ่งสามารถแปรผันไปตามปัจจัยทางสภาพแวดล้อม ได้ เช่น ปะการังบางชนิดมีกึ่งก้านสันและหนาในบริเวณที่น้ำตื้นหรือคลื่นจัด แต่ปะการังชนิดเดียวกันอยู่ในเขตน้ำลึกหรือบริเวณที่กำบังจากคลื่นลมจะมีกึ่งเล็กและเรียว รูปทรงของบางขึ้นหรือในบางกรณีอาจเปลี่ยนรูปทรงจากโขดเป็นก้อนแผ่นแบน เพื่อให้ได้รับแสงในที่ลึกมากขึ้น สำหรับสีของปะการังมักขึ้นอยู่กับความเข้มของแสงที่ได้รับและรังควัตถุของซูแซนเทลล์และตัวปะการัง (Veron, 1995, pp. 55-61; 2000, pp. 21-55)

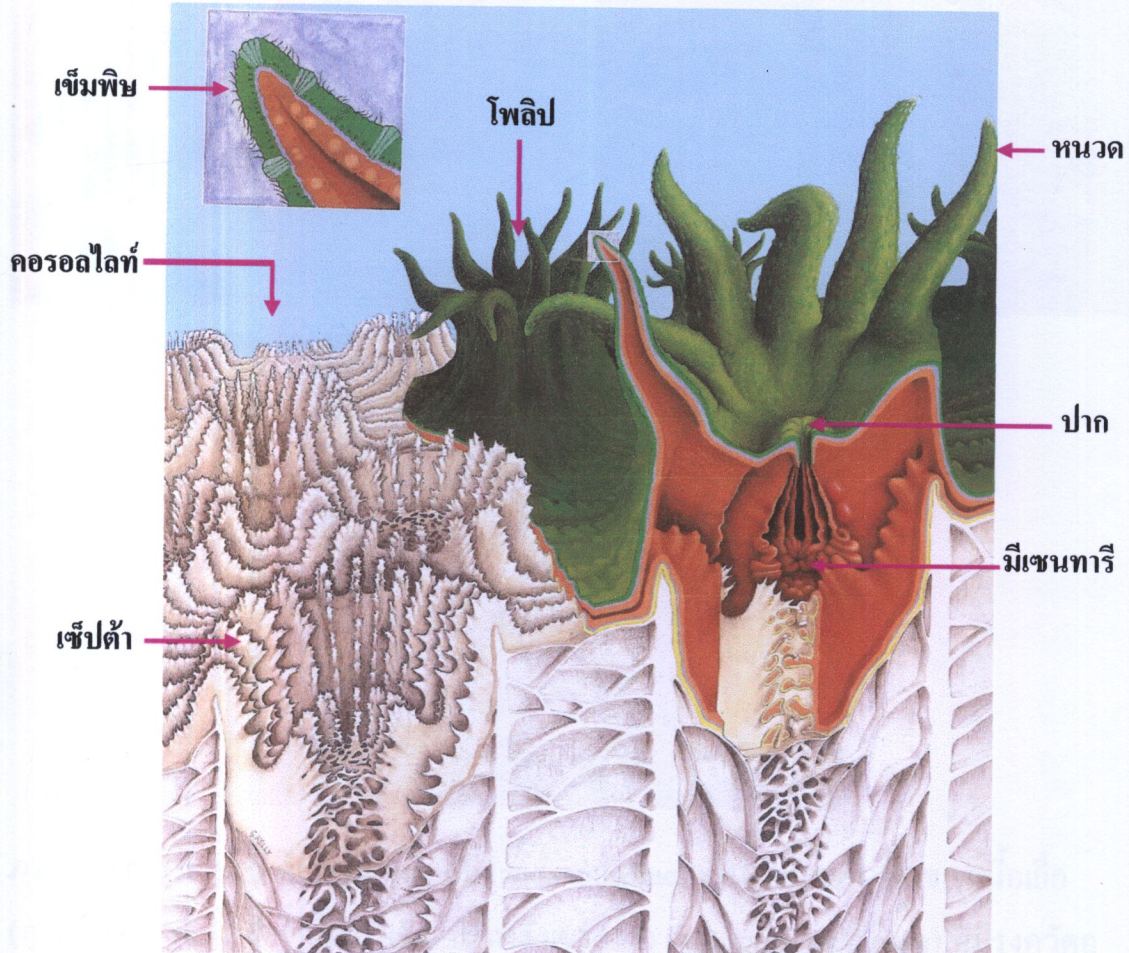
การสืบพันธุ์

การสืบพันธุ์ของปะการังสามารถแบ่งได้เป็นแบบไม่ออาศัยเพศ (asexual reproduction) และแบบออาศัยเพศ (sexual reproduction) จัดเป็นพื้นฐานที่สำคัญของโครงสร้างระบบนิเวศแนวปะการังทั้งในระดับประชากร (population) และกลุ่มสั่งนีชีวิต (community) ปะการังส่วนใหญ่จะปล่อยเซลล์สืบพันธุ์ออกมานเพื่อปฏิสนธิและเจริญเติบโตในมวลน้ำทะเล ซึ่งการสร้างเซลล์สืบพันธุ์และปล่อยเซลล์สืบพันธุ์ของปะการังมีความสัมพันธ์กับดุลการและมีช่วงเวลาการปล่อยเซลล์สืบพันธุ์เพียงช่วงสั้น ๆ เท่านั้นในรอบปี (ธรรมศักดิ์ยิมิน, 2542, หน้า 2)

การสืบพันธุ์แบบไม่ออาศัยเพศเป็นกระบวนการ繁殖ที่คล้ายแนวทางพันธุกรรมที่เหมือนกัน โดยมีหลายรูปแบบ ได้แก่

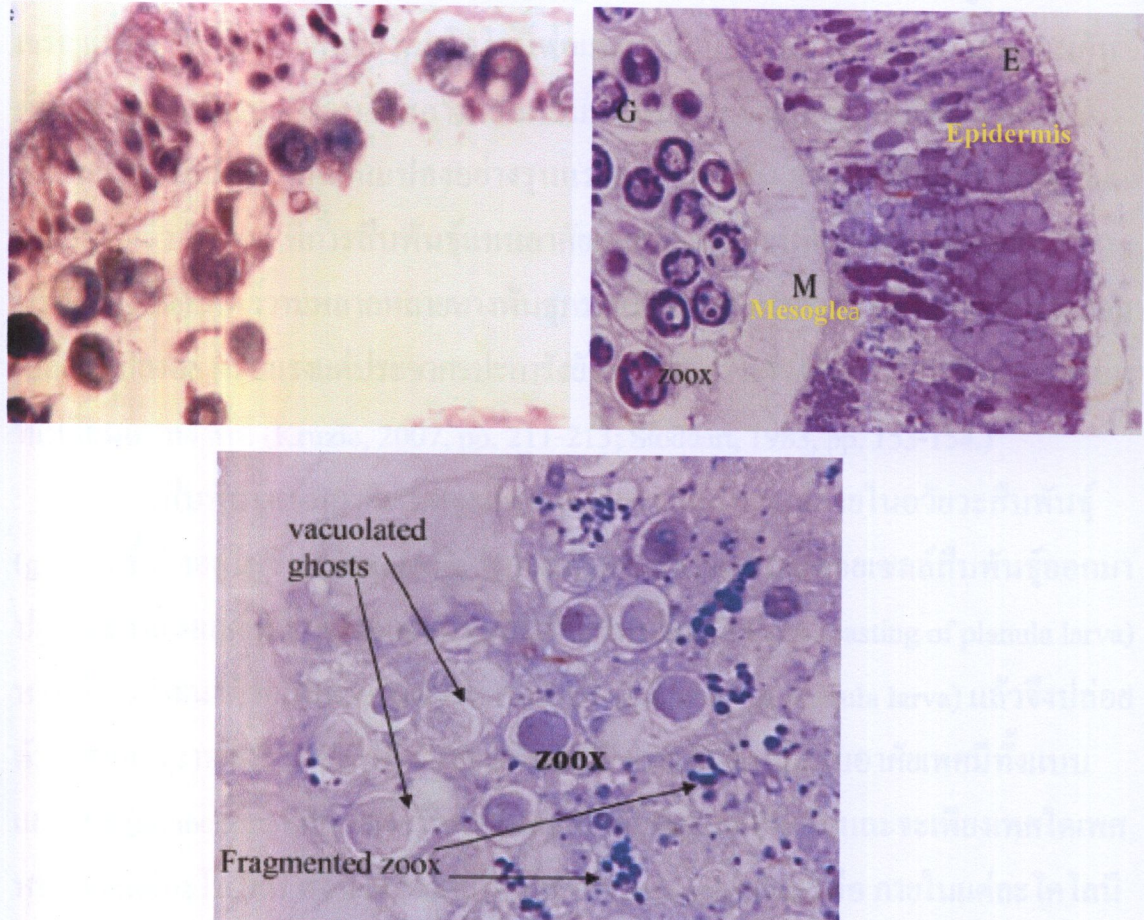
1. โพลิป (polyp) เกิดการแบ่งตัว (budding) เจริญเติบโตเป็นโคลoni (colony)
2. การสืบพันธุ์แบบโพลิปเบล้อท (polyp bail-out) คือ การสืบพันธุ์แบบไม่ออาศัยเพศ ซึ่งปะการังบางชนิดที่สามารถปล่อยโพลิปให้ว่ายน้ำออกสู่มวลน้ำอย่างอิสระ และลงเกะบบนพื้นที่ว่างที่เหมาะสมในแนวปะการังต่อไป เช่น ปะการังชนิด *Seriatopora hystrix* (Sammarrco, 1982, pp. 57-65)
3. การสืบพันธุ์แบบโพลิปอีกซ์พลัชัน (polyp expulsion) คือ การสืบพันธุ์แบบไม่ออาศัยเพศอีกกระบวนการหนึ่ง โดยทำการปล่อยโพลิปที่มีโครงร่างแข็งติดออกมารักษาไว้ เช่น ปะการังชนิด *Favia favus* (Kružić, 2007, pp. 211-213)
4. ปะการังบางชนิดสามารถผลิตตัวอ่อนจากไข่ที่ไม่ได้รับการผสมกระบวนการนี้เรียกว่าพาร์ทิโนเจนे�ชิต (parthenogenesis) เช่น ปะการังชนิด *Pocillopora damicornis* (Stoddart, 1983, p. 282; 1985, pp. 153-154.)
5. การแตกหัก (fragmentation) ส่วนใหญ่เกิดขึ้นกับโคลoni โคลoni ปะการังแบบกึ่งก้านและแบบแผ่น การแตกหักนี้เกิดจากการรบกวนจากปัจจัยทางกายภาพหลายประการ ได้แก่ พาหุ คลื่น และการกร่อนทางชีวภาพ (bioerosion) รวมถึงจากกิจกรรมมนุษย์ เช่น การระเบิดปลา การทึบสมอเรือ การเหยียบหรือสัมผัสโคลoni ปะการัง การคำน้ำเรือ汗 หรือเกยตื้น การเก็บสัมภาระในแนวปะการัง และเครื่องมือประมง นอกจากนี้กระบวนการแตกหักนั้นยังขึ้นอยู่กับทรงของโคลoni ปะการัง เมื่อกิ่งปะการังที่แตกหักหลงสู่พื้น

อาจจะเจริญเป็น โคโลนีใหม่ (ธรรมศักดิ์ ยืนิน, 2540, หน้า 8-15; Highsmith, 1982, pp. 207-226 ; Twan, Hwang, Lee, Wu, Tung, & Chang, 2006, p. 248; Wallace, 1985, p. 217)



ภาพ ๕ ลักษณะทางกายวิภาคของตัวปะการัง

ที่มา. จาก *Corals of the World* (p. 48), by J. E. N. Veron, 2000, Queensland, Australia:
Australian Institute of Marine Science.



ภาพ 6 สาหร่ายเซลล์เดียวชูแซนเทลลี (zooxanthellae) จำนวนมากในชั้นของเนื้อเยื่อ (ภาพตัดขวางของเนื้อเยื่อประการัง) ประการังเขากวาง (*Acropora millepora*) ที่มีร่องควัตฤตต่าง ๆ ที่ช่วยในการสั่งเคราะห์แสงและทำให้มีสีสันที่แตกต่างกันให้แก่ประการัง

ที่มา. จาก “Changes in zooxanthellae density, morphology, and mitotic index in hermatypic corals and anemones exposed to cyanide,” by J. M. Cervino et al., 2003, *Marine Pollution Bulletin*, 46, pp. 582-583.

การสืบพันธุ์แบบไม่อาศัยเพศมีอยู่หลายรูปแบบ และสามารถเกิดขึ้นได้คลอดทั้งปี ปะการังที่เป็นลูกหลานเกิดจากการสืบพันธุ์แบบนี้อาจจะสามารถมีชีวิตอยู่รอดและเจริญเติบโตได้ดีในสภาพเดียวกับ โโคโลนีพ่อแม่และมีลักษณะทางพันธุกรรมเหมือนกับต้นแบบหรือเพียงบางส่วน โดยสามารถกลับมาแพร่กระจายพันธุ์ใหม่ได้อีก แต่เมื่อสภาพแวดล้อมมีการเปลี่ยนแปลงอย่างรุนแรงและฉบับพลัน อาจทำให้ประชากรลดลงอย่างรวดเร็ว ในขณะที่การสืบพันธุ์แบบอาศัยเพศมีการแผลเปลี่ยนสารทางพันธุกรรม หรือยีน (gene) เกิดความหลากหลายทางพันธุกรรมในประชากรปะการัง ถึงแม้ว่าสิ่งแวดล้อมเปลี่ยนแปลงอย่างรุนแรงแต่ประชากรปะการังยังสามารถปรับตัวให้เหมาะสมกับสิ่งแวดล้อมที่เปลี่ยนแปลงได้ดี (Kružić, 2007, pp. 211-213; Stoddart, 1983, pp. 153-154.)

การสืบพันธุ์แบบอาศัยเพศจะมีการพัฒนาเซลล์สืบพันธุ์ภายในอวัยวะสืบพันธุ์ (gonad) ซึ่งฝังอยู่ในชั้น mesenteries ในการสืบพันธุ์อาจมีการปล่อยเซลล์สืบพันธุ์ออกมานภูมิสันธิภายในตัวปะการังและเจริญเป็นตัวอ่อนปะการัง (broadcasting of planula larva) หรือมีการพัฒนาตัวอ่อนภายในตัวของปะการัง (brooding of planula larva) แล้วจึงปล่อยตัวอ่อนออกมายังจาก การปฏิสนธิภายในตัว ซึ่งการสืบพันธุ์แบบอาศัยเพศมีทั้งแบบแยกเพศ (gonochoric) คือ โโคโลนีเพศผู้และเพศเมียอยู่แยกจากกันและจะเพียงเพศใดเพศหนึ่งของแต่ละ โโคโลนี ส่วน โโคโลนีที่เป็นกะเทย (hermaphroditic) คือ ภายในแต่ละ โโคโลนี จะมีโพลิปที่มีทั้งเซลล์สืบพันธุ์เพศผู้ (สเปร์ม) และเซลล์สืบพันธุ์เพศเมีย (ไข่) (Veron, 1986, pp. 45-53; 1995, pp. 47-49; Wallace, 1999, 26-39)

ในรายงาน (Szmant, 1986, p. 34) กล่าวว่า การสืบพันธุ์ได้แบ่งลักษณะเพศและรูปแบบการสืบพันธุ์แบบอาศัยเพศออกได้ 4 รูปแบบ คือ

1. ลักษณะเพศรวมที่มีการผสมภายในตัว (internal fertilization) หรือ Hermaphodite broadcasting คือ ปะการังมีลักษณะสองเพศภายในโพลิปเดียวกัน ไข่และน้ำเชื้อจะถูกร่วมเป็นก้อนเล็ก ๆ เรียกว่า “ก้อนเซลล์สืบพันธุ์” หรือ “บันเดล” (bundle) เมื่อก้อนเซลล์สืบพันธุ์แต่ละก้อนถูกปล่อยและลอยถึงผิวน้ำจะแตกออก ทำให้น้ำเชื้อและไข่แยกออกจากกันจะผสมกันในมวลน้ำ ซึ่งเป็นการปฏิสนธิภายนอก (external fertilization)

2. ลักษณะเพศรวมที่มีการผสมภายใน หรือ Hermaphodite brooding คือ ปะการังมีลักษณะสองเพศภายในโพลิปเดียวกัน ไข่และน้ำเชื้อมีการปฏิสนธิภายใน

(internal fertilization) ตัวอ่อนจะมีการพัฒนาภายในลำตัวระยะนี้ก่อนที่จะปล่อยออกสู่ภายนอก (Rinkevich & Loya, 1979, pp. 133-144)

3. ลักษณะแยกเพศที่มีการผสมภายนอก หรือ Gonochoric broadcasting คือ ประการังแต่โคลอนี หรือในแต่ละโพลิปมีเพศที่ต่างกัน มีการปล่อยไข่และน้ำเชื้อออกมาผสมภายนอกลำตัว

4. ลักษณะแยกเพศที่มีการผสมภายใน หรือ Gonochoric brooding คือประการังแต่โคลอนีหรือในแต่ละโพลิปมีเพศที่ต่างกัน มีการปล่อยไข่น้ำเชื้อเข้าไปผสมกับไข่ภายในโพลิปของเพศเมีย ตัวอ่อนจะพัฒนาอยู่ในโพลิปก่อนที่จะถูกปล่อยออกสู่ภายนอก

การสืบพันธุ์ของประการังแต่ละชนิดมีรูปแบบแตกต่างกัน ในบางชนิดจะปล่อยสเปร์มและไข่ออกมาปฏิสนธิกันในน้ำ บางชนิดจะปล่อยสเปร์มออกมายกน้ำที่ฟังอยู่ภายในตัวเพศเมีย ตัวอ่อนที่เกิดขึ้นมีขนาดประมาณ 1-3 มิลลิเมตร จะล่องลอยไปตามกระแสน้ำต่อไป เมื่อตัวอ่อนนี้ได้พบสภาพแวดล้อมและมีพื้นผิวที่เหมาะสมจะใช้ส่วนฐานยึดเกาะและสร้างหินปูนขึ้น จึงเริ่มทำการพัฒนาการสร้างโพลิปใหม่ด้วยการแตกหน่อ (budding) จนมีหลายโพลิปเรียกว่าโคลอนี ในโพลิปของประการัง *Acropora* ที่มีความสมบูรณ์จะมีการพัฒนาเซลล์สืบพันธุ์ส่วนใหญ่ปีละ 1 ครั้ง หรือบางชนิด 2 ครั้ง และจากการศึกษาประการัง *Acropora* ทั่วโลกพบว่าการพัฒนาเซลล์สืบพันธุ์เป็นแบบกะเทย (hermaphrodite) คือ เพศผู้และเพศเมียจะพัฒนาเซลล์สืบพันธุ์ในโพลิปเดียวกัน ซึ่งเซลล์สืบพันธุ์จะมี 2 แบบ คือ อาจจะพัฒนาใน mesenteries ที่ต่างกันหรือใน mesenteries ที่จำเพาะก็ได้ การสืบพันธุ์และการพัฒนาตัวอ่อนมี 2 แบบ คือ เมื่อเซลล์สืบพันธุ์ถูกปล่อยออกมานะมีการปฏิสนธิกันและพัฒนาภายนอกที่โพลิปจะปล่อยพียงแค่สเปร์มแล้วจะผสมกับไข่ที่อยู่ภายในของโคลอนีอื่น และการพัฒนาจะเกิดขึ้นภายในช่องว่างระหว่างลำตัว (coelenteron) จากนั้นตัวอ่อนจะพัฒนาในตัวประการังต่อมาเพียงไม่กี่เดือนก็จะปล่อยออกมายกน้ำ

Richmond and Hunter (1990, pp. 185-203) รายงานจำนวนชนิด ลักษณะทางเพศ และรูปแบบการสืบพันธุ์แบบอาศัยเพศของประการังในบริเวณกรุงเทพฯ อร์รีฟ เกาะป่าเลา ทะเลแคง ทะเลแคริบเบียน เกาะกวน หมู่เกาะสาวาย น่านน้ำประเทศไทยปานามา และทางตอนใต้ของประเทศไทยญี่ปุ่น พบร่วมประการังที่มีลักษณะแบบเพศรวมที่มีการผสมภายนอก

จำนวน 131 ชนิด ลักษณะเพคแบบเพครวนที่มีการผสมภายใน จำนวน 11 ชนิด ลักษณะเพคแบบแยกเพคที่มีการผสมภายใน 7 วัน ซึ่งสอดคล้องกับงานวิจัยของผู้วิจัยท่านอื่น ๆ

วัฏจักรการพัฒนาเซลล์การสืบพันธุ์ (gametogenesis cycle) ของปะการังชนิดที่มีการผสมภายนอกส่วนใหญ่จะเกิดขึ้นเพียงปีละครั้ง ขณะที่ชนิดที่มีการผสมภายในจะมีวัฏจักรการสืบพันธุ์หลายครั้งในหนึ่งปี (Dai, Soong, & Fan, 1992, p. 448; Richmond & Hunter, 1990, pp. 185-203; Stoddart & Black, 1985, p. 153) ซึ่งมีรายงานในปะการังชนิดที่มีการผสมภายนอกบางชนิดสามารถปล่อยเซลล์สืบพันธุ์ได้มากกว่าหนึ่งครั้ง Stoddart, Babcock, and Willis (1992) ได้ศึกษาปะการัง 3 ชนิด ที่มีการผสมภายนอก คือ *Montipora digitata*, *M. aequituberculata* และ *M. peltiformis* บริเวณเกาะแม่นติกประเทศออสเตรเลีย พบวัฏจักรการพัฒนาเซลล์สืบพันธุ์และการปล่อยเซลล์สืบพันธุ์สองครั้งในหนึ่งปี แต่ละครั้งจะมีระยะเวลาห่างกันประมาณ 3-4 เดือน ซึ่งผู้ทำการวิจัยยังไม่สามารถสรุปสาเหตุของการปล่อยเซลล์สืบพันธุ์สองครั้งในหนึ่งปีนี้ได้ชัดเจน

นอกจากนี้ถูกการในการสืบพันธุ์มีความแตกต่างกันมากขึ้น ทำให้ปะการังเลือกสภาพทางภูมิศาสตร์และปัจจัยสิ่งแวดล้อมทางกายภาพที่เหมาะสม (Tanner, 1996, p. 59) โดยนักวิจัยหลายคนทำการศึกษาในหลายพื้นที่ ได้แก่ บริเวณเกรทแบร์รีรีฟ หมู่เกาะชาราอย และบริเวณเกาะ โอกินาวา ส่วนใหญ่ปะการังจะสร้างและปล่อยเซลล์สืบพันธุ์ในช่วงฤดูร้อนหรือใบไม้ผลิ (Babcock & Heyward, 1986, p. 111; Birkeland, 1997, pp. 179-187; Fadlallah, 1983, p. 129; Heyward, Yamazato, Yeemin, & Minei, 1987, pp. 331-332; Kenyon, 1992, p. 37; Shimoike, Hayashibara, Kimura, & Omori, 1992, p. 484; Stoddart & Black, 1985, p. 153) การสืบพันธุ์ของปะการังในบริเวณอ่าวไทยนั้น ธรรมศักดิ์ ยืนิน (2542) ได้ศึกษาปะการัง *Acropora hyacinthus* บริเวณเกาะค้างคาวและเกาะนก จังหวัดชลบุรี ซึ่งผลการศึกษาพบว่าปะการังทั้งสองบริเวณมีการปล่อยเซลล์สืบพันธุ์ในช่วงเดือนกุมภาพันธ์ถึงเดือนพฤษภาคม แต่การพัฒนาเซลล์สืบพันธุ์จะมีการพัฒนาเพียงรอบเดียว ในหนึ่งปี เช่นเดียวกับการศึกษาของ Twan et al. (2006) ที่ทำการศึกษารายละเอียดการปล่อยเซลล์สืบพันธุ์ของปะการังในกลุ่ม broadcast ในบริเวณทางตอนใต้ของเกาะ ได้หัวนพบປາຮຣັງນີກາຣມປິດຕະພາບປະເທດລາວ ເຊື່ອນມືນາຄມ ຮວມທັງປະກາຮັງໃນກຸລຸ່ມ broadcast ສາມາດພັດທະນາກາຮສ້າງເຫຼືອສິບພັນຫຼູ້ຮ່ວງໄຟ່ແລະສະເປີຣົມໃນຂ່າວ

เดือนพฤษภาคม หลังจากนั้นจะมีปล่อยเซลล์สืบพันธุ์จนถึงในช่วงเดือนสิงหาคมหรือกันยายน และปะการังจะเริ่มสร้างเซลล์สืบพันธุ์ใหม่อีกครั้งในช่วงเดือนพฤษจิกายน (Shimoike, Hayashibara, Kimura, & Omori, 1993, p. 253; Szmant, 1991, p. 13; Van Veghel, 1994, p. 209)

ในขณะที่ทันศักดิ์ จันทร์เมฆาภู (2545) ศึกษาปะการัง บริเวณแหลมพันวา จังหวัดภูเก็ต ในเดือนมีนาคม 2543 ถึงเดือนพฤษภาคม 2544 โดยศึกษาทั้งหมด 3 วงศ์ 12 ชนิด ประกอบด้วย ปะการังในวงศ์ Acroporidae 3 ชนิด คือ *Acropora aspera*, *A. formosa* และ *A. austera* วงศ์ Faviidae 7 ชนิด คือ *Goniastrea aspera*, *G. pectinata*, *G. retiformis*, *Favites halicora*, *F. abdita*, *Platygyra sinensis* และ *Favia pallida* และวงศ์ Pectinidae 2 ชนิด คือ *Pectinia paeonia* และ *Mycedium elephantotus* โดยเก็บตัวอย่างจากแนวปะการังในธรรมชาติมาตรวจสอบความสูงของไบช่วงเวลา และพฤติกรรมการปล่อยเซลล์สืบพันธุ์ในสู่ทดลอง ซึ่งจากการศึกษายืนยันถัดจากผลของการสืบพันธุ์แบบเทขายที่มีการผสมภายนอก (hermaphrodite broadcaster) ของปะการังทั้ง 12 ชนิด และช่วงเวลา การปล่อยเซลล์สืบพันธุ์จะแตกต่างกันในแต่ละชนิด โดยปะการัง *Goniastrea aspera*, *G. pectinata*, *G. retiformis*, *Favites halicora*, *F. abdita*, *P. sinensis* และ *F. pallida* ปล่อยเซลล์สืบพันธุ์ในช่วงเดือนกุมภาพันธ์ถึงเดือนเมษายน ปะการังชนิด *Acropora aspera* ปล่อยเซลล์สืบพันธุ์ในช่วงเดือนสิงหาคมถึงเดือนตุลาคม สำหรับปะการัง *A. formosa* และ *A. austera* ปล่อยเซลล์สืบพันธุ์ในเดือนพฤษจิกายน และปะการัง *Pectinia paeonia* และ *Mycedium elephantotus* ปล่อยเซลล์สืบพันธุ์ในเดือนธันวาคมเพียงเดือนเดียวเท่านั้น โดยปะการังทุกชนิดที่ศึกษามีความสัมพันธ์ระหว่างการปล่อยเซลล์สืบพันธุ์ทั้งในช่วงขึ้นและข้างแรม ซึ่ง *A. aspera*, *A. austera* และปะการังชนิดอื่น ๆ มีการปล่อยเซลล์สืบพันธุ์ในช่วงแรม 5-8 ค่ำ มีเพียง *A. austera* เพียงชนิดเดียวที่ปล่อยเซลล์สืบพันธุ์ในช่วงขึ้น ซึ่งปะการังทุกชนิดปล่อยเซลล์สืบพันธุ์หลังพระอาทิตย์ตกดินประมาณ 2-3 ชั่วโมง

ในขณะที่ศึกษาการสืบพันธุ์แบบอาศัยเพศของปะการัง *Montastrea valenciennesi* ในประเทศไทยปัจจุบัน พบว่าช่วงเวลาการปล่อยเซลล์สืบพันธุ์และการพัฒนาการเจริญเติบโตของกลุ่มที่เป็นเพศเทียมีการสร้าง ovary และ testis ทำหน้าที่สร้างเซลล์ไบและสเปร์ม ในโพลิปเดียวกัน จากการเก็บโคลนีของปะการังมาศึกษาเซลล์สืบพันธุ์ของปะการังด้วย

การตัดเนื้อเยื่อประรังเป็นชิ้นบาง ๆ นำมาส่องคุณวิกล้องจุลทรรศน์และสังเกตการพัฒนาความสมบูรณ์ของ gonads ที่เป็นที่แหล่งเจริญเติบโตของเซลล์สีบพันธุ์ คือ เซลล์ไน์และสเปร์มของประรัง ซึ่งเซลล์ไน์ที่พบมีสีแดงเห็นได้ชัดเจนในโพลิปของโคลิโนนีที่พร้อมจะปล่อยเซลล์สีบพันธุ์ในช่วงเวลาพระจันทร์เต็มดวง โดยพบการปล่อยเซลล์สีบพันธุ์ช่วงเดือนกรกฎาคมและสิงหาคมมากที่สุด (Sakai, 1997, pp. 67-72; Yeemin, 1988, pp. 3-4; Yeemin, Nojima, & Kikuchi, 1990, p. 105) ซึ่งเหมือนกับการศึกษาการสร้างสีบพันธุ์เพศผู้และเพศเมียของประรังกลุ่มประรังเขากวาง (Acroporidae) ที่เกาะยาวายและในเขตทะเลอินโดแปซิฟิก พบว่าการปล่อยเซลล์สีบพันธุ์ของประรังมีมากในช่วงเดือนมิถุนายนถึงเดือนสิงหาคมเช่นกัน กลุ่มประรังเขากวาง (Acroporidae) จะปล่อยเซลล์สีบพันธุ์ในช่วงกลางคืนที่ดวงจันทร์เต็มดวงหรือสัมพันธ์กับข้างขึ้น-ข้างแรมของแต่ละเดือน ตัวอ่อนประรังที่ล่องลอยในมหาสมุทรจะแพร่กระจายไปในพื้นที่ต่าง ๆ อย่างไรก็ตาม ถ้าโคลิโนนีประรังได้รับผลกระทบจากปัจจัยต่าง ๆ ที่ไม่เหมาะสมจะส่งผลต่อการปล่อยเซลล์สีบพันธุ์ในธรรมชาติ คือ กระแสลม อุณหภูมิ ความเค็ม ซึ่งทำให้ในบางช่วงประรังจะพัฒนาเซลล์สีบพันธุ์ล่าช้าและระยะเวลาการสุกของไน์แตกต่างกัน ซึ่งทั้งหมดอาจเป็นปัจจัยหนึ่งที่ทำให้การปล่อยเซลล์สีบพันธุ์ของโคลิโนนีประรังลดลง (Atrigenio & Alino, 1994, p. 157; Heyward et al., 1987, pp. 331-343; Munasik, 2004, p. 371; Shimoike et al., 1992, p. 484; 1993, p. 253; Szmant, 1986, pp. 43)

นอกจากนี้โคลิโนนีของประรังชนิดเดียวกันจะมีความแตกต่างกันในเรื่องความดกของไน์ ในรายงานการศึกษาหลายพื้นที่ที่ผ่านมาพบว่าความดกของไน์ประรังแปรผันตามปัจจัยต่าง ๆ ได้แก่ ขนาดของโพลิป ตำแหน่งของโพลิปในโคลิโนนี อายุโคลิโนนี ความชุ่นของน้ำทะเล การแก่งแย่งพื้นที่ เป็นต้น (รัตนศิริ เพชรทองมา, 2549, หน้า 11; Soong, 1993, p. 77; Szmant, 1986, pp. 43-44) ซึ่งสอดคล้องกับผลการศึกษาความดกของไน์ประรังกลุ่ม *Acropora longicyathus* และ *A. aspera* บริเวณแนวประรังเกรทแบริอร์รีฟ ประเทศออสเตรเลีย พบว่าปริมาณสารอาหารจำพวกชาตุในโตรเจนและฟอสฟอรัสในน้ำทะเลมีอิทธิพลต่อขนาดและความดกของไน์ (Ward & Harrison, 2000, p. 179)

การลงเกาของตัวอ่อนปะการัง

ตัวอ่อนปะการัง (planula larva) ส่วนใหญ่มักจะล่องลอยอยู่ในมวลน้ำช่วงเวลาหนึ่งก่อนที่จะลงเกาะสู่พื้น เนื่องจากตัวอ่อนปะการังมีรูปแบบการพัฒนาตัวอยู่ 2 แบบด้วยกันคือ ตัวอ่อนปะการังที่พัฒนาในตัวแม่ (brooder planula หรือ internally developed planula) และตัวอ่อนปะการังที่พัฒนาในมวลน้ำทะเล (broadcast planula หรือ externally developed planula) โดย brooded planula ที่ถูกปล่อยจากตัวแม่นั้นจะมีรูปร่างสมบูรณ์แล้วและจะลงเกาะภายในเวลาไม่กี่ชั่วโมง หรือภายใน 2-3 วันเท่านั้น แต่ในพวง externally developed planula ต้องการระยะเวลาในการพัฒนาตัวอ่อนก่อน จึงต้องล่องลอยอยู่ในมวลน้ำอย่างน้อยประมาณ 4 วัน ก่อนการลงเกาะสู่พื้นว่างตามธรรมชาติ ความแตกต่างของระยะเวลาที่ดำรงชีพแบบแพลงก์ตอนของตัวอ่อนปะการังทั้งสองแบบนี้จะทำให้มีรูปแบบการแพร่กระจายของตัวอ่อนปะการังที่ต่างกัน (ธรรมศักดิ์ อิมิน, 2538, หน้า 2-3; Birkeland, 1997, p. 191)

Willis and Oliver (1988, pp. 853-854) ได้เปรียบเทียบการแพร่กระจายของตัวอ่อนปะการังที่ลงเกาะในช่วงฤดูร้อนกับช่วงฤดูที่ไม่มีฝนตก พบร่วมกันว่าตัวอ่อนปะการังบริเวณแนวปะการัง Great Barrier Reef จำนวนมากถูกปล่อยจากโคลโนนี้แม่มีการแพร่กระจายทั่วแนวปะการัง รวมทั้งยังล่องลอยสู่พื้นที่อื่น ๆ ด้วยการพัดพาของกระแสลมและมวลน้ำเป็นปัจจัยที่สำคัญ ซึ่งปัจจัยทางด้านชีวภาพและทางกายภาพ เช่น อุณหภูมิ น้ำเข็น-น้ำลง เป็นต้น ในระยะเวลาหรือช่วงฤดูกาลที่ปะการังปล่อยเซลล์สืบพันธุ์จะแพร่ผ่านตามสภาพสิ่งแวดล้อมและส่งผลต่อตัวอ่อนปะการังที่แพร่กระจายในธรรมชาติ (Babcock, 1988, p. 635; Baird, Marshall, & Wolstenholme, 2000, p. 385; Birkeland, 1997, p. 193; Fan et al., 2006, pp. 133-134; Gleason, 1996, p. 79; Hutchinson & Williams, 2001, pp. 57-58; Soong et al., 2003, pp. 224) การลงเกาของตัวอ่อนปะการังมีอิทธิพลต่อ โครงสร้างและความสมดุลในระดับประชากร (population) และกลุ่มสิ่งมีชีวิต (community) ในทะเล โดยจะมีบทบาทต่อการสร้างความสมดุลและความหลากหลายของสายพันธุ์สิ่งมีชีวิต ให้กับพื้นที่ ดังนั้น recruitment เป็นส่วนหนึ่งในองค์ประกอบหลักของโครงสร้าง community ของแนวปะการัง (Atrigenio & Alino, 1994, pp. 157-158; Dunstan & Hui, 2003, p. 188; Johnson, 1998, p. 71; Sammarco, 1991, p. 496; Soong et al., 2003, p. 224) ซึ่งมีความสอดคล้องกับการแพร่กระจายของตัวอ่อนปะการังที่ถูกกำหนดด้วยการดำรงชีพ

แบบแพลงก์ตอน จึงมีระยะเวลาในการพัฒนาตัวอ่อนปะการังและล่องลอยอยู่ในมวลน้ำ เป็นเวลานานก่อนที่จะลงเกาะในพื้นที่อื่น ๆ โดยทั่วไปตัวอ่อนปะการังที่ลงเกาะใหม่มี ความไวต่อการเลือกสภาพพื้นที่ลงเกาะมาก โดยเฉพาะการเลือกตำแหน่งของวัตถุที่จะลง-เกาะ ประเภทของพื้นที่ว่าง ความชื้นช้อนของพื้นที่ว่าง สภาพแวดล้อมหรือบริเวณที่อยู่รอบ ๆ ที่เหมาะสมต่อการลงเกาะ ความเข้มของแสง และทิศทางหรือมุมของวัตถุที่จะลงเกาะ รวมถึงความหนาแน่นหรือสัดส่วนของ recruitment ที่ลงเกาะในพื้นที่อย่างไรก็ตาม ความแปรปรวนนี้ยังต้องขึ้นอยู่กับความแตกต่างระหว่างช่วงฤดูกาลที่มีการลงเกาะของ ปะการัง (Adjeroud, Penin, & Carroll, 2006, p. 2; Babcock & Mundy, 1996, pp. 180-181; Birkeland, 1997, p. 192-193; Carlon, 2002, p. 34; Hutchinson & Williams, 2001, pp. 57-58; Minchinton & Scheibling, 1993, p. 233; Muko, Sakai, & Iwasa, 2001, pp. 67-69; Yeemin & Sudara, 1992, p. 15; 1994, p. 149) เมื่อตัวอ่อนลงเกาะบนพื้นที่ว่างเหมาะสม และจะพัฒนาโครงสร้างของตัวปะการังและขยายออกเป็นเส้นรอบวงที่กว้างขึ้นจนเป็น โคลนีขนาดใหญ่ขึ้น ซึ่งเป็นกระบวนการขึ้นพื้นฐานที่พัฒนาเป็นปะการังในรูปแบบต่าง ๆ (Babcock & Mundy, 1996, pp. 191-192; Van Moorsel, 1988, pp. 127-128)

งานวิจัยเกี่ยวกับ Settlement ส่วนมากจะศึกษาเกี่ยวกับการเติบโตและการอยู่รอด หลังจากลงเกาะของตัวอ่อนปะการัง ปริมาณและชนิดของตัวอ่อนปะการังที่ลงเกาะ โดย ทำการวางแผ่นกระเบื้อง (settlement plate experiment) เพื่อใช้ล้อตัวอ่อนปะการังลงเกาะ และศึกษาชนิดของปะการังที่ลงเกาะในระดับ genus ตามหลักอนุกรมวิธานของปะการัง (Harriott & Fisk, 1987, p. 201; Smith, Devlin, Haynes, & Gilmour, 2005, pp. 339-340) ขณะที่ Yeemin, Sudara, & Amornsakchai (1994, p. 149) ทำการศึกษาการลงเกาะของ ตัวอ่อนบริเวณเกาะพะงัน โดยศึกษาชนิดปะการัง การเจริญเติบโต และความหนาแน่น ของประชากรตัวอ่อนปะการังที่ลงเกาะในพื้นที่ ซึ่งคล้ายคลึงกับงานวิจัยในบริเวณแนว-ปะการังแบบ Maui ที่ Hawaii ซึ่งได้ทำการติดตามวงจรชีวิตปะการัง คือ การเติบโตของ ปะการังที่ Settlement และการปรับตัวต่อการอยู่รอดของตัวอ่อน พนว่าปะการังกลุ่ม *Montipora* มีการถ่ายทอดพลังงานที่มากพอให้ตัวอ่อนก่อนการลงเกาะ ทำให้ตัวอ่อน ปะการังมีโอกาสการอยู่รอดมากขึ้น ในทางตรงข้ามปะการังกลุ่ม *Pocillopora* และ *Porites* จะมีระดับพลังงานที่ใช้ก่อนการลงเกาะน้อย แต่มีอัตราการเติบโตที่เร็วกว่าเมื่อตัวอ่อน

ลงเกาะกับพื้นแล้ว (Brown, 2004, p. 356) ซึ่งในงานวิจัยของ Smith et al. (2005, pp. 339-340) ที่ศึกษาในเขต North Queensland ประเทศ Australia โดยการวางแผ่นกระเบื้องในแนวปะการัง เพื่อล่อตัวอ่อนของปะการังให้ลงเกาะ หลังจากนั้นนำแผ่นกระเบื้องที่ได้มาจะศึกษาด้วยกล้องจุลทรรศน์ เพื่อศึกษาอัตราการลงเกาะของ planulae พนวณว่ามีปะการังเขากวางเป็นกลุ่ม *Acropora* ที่แพร่กระจายเป็นชนิดเด่นในพื้นที่ จะพบความหนาแน่นของตัวอ่อนปะการังจำนวนมากในช่วงฤดูร้อนเดือนกรกฎาคมถึงเดือนตุลาคม เมื่อตัวอ่อนลงเกาะบนพื้นแล้วจะมีอัตราการเจริญเติบโตของ juvenile coral ในพื้นที่สูงมากและทำให้ตัวอ่อนมีอัตราการซึมซับที่สูงมาก สำหรับในอ่าวไทยได้ทำการทดลองด้วยวิธีการวางแผ่นกระเบื้องลงในทะเล โดยการใช้พื้นผิวกระเบื้องที่วางในลักษณะแนวราบแนวคิ่ง และแนวเฉียง 45 องศา เพื่อสังเกตตำแหน่งการลงเกาะของตัวอ่อนปะการัง (Yeemin et al., 1994, p. 149) การลงเกาะของตัวอ่อนปะการังจะพบมากในช่วงฤดูร้อนคือ เดือนมีนาคมถึงเดือนพฤษภาคม (Atrigenio & Alino, 1994, p. 157; Glassom, Cliers, & Schleyer, 2006, p. 485) ในขณะที่บริเวณ Mayotte ในมหาสมุทรอินเดียพบว่าช่วงฤดูที่อบอุ่นส่วนใหญ่เป็นระยะเวลาการลงเกาะของตัวอ่อนที่สูงที่สุด คือ เดือนกุมภาพันธ์ เนื่องจากได้รับอิทธิพลของกระแสน้ำอุ่น ซึ่งเป็นปัจจัยที่ทำให้มีการแพร่กระจายมาก และตัวอ่อนปะการังที่ลงเกาะในพื้นที่จะลดลง ตามระดับความลึก ปะการังที่พบมากส่วนใหญ่อยู่ในครอบครัว *Pocilloporidae* และ *Acroporidae* (Carlon, 2002, p. 33; Chanfi, 2004, p. 366; Glassom et al., 2006, p. 485; Gleason, 1996, p. 79) สองกลุ่มกับ Adjeroud, Penin, and Carroll (2006, pp. 204-205) กล่าวถึงการลงเกาะของตัวอ่อนปะการังในบริเวณเกาะ Moorea จากการศึกษาปัจจัยทางกายภาพอื่น ๆ ที่มีอิทธิพลต่อตัวอ่อนปะการังลงเกาะในพื้นที่ได้แก่ ระดับความลึก พนวณว่ามีปริมาณตัวอ่อนปะการังลงเกาะลดลงในพื้นที่ที่มีความลึกมากขึ้น ซึ่งตัวอ่อนปะการังส่วนใหญ่ที่พบเป็นกลุ่ม *Acroporidae* *Pocilloporidae* และ *Poritidae* โดยมีปริมาณการลงเกาะของตัวอ่อนมากในช่วงเดือนธันวาคมถึงเดือนมีนาคม

การศึกษาและติดตามการลงเกาะของตัวอ่อนปะการังบริเวณต่าง ๆ ทั่วโลกนั้น โดยทั่วไปจะมีวิธีศึกษาและทำการติดตามผลจากวัดต่าง ๆ ที่นำไปวางไว้ในทะเล เพื่อล่อให้ตัวอ่อนปะการังลงเกาะ และศึกษาอัตราการลงเกาะของตัวอ่อนปะการังบนพื้นแนวปะการังในธรรมชาติโดยตรง ซึ่งมีช่วงระยะเวลาการติดตามผลค่อนข้างจะยาวนาน

(ธรรมศักดิ์ ยีมิน, 2538, หน้า 3; Sammarco, 1991, pp. 496) จากรายงานวิจัยเกี่ยวกับการปอกคลุนพื้นที่ของปะการัง ซึ่งได้ทำการศึกษาการเปลี่ยนแปลงของสภาพแวดล้อมปะการังที่อยู่ใกล้บริเวณปากแม่น้ำในบริเวณทางตอนเหนือของรัฐควีนเคนต์ ประเทศออสเตรเลีย โดยทำการติดตามขนาด โคลอนี อัตราการเจริญเติบโต และการอยู่รอดของ juvenile coral ในกลุ่มปะการังเขากวาง ด้วยวิธีการสำรวจแบบ Belt transect ยาว 50 เมตร กว้าง ข้างละ 25 เซนติเมตร และวิธีการศึกษาแบบ Random quadrat เพื่อศึกษาปอกคลุนของปะการังเขากวางในพื้นที่ (Yeemin et al., 1992, p. 63; Smith et al., 2005, pp. 340-342) เช่นเดียวกับงานวิจัยของ Goffredo and Chadwick-Furman (2000, p. 241-243) ทำการศึกษาความสมบูรณ์และการแพร่กระจายของปะการัง (Fungiidae) ในแนวปะการังของทะเล Red Sea ในแต่ละระดับความลึกของน้ำทะเลในแนวปะการัง

นอกจากนี้การสำรวจการปอกคลุนของ juvenile coral สามารถศึกษาโดยใช้วิธี video techniques ที่ทำการบันทึกภาพข้อมูลแบบเคลื่อนไหวบนพื้นที่ line intercept transects แล้วนำข้อมูลมาวิเคราะห์ ซึ่งการศึกษาริเวณแนวปะการัง Great Barrier Reef ในช่วงเดือนกันยายน ในปี 1988 ถึงกันยายน ปี 1990 โดยสามารถรายงานถึงความสมบูรณ์ และเปอร์เซ็นต์ปอกคลุนของปะการังและกลุ่มสัตว์มีชีวิตชนิดอื่น ๆ เช่น การปอกคลุนพื้นที่ของปะการังอ่อน ฟองน้ำ เป็นต้น ที่มีอยู่ในพื้นที่ศึกษาหรือการเปลี่ยนแปลงของพื้นที่ (Carleton & Done, 1995, p. 201; Page, Coleman, Ninio, & Osborne, 2001, pp. 20-29; Gleason, et al., 2007, p. 1009; Reichelt, Loya, & Bradbury, 1986, p. 73)

การพื้นฟูแนวปะการัง

แนวปะการังที่เสื่อมโทรมลงอาจจะมีการฟื้นตัวตามธรรมชาติ หรือมนุษย์ก็จำเป็นต้องช่วยในการพื้นฟูแนวปะการัง ซึ่งมีหลักเกณฑ์ที่สำคัญในการพิจารณา คือ (1) โอกาสในการฟื้นตัวเองตามธรรมชาติ (2) ระยะเวลาที่ใช้ในการฟื้นฟูแนวปะการัง (3) มนุษย์จำเป็นต้องช่วยในการกระบวนการฟื้นฟูแนวปะการังหรือไม่ ด้วยวิธีใด (4) ความจำเป็นในการศึกษาวิจัยทั้งในด้านความรู้พื้นฐาน และเทคนิคหรือเทคโนโลยีใหม่ ๆ และ (5) นโยบาย

การวางแผนและการจัดการ (ธรรมศักดิ์ ยิมิน, 2540, หน้า 22)

โดยกระบวนการพื้นฟูแนวปะการังตามธรรมชาติมีหลายแบบทั้งวิธีอาศัยเพศ และไม่อาศัยเพศของปะการัง ได้แก่ การเติบโตของโคลoni (vegetative growth) จากการแตกหน่อ (budding) การหักออกจากโคลอนีเดิมทั้งส่วนของหินปูนแล้วเนื้อเยื่อและพัฒนาเป็นโคลอนีใหม่ (fragmentation) การหลุดออกมานอกพาร์ส่วนของเนื้อเยื่อของโคลอนีเดิมไปพัฒนาเป็นโคลอนีใหม่ (polyp bail-out) การหลุดออกมายังส่วนของเนื้อเยื่อและหินปูน (polyp) แล้วลงเกาะเป็นโคลอนีเป็นโคลอนีใหม่ (polyp expulsion) การสร้างตัวอ่อน (planula) และแบบไม่อาศัยเพศหรือ pathogenesis ส่วนการสร้างตัวอ่อน (planula) ด้วยการปฏิสัณธิแบบอาศัยเพศ (ทันศักดิ์ จันทร์เมธากุล, 2545, หน้า 14-15; Highsmith, 1982, p. 207; Sammarco, 1982, pp. 57-65; Smith & Hughes, 1999, p. 148) สรุปได้ว่า แนวทางการพื้นฟูนั้นมีอยู่หลายวิธีขึ้นอยู่สภาพของสถานที่ วัตถุประสงค์ โดยอาศัยพื้นฐานทางค้านชีววิทยาแนวปะการังเป็นหลักเกณฑ์ในการเลือกวิธีการที่เหมาะสมในการพื้นฟู ของแนวปะการังตามสภาพพื้นที่

จากการศึกษาพบว่าการแตกหักของปะการังก็เป็นขบวนการสำคัญของการสืบพันธุ์แบบไม่อาศัยเพศในปะการังหลายชนิดที่จะเจริญเติบโตบนพื้นที่ว่าง ซึ่งชั้นส่วนปะการังแตกหักที่เกิดจากคลื่น พายุ และความแปรปรวนของสภาพอากาศ รวมทั้งกิจกรรมต่าง ๆ ที่เกิดขึ้นบนแนวปะการังจากมนุษย์ (รัตนศิริ เพชรทองมา, 2549, หน้า 15; Highsmith, 1982, p. 207) การให้ตัวอ่อนปะการังลงเกาะเองตามธรรมชาติกับพื้นที่ (substrate) เพื่อพัฒนาเป็นกลุ่มแนวปะการังใหม่ในระยะยาว (Pearson, 1981, p. 122) จากการงานวิจัยของนักวิจัยหลาย ๆ ท่านได้ศึกษาในเรื่องการพื้นฟูแก่แนวปะการังจากภัยธรรมชาติต่าง ๆ เช่น พายุ คลื่นสึนามิ เป็นต้น รวมทั้งความเสียหายจากกิจกรรมของมนุษย์ เช่น การระเบิดปลา หรือการใช้สารเคมีในการขันสัตว์น้ำในแนวปะการัง เป็นต้นสาเหตุเหล่านี้ สร้างความเสียหายอย่างร้ายแรงต่อแนวปะการัง จากรายงานของ Fox et al. (2003, pp. 1024-1025) ในการศึกษาการพื้นฟูแนวปะการังบริเวณอุทยานแห่งชาติ Komodo และอุทยานแห่งชาติ Bunaken ของประเทศไทย โดยนิเชีย จาสถานที่การทำประมงพื้นบ้านด้วยวิธีระเบิดปลาตามแนวปะการัง ทำให้ปะการังที่ได้รับความเสียหายและแตกหักเป็นเศษ-ชากปะการัง จึงได้ทำการศึกษาแนวทางการพื้นฟูของปะการัง โดยทดลองใช้พื้นที่ที่

เป็นเศษชากปะการัง (rubble) ที่มีมากในพื้นที่ธรรมชาติและทำการติดตามการลงเกาของตัวอ่อนปะการังรุ่นใหม่บนพื้นที่น้ำ พนบว่าการลงเกาของตัวอ่อนปะการังมีความหนาแน่นต่ำ เพราะบนพื้นที่เศษชากปะการัง (rubble) นั้นไม่มีความเสถียรพอและสามารถเคลื่อนที่ไปมาจากการกระแสน้ำได้ ซึ่งคล้ายคลึงกับการศึกษาของ Raymundo et al. (2007, pp. 1009) ทำการพื้นฟูแนวปะการังที่ได้รับผลกระทบจากการเบิดปลาที่มีมากกว่า 20 ปี ในบริเวณพื้นที่อนุรักษ์ทางทะเลของประเทศไทยปีนี้ โดยทำการเพิ่มความชันขึ้นของพื้นที่น้ำ และยึดติดพื้นที่เป็นเศษชากปะการัง (rubble) ให้ติดอยู่กับที่รวมทั้งติดตามปริมาณตัวอ่อนปะการังที่ลงเกาบนพื้นที่ว่างที่ศึกษา นอกจากนี้ได้สำรวจความหนาแน่นของสิ่งมีชีวิตที่เข้ามาอาศัย พนบว่ามีกลุ่มปลา ปะการัง และสิ่งมีชีวิตอื่นมีปริมาณเพิ่มขึ้นในพื้นที่

บทที่ 3

วิธีดำเนินการวิจัย

การศึกษารังนี้เป็นรูปแบบการวิจัยเชิงสำรวจในลักษณะเชิงคุณภาพและเชิงปริมาณ ของตัวอ่อนปะการังที่ลงเกาะ (juvenile coral) ในพื้นที่ศึกษา เพื่อวิเคราะห์การเปลี่ยนแปลง ความสมมูลณ์ของสภาพแนวปะการังหลังได้รับอิทธิพลจากคลื่นสึนามิ ซึ่งแบ่งการศึกษา ออกได้เป็น 4 ส่วน คือ ในส่วนแรกดำเนินการศึกษาการเปลี่ยนแปลงโครงสร้างแนวปะการัง ในช่วงเวลา ก่อนและหลังเหตุการณ์คลื่นสึนามิรวมถึงพื้นที่ที่มีศักยภาพในการฟื้นตัวของ แนวปะการัง ส่วนที่สองศึกษาช่วงเวลาการสร้างเซลล์สืบพันธุ์ของโคลโนะปะการังใน ธรรมชาติ ส่วนที่สามเป็นการศึกษาเชิงปริมาณของความหนาแน่นของประชากรตัวอ่อน ปะการังที่ลงเกาะ ได้ในธรรมชาติ และส่วนที่สี่ศึกษาความชัดช้อนของพื้นที่ว่างประเภท ต่าง ๆ ที่มีศักยภาพต่อการลงเกาะบนพื้นธรรมชาติ ซึ่งพื้นที่ดำเนินการวิจัยเป็นพื้นที่ ท่องเที่ยวเชิงอนุรักษ์ทางทะเลในเขตอุทยานแห่งชาติหมู่เกาะสุรินทร์

สถานที่ทำการศึกษา

ในการวิจัยครั้งนี้ได้กำหนดสถานีศึกษาในบริเวณแนวปะการังของอุทยานแห่งชาติ หมู่เกาะสุรินทร์ จังหวัดพังงา ดังแสดงในภาพ 7 ซึ่งแต่ละพื้นที่ได้รับผลกระทบจาก คลื่นสึนามิโดยตรงและมีระดับความรุนแรงที่แตกต่างกัน คือ อ่าวจาก อ่าวแม่ยาย อ่าวสุเทพ อ่าวผักกาด และเกาะตอริสาหรือเกาะไช่ ดังแสดงในภาพ 8 เป็นสถานีศึกษาหลัก โดยศึกษา ด้วยวิธีการดำเนินแบบใช้ถังอากาศ (SCUBA diving) และได้ศึกษาเพิ่มเติมในพื้นที่ใกล้เคียง อีก 4 สถานี คือ เกาะสตอร์คหรือเกาะรี อ่าวไม้งาม อ่าวเต่า และเกาะป่าชุมบากหรือเกาะมังกร โดยเริ่มทำการศึกษาตั้งแต่เดือนมกราคม 2547 ถึงเดือนพฤษภาคม 2549 ในแต่ละพื้นที่ ของอุทยานแห่งชาติ ซึ่งมีลักษณะของสภาพแนวปะการัง ดังนี้

1. อ่าวจาก ตั้งอยู่ทางด้านตะวันออกเฉียงเหนือของเกาะสุรินทร์เหนือมีจุดพิกัดที่ ละติจูด 9 องศา 27 ลิปดา 36.37 พิกัดเหนือ และลองติจูด 97 องศา 53 ลิปดา 33.84 พิกัด ตะวันออก ถึงละติจูด 9 องศา 27 ลิปดา 11.24 พิกัดเหนือ และลองติจูด 97 องศา 52 ลิปดา 08.33 พิกัดตะวันออก การก่อตัวของแนวปะการังตั้งแต่ระดับความลึกน้ำทะเล 1-10 เมตร โดยแนวปะการังบริเวณนี้มีความกว้างประมาณ 200-250 เมตร มีการปักคลุมของ ปะการังมีชีวิตประมาณ 70-80% ของพื้นที่ สภาพแนวปะการังอยู่ในระดับสมบูรณ์ค่อนข้าง ส่วนใหญ่ปะการังที่พบมีรูปทรงแบบก้อน (massive) แบบกึ่งก้อน (submassive) แบบกิ่งก้าน (branching) แบบโต๊ะ (table) แบบแผ่น (foliose) แบบเคลือบ (encrusting) และปะการัง ดอกเห็ด (mushroom) ปะการังชนิดเด่นที่พบ ได้แก่ ปะการังเขากวาง (*Acropora spp.*) ปะการังโขด (*Porites lutea*) ปะการังผิวผุย (*Porites rus*) ปะการังดาวใหญ่ (*Diploastrea heliopora*) ปะการังสมองร่องขาว (*Platygyra spp.*) ปะการังสมองร่องใหญ่ (*Sympyllia spp.*) ปะการัง วงแหวน (*Favia spp.*) ปะการังช่องเหลี่ยม (*Favites spp.*) และปะการังดอกไม้ (*Goniopora spp.*) เป็นต้น รวมถึงมีชีวิตชนิดเด่นอื่น ๆ ที่พบ ได้แก่ ปะการังไฟแบบแผ่นและแบบกิ่ง (*Millepora platyphylla, M. tenella*) เม่นทะเลนามยาวสีดำ (*Diadema setosum*) เป็นต้น

2. อ่าวแม่ยาย ตั้งอยู่ทางด้านใต้ของเกาะสุรินทร์เหนือมีจุดพิกัดที่ ละติจูด 9 องศา 25 ลิปดา 17.09 พิกัดเหนือ และลองติจูด 97 องศา 53 ลิปดา 59.36 พิกัดตะวันออก ถึงละติจูด 9 องศา 24 ลิปดา 47.71 พิกัดเหนือ ลองติจูด 97 องศา 52 ลิปดา 47.62 พิกัด ตะวันออก ซึ่งมีการก่อตัวของแนวปะการังในระดับความลึกจากแนวชายฝั่งจนถึงระดับ ความลึกของน้ำทะเล 20 เมตร มีแนวปะการังกว้างประมาณ 120 เมตร มีปะการังปักคลุม พื้นที่ 45-60% จัดอยู่ในสภาพสมบูรณ์ดีและมีลักษณะเป็นแนวปะการังที่มีปะการังเติบโต บนพื้นทราย พนปะการังชนิดเด่นหลายชนิด ได้แก่ ปะการังโขด (*Porites lutea*) ปะการัง ผิวผุย (*Porites rus*) ปะการังนิ่วมือผิวเรียบ (*Porites cylindrica*) ปะการังเขากวาง (*Acropora spp.*) ปะการังดาวใหญ่ (*Diploastrea heliopora*) และปะการังดอกไม้ (*Goniopora spp.*) เป็นต้น สิ่งมีชีวิตชนิดเด่นอื่น ๆ ที่พบ ได้แก่ ปะการังอ่อน (*Nephthea sp.*) และปะการังไฟแบบแผ่นและแบบกิ่ง (*Millepora platyphylla, M. tenella*) เป็นต้น

3. อ่าวสุเทพ เป็นอ่าวที่อยู่ทางด้านตะวันตกของเกาะสุรินทร์ใต้มีจุดพิกัดที่ ละติจูด 9 องศา 25 ลิปดา 05.01 พิกัดเหนือ และลองติจูด 97 องศา 51 ลิปดา 09.43 พิกัด-

ตะวันออก ถึงละติจูด 9 องศา 24 ลิปดา 58.63 พีลิปดาเหนือ ลงติจูด 97 องศา 50 ลิปดา 36.45 พีลิปดาตะวันออก มีความกว้างของแนวปะการังประมาณ 250 เมตร มีการปักกลุ่มของปะการังในพื้นที่ประมาณ 55-70% ซึ่งอยู่ในสภาพสมบูรณ์ดีและมีการก่อตัวของแนวปะการังริมหาดฝั่งประมาณ 1 เมตร จนถึงระดับความลึก 14 เมตร ลักษณะเด่นในพื้นที่ส่วนใหญ่ปักกลุ่มด้วยปะการังเขากวาง (*Acropora spp.*) ที่เจริญเติบโตบนพื้นทราย ซึ่งมีความหลากหลายของชนิดมาก เช่น *Acropora aspera*, *A. formosa*, *A. clathrata* และ *A. millepora* เป็นต้น ปะการังชนิดเด่นอื่น ๆ ที่พบได้แก่ ปะการังโขด (*Porites lutea*) ปะการังน้ำมือ ผิวเรียบ (*Porites cylindrica*) และปะการังผิวเกลี้ยน้ำแข็ง (*Motipora aequituberculata*) เป็นต้น ส่วนสิ่งมีชีวิตชนิดเด่นอื่น ๆ ที่พบได้แก่ ปะการังอ่อน (*Sinularia sp.*, *Nephthea sp.*) และปะการังไฟ (*Millepora platyphylla*, *M. tenella*) เป็นต้น

4. อ่าวผักกาด ตั้งอยู่ทางด้านใต้ของเกาะสุรินทร์ ได้มีจุดพิกัดที่ละติจูด 9 องศา 22 ลิปดา 51.23 พีลิปดาเหนือ และลงติจูด 97 องศา 52 ลิปดา 53.79 พีลิปดาตะวันออก ถึงละติจูด 9 องศา 22 ลิปดา 43.73 พีลิปดาเหนือ ลงติจูด 97 องศา 52 ลิปดา 20.96 พีลิปดาตะวันออก มีแนวปะการังกว้างประมาณ 89 เมตร การก่อตัวของแนวปะการังระดับความลึกน้ำทะเล 0.5-16 เมตร มีปะการังที่มีชีวิตปักกลุ่มพื้นที่ประมาณ 45-50% อยู่ในสภาพสมบูรณ์ ปานกลาง ปะการังชนิดเด่นที่พบได้แก่ ปะการังโขด (*Porites lutea*) ปะการังเขากวาง (*Acropora spp.*) และปะการังผิวหยาบ (*Porites rus*) เป็นต้น ซึ่งโครงสร้างแนวปะการังอ่าวผักกาด พบว่าปะการังมีความสมบูรณ์ดีช่วงบริเวณโชนลادชัน ส่วนบริเวณที่ศีนของอ่าวผักกาดพบการตายของปะการังเขากวางเป็นบริเวณกว้างปักกลุ่มพื้นที่เฉลี่ย 30-45% ของพื้นที่ นอกจากนี้สิ่งมีชีวิตชนิดเด่นอื่น ๆ ที่พบได้แก่ กัลปังหานบริเวณที่ลึก ฟ่องน้ำทะเล และปะการังไฟ (*Millepora platyphylla*, *M. tenella*) เป็นต้น

5. เกาะคอรินดา ตั้งอยู่ทางด้านทิศใต้ของเกาะสุรินทร์ ได้มีจุดพิกัดที่ละติจูด 9 องศา 25 ลิปดา 05.01 พีลิปดาเหนือ และลงติจูด 97 องศา 51 ลิปดา 09.43 พีลิปดาตะวันออก ถึงละติจูด 9 องศา 24 ลิปดา 58.63 พีลิปดาเหนือ ลงติจูด 97 องศา 50 ลิปดา 36.45 พีลิปดาตะวันออก แนวปะการังส่วนใหญ่มีความกว้างประมาณ 100 เมตร โดยเริ่มก่อตัวตั้งแต่บริเวณชายฝั่งที่มีความลึกประมาณ 1 เมตร ลักษณะทั่วไปของแนวปะการังบริเวณนี้ส่วนใหญ่เป็นพื้นฐานมีความยาวประมาณ 70 เมตร ส่วนที่มีความลาดชันมีความกว้างประมาณ

30 เมตร จนถึงระดับความลึกประมาณ 16 เมตร ในอัตราแนวปะการังในบริเวณนี้มีความสมบูรณ์ค่อนข้างมาก มีการปักคลุนของปะการังประมาณ 70-90% โดยเฉพาะปะการังเขากวาง (*Acropora spp.*) ที่พับมากและมีความหลากหลาย หลังจากเกิดเหตุการณ์คลื่นสึนามิทำให้แนวปะการังบริเวณนี้ได้รับผลกระทบอย่างมาก ปะการังชนิดอื่นที่พับในบริเวณนี้ได้แก่ ปะการังโขด (*Porites lutea*) ปะการังสมองร่องใหญ่ (*Sympyllia spp.*) ปะการังวงแหวน (*Favia spp.*) และปะการังดอกกระหลา (*Pocillopora damicornis*) เป็นต้น สิ่งมีชีวิตชนิดเด่นอื่น ๆ ที่พับในบริเวณนี้ได้แก่ ปะการังไฟแบบแผ่นและกิ่งก้าน (*Millepora platyphylla*, *M. tenella*) ปะการังอ่อน (*Sinularia sp.*, *Nephthea sp.*) และดอกไม้ทะเล (*Heteractis magnifica*) เป็นต้น

6. เกาะสตอร์ค ตั้งอยู่ด้านทิศตะวันออกเฉียงเหนือของเกาะสุรินทร์เหนือน้ำมีจุดพิกัดที่ละติจูด 9 องศา 28 ลิปดา 44.26 พลิปดาเหนือ และลองติจูด 97 องศา 54 ลิปดา 10.87 พลิปดาตะวันออก ถึงละติจูด 9 องศา 28 ลิปดา 22.76 พลิปดาเหนือ ลองติจูด 97 องศา 54 ลิปดา 19.09 พลิปดาตะวันออก ซึ่งมีการก่อตัวของแนวปะการังกว้างประมาณ 150 เมตร แนวปะการังเริ่มต้นที่ความลึกประมาณ 1.5 เมตร บริเวณริมฝั่งมีลักษณะเป็นกลุ่มปะการังบนพื้นทรายส่วนใหญ่พับปะการังสีน้ำเงิน (*Heliopora coerulea*) และปะการังผิวเกลี้ยง (*Montipora aequituberculata*) ถัดมาเป็นปะการังตาวยที่มีปะการังอ่อนชนิด *Nephthea sp.* เติบโตอยู่บริเวณนี้ เมื่อถัดจากแนวซากปะการังตายอ่อนมาจะเป็นแนวปะการังบริเวณพื้นราบและบริเวณที่ลาดชัน แนวปะการังสีน้ำสุดที่ระดับความลึกที่ 20 เมตร สภาพการปักคลุนแนวปะการังในบริเวณนี้มีความสมบูรณ์ปานกลาง การปักคลุนของปะการังประมาณ 25-40% ส่วนบริเวณที่ลึกพับปะการังโขด (*Porites lutea*) ขนาดใหญ่ 1-4 เมตร กระจายอยู่ทั่ว ๆ ไปสลับกับปะการังเขากวาง (*Acropora spp.*) และปะการังชนิดอื่น ๆ เช่น ปะการังนิ่วมีผิวขรุขระ (*Porites nigrascens*) ปะการังดอกเห็ด (*Fungia sp.*) ปะการังดอกไม้ทะเล (*Goniopora spp.*) เป็นต้น

7. อ่าวไม้งาม เป็นอ่าวที่อยู่ทางด้านตะวันตกเฉียงเหนือของเกาะสุรินทร์เหนือน้ำมีจุดพิกัดที่ละติจูด 9 องศา 26 ลิปดา 48.30 พลิปดาเหนือ และลองติจูด 97 องศา 51 ลิปดา 04.56 พลิปดาตะวันออก ถึงละติจูด 9 องศา 26 ลิปดา 17.32 พลิปดาเหนือ ลองติจูด 97 องศา 50 ลิปดา 36.45 พลิปดาตะวันออก มีลักษณะเป็นอ่าวปิดและในบริเวณที่ทำการศึกษาอยู่

ทางทิศใต้ พนว่ามีปะการังมีชีวิตปกคลุมพื้นที่ประมาณ 55-65% จัดว่ามีความสมบูรณ์ดี ปานกลาง ซึ่งมีการก่อตัวของแนวปะการังมีความกว้างประมาณ 120 เมตร โดยเริ่มต้น บริเวณชายฝั่งซึ่งเป็นโขดหินที่ระดับความลึกของน้ำประมาณ 1 เมตร และจะค่อยๆ ลดลงมาพบว่ามีลักษณะเป็นกลุ่มปะการังบนโขดหิน ปะการังส่วนใหญ่ที่พบ คือ ปะการัง เขากวางที่เจริญอยู่บนพื้นทราย แนวปะการังสิ้นสุดที่ความลึกประมาณ 14 เมตร สิ่งมีชีวิต ชนิดเด่นอื่น ๆ ที่พบในบริเวณนี้ ได้แก่ ปะการังไฟแบบแผ่นและกิงก้าน (*Millepora platyphylla*, *M. tenella*) ปะการังอ่อน (*Sinularia* sp., *Nephthea* sp.) และดอกไม้ทะเล (*Heteractis magnifica*) เป็นต้น

8. เกาะมังกร ตั้งอยู่ทางด้านตะวันตกของเกาะสูrinทร์ ให้มีจุดพิกัดที่ละติจูด 9 องศา 25 ลิปดา 31.41 พลีปดาเหนือ และลองติจูด 97 องศา 50 ลิปดา 02.09 พลีปดาตะวันออก ถึงละติจูด 9 องศา 25 ลิปดา 07.05 พลีปดาเหนือ ลองติจูด 97 องศา 49 ลิปดา 41.32 พลีปดา- ตะวันออก แนวปะการังกว้างประมาณ 200 เมตร มีปะการังปักคลุมพื้นที่ 65-80% จัดอยู่ ในสภาพสมบูรณ์ดี การก่อตัวของแนวปะการังในระดับความลึกน้ำทะเล 0.5-12 เมตร ลักษณะเด่นคือบริเวณที่ดีนพบปะการังดอกกระหลา (*Pocillopora verrucosa*) ปักคลุมพื้นที่ เป็นบริเวณกว้าง ส่วนบริเวณที่ลึกพบปะการังไขด (*Porites lutea*) มีโคลนีขนาดใหญ่ 1-4 เมตร ปะการังชนิดเด่นอื่น ๆ ที่พบ ได้แก่ ปะการังเขากวาง (*Acropora* spp.) ปะการังผิวหยาบ (*Porites rus*) ปะการังนิ่วมือผิวเรียบ (*Porites cylindrica*) ปะการังดอกเห็ด (*Fungia* sp.) และปะการังซ่องหนาน (*Echinopora lamellosa*) เป็นต้น นอกจากนี้สิ่งมีชีวิตชนิดเด่น อื่น ๆ ที่พบ ได้แก่ กัลปังหาในบริเวณที่ลึก ดอกไม้ทะเลที่คล้ายปะการัง (*Corallimorph*) และปะการังไฟ (*Millepora platyphylla*, *M. tenella*) เป็นต้น

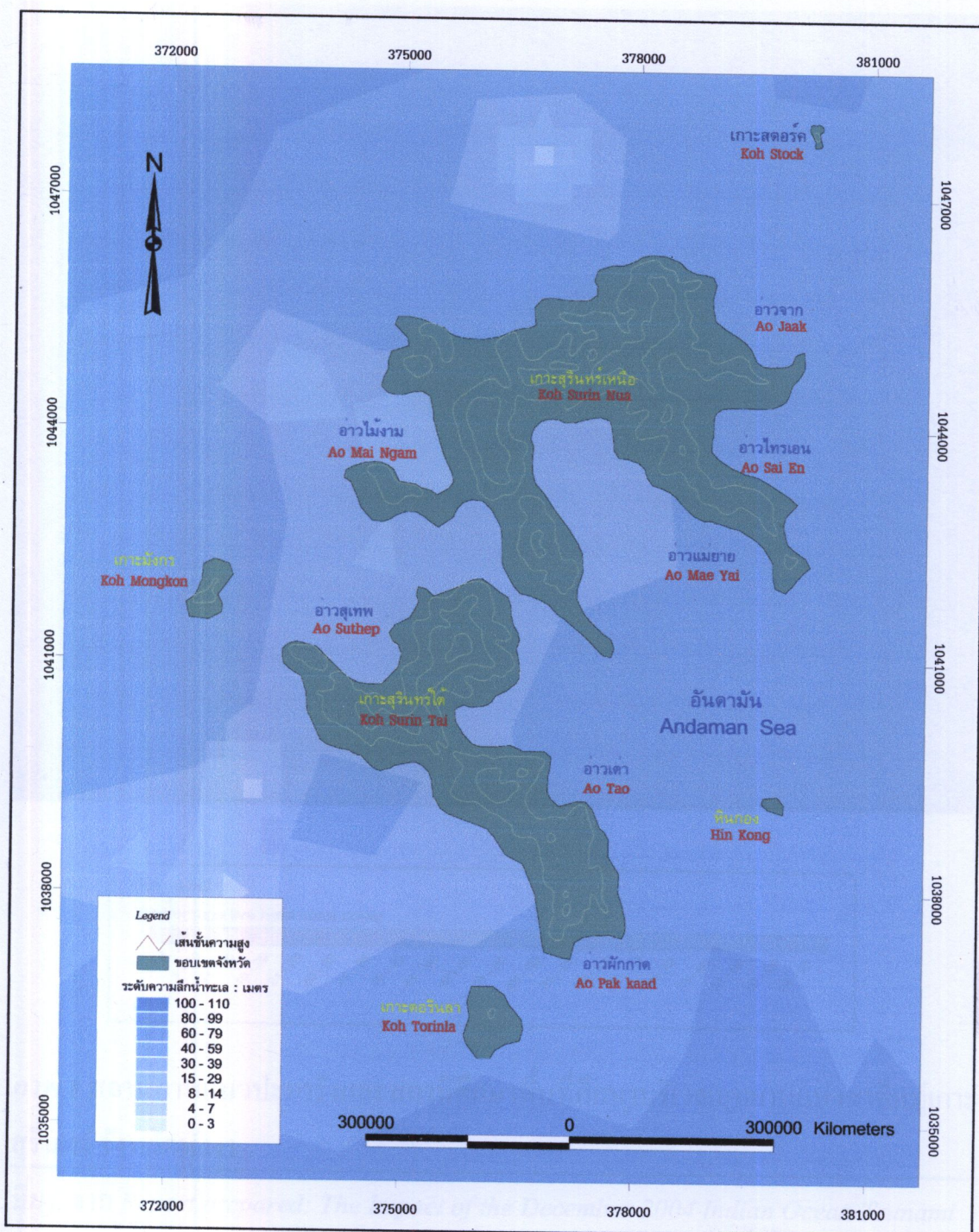
9. อ่าวเต่า เป็นอ่าวอยู่ทางด้านตะวันออกของเกาะสูrinทร์ ให้มีจุดพิกัดที่ละติจูด 9 องศา 24 พลีปดา 12.27 พลีปดาเหนือ และลองติจูด 97 องศา 52 ลิปดา 25.83 พลีปดา- ตะวันออก ถึงละติจูด 9 องศา 22 ลิปดา 55.79 พลีปดาเหนือ ลองติจูด 97 องศา 52 ลิปดา 57.33 พลีปดาตะวันออก แนวปะการังนี้มีความกว้างประมาณ 86 เมตร โดยเริ่มตั้งแต่ บริเวณชายฝั่งที่ระดับความลึกของน้ำประมาณ 1 เมตร ในบริเวณชายฝั่งมีลักษณะเป็น กลุ่มปะการังบนพื้นทรายและมีชากระบบปะการังปะปนอยู่เป็นจำนวนมาก ตัวมากจากชายฝั่ง เป็นปะการังที่มีการเจริญเติบโตเป็นแนวอย่างชัดเจน ลักษณะเด่นของพื้นที่นี้มีบริเวณ

ตลาดชั้นที่เป็นหน้าผาสูงชันมาก บริเวณด้านนอกสุดของแนวปะการังมีปะการังกระหายอยู่เป็นหย่อมประปันกับชาติปะการัง แนวปะการังสีน้ำเงินที่ความลึกประมาณ 18 เมตร พน มีปะการังปักคลุนพื้นที่ 40-50% อยู่ในสภาพสมบูรณ์คือปานกลางปะการังส่วนใหญ่คือ ปะการังโขด (*Porites lutea*) ปะการังเขากวาง (*Acropora* spp.) ปะการังผิวเผือก (*Porites rus*) ปะการังสมองร่องตื้น (*Australomussa rowleyensis*) ปะการังคอกระหลาม (*Pocillopora damicornis*) ปะการังช่องเหลี่ยม (*Favites* spp.) เป็นต้นสิ่งมีชีวิตอื่น ๆ ที่พบในบริเวณนี้ ได้แก่ ปะการังไฟ (*Millepora platyphylla*, *M. tenella*) กัลปังหา (*Rumphella* sp.) พองน้ำครก (*Xestospongia* sp.) และพรหมทะเล (*Protopalythoa* sp.)

โครงสร้างของประชาชุมปะการัง

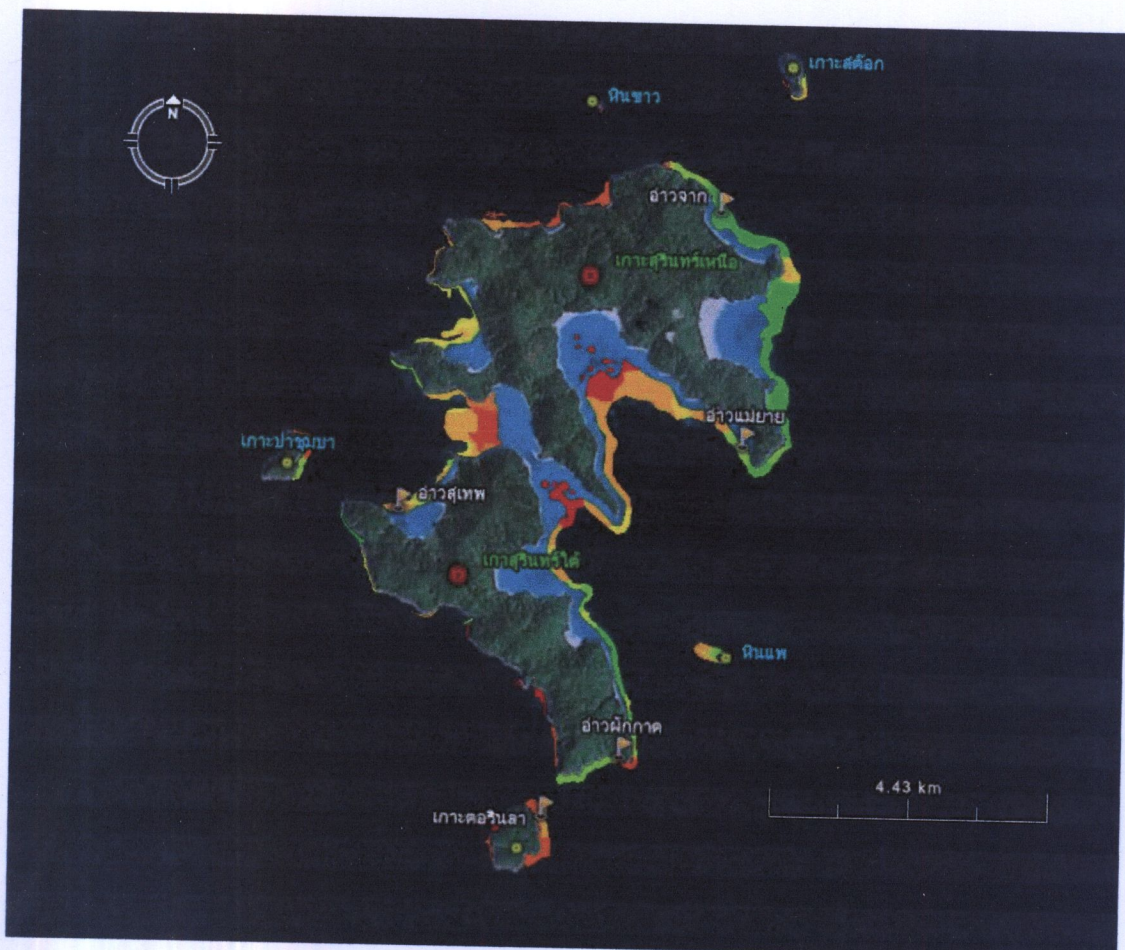
องค์ประกอบของแนวปะการัง

การศึกษาโครงสร้างของกลุ่มปะการังมีชีวิตที่ปักคลุนในพื้นที่ทั้งก่อนและหลัง การเปลี่ยนแปลงจากคลื่นสึนามิ โดยการดำเนินแบบลอยผิวน้ำศึกษาทั่วบริเวณพื้นที่แนวปะการัง ทำการบันทึกข้อมูลถึงค่าขององค์ประกอบแนวปะการังแต่ละประเภท และการดำเนินแบบใช้ถังอากาศ (SCUBA diving) เพื่อบันทึกข้อมูลด้วยวิธีการวางแผนเส้นเทป (line intercept transect) ซึ่งวางแผนเส้นเทปนั้นจะวางแผนพาดผ่านแนวปะการังที่ทำการศึกษาในลักษณะของตัวน้ำกับแนวชายฝั่ง เริ่มจากแนวปะการังด้านในสุดที่ต่อกับชายฝั่งไปจนถึงแนวปะการังด้านนอกสุด ดังแสดงในภาพ 9 และเก็บข้อมูลด้วยการถ่ายภาพเคลื่อนไหว จากกล้องวิดีโอ ในระยะภาพที่ถ่ายกับเส้นเทปประมาณ 30 เซนติเมตร เรียกว่าวิธี video techniques ทำการบันทึกข้อมูลภาพบนพื้นที่เส้นเทปหรือ line intercept transects (Page et al., 2001, pp. 20-29) พร้อมทั้งบันทึกจุดพิกัดทางดาวเทียม ด้วยเครื่อง GPS เพื่อความต่อเนื่องในการติดตามการศึกษารั้งต่อ ๆ ไปในตำแหน่งที่ถูกต้องและแม่นยำมากที่สุด จากนั้นนำข้อมูลที่ได้มาวิเคราะห์หารูปแบบการปักคลุนพื้นที่ของชนิด (species) ปะการังตามหลักการจำแนกปะการังของ Veron (1995, 2000) และองค์ประกอบของพื้นที่ในแต่ละพื้นที่



ภาพ 7 แสดงอาณาเขตพื้นที่อุทยานแห่งชาติหมู่เกาะสุรินทร์ จังหวัดพัทุมธานี

ที่มา. จาก โครงการจัดการทรัพยากรปะการัง: แผนที่แนวปะการังในน่านน้ำไทย เล่มที่ 2 ทะเลอันดามัน (หน้า 36-39), โดย กรมป่าไม้, 2542, ภูเก็ต: ผู้แต่ง.



ภาพ 8 สถานภาพแนวปะการังและสถานีศึกษาพื้นที่ศึกษาบริเวณอุทยานแห่งชาติหมู่เกาะสุรินทร์ จังหวัดพังงา

ที่มา. จาก Report prepared: *The Impact of the December 2004 Indian Ocean Tsunami on the Coral Reef Resources of Mu Ko Surin Marine National Park, Thailand* (p. 12)
by J. Comley et al., 2005, London, UK: Coral Cay Conservation.



ภาพ 9 การถ่ายภาพนันเส้นเทป (video techniques) เพื่อศึกษาโครงสร้างประชากมประการัง

การสร้างเซลล์สีบพันธุ์และความดกของไข่ประการัง

การศึกษาการสร้างเซลล์สีบพันธุ์ ความดกของไข่ เพื่อเปรียบเทียบแนวโน้ม ความสมมูลน์ของการสร้างเซลล์สีบพันธุ์ของประการัง *Acropora formosa* ในระหว่าง พื้นที่และช่วงเวลาศึกษาของโคลoni ประการังในธรรมชาติ ซึ่งช่วงเวลาในการสร้างเซลล์สีบพันธุ์ของประการัง ฝั่งทะเลอันดามันและอ่าวไทยมีเกือบตลอดทั้งปีตามรายงานการวิจัย ของท่านศักดิ์ จันทร์เมธากุล (2545, หน้า 3-4) และธรรมศักดิ์ ยิมิน (2542, หน้า 8-24) เริ่มต้นเก็บตัวอย่างในภาคستانะระหว่างเดือนมีนาคม 2548 ถึงเดือนมีนาคม 2549 ในบริเวณอ่าวจาก อ่าวแม่ยะ อ่าวสุเทพ อ่าวผักกาด และเกาะตอรินดา โดยเก็บตัวอย่างด้วย วิธีการสุ่ม (random) ในพื้นที่แนวประการังเลือกเก็บโคลoni ประการังหลากหลายที่มีความสมมูลน์

จำนวน 20 โคลอนีต่อพื้นที่ โคลอนีละ 3 กิ่ง มีความยาวของกิ่งมากกว่า 10 เซนติเมตร โดยเก็บตัวอย่างทุก 2 เดือน รักษาสภาพตัวอย่างด้วยสารละลายฟอร์มาลีน 10% ในน้ำทะเล หลังจากนั้นนำตัวอย่างจากภาคสนามมาวิเคราะห์ในห้องปฏิบัติการ โดยแบ่งกลุ่มตัวอย่างออกเป็น 2 ส่วน คือ

1. การศึกษาความคงของไช่ โดยวิธีการนับจำนวนและวัดขนาดของไช่ ภายใต้กล้องจุลทรรศน์ นำตัวอย่างกิ่งปะการังเขากวาง *Acropora formosa* ที่จะศึกษามาอยู่ด้วยกรดอะซิติก (acetic acid) 10% ในน้ำทะเล และฟอร์มาลีน (formalin) 10% ในน้ำทะเล ในอัตรส่วน 1 : 1 เพื่อถ่ายหินปูนออกจากเนื้อเยื่อปะการัง หลังจากนั้nl้างฟอร์มาลีนออก จากเนื้อเยื่อด้วยน้ำที่ไหลผ่านตลอดเวลาประมาณ 24 ชั่วโมง และสูบเม็ดออกโพลีป (polyp) 30 โพลีปต่อ 1 กิ่งปะการัง นำเนื้อเยื่อรักษาในเอทานอล (ethanol) 70% หลังจากนั้นจะนับจำนวนไช่และวัดขนาดเดือนผ่านศูนย์กลางของไช่ปะการังด้วย eyepiece micrometer ที่มีสเกลขนาด 1,000 ไมโครเมตร ภายใต้กล้องจุลทรรศน์ ดังแสดงในภาพ 10 ข้อมูลที่ได้มาวิเคราะห์ หากค่าความคงไช่จากคำนวณปริมาณไช่ต่อพื้นที่ผิวของปะการัง 1 ตารางเซนติเมตร สำหรับการวิเคราะห์ทางสถิติด้วย Analysis of variance (ANOVA) ถึงความแตกต่างระหว่างการสร้างเซลล์สีบพันธุ์โคลอนีปะการัง

2. การศึกษาทางเนื้อเยื่อ โดยระเบียบวิธีมาตรฐานทางด้านไนโตรเทคนิคการตัดชิ้นเนื้อเยื่อย้อมสี โดยสามารถดำเนินการดังนี้ (1) นำเนื้อเยื่อส่วนที่กำจัดหินปูน (decalified) ในอัตรส่วน 1 : 1 ด้วยสารละลายกรดอะซิติก (acetic acid) 10% ในน้ำทะเล และฟอร์มาลีน (formalin) 10% ในน้ำทะเล (Yeemin, 1988, pp. 5-6) (2) ล้างฟอร์มาลีนออกจากเนื้อเยื่อด้วยน้ำกลั่นที่ไหลผ่านตลอดเวลาประมาณ 24 ชั่วโมง (3) ดึงน้ำออกจากการเนื้อเยื่อ (dehydration) โดยนำชิ้นเนื้อเยื่อปะการังแข็งในเอทานอล (ethanol) ที่มีความเข้มข้นตั้งแต่ 70%, 80%, 90%, 95% ของเอทานอลบริสุทธิ์ 1 และเอทานอลบริสุทธิ์ 2 ตามลำดับ ความเข้มข้นของสารละลายในแต่ละขั้นตอนใช้ระยะเวลา 30 นาที (4) นำชิ้นตัวอย่างที่ผ่านการดึงน้ำออกแล้วมาทำให้ใส (clearing) โดยแช่น้ำเยื่อลงในเอทานอลพาราฟิน (xylene) ในอัตราส่วน 1 : 1 ไซลีนบริสุทธิ์ 1 และไซลีนบริสุทธิ์ 2 โดยในแต่ละขั้นตอนใช้ระยะเวลา 30 นาที (5) นำตัวอย่างแข็งในไซลีนพาราฟิน อัตราส่วน 1 : 1 พาราฟินบริสุทธิ์ 1, พาราฟินบริสุทธิ์ 2 และ (6) ทำการฝังเนื้อเยื่อ (embedding) ลงในพาราฟิน (paraffin)

บริสุทธิ์ในบล็อกพลาสติก ซึ่งทุกขั้นตอนของการผ่าพาราฟินจะต้องทำให้พาราฟินอุ่นอยู่เสมอ (รัตนติกา เพชรทองมา, 2549, pp. 26-27) เมื่อตัวอย่างเนื้อเยื่อที่ฝังเย็นตัวแล้ว จึงเริ่มตัดเนื้อเยื่อ (sectioning) ด้วย microtome หนาประมาณ 6-10 ไมครอน และย้อมสีเนื้อเยื่อ (staining) ด้วย haematoxylin และ eosin 以便นี้ทำเป็นสไลด์ถาวรนำไปตรวจสอบภายใต้กล้องจุลทรรศน์ (light microscope) เพื่อศึกษาการสร้างเซลล์สืบพันธุ์ในโพลิปของปะการังเขากวาง



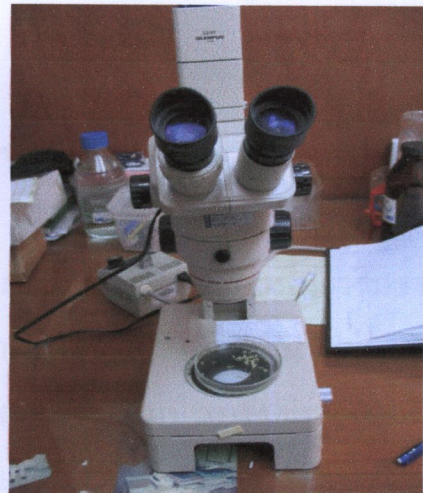
ก ขั้นตอนการย้อมหินปูนออกจากชิ้นส่วนของปะการังด้วยสารละลายน้ำยากรดอะซิติก



ข การดึงแต่ละโพลิปของปะการังออกจากกิ่งปะการังเขากวาง (*Acropora formosa*)



ค โพลิปปะการังที่สูมเลือกจากกิ่งปะการังและจะเก็บรักษาในสารละลายน้ำออกโซลล์ 70 เปอร์เซ็นต์



ง ศึกษาความคงของไอล์ปะการังจากกล้องจุลทรรศน์

ภาพ 10 วิธีศึกษาการสืบพันธุ์และความคงของไอล์ปะการัง

การลงเกาะของตัวอ่อนปะการังในธรรมชาติ

การเปลี่ยนแปลงของความหนาแน่นตัวอ่อนปะการัง (*Juvenile coral*) และความหลากหลายของชนิดปะการังที่ลงเกาะบริเวณแนวปะการังหลังจากได้รับผลกระทบจากคลื่นสึนามิ

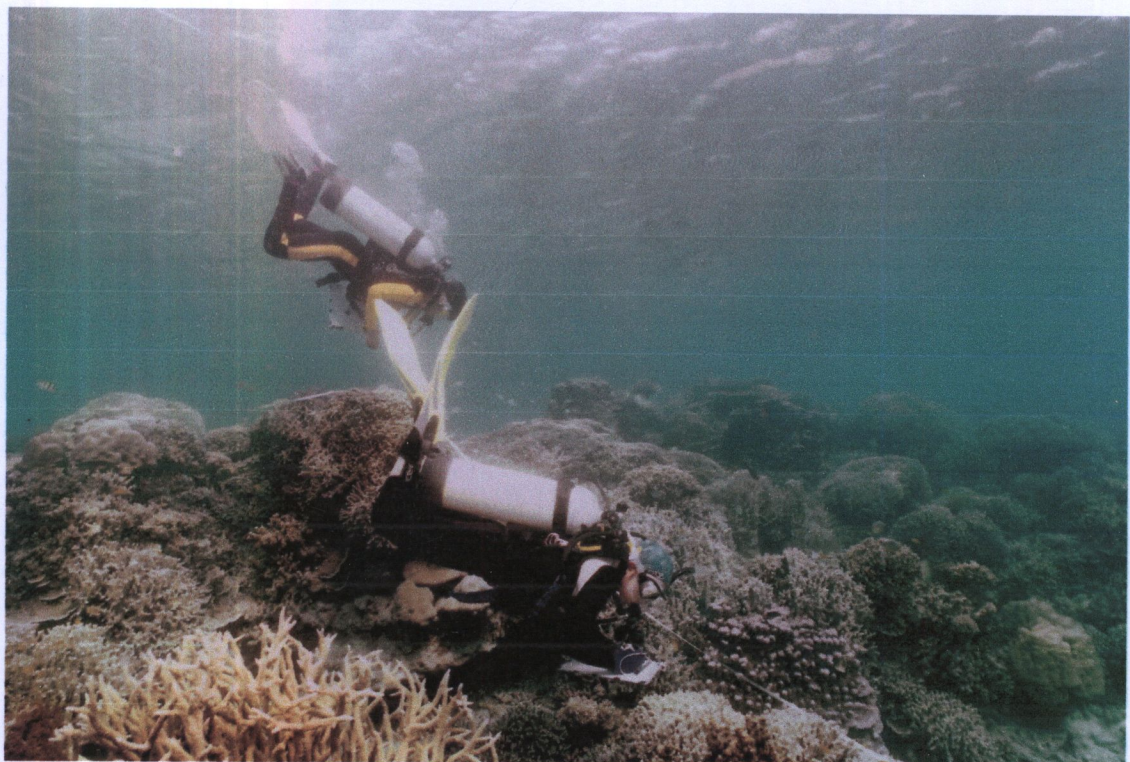
การศึกษาความเปลี่ยนแปลงความหนาแน่นของตัวอ่อนปะการังในแนวปะการังธรรมชาติในช่วงก่อนและหลังเกิดคลื่นสึนามิ เพื่อศึกษาชนิด ประเภทของพื้นที่ที่มีตัวอ่อนลงเกาะและขอบเขตการลงเกาะของตัวอ่อนปะการังในธรรมชาติ โดยวิธีการ Belt transect ดังแสดงในภาพ 11 ใช้เส้นเทปวงพาดผ่านแนวปะการังในลักษณะตั้งฉากกับชายฝั่งจนถึงสุดแนวปะการัง (Rogers et al., 1994, p. 40; Smith et al., 2005, pp. 400-401) โดยบันทึกข้อมูลตามแนวสายวัดที่วางและผูกทุ่นลงบนหาดเล็กเป็นเครื่องหมาย บันทึกชุดพิกัดทางดาวเทียม ด้วยเครื่อง GPS เพื่อใช้ติดตามการศึกษาในครั้งต่อไปในตำแหน่งที่ถูกต้อง ในการเก็บข้อมูลนั้นบันทึกค่าตัวอ่อนปะการังมีในขนาดที่มองเห็นด้วยตาเปล่า ขนาดถึงขนาด 5 เซนติเมตร นำข้อมูลที่ได้มาวิเคราะห์หาความหนาแน่นของชนิด และพื้นที่ลงเกาะ วิเคราะห์เปรียบเทียบความแตกต่างของความหนาแน่นในระหว่างพื้นที่ที่ศึกษาช่วงเวลาการสำรวจ พื้นที่ที่ตัวอ่อนลงเกาะ ขนาดและชนิดของตัวอ่อนปะการังที่ลงเกาะด้วยวิเคราะห์ทางสถิติด้วย ANOVA

ความหนาแน่นของตัวอ่อนปะการัง (*Juvenile coral*) ที่ลงเกาะเฉพาะบนพื้นที่ที่มีศักยภาพ (substrate) ในแนวปะการังธรรมชาติ

ในการศึกษาความหนาแน่นของตัวอ่อนปะการังที่ลงเกาะบนพื้นธรรมชาติ (substrate) ที่เป็นพื้นที่มีศักยภาพต่อการลงเกาะของปะการังที่เกิดขึ้นในช่วงก่อนและหลังการเกิดคลื่นสึนามิ เพื่อศึกษาชนิดและขนาดของตัวอ่อนปะการัง ประเภทของพื้นที่ที่มีตัวอ่อนลงเกาะและความหนาแน่นที่มีการแพร่กระจายของปะการังวัยอ่อนที่ลงเกาะตามธรรมชาติในพื้นที่แนวปะการัง รวมถึงสิ่งมีชีวิตอื่น ๆ ที่แกร่งแย่งพื้นที่ของตัวอ่อนปะการัง โดยวิธีการแบบสุ่ม Random quadrat method ซึ่งจะใช้ท่อ PVC ประกอบเป็นรูปสี่เหลี่ยมจตุรัส (quadrat) ขนาด 0.50×0.50 เมตร ดังแสดงในภาพ 12 คำนวณบนพื้นที่

ในกลุ่มปะการังแบบสูมให้กระจายทั่วพื้นที่ศึกษา (Clark & Edwards, 1995, pp. 201-213; Yeemin et al., 1992, p. 63) โดยศึกษาข้อมูลตัวอ่อนปะการัง (juvenile colony) ที่มีเส้นผ่านศูนย์กลางขนาดตั้งแต่ขนาดที่ม่องเห็นด้วยตาเปล่าจนถึงขนาด 5 เซนติเมตร

นอกจากนี้ยังใช้ quadrat ขนาดเล็ก 0.20×0.20 เมตร แบ่งเป็นช่องเล็ก ๆ และศึกษาด้วยแวงขยายที่มีกำลังขยายสูงส่องคูใน quadrat และเก็บข้อมูลตัวอ่อนปะการังที่มีขนาดเส้นผ่านศูนย์กลางน้อยกว่า 0.5 เซนติเมตร นำข้อมูลที่ได้มาวิเคราะห์หาความหนาแน่นของตัวอ่อนปะการัง ประเททพื้นที่ที่ตัวอ่อนลงเกาะ และสิ่งมีชีวิตที่เข้าเก่งแย่งพื้นที่ปะการัง รวมถึงถ่ายภาพนิ่งตัวอ่อนปะการังที่ลงเกาะในแนวปะการังมาประกอบการจำแนกชนิด ดังแสดงในภาพ 12 นำข้อมูลในภาคสนามวิเคราะห์ความแตกต่างของความหนาแน่นตัวอ่อนในระหว่างพื้นที่ศึกษา ช่วงเวลาการสำรวจพื้นที่ที่ตัวอ่อนลงเกาะ ขนาดและชนิดของตัวอ่อนปะการังที่ลงเกาะ ด้วยวิธีวิเคราะห์ทางสถิติด้วย ANOVA



ภาพ 11 การสำรวจตัวอ่อนปะการังด้วยวิธี Belt transect ในพื้นที่ศึกษา



ก Random quadrat บนพื้นที่ว่างที่มีศักยภาพต่อการลงเกาของปะการัง



ข ชนิดของตัวอ่อนปะการังในครอบครัว Pocilloporidae

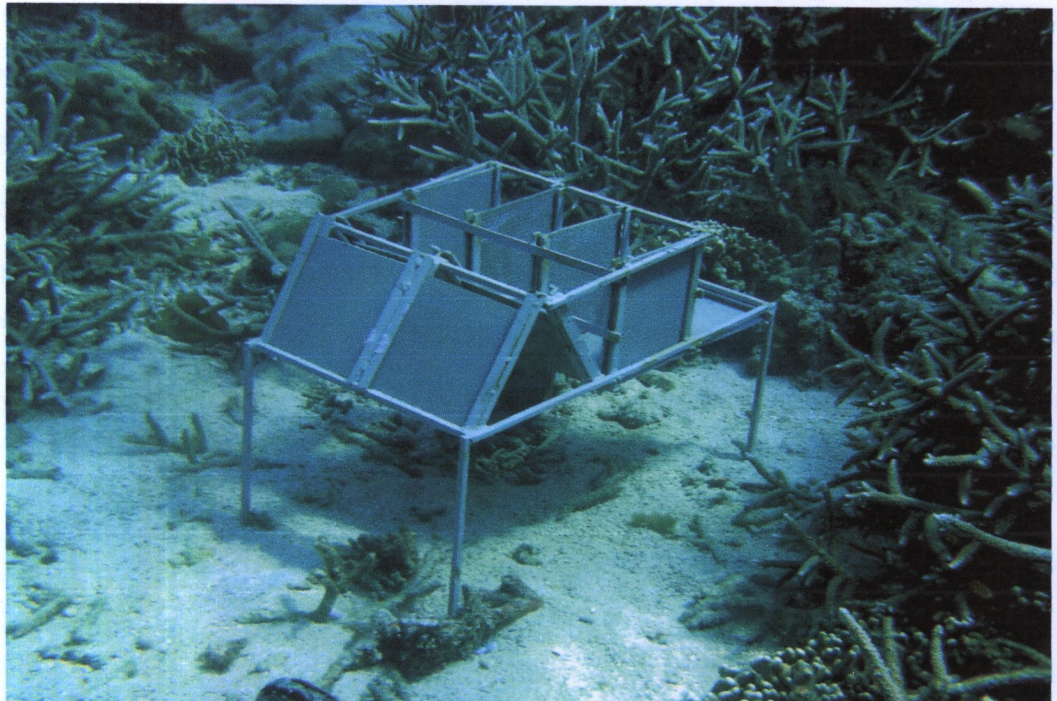
ภาพ 12 การสำรวจตัวอ่อนปะการังที่มีขนาดเล็กกว่า 0.5 เซนติเมตร ในภาคสนามด้วยวิธีการสุ่มเลือกบนพื้นที่ว่าง (quadrat ขนาด 0.20 x 0.20 เมตร)

การศึกษาปริมาณการลงเกาของตัวอ่อนปะการังบนแผ่นกระเบื้อง และสิ่งมีชีวิตชนิดอื่น ๆ จากการทดลองในภาคสนาม (*settlement plate experiment*)

การศึกษาความหนาแน่นของตัวอ่อนปะการังในมวลน้ำและสิ่งมีชีวิตชนิดอื่น ๆ ที่ลงเกาบนพื้นที่ว่างในแนวปะการัง โดยใช้วิธี Settlement plate experiment และเลือกพื้นที่ที่ได้รับผลกระทบจากคลื่นสึนามิ ในบริเวณอ่าวจาก อ่าวแม่bay อ่าวสุเทพ อ่าวพักกาด และเกาะตอรินตา นำอุปกรณ์ศึกษาวางบนพื้นทรายของแนวปะการัง และติดแผ่นกระเบื้องขนาด 15×15 เซนติเมตร ดังแสดงในภาพ 13 โดยวางในตำแหน่งแนวราบ แนวตั้ง และแนวเนียงทำมุม 45 องศา (ธรรมศักดิ์ ยีมิน, 2538, หน้า 4; Yeemin et al., 1992, p. 4-10)

การศึกษานี้เริ่มต้นเมื่อเดือนเมษายน 2548 ถึงเดือนพฤษภาคม 2549 โดยทำการเก็บแพ่น-กระเบื้องขึ้นมาจากการสนามทุกระยะเวลา 2 เดือน นำแพ่นกระเบื้องนี้รักษาสภาพตัวอย่างด้วยสารละลายนอร์มาลิน 10% ในน้ำทะเล ก่อนนำกลับมาวิเคราะห์ในห้องปฏิบัติการ ซึ่งการจำแนกตัวอ่อนปะการัง (coral recruits) ที่ลงเกาบนแผ่นกระเบื้องในห้องปฏิบัติการใช้กล้องจุลทรรศน์ ดังแสดงในภาพ 14 โดยใช้ภาพตัวอย่างเปรียบเทียบสำหรับการจำแนกชนิดตัวอ่อนปะการังและสิ่งมีชีวิตชนิดอื่น ๆ ตามหลักอนุกรมวิธาน (Babcock, Baird, Piromvaragorn, Thomson, & Willis, 2003, pp. 211-226; Baird & Babcock, 2000, pp.

179-183; English, S., Wilkison, C., & Baker, 1997, pp. 106-112; Fitzhardinge, 1988, pp. 673-678; Tioho, Tokeshi, & Nojima, 2001, p. 81) ซึ่งข้อมูลความหนาแน่นของตัวอ่อนประการังบนแพ่นกระเบื้องในแต่พื้นที่ศึกษา นำมาวิเคราะห์ทางสถิติด้วย ANOVA



ภาพ 13 Settlement plate experiment: ฐานเหล็กรองรับแพ่นกระเบื้องขนาด 15×15 เซนติเมตร วางในแนวอน แนวดิ่ง และแนวเฉียง ในพื้นที่ศึกษา



ก กระเบื้องตัวอย่างที่นำมาจากภาคสนาม

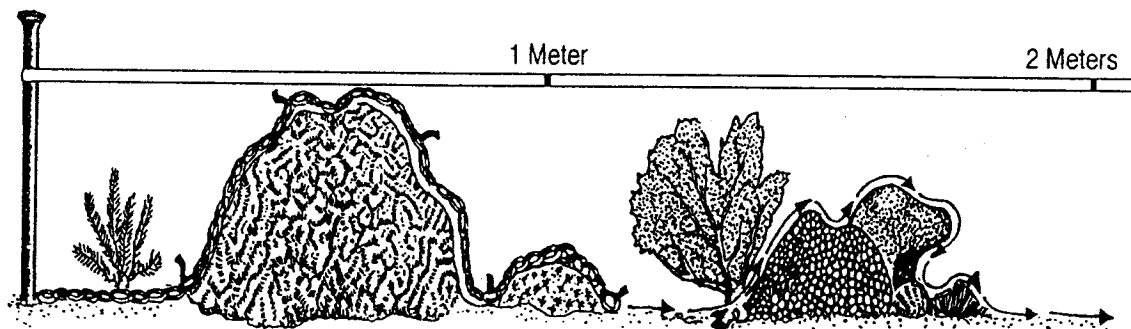


ข การหาตัวอ่อนประการังและสิ่งมีชีวิตอื่น ๆ ที่ลงเกาะบนแพ่นกระเบื้องด้วยกล้องจุลทรรศน์

ภาพ 14 การศึกษาข้อมูลตัวอย่างบนกระเบื้องที่นำมาจากพื้นที่ศึกษา

ความชันช้อนของพื้นที่ว่างประเททต่าง ๆ ที่มีศักยภาพคือการลงเกาะของตัวอ่อนประการังบนพื้นแนวประการังหมู่เกาะสุรินทร์

การศึกษาความชันช้อนในพื้นผิวน้ำสัมผัสของพื้นธรรมชาติประเททต่าง ๆ (available complex substrate) จากองค์ประกอบของแนวประการัง คือ พื้นหนิน พื้นทรายเศษจากประการัง ชากระดับต่ำแบบก้อนและแบบกิงก้าน โดยวิธีการใช้แท่งโลหะขนาดเล็กยาว 1 เมตร วางบนพื้นทะเลธรรมชาติประเททต่าง ๆ ที่มีความยาวมาตรฐาน ดังแสดงในภาพ 15 ใช้เส้นเทปวัดความยาวของพื้นผิวน้ำสัมผัสตามจริงบนพื้นที่ว่างในธรรมชาติตามแนวแท่ง โลหะที่วางเป็นแนวอ้างอิงไว้ (Rogers et al., 1994, pp. 17-18) จากนั้นนำข้อมูลที่ได้มาวิเคราะห์เปรียบเทียบความแตกต่างของขนาดความยาวพื้นผิวน้ำสัมผัสริบของพื้นที่ว่าง เพื่อหาขนาดพื้นผิวน้ำพื้นที่จะมีศักยภาพคือการลงเกาะของตัวอ่อนประการังมากที่สุด



ภาพ 15 การวัดความยาวพื้นผิวน้ำสัมผัสขององค์ประกอบบนแนวประการัง เพื่อศึกษาความชันช้อนของโครงสร้างแต่ละประเททของพื้นทะเล

ที่มา. จาก *Reef Monitoring Manual for the Caribbean and Western Atlantic* (p.17), by C. S. Rogers et al., 1994, Virgin Islands National Park, VI: National Park Service.

เครื่องมือและอุปกรณ์ที่ใช้ในงานวิจัย

1. อุปกรณ์ดำน้ำลึกโดยใช้ถังอากาศ (SCUBA diving)
2. เส้นเทปคีกษาความยาว 50 เมตร
3. Quadrate ทำจากห่อ PVC ขนาด 0.50×0.50 เมตร
4. ชุดแผ่นกระดาษบันทึกข้อมูลใต้น้ำ
5. โถะ โกรงเหล็ก สำหรับวางกระเบื้องเพื่อให้ตัวอ่อนปะการังลงเกาะ
6. แผ่นกระเบื้องสำหรับ การลงเกาะของตัวอ่อนปะการัง (settlement plate experiment) ขนาด 0.15×0.15 เมตร
7. ถุงเก็บตัวอย่าง
8. ทุ่นลอยและเชือก
9. เครื่องจับจุดพิกัด GPS
10. กล้องถ่ายภาพนิ่งใต้น้ำ Cannon รุ่น A 620
11. กล้องถ่ายภาพเคลื่อนไหว Sony handycam
12. สารละลายฟอร์มาลีน เข้มข้น 40% โนลล์
13. สารละลาย Ethyl alcohol
14. สารละลายกรด Acetic acid เข้มข้น
15. สารละลาย Xylene
16. พาราฟิน
17. สีเยื่อม Haematoxylin และ Eosin
18. แผ่นกระดาษไอล์ด์
19. อุปกรณ์เครื่องแก้ว เช่น บีกเกอร์ ขวดรูปชنمพู่ เป็นต้น
20. กล้องจุลทรรศน์

บทที่ 4

ผลการวิจัย

โครงสร้างของประชาชัมປะการัง

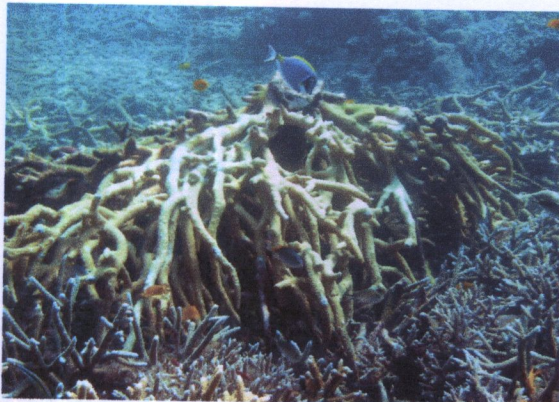
การสำรวจแนวปะการังในพื้นที่อุทยานแห่งชาติหมู่เกาะสุรินทร์ พบว่าลักษณะทางสัณฐานวิทยาแนวปะการังมีการก่อตัวขึ้นตั้งแต่แนวชายฝั่งตลอดจนถึงขอบนอกแนวปะการังที่เป็นพื้นทราย มีระดับความลึกประมาณ 12-16 เมตร ประกอบด้วยปะการังมีชีวิตปกคลุมพื้นที่ประมาณ 60-80% ของพื้นที่แนวปะการังทั้งหมด ซึ่งมีความอุดมสมบูรณ์ค่อนข้างมาก และมีความหลากหลายทางชีวภาพของสิ่งมีชีวิตกลุ่มอื่น ๆ เช่น ปลาชนิดต่าง ๆ และสัตว์ทะเลน้ำเค็นชนิดต่าง ๆ หลังจากเกิดเหตุการณ์คลื่นสึนามิในเดือนธันวาคม 2547 โดยพื้นที่แนวปะการังบริเวณหมู่เกาะสุรินทร์ได้รับผลกระทบจากคลื่นสึนามิ ซึ่งได้สร้างความเสียหายให้แก่แนวปะการังเฉลี่ยประมาณ 25% ของพื้นที่แนวปะการังทั้งหมด โดยแต่ละพื้นที่ในบริเวณหมู่เกาะสุรินทร์แนวปะการังได้รับความเสียหายเพียงเล็กน้อยประมาณ 5-10% ของพื้นที่แนวปะการัง ยกเว้นเกาะสุรินทร์เหนือ บริเวณอ่าวผักกาด และเกาะตอรินดา มีความเสียหายมากประมาณ 30-40% ของพื้นที่แนวปะการังทั้งหมด ซึ่งรูปแบบความเสียหายที่เกิดขึ้นมีแตกต่างกันตามลักษณะพื้นที่ ได้แก่ การแตกหักของปะการัง (broken coral) การพลิกคว่ำ (up-turned coral) เศษซากวัตถุที่ทับปะการัง และการเคลื่อนตัวของพื้นทะเล (coral collapsed on sliding sand slope) ดังแสดงในภาพ 16 โดยพื้นที่หมู่เกาะสุรินทร์ปะการังส่วนใหญ่เป็นกลุ่มปะการังเขากวาง (*Acropora spp.*) ประมาณ 70% ของพื้นที่แนวปะการังทั้งหมด ซึ่งเป็นกลุ่มปะการังที่มีความเปราะบางและตอบสนองต่อปัจจัยทางกายภาพได้ง่าย ทำให้มีการแตกหักค่อนข้างสูงกว่าปะการังชนิดอื่น ๆ ในงานวิจัยครั้งนี้สำรวจพื้นที่ทั้งหมด จำนวน 9 พื้นที่ ซึ่งมีเปลี่ยนแปลงของโครงสร้างของประชาชัมປะการัง ดังนี้



ก ความเสียหายในบางส่วนของเขตแนวปะการัง
น้ำตื้น



ข การแตกหักของปะการังเขากวาง (*Acropora spp.*)



ค การผลิกว่าของโคโลนีปะการังขนาดใหญ่



ง เศษหากวัตถุที่พัดพาจากกระแสน้ำ และหล่นทับบน
แนวปะการัง

ภาพ 16 ความเสียหายของแนวปะการังของหมู่เกาะสุรินทร์หลังได้รับผลกระทบจากเหตุการณ์คลื่นสึนามิที่เกิดขึ้นวันที่ 26 เดือนธันวาคม 2547

1. เกาะสตอร์ค หรือเกาะรี แนวปะการังโดยทั่วไปเป็นปะการังปักคลุมบนพื้นทรายเป็นส่วนใหญ่ ในปี พ.ศ. 2547 มีปะการังมีชีวิตปักคลุมเฉลี่ย 31.93% ของพื้นที่แนวปะการัง เกาะสตอร์ค พบว่าในพื้นที่มีปะการังชนิดเด่น ๆ ได้แก่ ปะการังผิวเคลือมน้ำเงิน (*Montipora spp.*) ปะการังเขากวาง (*Acropora spp.*) ปะการังดอกกะหลา (*Pocillopora spp.*) ปะการังดอกเห็ด (*Fungia spp.*) และปะการังโขด (*Porites spp.*) นอกจากนี้สิ่งมีชีวิตอื่นที่พบมาก คือ ปะการังสีน้ำเงิน (*Heliopora coerulea*) ปะการังอ่อน (*Nephthea sp.*) และกลุ่ม

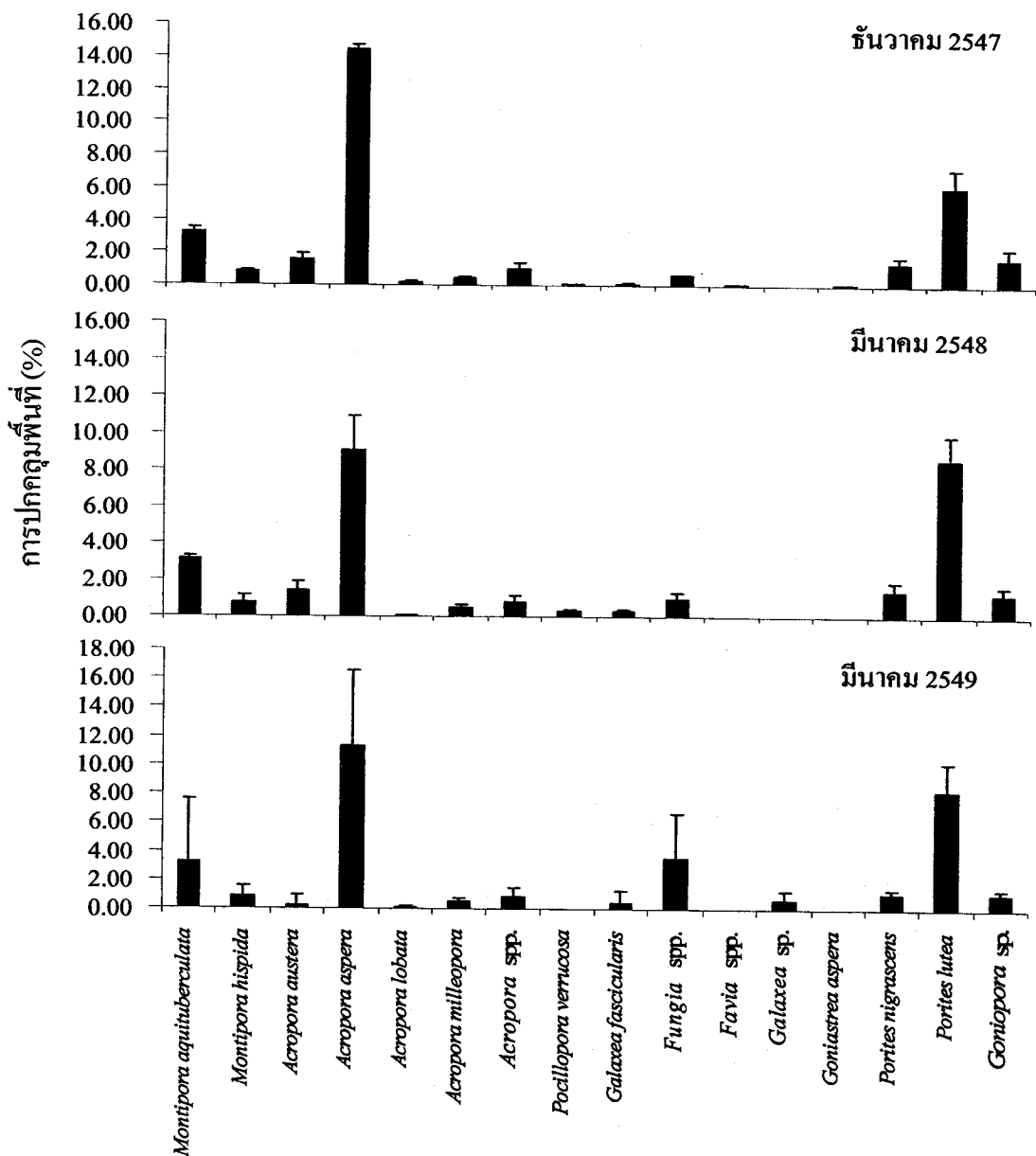
พรนทะเล (zoanthid) สถานภาพโครงสร้างแนวปะการังของเกาะสตอร์ค หลังเหตุการณ์คลื่นสึนามิ อ่ำงไรกีตามพื้นที่แนวปะการังมีการเปลี่ยนแปลงทางโครงสร้างแนวปะการัง และองค์ประกอบอื่น ๆ เพียงเล็กน้อยเท่านั้น ระดับความเสียหายที่ได้รับจากคลื่นสึนามิเฉลี่ยน้อยกว่า 5% ของพื้นที่แนวปะการัง ดังข้อมูลที่ปรากฏ (ตาราง 1) ทำให้การปกคลุมของปะการังมีชีวิตเฉลี่ย 30.05% ของพื้นที่แนวปะการัง ซึ่งมีปะการังบางกลุ่มที่มีความเปราะบางต่อสภาพแวดล้อมจะมีการเปลี่ยนแปลงการปกคลุมพื้นที่ที่มีการลดจำนวนในบางกลุ่ม เช่น *Montipora spp.*, *Acropora spp.*, *Fungia spp.* และ *Faviidae* เป็นต้น ดังแสดงในภาพ 17

ตาราง 1

องค์ประกอบของการปกคลุมแนวปะการังที่ทำการสำรวจเดินเทปศึกษาในช่วงเวลา ก่อน และหลังเหตุการณ์คลื่นสึนามิ บริเวณเกาะสตอร์ค

องค์ประกอบของแนวปะการัง	เบอร์เซ็นต์การปกคลุม		
	ก่อนเหตุการณ์คลื่นสึนามิ		หลังเหตุการณ์คลื่นสึนามิ
	ธันวาคม 2547	มีนาคม 2548	มีนาคม 2549
ปะการังมีชีวิต (live corals)	31.93	28.50	31.60
ชากระดูกปะการังตาย (dead coral)			
ชากระดูกปะการังตายแบบกึงและแผ่น	0.80	19.10	18.30
ชากระดูกปะการังตายแบบก้อน	0.35	3.60	3.90
สิ่งมีชีวิตชนิดอื่น (other organisms)			
ปะการังสีน้ำเงิน (blue coral)	13.55	13.20	5.20
จอกทะเล (corallimorph)	5.60	4.90	3.20
พรนทะเล (zoanthid)	25.07	10.44	17.30
ปะการังอ่อน (soft coral)	9.15	7.56	2.00
องค์ประกอบที่ไม่มีชีวิต (abiotic components)			
เศษปะการัง (rubble)	0.90	0.80	2.00
ทราย (sand)	9.75	11.60	14.80
ทรายปนเศษปะการัง (sand and rubble)	2.90	0.30	1.70

ที่มา. จากการเก็บข้อมูลศึกษาในภาคสนามของพื้นที่อุทยานแห่งชาติหมู่เกาะสุรินทร์ ในระหว่างช่วงเดือนธันวาคม 2547 - มีนาคม 2549



ภาพ 17 การปักถุนพื้นที่ของปะการังมีชีวิตชนิดต่าง ๆ บริเวณเกาะสตอร์ค

2. อ่าวจาก (เกาะสูรินทร์เหนือ) พื้นที่มีลักษณะแนวปะการังเป็นปะการังบนพื้น-
ทราย การสำรวจในเดือนธันวาคม พ.ศ. 2547 พบว่ามีปะการังมีชีวิตปักถุนบนพื้นที่
เฉลี่ย 65.80% ของพื้นที่แนวปะการัง ปะการังส่วนใหญ่ที่พบในพื้นที่ คือ กลุ่มปะการัง
เขากวาง (*Acropora spp.*) คิดเป็น 80% ของพื้นที่แนวปะการัง นอกจากนี้ในปะการังกลุ่มนี้
อื่น ๆ ที่พบได้แก่ ปะการังผิวเกลี้ด้น้ำแข็ง (*Montipora spp.*) ปะการังคอกระหลา

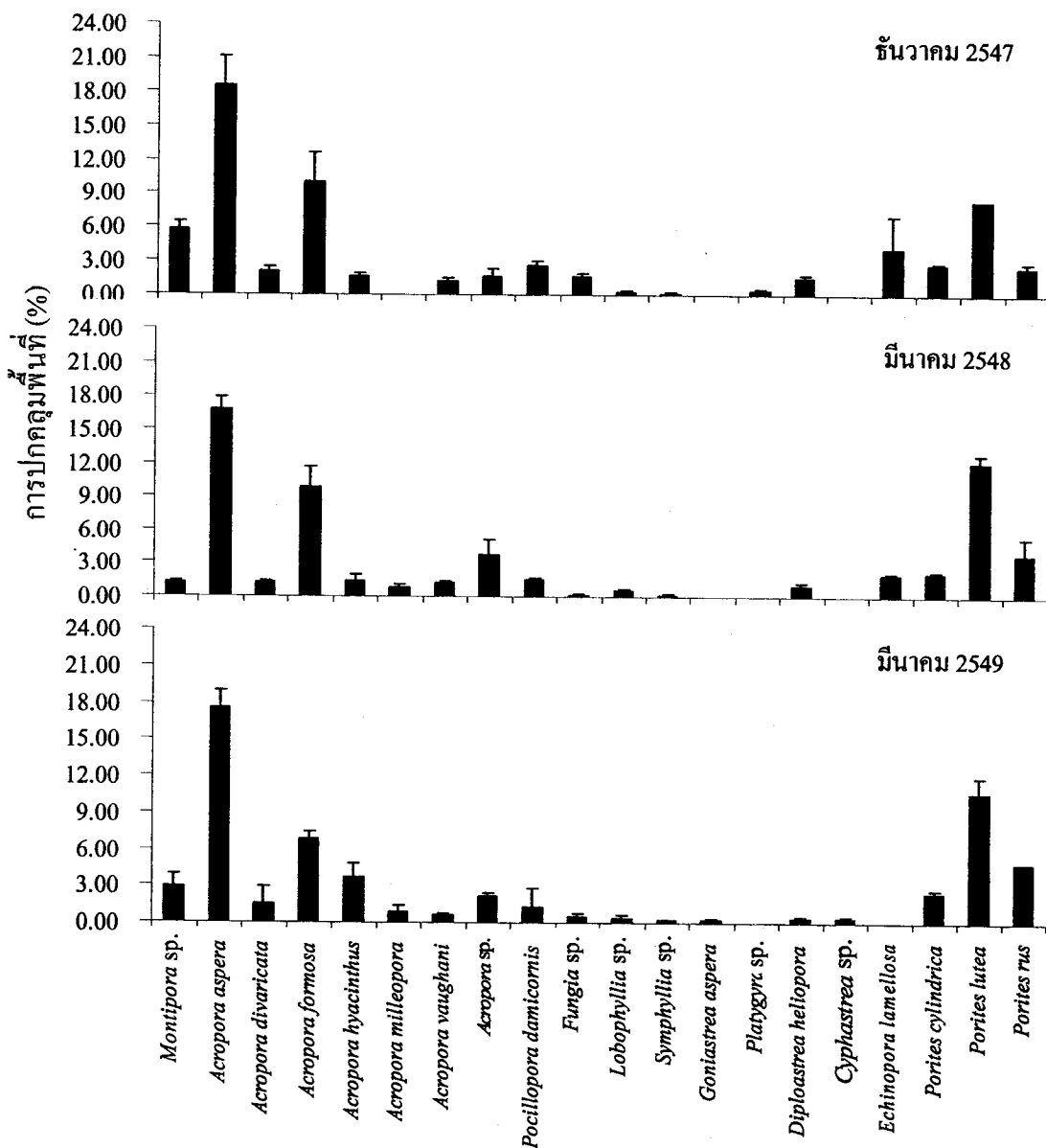
(*Pocillopora* spp.) ปะการังดอกเห็ด (*Fungia* spp.) และปะการังโขด (*Porites* spp.) เป็นต้น สิ่งมีชีวิตชนิดอื่น ๆ ที่พบมาก คือ ปะการังไฟ (*Meliopora* sp.) สถานภาพโครงสร้าง แนวปะการังโดยทั่วไปหลังเหตุการณ์คลื่นสึนามิ พื้นที่แนวปะการังมีการเปลี่ยนแปลง องค์ประกอบทางโครงสร้างแนวปะการังทั้งสิ่งมีชีวิตและไม่มีชีวิต ซึ่งมีระดับความ เสียหายที่ได้รับจากคลื่นสึนามิเฉลี่ย 5-10% ของพื้นที่แนวปะการัง ดังข้อมูลที่ปรากฏ (ดูตาราง 2) โดยมีการปักกลุ่มของปะการังมีชีวิตเฉลี่ย 30.05% ของพื้นที่แนวปะการัง พนบวมีปะการังบางกลุ่มที่มีการปักกลุ่มพื้นที่ลดลงมากกว่าในช่วงระยะแรก แต่หลังจาก เกิดคลื่นสึนามิประมาณ 1 ปี แนวปะการังจะเริ่มมีการฟื้นตัวกลับมาสมบูรณ์ขึ้น เช่นเดิม อย่างช้า ๆ ในภายหลัง ดังแสดงในภาพ 18

ตาราง 2

องค์ประกอบการปักกลุ่มแนวปะการังที่ทำการสำรวจบนเส้นทางศึกษาในช่วงเวลา ก่อน และหลังเหตุการณ์คลื่นสึนามิ บริเวณอ่าวจาก เกาะสุรินทร์เหนือ

องค์ประกอบของแนวปะการัง	เปอร์เซ็นต์การปักกลุ่ม		
	ก่อนเหตุการณ์คลื่นสึนามิ	หลังเหตุการณ์คลื่นสึนามิ	
	ธันวาคม 2547	มีนาคม 2548	มีนาคม 2549
ปะการังมีชีวิต (live corals)	65.80	59.50	57.30
ชากระดูกปะการังตาย (dead coral)			
ชากระดูกปะการังตายแบบกิ่งและแผ่น	18.05	27.20	29.10
ชากระดูกปะการังตายแบบก้อน	5.55	5.40	4.80
สิ่งมีชีวิตชนิดอื่น (other organisms)			
ปะการังไฟ (fire coral)	1.00	1.20	2.90
จอกทะเล (corallimorph)	1.30	1.00	
สาหร่าย (algae)		4.30	0.20
องค์ประกอบที่ไม่มีชีวิต (abiotic components)			
เศษปะการัง (rubble)	3.20	1.60	2.20
ทราย (sand)	3.20	3.20	2.20
ทรายปนเศษปะการัง (sand and rubble)	1.90	1.00	1.30

ที่มา. จากการเก็บข้อมูลศึกษาในภาคสนามของพื้นที่อุทยานแห่งชาติหมู่เกาะสุรินทร์ ใน ระหว่างช่วงเดือนธันวาคม 2547 - มีนาคม 2549



ภาพ 18 การปักคลุมพื้นที่ของปะการังมีชีวิตชนิดต่าง ๆ บริเวณอ่าวจาก เกาะสุรินทร์เหนือ

3. อ่าวแม่ยาย (เกาะสุรินทร์เหนือ) แนวปะการังส่วนใหญ่ประกอบด้วยปะการังบนพื้นรายและปะการังที่เจริญตามแนวลาดชันของแนวปะการัง (reef slope) พบว่า ในปี พ.ศ. 2547 มีปะการังมีชีวิตปักคลุมพื้นที่เฉลี่ย 50.76% ของพื้นที่แนวปะการังอ่าวแม่ยาย ปะการังชนิดเด่นในพื้นที่เป็นกลุ่มปะการัง *Porites* spp. มากที่สุดประมาณ 70% ของพื้นที่แนวปะการัง นอกจากนี้ยังพบปะการังกลุ่มอื่นที่เจริญอยู่ทั่วไป ได้แก่ ปะการังหอเหล็ก (*Fungia* spp.) ปะการังเขากวาง (*Acropora* spp.) และปะการังซ่องเหลี่ยม

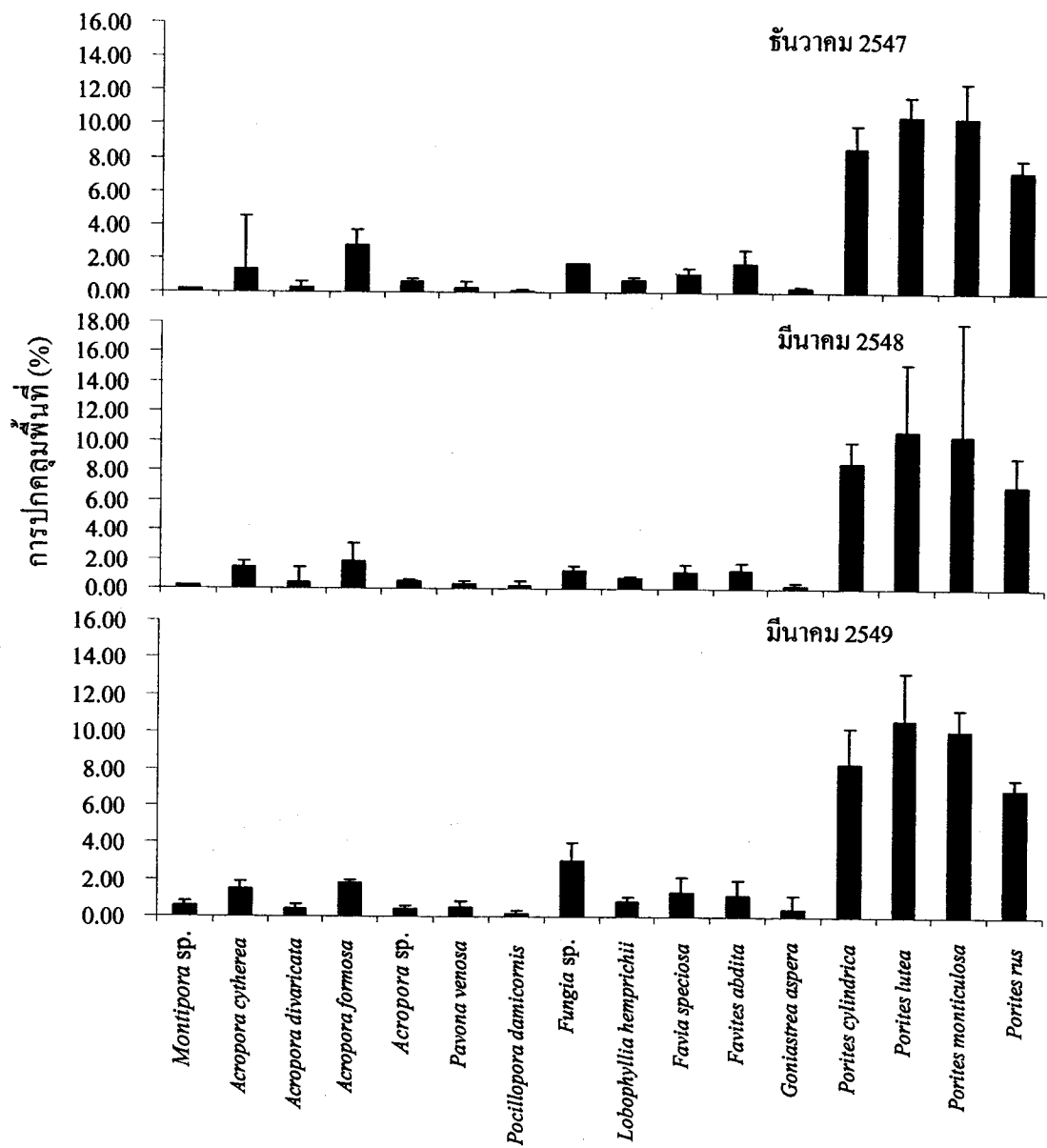
(*Favites spp.*) จากเหตุการณ์คลื่นสึนามิทำให้ลักษณะโครงสร้างแนวปะการังอ่าวแม่ยาย มีความเสียหายของปะการังเพียงเล็กน้อยประมาณ 5-10% ของพื้นที่แนวปะการัง ดังข้อที่ ปรากฏ (ดูตาราง 3) ในการสำรวจความเสียหายพบว่ามีพื้นที่การปักกลุ่มของปะการังมีชีวิตเฉลี่ย 47.02% ของพื้นที่แนวปะการัง (ดูภาพ 19) และกลุ่มปะการังในบางชนิดมีปักกลุ่ม พื้นที่ในปริมาณที่ลดจำนวนลงไปในบางส่วน อาทิเช่น ปะการังดอกเห็ด (*Fungia spp.*) และปะการังดอกกระหล่ำ (*Pocillopora spp.*) นอกจากนี้ภายในปะการังมีสาหร่าย (*filament algae*) ที่เข้าปักกลุ่มนเศษซาก-ปะการังตายในพื้นที่บางส่วน

ตาราง 3

องค์ประกอบของการปักกลุ่มแนวปะการังที่ทำการสำรวจบนแนวแทบทศกษามาในช่วงเวลา ก่อน และหลังเหตุการณ์คลื่นสึนามิ บริเวณอ่าวแม่ยาย เกาะสุรินทร์หนือ

องค์ประกอบของแนวปะการัง	เปอร์เซ็นต์การปักกลุ่ม		
	ก่อนเหตุการณ์คลื่นสึนามิ	หลังเหตุการณ์คลื่นสึนามิ	
	ธันวาคม 2547	มีนาคม 2548	มีนาคม 2549
ปะการังมีชีวิต (live corals)	50.76	46.00	48.05
ชากระดูกปะการังตาย (dead coral)			
ชากระดูกปะการังตายแบบกิงและแผ่น	9.82	8.08	7.90
ชากระดูกปะการังตายแบบก้อน	4.17	6.25	6.08
สิ่งมีชีวิตชนิดอื่น (other organisms)			
ปะการังอ่อน (soft coral)	1.10	1.50	1.53
องค์ประกอบที่ไม่มีชีวิต (abiotic components)			
เศษปะการัง (rubble)	2.56	1.50	1.80
ทราย (sand)	22.95	31.23	28.49
ทรายปนเศษปะการัง (sand and Rubble)	8.63	5.44	6.15

ที่มา. จากการเก็บข้อมูลศึกษาในภาคสนามของพื้นที่อุทยานแห่งชาติหมู่เกาะสุรินทร์ ในระหว่างช่วงเดือนธันวาคม 2547 - มีนาคม 2549



ภาพ 19 การปักกลุ่มพื้นที่ของปะการังมีชีวิตชนิดต่าง ๆ บริเวณอ่าวแม่ยาย เกาะสุรินทร์เหนือ

4. อ่าวไม้จาน (เกาะสุรินทร์เหนือ) สภาพทั่วไปของแนวปะการังมีปะการังเริ่มต้นจากแนวชายฝั่งลากลงมาถึงสุดขอบแนวปะการังด้านนอก พบว่าการปักกลุ่มพื้นที่ของปะการังมีชีวิตเฉลี่ย 61.80% ของพื้นที่แนวปะการังอ่าวไม้จาน กลุ่มปะการังชนิดเด่น ๆ ที่พบในพื้นที่ได้แก่ ปะการังผิวเกลี้ดคัน้ำแข็ง (*Montipora* spp.) ปะการังเขากวาง (*Acropora* spp.) ปะการังคอกระหลา (*Pocillopora* spp.) และปะการังโขด (*Porites* spp.) หลังจากเหตุการณ์คลื่นสึนามิในเดือนธันวาคม 2547 แนวปะการังมีความเสียหายจาก

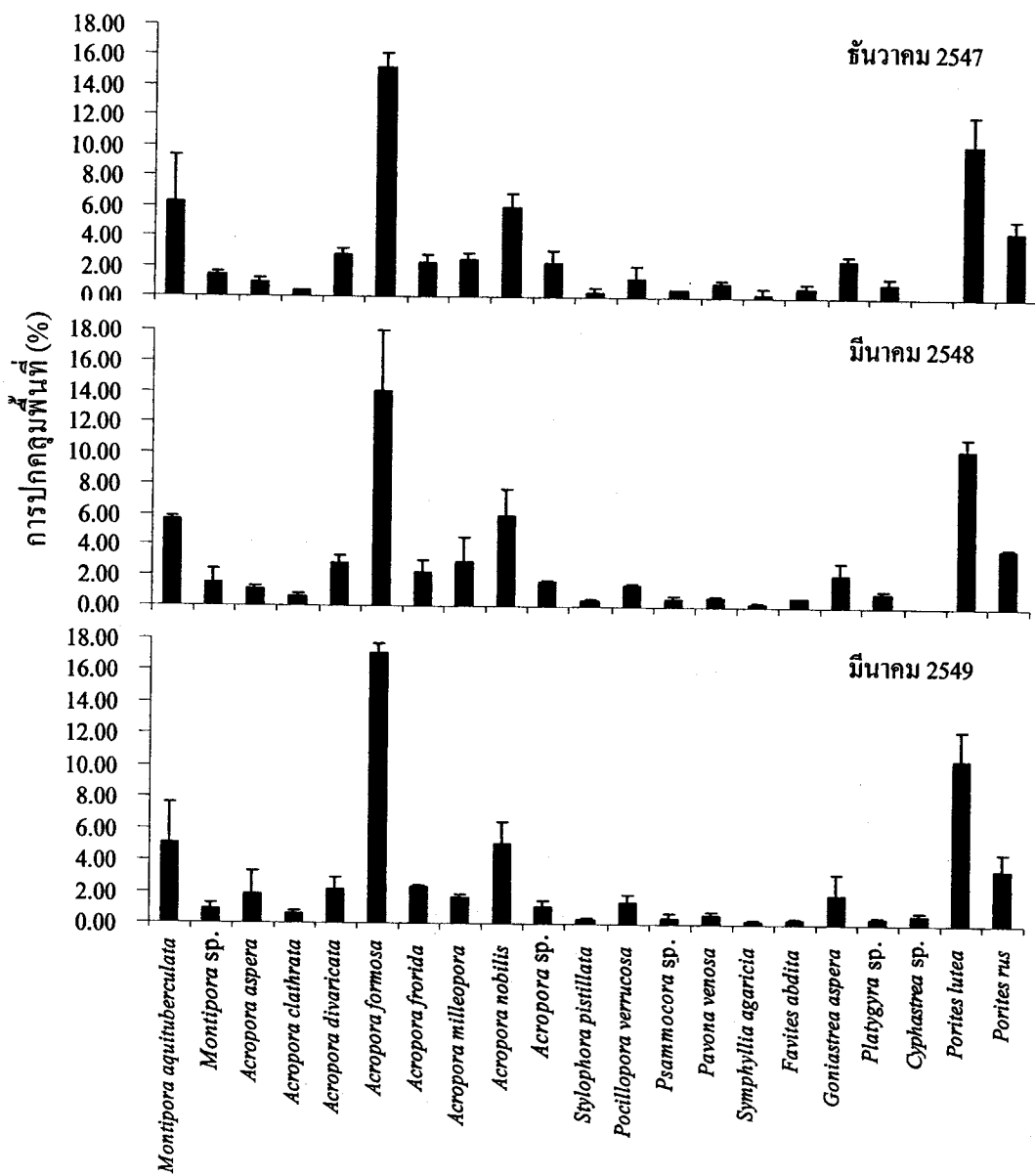
กระแสน้ำและคลื่นที่สร้างผลกระทบต่อแนวปะการังในระดับต่ำประมาณ 5% ของพื้นที่แนวปะการัง ดังข้อมูลที่ปรากฏ (ดูตาราง 4) ในการติดตามการสำรวจในพื้นที่แนวปะการังพบการปักถุนของปะการังมีชีวิตเฉลี่ย 58.70% ของพื้นที่แนวปะการัง และพบความหลากหลายของสิ่งมีชีวิตชนิดอื่น ๆ ได้แก่ปะการังไฟ (*Meliopora* sp.) และกลุ่มสาหร่าย (algae) ที่เข้าปักถุนบนพื้นซากปะการังตาย เป็นต้น ดังแสดงในภาพ 20

ตาราง 4

องค์ประกอบของการปักถุนแนวปะการังที่ทำการสำรวจบนเส้นเทปศึกษาในช่วงเวลา ก่อน และหลังเหตุการณ์คลื่นสึนามิ บริเวณอ่าวไม้จาม เกาะสุรินทร์หนีอ

องค์ประกอบของแนวปะการัง	เบอร์เซ็นต์การปักถุน		
	ก่อนเหตุการณ์คลื่นสึนามิ		หลังเหตุการณ์คลื่นสึนามิ
	ธันวาคม 2547	มีนาคม	
ปะการังมีชีวิต (live corals)	61.80	59.30	58.10
ซากปะการังตาย (dead coral)			
ซากปะการังตายแบบกึงและแผ่น	25.80	26.70	28.20
ซากปะการังตายแบบก้อน	2.10	2.70	2.70
สิ่งมีชีวิตชนิดอื่น (other organisms)			
ปะการังไฟ (fire coral)	1.20	1.00	1.10
สาหร่าย (algae)			0.90
องค์ประกอบที่ไม่มีชีวิต (abiotic components)			
เศษปะการัง (rubble)	3.50	3.40	3.10
ทราย (sand)	3.90	4.80	4.50
ทรายปนเศษปะการัง (sand and rubble)	1.70	2.10	2.40

ที่มา. จากการเก็บข้อมูลศึกษาในภาคสนามของพื้นที่อุทยานแห่งชาติหมู่เกาะสุรินทร์ ในระหว่างช่วงเดือนธันวาคม 2547 - มีนาคม 2549



ภาพ 20 การปักคลุมพื้นที่ของปะการังมีชีวิตชนิดต่าง ๆ บริเวณอ่าวไม้จาม เกาะสุรินทร์เหนือ

5. เกาะป่าชุมบาก หรือเกาะมังกร เป็นแนวปะการังมีลักษณะเป็นแนวปะการังที่เริ่มต้นจากแนวชายฝั่งและปะการังที่เจริญบนพื้นทราย พบว่ามีปะการังมีชีวิตปักคลุมพื้นที่เฉลี่ย 60.40% ของพื้นที่แนวปะการังเกาะป่าชุมบาก ปะการังที่พบในพื้นที่ส่วนใหญ่เป็นกลุ่มปะการังเขากวาง (*Acropora* spp.) และปะการังดอกกระหลา (*Pocillopora* spp.) ที่พบมากที่สุด นอกจากนี้ยังพบปะการังกลุ่มอื่น ได้แก่ ปะการังผิวเกลี้ด้าน้ำแข็ง (*Montipora* spp.) ปะการังดอกเห็ด (*Fungia* spp.) และปะการังโขด (*Porites* spp.) หลังจากเหตุการณ์คลื่น

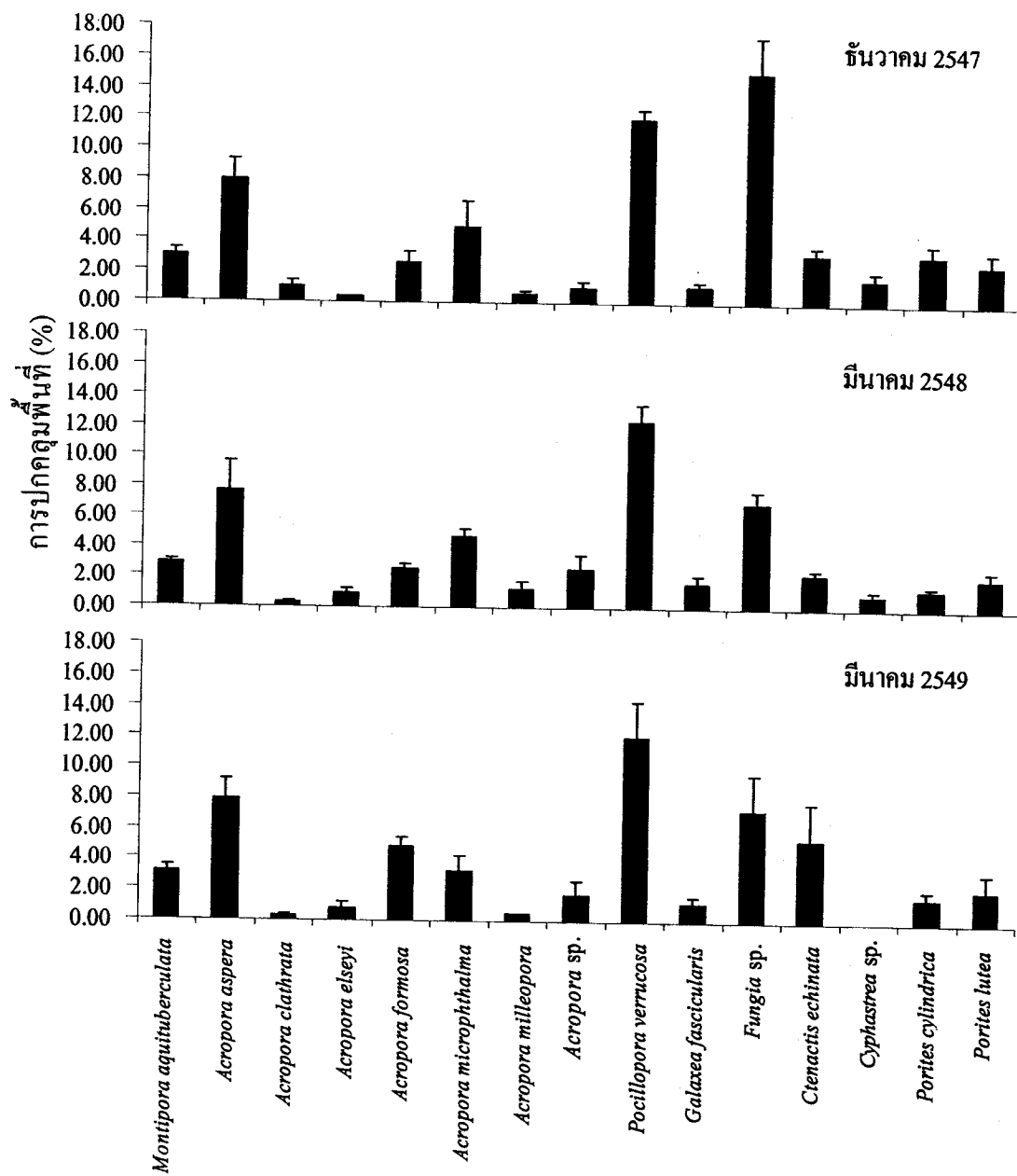
สีน้ำมิแนวปะการังมีบางบริเวณที่ได้รับความเสียหายมาก ทำให้มีการปักกลุ่มของปะการังลดน้อยลง แต่มีองค์ประกอบอื่น ๆ เช่น ชากระงatyเพิ่มขึ้นในพื้นที่ โดยพื้นที่แนวปะการังมีความเสียหายประมาณ 10-15% ของพื้นที่แนวปะการัง ดังข้อมูลที่ปรากฏ (ดูตาราง 5) จากการสำรวจพบว่ามีพื้นที่การปักกลุ่มของปะการังมีชีวิตเฉลี่ย 51.21% ของพื้นที่แนวปะการัง (ดูภาพ 21) แต่มีการเปลี่ยนแปลงของชนิดปะการังในบางชนิดที่ลดลงไปอย่างชัดเจน คือ ปะการังเขากวาง (*Acropora spp.*) และปะการังดอกเห็ด (*Fungia spp.*) ที่มีการแตกหักได้ง่าย นอกจากนี้ยังพบสิ่งมีชีวิตชนิดอื่น ๆ คือ จอกทะเล (corallimorph) ดอกไม้ทะเล (sea anemone) และปะการังสีน้ำเงิน (*Heliopora coerulea*) รวมทั้งพบกลุ่มสาหร่ายขึ้นปักกลุ่มนับพื้นที่บางส่วนของชากระงatyในพื้นที่

ตาราง 5

องค์ประกอบของการปักกลุ่มแนวปะการังที่ทำการสำรวจบนเด่นทบศึกษาในช่วงเวลา ก่อน และหลังเหตุการณ์คลื่นสึนามิ บริเวณเกาะป่าชุมนา

องค์ประกอบของแนวปะการัง	เปอร์เซ็นต์การปักกลุ่ม		
	ก่อนเหตุการณ์คลื่นสึนามิ	หลังเหตุการณ์คลื่นสึนามิ	
		ธันวาคม 2547	มีนาคม 2548
ปะการังมีชีวิต (live corals)	60.40	50.34	52.08
ชากระงaty (dead coral)			
ชากระงatyแบบกึงและแผ่น	17.40	25.50	26.38
ชากระงatyแบบก้อน	1.10	1.40	1.50
สิ่งมีชีวิตชนิดอื่น (other organisms)			
ปะการังไฟ (fire coral)	1.20		
ปะการังสีน้ำเงิน (blue coral)	1.80	1.30	0.50
จอกทะเล (corallimorph)		2.80	3.52
ดอกไม้ทะเล (sea anemone)	1.00	1.64	2.25
สาหร่าย (algae)	1.60	1.50	0.56
องค์ประกอบที่ไม่มีชีวิต (abiotic components)			
ทราย (sand)	12.40	11.02	10.12

ที่มา. จากการเก็บข้อมูลศึกษาในภาคสนามของพื้นที่อุทยานแห่งชาติหมู่เกาะสุรินทร์ ในระหว่างช่วงเดือนธันวาคม 2547 - มีนาคม 2549



ภาพ 21 การปักคลุมพื้นที่ของปะการังมีชีวิตชนิดต่าง ๆ บริเวณเกาะป่าขุนนา

6. อ่าวสุเทพ (เกาะสุรินทร์เหนือ) อ่าวสุเทพมีสภาพแนวปะการังหัวไปเป็นปะการังบนพื้นทราย โดยเริ่มตั้งแต่แนวชายฝั่งออกไปสู่ทะเล พบว่ามีการปักคลุมปะการังมีชีวิตในพื้นที่เฉลี่ย 55.60% ของพื้นที่แนวปะการังอ่าวสุเทพ ปะการังชนิดเด่นที่พบมากในพื้นที่ได้แก่ ปะการังเขากวาง (*Acropora* spp.) ประมาณ 70% ของพื้นที่แนวปะการัง ส่วนปะการังกลุ่มอื่น ๆ ที่พบหัวไป เช่น ปะการังผิวเกล็ดคำน้ำแข็ง (*Montipora* spp.) ปะการังคอกระดก

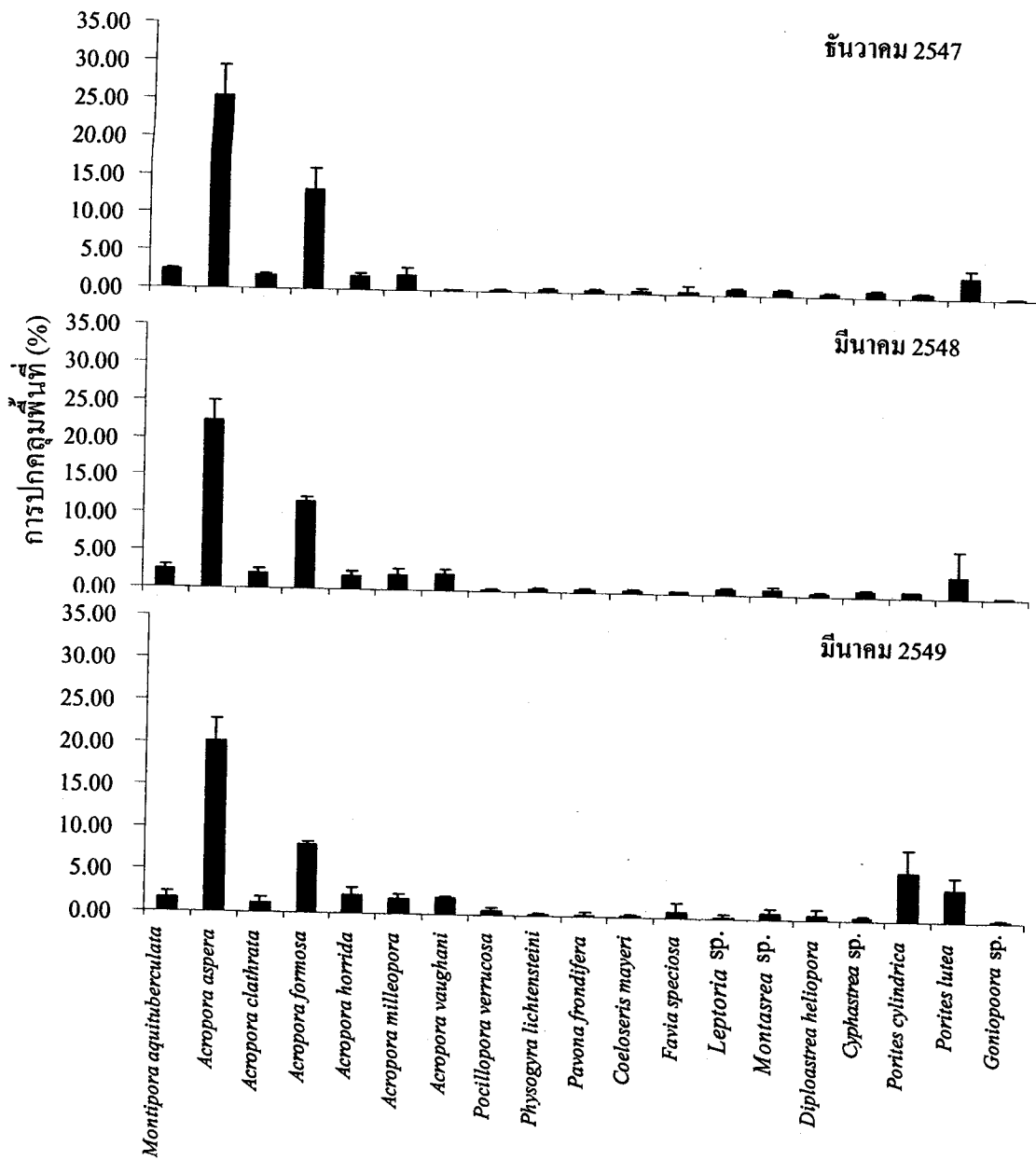
(*Fungia spp.*) ปะการังโขด (*Porites spp.*) และกลุ่ม Faviidae หลังจากเกิดคลื่นสึนามิ แนวปะการังในพื้นที่ไม่มีการเปลี่ยนแปลงทางโครงสร้างแนวปะการังมากนักและในพื้นที่ได้รับความเสียหายจากคลื่นสึนามิประมาณ 5% ของพื้นที่แนวปะการัง ในการสำรวจพบว่ามีการปักคลุมของปะการังมีชีวิตเฉลี่ย 51.71% ของพื้นที่แนวปะการัง ดังข้อมูลที่ปรากฏ (คุตราง 6) สำหรับ การเปลี่ยนแปลงของชนิดปะการังในแนวปะการังมีบางชนิดที่มีจำนวนลดลง คือ ปะการังเขากวาง (*Acropora spp.*) เนื่องจากเป็นปะการังกึ่งก้านที่แตกหักได้ง่าย นอกจากนี้ยังพบสิ่งมีชีวิตชนิดอื่น ๆ ได้แก่ ปะการังไฟ (*Meliopora sp.*) ปะการังอ่อน (soft coral) และกลุ่มสาหร่ายชนิดเส้นสาย (filament algae) ขึ้นปักคลุมบนซากปะการังตาย (คุภาพ 22)

ตาราง 6

องค์ประกอบการปักคลุมแนวปะการังที่ทำการสำรวจบนเส้นทางศึกษาในช่วงเวลา ก่อน และหลังเหตุการณ์คลื่นสึนามิ บริเวณอ่าวสุเทพ เกาะสุรินทร์ ได้

องค์ประกอบของแนวปะการัง	เปลอร์เซ็นต์การปักคลุม		
	ก่อนเหตุการณ์คลื่นสึนามิ		หลังเหตุการณ์คลื่นสึนามิ
	ธันวาคม 2547	มีนาคม 2548	มีนาคม 2549
ปะการังมีชีวิต (live corals)	55.60	53.30	50.10
ซากปะการังตาย (dead coral)			
ซากปะการังตายแบบกึ่งและแผ่น	26.80	28.20	30.10
ซากปะการังตายแบบก้อน	5.50	5.44	6.30
สิ่งมีชีวิตชนิดอื่น (other organisms)			
ปะการังไฟ (fire coral)	1.00	1.90	2.30
ปะการังอ่อน (soft coral)	0.50	0.57	0.40
สาหร่าย (algae)	0.60	0.63	0.70
องค์ประกอบที่ไม่มีชีวิต (abiotic components)			
เศษปะการัง (rubble)	5.20	4.16	4.10
หิน (rock)	2.10	2.10	2.20
ทราย (sand)	2.70	3.70	3.80

ที่มา. จากการเก็บข้อมูลศึกษาในภาคสนามของพื้นที่อุทยานแห่งชาติหมู่เกาะสุรินทร์ ในระหว่างช่วงเดือนธันวาคม 2547 - มีนาคม 2549



ภาพ 22 การปัก殖民พื้นที่ของปะการังมีชีวิตชนิดต่าง ๆ บริเวณอ่าวสุเทพ เกาะสุรินทร์ใต้

7. อ่าวเต่า (เกาะสุรินทร์ใต้) อ่าวเต่ามีลักษณะเด่นที่มีปะการังเจริญเติบโตตามแนวที่ลาดชัน (reef slope) ไปจนถึงแนวพื้นทรายด้านล่าง ให้ทะเล พนว่าการปัก殖民ของปะการังมีชีวิตในปี พ.ศ. 2547 มีค่าเฉลี่ย 57.15% ของพื้นที่แนวปะการัง โดยพบปะการังชนิดเด่น ๆ เป็นกลุ่มปะการังโขด (*Porites* spp.) กระจายอยู่ทั่วไปในแนวปะการังมีประมาณ 50% ของพื้นที่แนวปะการังในพื้นที่ นอกจานี้พบปะการังกลุ่มนื่น ๆ ทั่วไป ได้แก่

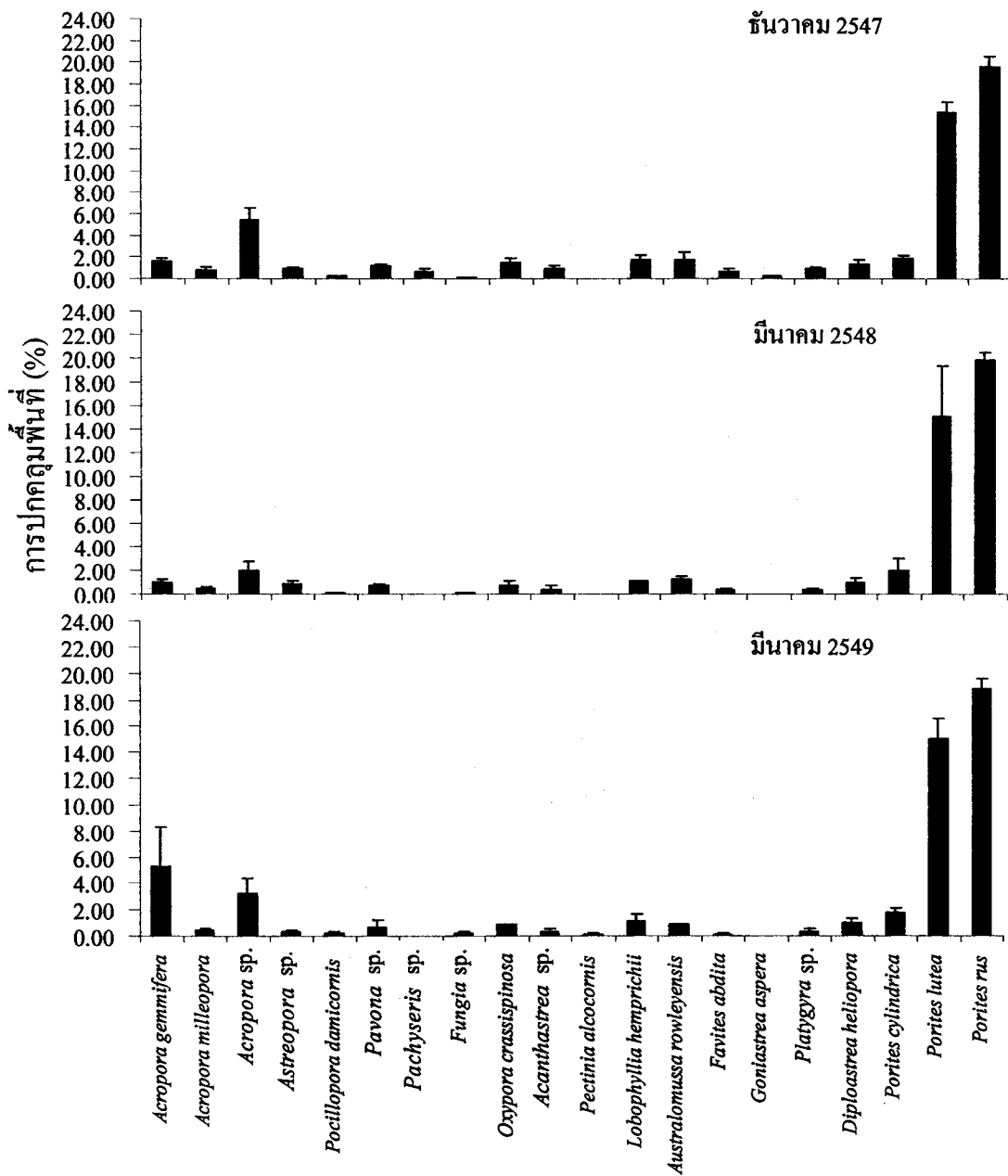
ปะการังเขากวาง (*Acropora* spp.) ปะการังดอกกระหลา (*Pocillopora* spp.) ปะการังลาย-ดอกไม้ (*Pavona* spp.) ปะการังถั่วยสมอง (*Lobophyllia* spp.) และปะการังดอกเห็ด (*Fungia* spp.) หลังจากเหตุการณ์คลื่นสึนามิแนวปะการังในพื้นที่มีการเปลี่ยนแปลง องค์ประกอบเพียงเล็กน้อย ซึ่งประเมินระดับความเสียที่ได้รับจากคลื่นสึนามิมีค่าเฉลี่ย 10-15% ของพื้นที่แนวปะการัง ในการสำรวจยังพบว่ามีการปักกลุ่มพื้นที่ของปะการัง มีชีวิตเฉลี่ย 47.19% ของพื้นที่แนวปะการัง ดังข้อมูลที่ปรากฏ (ดูตาราง 7) อย่างไรก็ตาม ยังพบการเปลี่ยนแปลงของชนิดปะการังในพื้นที่ ซึ่งปะการังบางชนิดมีพื้นที่ปักกลุ่มลดลง อย่างชัดเจน เช่น กลุ่มปะการังเขากวางชนิดต่าง ๆ (*Acropora* spp.) ปะการังรังผึ้ง (*Goniastrea* spp.) และปะการังช่องเหลี่ยม (*Favites* spp.) นอกจากนี้ยังพบสิ่งมีชีวิตชนิด อื่น ๆ ได้แก่ พรนทะเล (zoanthid) ที่เป็นสิ่งมีชีวิตชนิดเด่นในพื้นที่ที่เจริญเติบโตได้เร็ว ปักกลุ่มนั้นพื้นที่ว่างบนซากปะการังตาย ดังแสดงในภาพ 23

ตาราง 7

องค์ประกอบการปักกลุ่มแนวปะการังที่ทำการสำรวจบนเดินเทปศึกษาในช่วงเวลา ก่อน และหลังเหตุการณ์คลื่นสึนามิ บริเวณอ่าวเต่า เกาะสุรินทร์ ได้

องค์ประกอบของแนวปะการัง	เบอร์เซ็นต์การปักกลุ่ม		
	ก่อนเหตุการณ์คลื่นสึนามิ	หลังเหตุการณ์คลื่นสึนามิ	
	ธันวาคม 2547	มีนาคม 2548	มีนาคม 2549
ปะการังมีชีวิต (live corals)	57.15	47.68	46.70
ซากปะการังตาย (dead coral)			
ซากปะการังตายแบบกึ่งแผลแห่น	6.75	12.77	9.87
ซากปะการังตายแบบก้อน	9.75	11.13	15.10
สิ่งมีชีวิตชนิดอื่น (other organisms)			
พรนทะเล (zoanthid)	0.50	0.53	0.93
องค์ประกอบที่ไม่มีชีวิต (abiotic components)			
เศษปะการัง (rubble)	11.47	12.49	11.07
ทราย (sand)	4.86	10.20	7.04
ทรายปนเศษปะการัง (sand and rubble)	9.52	5.20	5.06

ที่มา. จากการเก็บข้อมูลศึกษาในภาคสนามของพื้นที่อุทยานแห่งชาติหมู่เกาะสุรินทร์ ในระหว่างช่วงเดือนธันวาคม 2547 - มีนาคม 2549



ภาพ 23 การปัก殖民พื้นที่ของปะการังมีชีวิตชนิดต่าง ๆ บริเวณอ่าวเต่า เกาะสุรินทร์ใต้

8. อ่าวผักกาด (เกาะสุรินทร์ใต้) สถานภาพแนวปะการังส่วนใหญ่จะมีปะการังเจริญเติบโตหนาแน่นตึ้งแต่แนวชายฝั่งยังคงมาระดับแนวทรายใต้ทะเล พบระบบปะการังชนิดเด่นในพื้นที่ คือ ปะการังเขากวางชนิดต่าง ๆ (*Acropora* spp.) และปะการังหอยกระหลา (*Pocillopora* spp.) การปัก殖民ปะการังมีชีวิตในพื้นที่เฉลี่ย 71.20% ของพื้นที่แนวปะการัง นอกจากนี้ยังพบปะการังชนิดอื่น ได้ทั่วไป ได้แก่ ปะการังผิวเกล็ดน้ำแข็ง (*Montipora* spp.)

ปะการังดอกเห็ด (*Fungia spp.*) ปะการังสมอง (*Sympyllia spp.*) และปะการังไขด *(Porites spp.)* หลังจากเหตุการณ์คลื่นสึนามิทำให้สภาพแนวปะการังมีความเสียที่ได้รับจากคลื่นสึนามิ ประมาณ 20-30% ของพื้นที่แนวปะการัง จากการสำรวจพบว่าพื้นที่มีการปักกลุ่มของปะการังมีชีวิตอยู่แล้วถึง 49.08% ของพื้นที่แนวปะการัง ดังข้อมูลที่ปรากฏ (คุณตราง 8) แต่ความเสียหายของชนิดปะการังส่วนใหญ่ที่ได้รับความเสียหายอย่างเห็นได้ชัดเจนในพื้นที่ ได้แก่ ปะการังเขากวางชนิดต่าง ๆ (*Acropora spp.*) เนื่องจากมีลักษณะเป็นกิ่งก้านและมีความเปราะบางสูง ทำให้แตกหักของปะการังมากกว่าปะการังชนิดอื่น ๆ ดังแสดงในภาพ 24 ซึ่งในปัจจุบันยังพบกลุ่มสาหร่ายชนิดเส้นสาย (*filament algae*) ขึ้น แพร่กระจายปักกลุ่มน้ำตามแนวปะการังชาย

ตาราง 8

องค์ประกอบของการปักกลุ่มแนวปะการังที่ทำการสำรวจบนเส้นทางศึกษาในช่วงเวลา ก่อน และหลังเหตุการณ์คลื่นสึนามิ บริเวณอ่าวผักกาด เกาะสุรินทร์ ได้

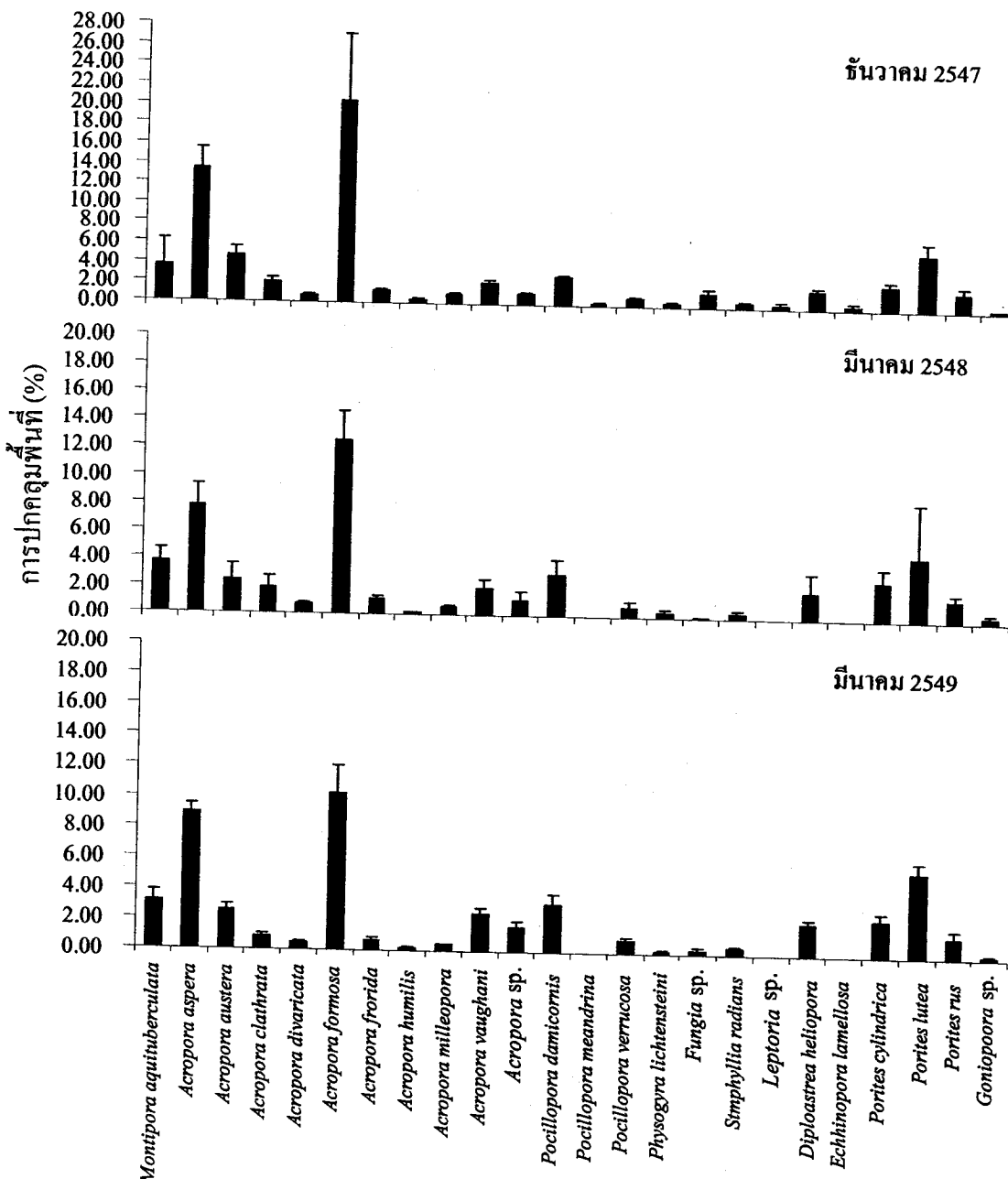
องค์ประกอบของแนวปะการัง	เปอร์เซ็นต์การปักกลุ่ม		
	ก่อนเหตุการณ์คลื่นสึนามิ	หลังเหตุการณ์คลื่นสึนามิ	
		ธันวาคม 2547	มีนาคม 2548
ปะการังมีชีวิต (live corals)	71.20	50.15	48.02
ชากระดูกปะการังตาย (dead coral)			
ชากระดูกปะการังตายแบบกิ่งและแผ่น	21.80	37.20	40.74
ชากระดูกปะการังตายแบบก้อน	3.10	3.30	2.40
สิ่งมีชีวิตชนิดอื่น (other organisms)			
ซอกระดิเด (corallimorph)	0.50		0.44
ฟองน้ำ (sponge)		1.05	
องค์ประกอบที่ไม่มีชีวิต (abiotic components)			
เศษปะการัง (rubble)	1.20	3.70	4.03
หิน (rock)	2.00	2.50	2.60
ทราย (sand)	1.10	1.62	1.82
ทรายปนเศษปะการัง (sand and rubble)	0.30	0.48	2.31

ที่มา. จากการเก็บข้อมูลศึกษาในภาคสนามของพื้นที่อุทยานแห่งชาติหมู่เกาะสุรินทร์ ในระหว่างช่วงเดือนธันวาคม 2547 - มีนาคม 2549

ธันวาคม 2547

มีนาคม 2548

มีนาคม 2549



ภาพ 24 การปักกลุ่มพันธุ์ของปะการังมีชีวิตชนิดต่าง ๆ บริเวณอ่าวผักกาด เกาะสูรินทร์ใต้

9. เกาะตอรินลา หรือเกาะไก่ ส่วนภาพแนวปะการังที่สมบูรณ์และมีความหลากหลายของสิ่งมีชีวิตสูง ซึ่งมีปะการังเจริญเติบโตอย่างหนาแน่นตั้งแต่แนวชายฝั่งยาวลงมาจนถึงแนวทรายใต้ทะเลลึกกับบริเวณอ่าวผักกาด ซึ่งมีปะการังเจริญเติบโตและแพร่กระจายบนพื้นทรายในระดับความลึก 14-16 เมตร ปะการังชนิดเด่นที่พบเป็นปะการัง

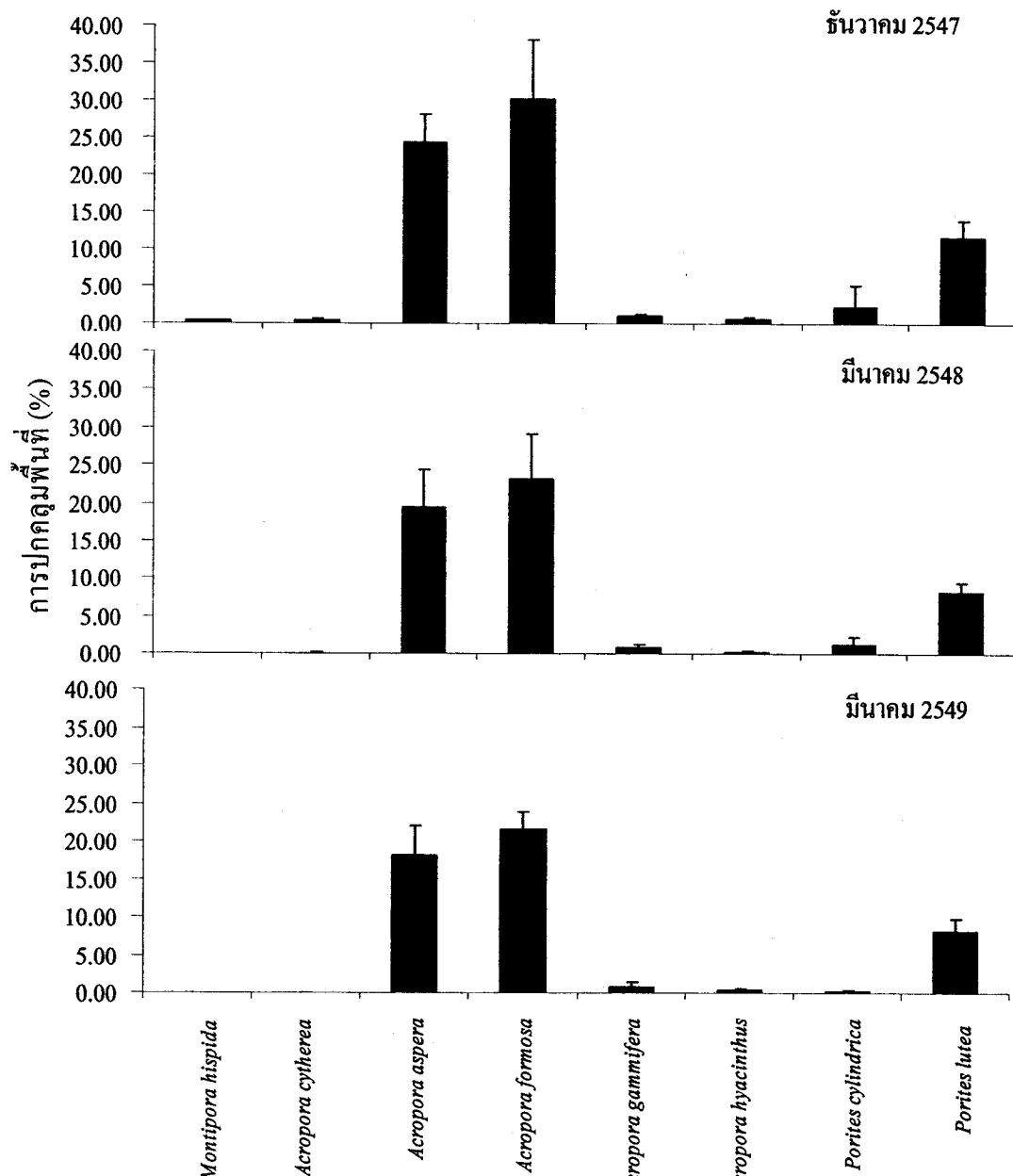
เขากวางชนิดต่าง ๆ (*Acropora spp.*) การปักลูมประสบการณ์มีชีวิตในพื้นที่เฉลี่ย 75.10% ของพื้นที่แนวปะการัง และยังพบปะการังชนิดอื่น ๆ ได้แก่ ปะการังผิวเกลี้ด้น้ำแข็ง (*Montipora spp.*) ปะการังคอคเห็ด (*Fungia spp.*) และปะการังโขด (*Porites spp.*) หลังเหตุการณ์คลื่นสึนามิทำให้สภาพแนวปะการังในพื้นที่มีการเปลี่ยนแปลงองค์ประกอบอย่างมาก ซึ่งมีระดับความเสียหายที่ได้รับจากคลื่นสึนามิเฉลี่ย 20-30% ของพื้นที่แนวปะการัง จากการสำรวจพบพื้นที่การปักลูมของปะการังมีชีวิตเฉลี่ย 49.94% ของพื้นที่แนวปะการัง ดังข้อมูลที่ปรากฏ (ดูตาราง 8) แต่ความเสียหายที่เกิดขึ้นสร้างผลกระทบต่อปะการังมาก ทำให้ปะการังเขากวางชนิดต่าง ๆ (*Acropora spp.*) ที่มีลักษณะเป็นกึงก้านมีการแตกหักมาก (ดูภาพ 25) นอกจากนี้กุลุ่มสาหร่ายชนิดเส้นสายและกุลุ่มสาหร่ายขนาดใหญ่ (*macroalgae*) ขึ้นปักลูมบนซากปะการังตาย เช่น สาหร่ายเห็ดหูหนู (*Padina sp.*) ในบางพื้นที่

ตาราง 9

องค์ประกอบของการปักลูมแนวปะการังที่ทำการสำรวจบนเด็นเทปศึกษาในช่วงเวลา ก่อน และหลังเหตุการณ์คลื่นสึนามิ บริเวณเกาะตอรินดา

องค์ประกอบของแนวปะการัง	පෝර්ජේන්තර්การปักลูມ		
	ก่อนเหตุการณ์คลื่นสึนามิ	หลังเหตุการณ์คลื่นสึนามิ	
		ธันวาคม 2547	มีนาคม 2548
ปะการังมีชีวิต (live corals)	75.10	50.39	49.50
ซากปะการังตาย (dead coral)			
ซากปะการังตายแบบกึงและแผ่น	17.45	41.39	41.10
ซากปะการังตายแบบก้อน	1.65	1.50	0.40
สิ่งมีชีวิตชนิดอื่น (other organisms)			
สาหร่าย (algae)	1.20	3.42	5.30
องค์ประกอบที่ไม่มีชีวิต (abiotic components)			
เศษปะการัง (rubble)	0.80	1.07	1.60
หิน (rock)	1.35	1.31	1.50
ทราย (sand)	0.80	0.29	0.20
ทรายปนเศษปะการัง (sand and rubble)		0.63	0.40

ที่มา. จากการเก็บข้อมูลศึกษาในภาคสนามของพื้นที่อุทยานแห่งชาติหมู่เกาะสุรินทร์ ในระหว่างช่วงเดือนธันวาคม 2547 - มีนาคม 2549



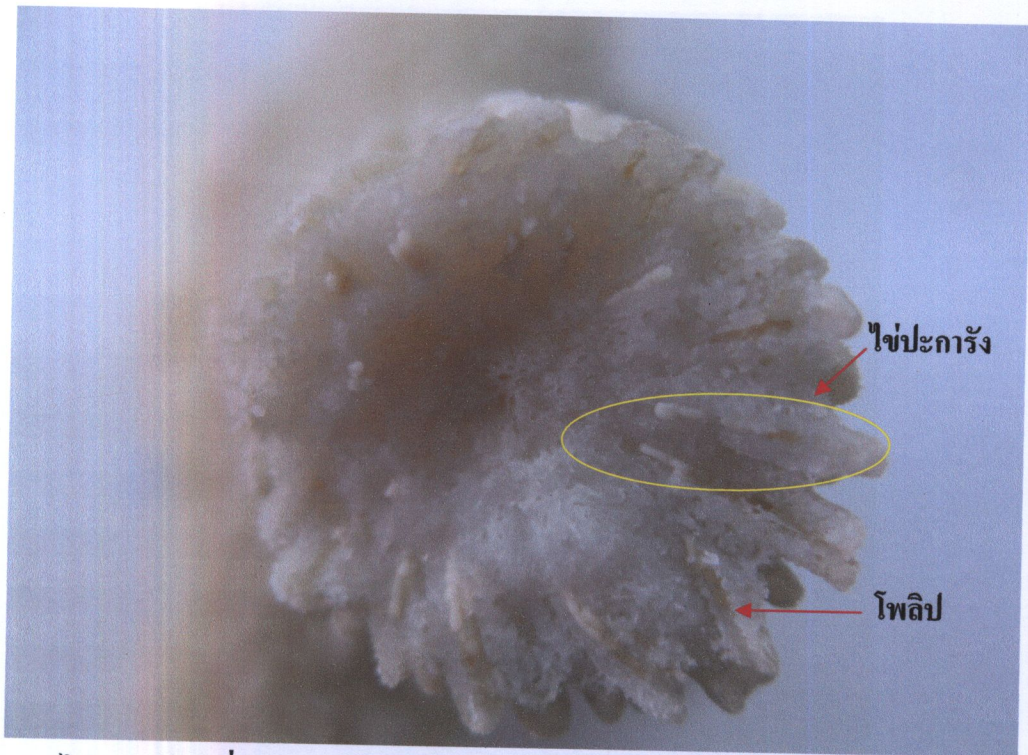
ภาพ 25 การปกคลุมพื้นที่ของปะการังมีชีวิตชนิดต่าง ๆ บริเวณเกาะต่อรินลา

การสร้างเซลล์สีบพันธุ์และความดกของไข่ปะการัง

การสร้างเซลล์สีบพันธุ์

จากการศึกษาการสร้างเซลล์สีบพันธุ์จากโคโลนีปะการังของปะการังเขากวาง *Acropora formosa* ซึ่งสามารถพนได้ทั่วไปในบริเวณแนวปะการังของหมู่เกาะสุรินทร์ ในทุกพื้นที่ โดยเก็บข้อมูลการสีบพันธุ์ของปะการังครั้งแรกในเดือนมีนาคม 2548 ในบริเวณแนวปะการังของหมู่เกาะสุรินทร์ที่ได้รับผลกระทบหลังจากเกิดคลื่นสึนามิได้ประมาณ 2 เดือน พนการสร้างเซลล์สีบพันธุ์และไข่ปะการังที่พร้อมจะปล่อยออกมาน้ำ แนวปะการังในช่วงเวลาถัดมา ดังแสดงในภาพ 26 และ 27 โดยทั่วไปพบว่าการสร้างเซลล์สีบพันธุ์ของปะการังมีลักษณะแบบกระเทย ซึ่งมีทั้งเพศผู้และเพศเมียอยู่ในตัวเดียว กัน คือ การสร้างสเปร์ม (sperm) และไข่ (oocyte) ในโพลิปเดียวกัน ใน 8 mesenteries ที่มีการสร้างเซลล์สีบพันธุ์ (gonad) จะมีเพศผู้และเพศเมียคั่นกัน นอกจากนี้จำนวน mesentery ที่สร้างไข่และสเปร์มค่อนข้างไม่แน่นอน โดยทั่วไปจะอยู่ในช่วง 1-4 mesenteries เท่านั้น แสดงในภาพ 28-31

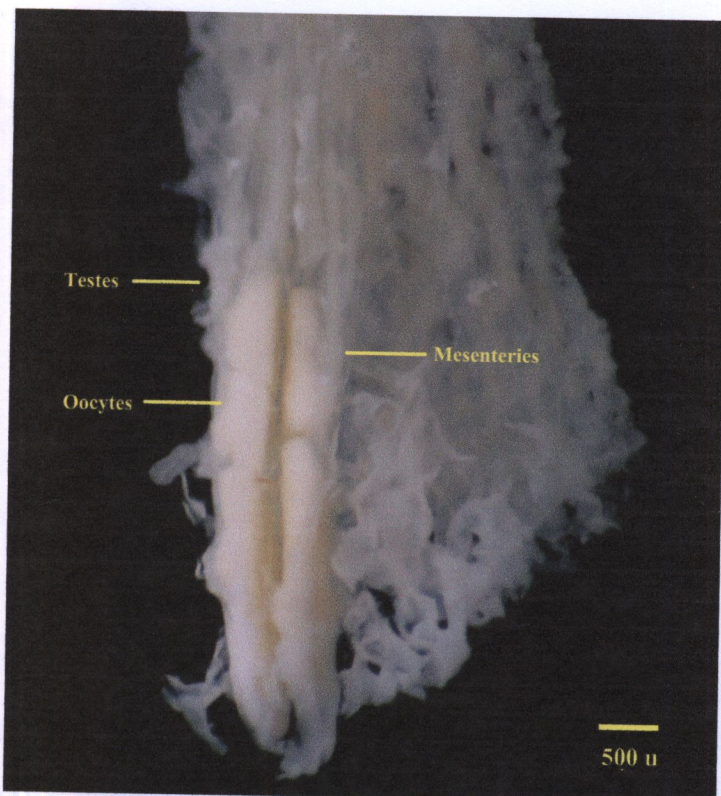
เมื่อพิจารณาถึงการสร้างเซลล์สีบพันธุ์ของปะการัง พนว่าแนวปะการังบริเวณ อ่าวสูเทพ อ่าวจาก อ่าวแม่ยาย อ่าวผักกาด และเกาะตอรินตาม จำนวนโคโลนีที่มีการสร้างเซลล์สีบพันธุ์เฉลี่ย $68.07 \pm 9.21\%$, $68.44 \pm 9.06\%$, $71.84 \pm 10.84\%$, $75.06 \pm 12.72\%$ และ $75.95 \pm 11.18\%$ ตามลำดับ นอกจากนี้แนวปะการังยังมีการสร้างเซลล์สีบพันธุ์ในทุกดีอน ที่เก็บตัวอย่าง โดยพนโคโลนีที่มีการสร้างเซลล์สีบพันธุ์มีจำนวนเฉลี่ย $85.40 \pm 4.16\%$, $65.20 \pm 1.36\%$, $77.80 \pm 2.34\%$, $89.00 \pm 2.15\%$, $91.07 \pm 1.91\%$ และ $22.73 \pm 2.31\%$ ตามลำดับ ซึ่งจำนวนโคโลนีที่มีการสร้างเซลล์สีบพันธุ์มากที่สุดในเดือนมีนาคม 2549 และรองลงมา คือ มกราคม 2549 แต่จะมีการสร้างเซลล์สีบพันธุ์เพียงเล็กน้อยในเดือน พฤษภาคม 2549 ดังแสดงในภาพ 32 อย่างไรก็ตามการสร้างเซลล์สีบพันธุ์ของปะการัง ในแต่ละพื้นที่และช่วงเวลา มีความแตกต่างกันอย่างมีนัยสำคัญ (Two-way ANOVA, $P < 0.05$) (คุณภาพเชิงอิสระในภาคผนวก ตาราง 13)



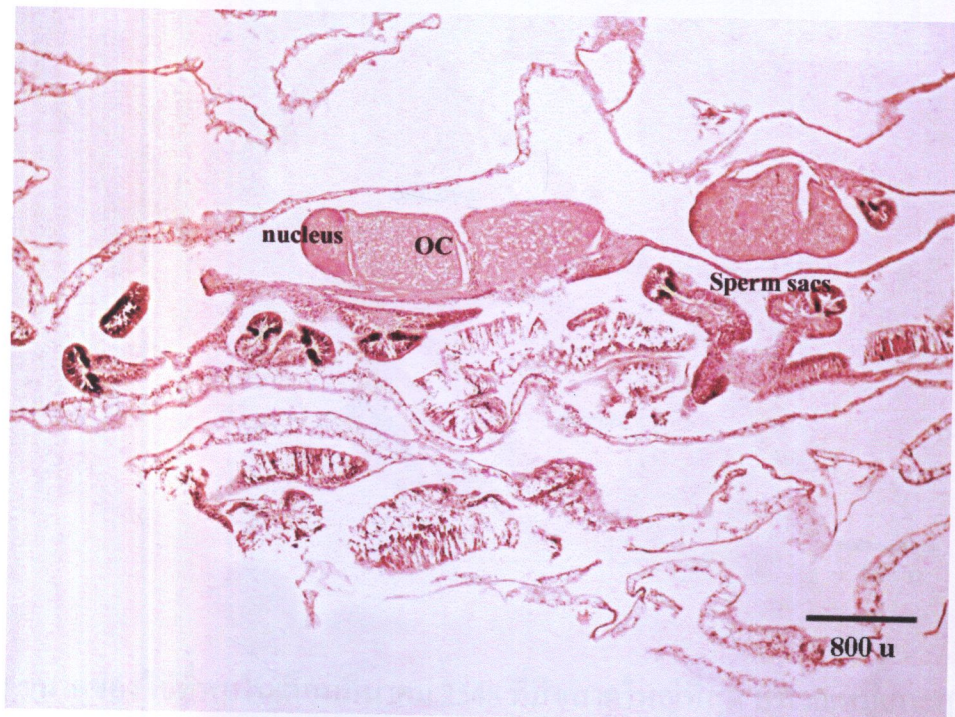
ภาพ 26 ไข่ (oocyte) ที่อยู่ภายในโพลิปของปะการังเขากวาง *Acropora formosa* ที่พบในเดือนมีนาคม 2548



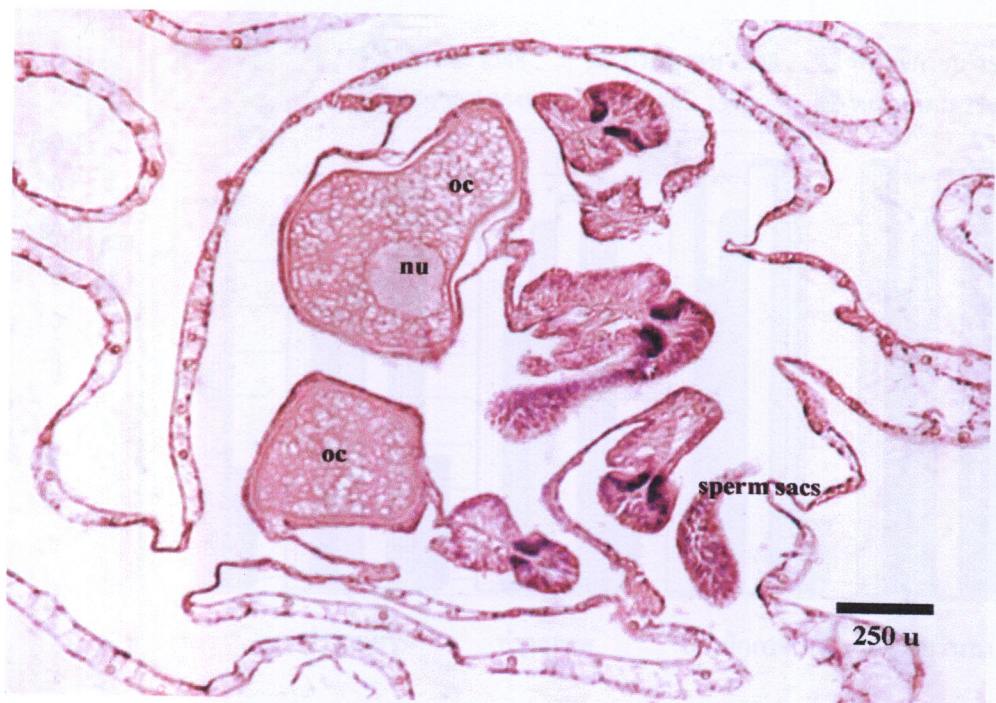
ภาพ 27 ไข่ (oocyte) จำนวนมากของ *Acropora formosa* ในแต่ละโพลิป



ภาพ 28 โพลิปของปะการัง *Acropora formosa* ที่กำจัดหินปูนออกและมีการสร้างเซลล์สืบพันธุ์ในช่วงเดือนมีนาคม 2548



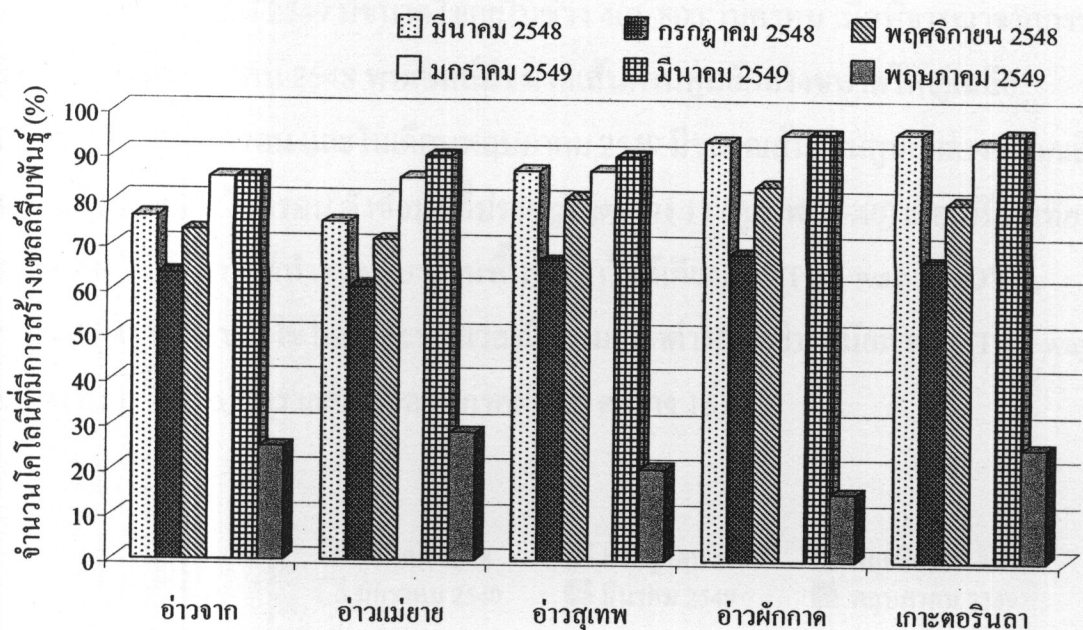
ภาพ 29 ภาพตามข่าวของโพลิปปะการัง *Acropora formosa* สามารถมองเห็นไข่ (oc) ที่มี nucleus (nu) อุ้ยภายใน และมีถุง sperm sacs อุ้ยรอบข้าง ในช่วงเดือนมีนาคม 2548



ภาพ 30 ภาพตามขวางของโพลิปปะการัง *Acropora formosa* สามารถมองเห็นไข่ (oc) ที่มี nucleus (nu) อยู่บริเวณกลางไข่ และมีถุง sperm sacs รอบๆ ของช่วงเดือนมีนาคม 2548



ภาพ 31 ขนาดของไข่ที่พบในเดือนมีนาคม 2548 ที่มีขนาดใหญ่ที่สุด บริเวณหมู่เกาะสุรินทร์



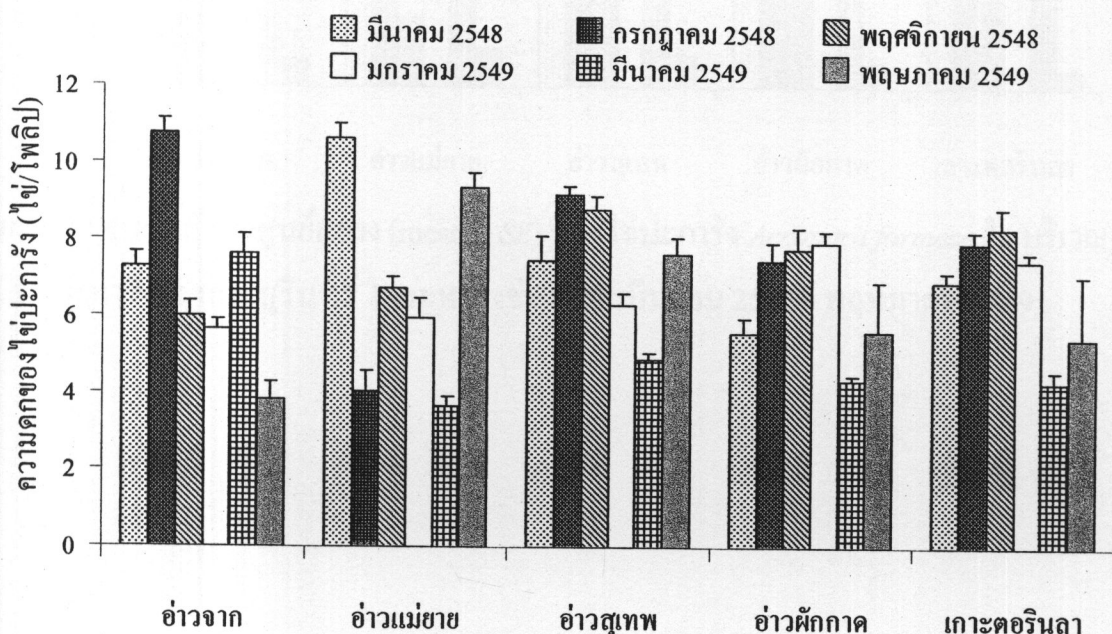
ภาพ 32 จำนวนโคโลนีปะการัง *Acropora formosa* ที่มีการสร้างเซลล์สืบพันธุ์ บริเวณหมู่เกาะสุรินทร์ในช่วงเดือนมีนาคม 2548 - พฤษภาคม 2549

ความคงของไข่และขนาดของไข่ปะการัง

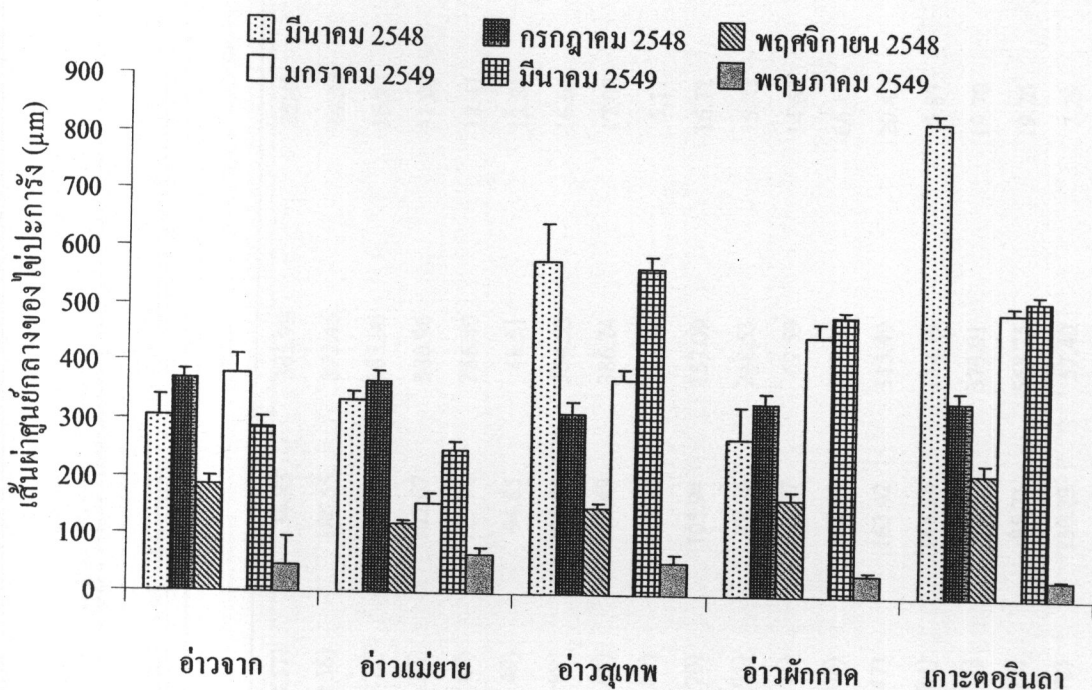
จากการศึกษาความคงของไข่และขนาดของไข่ (oocyte) ปะการัง *Acropora formosa* พบร้าความคงของไข่ปะการังที่เก็บมาศึกษาในระหว่างเดือนมีนาคม 2548 - พฤษภาคม 2549 มีความคงของไข่เฉลี่ย 7.57 ± 0.82 , 7.98 ± 2.02 , 7.52 ± 0.52 , 6.66 ± 0.44 , 4.95 ± 0.69 และ 6.36 ± 0.95 ไข่ต่อโพลิป ตามลำดับ โดยความคงของไข่ปะการังที่พบในบริเวณแนวปะการังอ่าวจาก อ่าวแม่ยาย อ่าวสุเทพ อ่าวผักกาด และเกาะตอรินดา มีจำนวนความคงของไข่เฉลี่ย 6.85 ± 0.95 , 6.72 ± 1.14 , 7.36 ± 0.65 , 6.24 ± 0.69 และ 6.48 ± 0.72 ไข่ต่อโพลิป ตามลำดับ ดังข้อมูลที่ปรากฏ (ดูตาราง 10) ซึ่งปริมาณความคงของไข่ปะการังของโคโลนีปะการังไม่มีความแตกต่างกันระหว่างแต่ละช่วงเวลาและพื้นที่ศึกษา (Two-way ANOVA, $P > 0.05$) (คุณภาพเชิงเดียวในภาคผนวก ตาราง 14) ดังแสดงในภาพ 33

นอกจากนี้ขนาดของเซลล์ไข่ปะการังจากโคโลนีปะการังในพื้นที่ศึกษาระบบทั้ง อ่าวจาก อ่าวแม่ยาย อ่าวสุเทพ อ่าวผักกาด และเกาะตอรินดา ในระหว่างเดือนมีนาคม 2548 - พฤษภาคม 2549 พบร้าเซลล์ไข่ปะการังมีขนาดใหญ่จะพบในเดือนมีนาคม 2548

และมกราคม-มีนาคม 2549 มีขนาดใหญ่ยื่นในช่วง 401-800 ไมครอน เมื่อพิจารณาจากการสำรวจในเดือนมีนาคม 2548 พบเซลล์มีขนาดเส้นผ่านศูนย์กลางขนาดใหญ่เฉลี่ย 463.98 ± 15.49 ไมครอน และในเดือนพฤษภาคม 2549 มีขนาดเส้นผ่านศูนย์กลางขนาดเล็กเฉลี่ย 48.68 ± 6.45 ไมครอน ดังข้อมูลที่ปรากฏในตาราง 11 (คุณภาพ 34-40) เมื่อเปรียบเทียบขนาดของไข่ปะการังที่สำรวจพบว่าในพื้นที่มีค่าไกล์เคียงกัน (Two-way ANOVA, $P > 0.05$) แต่ขนาดของไข่ในแต่ละช่วงเวลาไม่ความแตกต่างกันอย่างมีนัยสำคัญ (Two-way ANOVA, $P < 0.05$) (คุณภาพละเอียดในภาคพนวก ตาราง 15)



ภาพ 33 ความถก (mean \pm SE) ของไข่ปะการัง *Acropora formosa* ในบริเวณแนวปะการังหมู่เกาะสุรินทร์ ในช่วงเดือนมีนาคม 2548 - พฤษภาคม 2549



ภาพ 34 ขนาดเส้นผ่าศูนย์กลาง (mean \pm SE) ของไข่ปะการัง *Acropora formosa* ในบริเวณแนวปะการังหมู่เกาะสุรินทร์ ในระหว่างช่วงเดือนมีนาคม 2548 - พฤษภาคม 2549

ตาราง 10

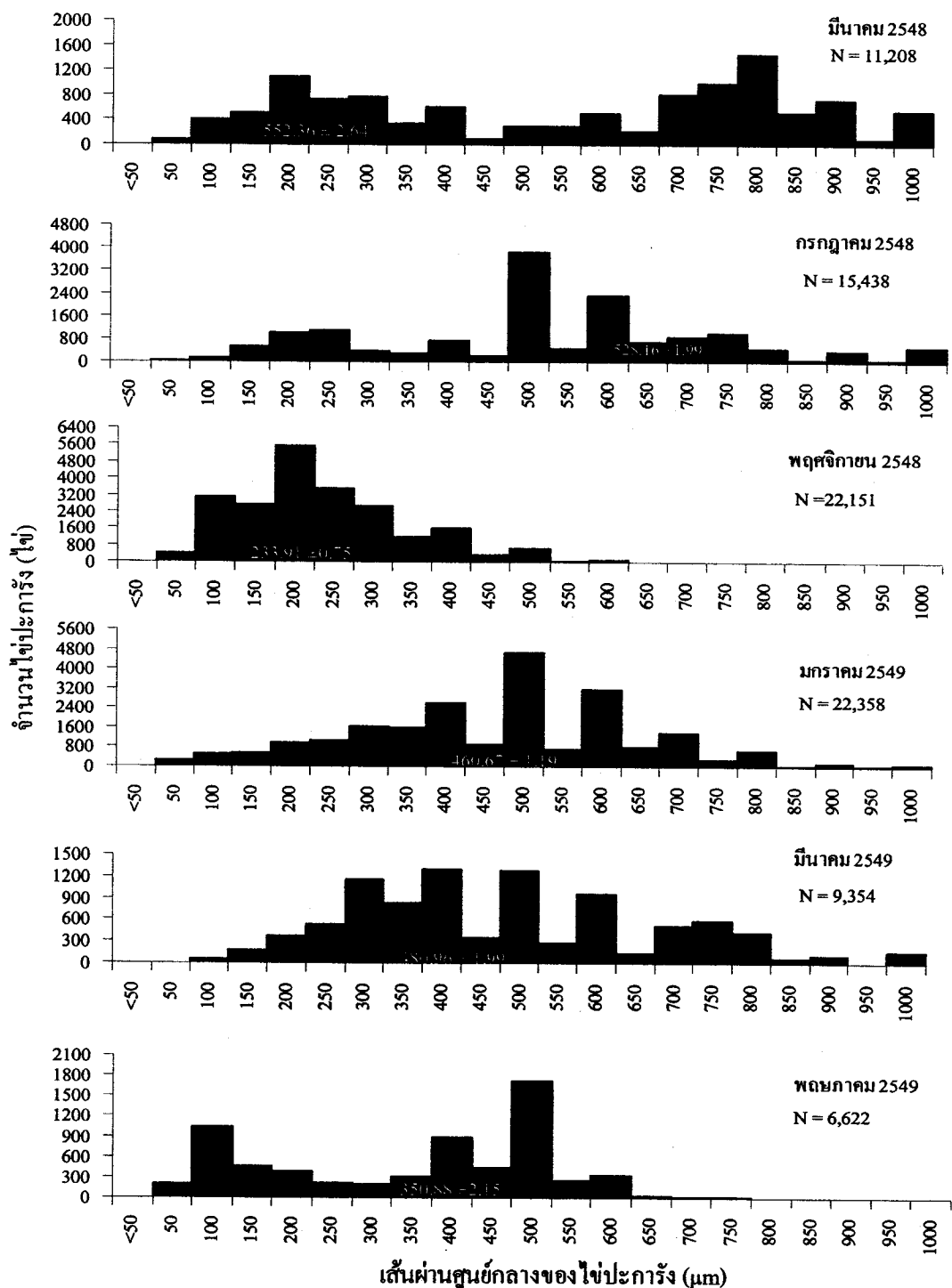
ค่าความดันและขนาดของปูปะการัง *Acropora formosa* ในแต่ละสถานศึกษาระหว่างเดือนมีนาคม 2548 - พฤษภาคม 2549

สถานี	ช่วงเวลาทำการศึกษา	จำนวนไฟต่อโพลี		จำนวนโพลี (SE)	จำนวนโพลี (± SE)	จำนวนไฟ	ต่อตร. หก.	ค่าความถี่ทาง生理 (μ)
		ค่าเฉลี่ย (\bar{X})	ค่าความถี่ทางสถิติ (SE)					
อ่าวจาก	มีนาคม 2548	7.30	0.36	18.47 (± 0.57)	134.83	305.99	35.48	
	กรกฎาคม 2548	10.75	0.38	17.37 (± 0.56)	186.55	372.46	14.55	
	พฤษจิกายน 2548	6.00	0.40	18.14 (± 0.72)	109.38	185.96	16.92	
	มกราคม 2549	5.66	0.26	16.90 (± 0.37)	102.67	380.96	31.09	
	มีนาคม 2549	7.62	0.53	17.07 (± 0.67)	129.90	286.80	18.41	
	พฤษภาคม 2549	3.80	0.49	19.75 (± 0.49)	94.85	48.51	12.81	
อ่าวแม่น้ำข	มีนาคม 2548	10.61	0.39	18.43 (± 0.89)	195.54	334.53	16.06	
	กรกฎาคม 2548	4.04	0.53	16.21 (± 0.45)	65.49	386.24	17.08	
	พฤษจิกายน 2548	6.74	0.28	18.16 (± 0.89)	122.22	121.84	5.11	
	มกราคม 2549	5.97	0.49	17.41 (± 0.70)	103.94	157.09	16.72	
	มีนาคม 2549	3.64	0.25	17.19 (± 0.91)	79.76	248.53	15.75	
	พฤษภาคม 2549	9.34	0.40	17.03 (± 0.71)	107.97	67.59	14.61	
อ่าวสูขาว	มีนาคม 2548	7.46	0.62	19.19 (± 1.08)	142.97	577.86	66.18	
	กรกฎาคม 2548	9.16	0.22	17.86 (± 0.47)	163.42	315.49	20.40	
	พฤษจิกายน 2548	8.79	0.33	16.87 (± 0.84)	148.38	152.19	7.87	
	มกราคม 2549	6.28	0.31	18.70 (± 0.77)	117.44	373.01	19.70	
	มีนาคม 2549	4.87	0.18	17.60 (± 0.75)	85.71	568.75	19.26	
	พฤษภาคม 2549	7.62	0.45	17.09 (± 0.72)	130.23	57.40	7.29	

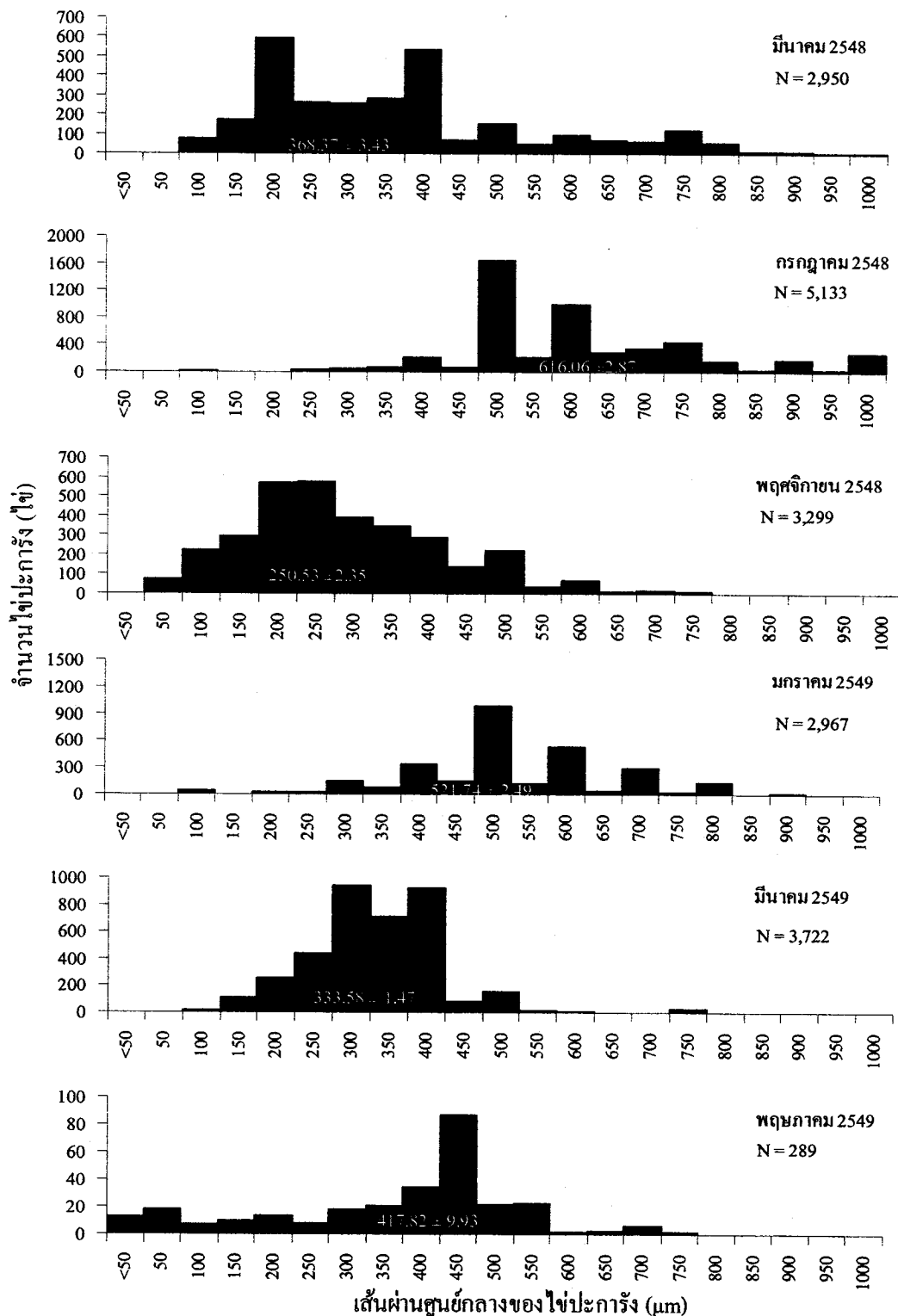
ตาราง 10 (ต่อ)

สถานี	ช่วงเวลาทำการศึกษา	จำนวนไนโตรเจนฟลีก		จำนวนไนโตรเจนฟลีก ค่าเฉลี่ย (\bar{X})	ค่าความถ้วนเฉลี่ย (SE)	ค่า T.R. ช.m. ($\pm SE$)	ต่อ ตร.ช.m.	ค่าเฉลี่ย (\bar{X})	ค่าความถ้วนเฉลี่ย (SE)
		ค่าเฉลี่ย (\bar{X})	ค่าความถ้วนเฉลี่ย (SE)						
อ่าวพังก้าด	มีนาคม 2548	5.59	0.37	18.36 (± 0.91)	274.31	274.31	5.37		
	พฤษภาคม 2548	7.76	0.57	17.04 (± 0.43)	132.23	168.46	15.69		
มกราคม 2549		7.92	0.31	18.18 (± 0.48)	143.99	452.59	23.19		
มีนาคม 2549		4.34	0.13	17.20 (± 0.75)	74.87	486.65	10.68		
พฤษภาคม 2549		5.62	1.28	18.69 (± 0.67)	105.04	38.37	4.55		
กุมภาพันธ์	มีนาคม 2548	6.90	0.25	18.62 (± 0.71)	128.55	827.19	13.83		
	พฤษภาคม 2548	8.33	0.51	18.12 (± 0.67)	150.94	217.70	17.55		
มกราคม 2549		7.45	0.24	16.90 (± 0.37)	125.91	495.84	12.87		
มีนาคม 2549		4.29	0.30	17.17 (± 0.70)	70.86	515.75	12.63		
พฤษภาคม 2549		5.45	1.60	20.62 (± 0.63)	112.43	31.56	6.86		

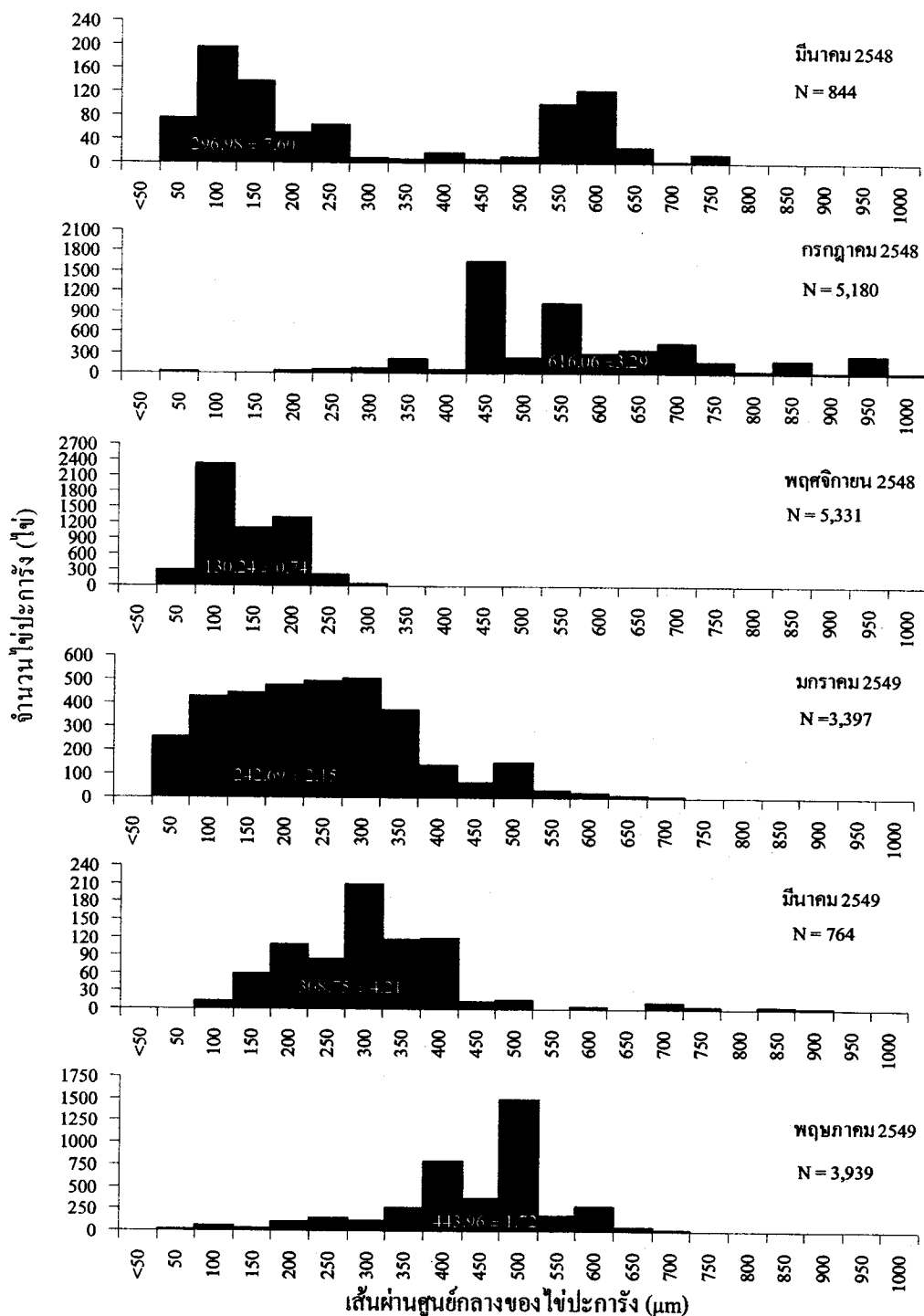
ที่ 7. จักษุการเก็บตัวอย่างปริมาณสารออกซิเจน (*Acroporaformosa*) ในภาคต้นฤดูของเดือนพฤษภาคมแห่งชาติหนึ่งภาคใต้ในทรัพย์สินที่ในระหว่างช่วงเดือนมีนาคม 2548 - พฤษภาคม 2549



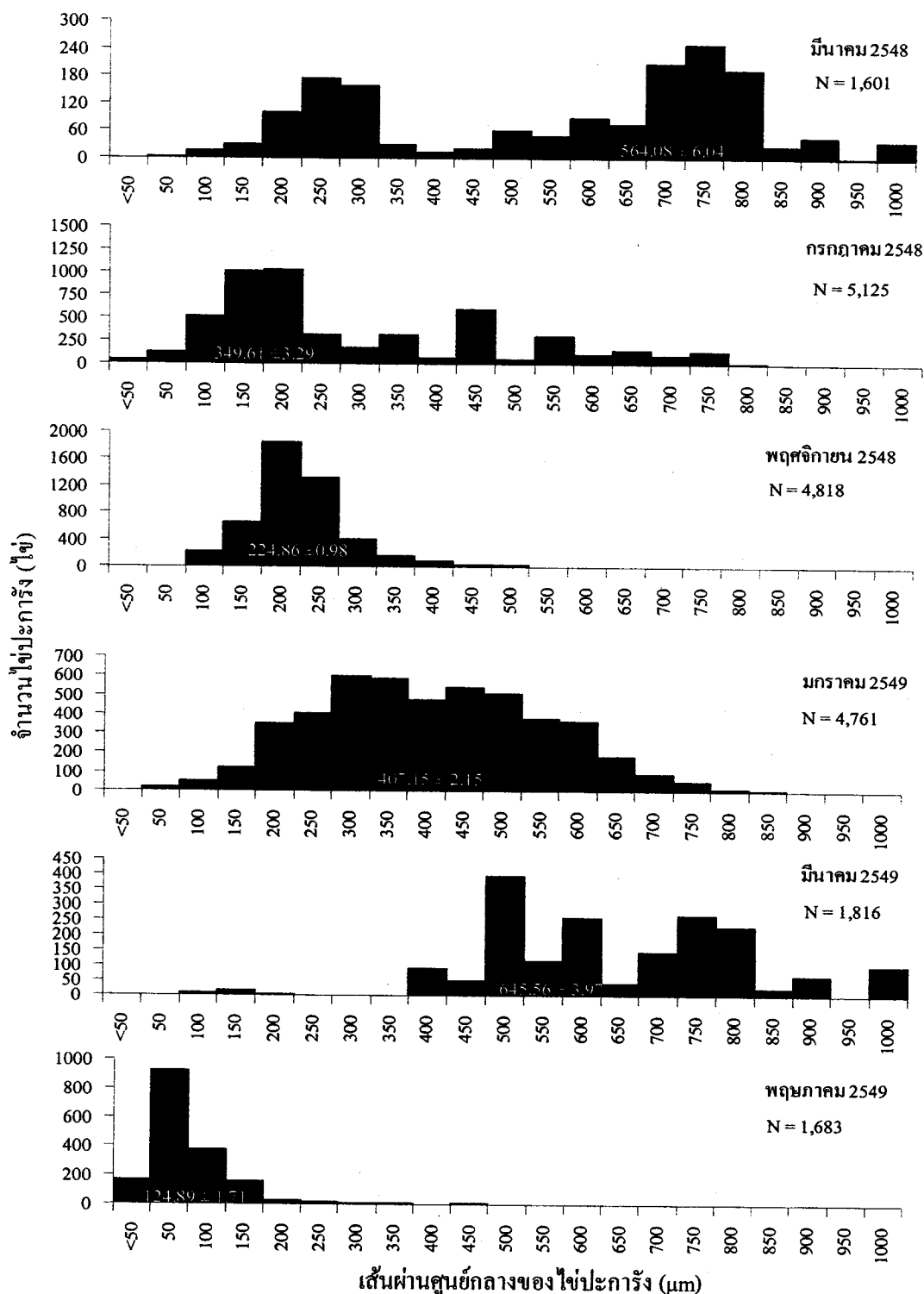
ภาพ 35 ความถี่ของเส้นผ่านศูนย์กลางของไข่ประการง *Acropora formosa* บริเวณหมู่เกาะสุรินทร์ ในระหว่างช่วงเดือนมีนาคม 2548 - พฤษภาคม 2549



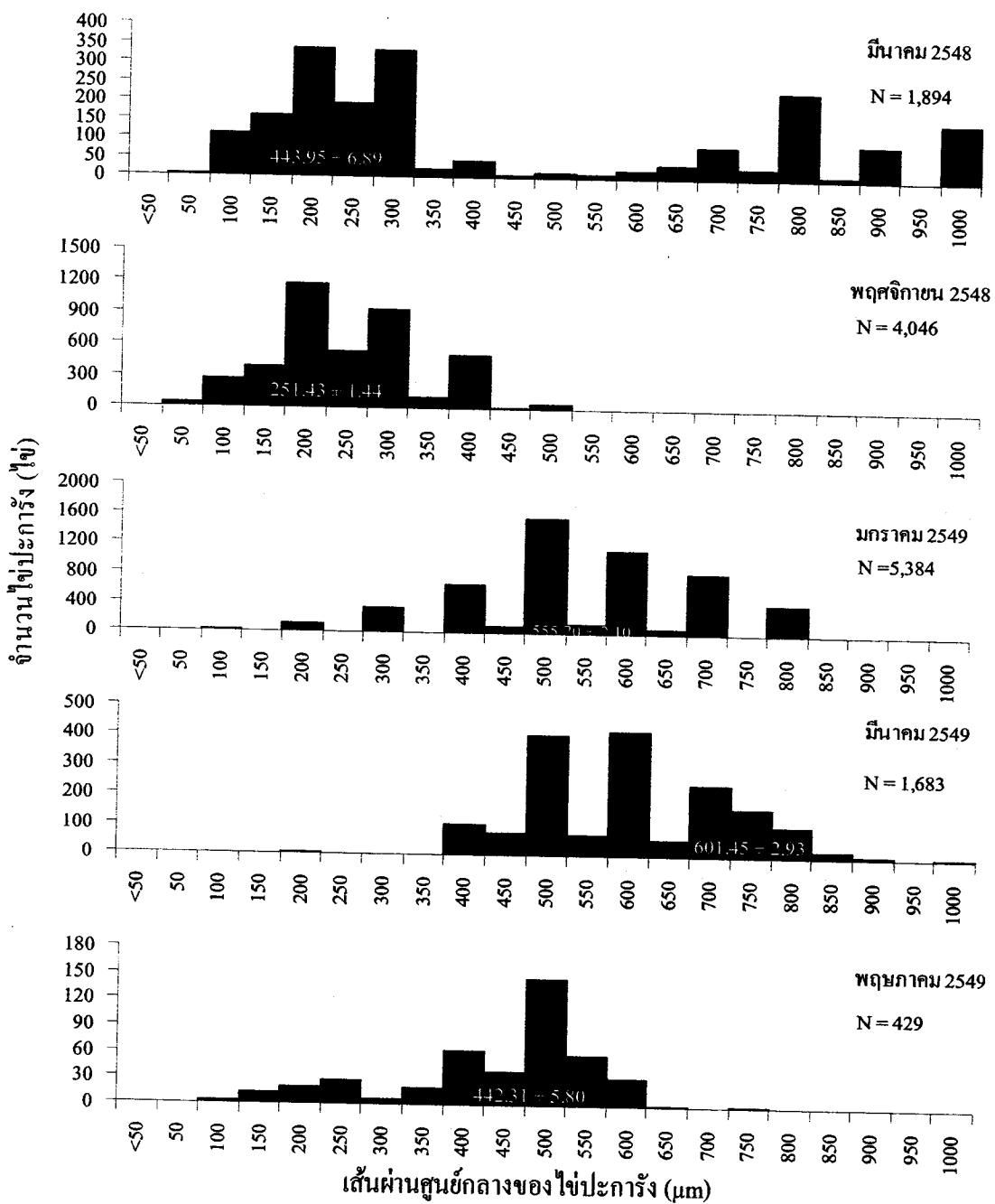
ภาพ 36 ความถี่ของเส้นผ่านศูนย์กลางของไข่ปะการัง *Acropora formosa* บริเวณอ่าวจาก
เกาะสุรินทร์เหนือ ในระหว่างช่วงเดือนมีนาคม 2548 - พฤษภาคม 2549



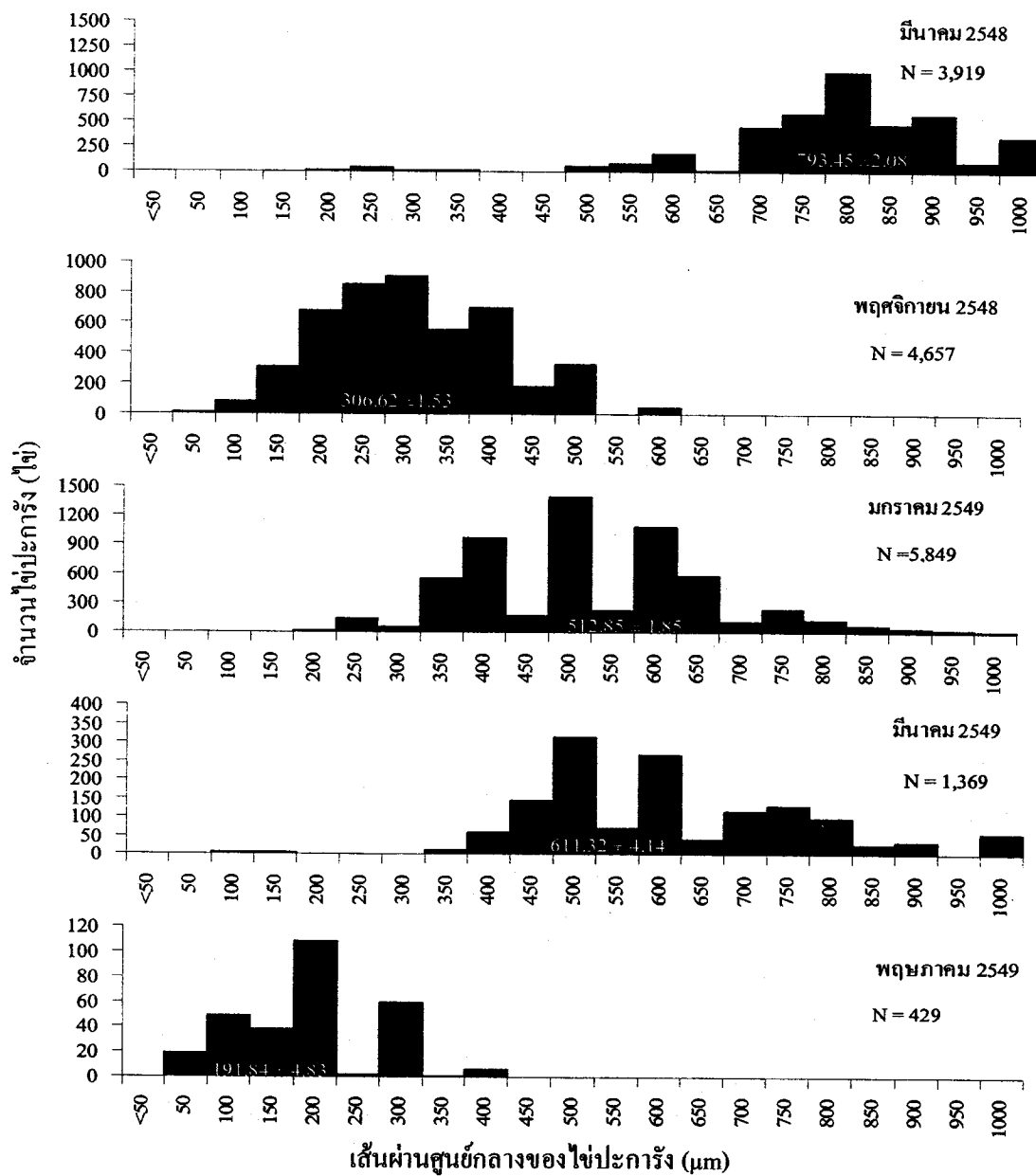
ການ 37 ດຽວໜ້າຂອງເສັ້ນຜ່ານສູນຍໍກລາງຂອງໄປ່ປະກາຮັງ *Acropora formosa* ບຣິເວນອ່າວແມ່ຍາຍ
ເກະສູນທຽບແຫຼ້ນອື ໃນຮະຫວ່າງຊ່ວງເດືອນມີນາຄມ 2548 - ພຖຸກູມຄມ 2549



ภาพ 38 ความถี่ของเส้นผ่านศูนย์กลางของไบป์การัง *Acropora formosa* บริเวณอ่าวสุเทพ
เกาะสุรินทร์ใต้ ในช่วงระหว่างเดือนมีนาคม 2548 - พฤษภาคม 2549



ภาพ 39 ความถี่ของเส้นผ่านศูนย์กลางของไช่ปะการัง *Acropora formosa* บริเวณอ่าวผักกาด
เกาะสุรินทร์ใต้ ในระหว่างช่วงเดือนมีนาคม 2548 - พฤษภาคม 2549



ภาพ 40 ความถี่ของเส้นผ่านศูนย์กลางของไข่ปะการัง *Acropora formosa* บริเวณเกาะตอรินดา ในระหว่างช่วงเดือนมีนาคม 2548 - พฤษภาคม 2549

การเปลี่ยนแปลงของปริมาณประชากรตัวอ่อนปะการัง (juvenile corals) และความหลากหลายของชนิดปะการังลงเกาะบริเวณแนวปะการัง หลังจากแนวปะการังได้รับผลกระทบจากคลื่นสึนามิ

จากการศึกษาข้อมูลการลงเกาะของตัวอ่อนปะการัง (juvenile coral) ในระหว่างเดือนมกราคม 2547 ถึงเดือนธันวาคม 2549 ด้วยวิธีวางเส้นแท็ปศึกษาลงบนพื้นในแนวปะการัง (belt intercept transects) เพื่อดังเกตและติดตามการเปลี่ยนแปลงของความหนาแน่นและความหลากหลายของตัวอ่อนปะการัง โดยการวิเคราะห์ทั้ง 3 พารามิเตอร์ ประกอบด้วย (1) การเปลี่ยนแปลงความหนาแน่นของตัวอ่อนปะการังที่ลงเกาะในแนวปะการัง (2) ขอบเขตการลงเกาะของตัวอ่อนปะการังในแนวปะการัง และ (3) การลงเกาะของตัวอ่อนปะการังบนพื้นธรรมชาติ พื้นที่แนวปะการังที่ได้ศึกษาของหมู่เกาะสุรินทร์จำนวน 9 สถานี

การเปลี่ยนแปลงความหนาแน่นของตัวอ่อนปะการังที่ลงเกาะในแนวปะการัง

การติดตามการเปลี่ยนแปลงความหนาแน่นของตัวอ่อนปะการังและความหลากหลายของชนิดตัวอ่อนปะการังที่ลงเกาะแนวปะการังตามธรรมชาติในพื้นที่หมู่เกาะสุรินทร์ทั้งหมด 20 สกุล คือ สกุล *Montipora, Acropora, Pocillopora, Stylophora, Galaxea, Pavona, Coeloseris, Pachyseris, Fungia, Pectinia, Merulina, Lobophyllia, Symphyllia, Favia, Favites, Goniastrea, Platygyra, Cyphastrea, Echinopora, Porites, Goniopora, Milleopora* และ *Heliopora* (ดูภาพ 41) ตัวอ่อนปะการัง (juvenile coral) ที่สำรวจในพื้นที่ศึกษาที่ได้รับผลกระทบจากคลื่นสึนามิมีการเปลี่ยนแปลงองค์ประกอบ ด้านความหลากหลายของชนิดและปริมาณตัวอ่อนปะการังในพื้นที่มีแนวโน้มลดลง แต่ปะการังจะเริ่มพื้นตัวกลับมาภายหลังด้วยกลไกการสืบพันธุ์ของปะการังโคลอนีตามธรรมชาติชดเชยในส่วนที่หายไป

ผลการศึกษาความหนาแน่นตัวอ่อนปะการัง (juvenile coral) ลงเกาะในบริเวณแนวปะการังของเกาะสตอร์ค อ่าวจาก อ่าวแม่ยา อ่าวไม้จาน เกาะป่าชุมนา อ่าวสุเทพ อ่าวเต่า อ่าวผักกาด และเกาะตอรินดา พบว่าความหนาแน่นตัวอ่อนในพื้นที่มีค่าเฉลี่ย

0.37 ± 0.02 , 0.52 ± 0.08 , 0.62 ± 0.16 , 0.61 ± 0.09 , 0.64 ± 0.28 , 0.30 ± 0.03 , 0.78 ± 0.08 , 0.92 ± 0.19 และ 0.23 ± 0.03 โคลoni ต่อตารางเมตร ตามลำดับ (คุณภาพ 42) ซึ่งความหนาแน่นของตัวอ่อนปะการัง (juvenile coral) ที่ลงเกาะพนในแต่ละพื้นที่ระหว่างช่วงเวลาศึกษามีปริมาณที่แตกต่างกัน (Two-way ANOVA, $P < 0.05$) (คุณภาพและอิยคในภาคพนวง ตาราง 16) โดยการสำรวจความหนาแน่นของตัวอ่อนที่ลงเกาะในเดือนมกราคม 2547 ในพื้นที่แนวปะการังเกาะสหอร์ค อ่าวจาก อ่าวแม่ยาย อ่าวไม้จาน เกาะป่าชุมนา อ่าวสุเทพ อ่าวเต่า อ่าวผักกาด และเกาะตอรินลา พบรอบตัวอ่อนปะการังลงเกาะในพื้นที่มีความหนาแน่นเฉลี่ย 0.41 ± 0.01 , 0.53 ± 0.02 , 1.20 ± 0.04 , 0.86 ± 0.02 , 1.18 ± 0.05 , 0.33 ± 0.01 , 0.96 ± 0.03 , 0.87 ± 0.02 , 0.28 ± 0.01 โคลoni ต่อตารางเมตร ตามลำดับ ซึ่งมีความหนาแน่นของปะการังลงเกาะในแต่ละพื้นที่สูงกว่าช่วงเวลาอื่น ๆ ภายหลังจากที่ได้รับผลกระทบจากคลื่นสึนามิ มีรายละเอียดของความหนาแน่นตัวอ่อนปะการังในแต่ละพื้นที่ มีดังนี้

เกาะสหอร์ค พบรอบตัวอ่อนปะการังลงเกาะในเดือนมกราคม 2548, กรกฎาคม 2548 และมีนาคม 2549 มีค่าเฉลี่ย 0.36 ± 0.01 , 0.34 ± 0.03 และ 0.42 ± 0.01 โคลoni ต่อตารางเมตร ตามลำดับ ตัวอ่อนปะการังชนิดเด่น ๆ ในพื้นที่ ได้แก่ *Acropora spp.*, *Pocillopora spp.*, *Fungia spp.* และ *Porites spp.* เป็นต้น (คุณภาพ 43) ซึ่งหลังจากการเกิดคลื่นสึนามิทำให้ชนิดปะการังในพื้นที่มีปริมาณลดลงในระยะแรกที่ได้รับผลกระทบ ได้แก่ *Montipora spp.* และ *Acropora spp.* เป็นต้น

อ่าวจาก (เกาะสุรินทร์เหนือ) พบรอบตัวอ่อนปะการังลงเกาะในเดือนมกราคม 2548, กรกฎาคม 2548 และมีนาคม 2549 มีค่าเฉลี่ย 0.30 ± 0.02 , 0.57 ± 0.02 และ 0.66 ± 0.02 โคลoni ต่อตารางเมตร ตามลำดับ ส่วนใหญ่ชนิดตัวอ่อนปะการังที่ลงเกาะในพื้นที่ธรรมชาติ ได้แก่ *Acropora spp.* และ *Fungia spp.* เป็นต้น อย่างไรก็ตาม หลังจากการเกิดคลื่นสึนามิทำให้ชนิดปะการังในพื้นที่มีปริมาณลดลงในระยะแรกที่ได้รับผลกระทบ โดยเฉพาะปะการังกลุ่ม *Favia spp.*, *Pocillopora spp.*, *Fungia spp.* และ *Favites spp.* เป็นต้น (คุณภาพ 44)

อ่าวแม่ยาย (เกาะสุรินทร์เหนือ) พบรอบตัวอ่อนปะการังลงเกาะในเดือนมกราคม 2548, กรกฎาคม 2548, มีนาคม 2549 และธันวาคม 2549 มีค่าเฉลี่ย 0.30 ± 0.01 , 0.41 ± 0.02 , 0.59 ± 0.02 และ 0.62 ± 0.02 โคลoni ต่อตารางเมตร ตามลำดับ

ตัวอ่อนปะการังส่วนใหญ่ที่พบมาก ได้แก่ *Porites spp.* และ *Fungia spp.* และ *Acropora spp.* เป็นต้น อย่างไรก็ตามหลังจากเกิดคลื่นสึนามิทำให้ชนิดปะการังในพื้นที่มีปริมาณลดลงในระยะแรกที่ได้รับผลกระทบ ได้แก่ ปะการังกลุ่ม *Montipora spp.*, *Pectinia spp.*, *Fungia spp.* และ *Goniopora spp.* เป็นต้น (ดูภาพ 45)

อ่าวไม่งาม (เกาะสุรินทร์เหนือ) พบร่วมกันในเดือนมกราคม 2548, กรกฎาคม 2548 และมีนาคม 2549 มีความหนาแน่น 0.45 ± 0.02 , 0.40 ± 0.04 และ 0.68 ± 0.02 โโคโลนีต่อตารางเมตร ตามลำดับ ตัวอ่อนปะการังชนิดเด่น ๆ ที่ลงเกาะในพื้นธรรมชาติ ได้แก่ *Acropora spp.*, *Porites spp.* และ *Montipora spp.* เป็นต้น โดยหลังจากเกิดคลื่นสึนามิปะการังในบางชนิดในพื้นที่มีปริมาณลดลง ได้แก่ ปะการังกลุ่ม *Acropora spp.*, *Pocillopora spp.*, *Fungia spp.* และ *Favites spp.* เป็นต้น (ดูภาพ 46)

เกาะป่าชุมบาก พบร่วมกันในเดือนมกราคม 2548, กรกฎาคม 2548 และมีนาคม 2549 พบร่วมกันในพื้นที่ศึกษา เดือนมกราคม 2548, กรกฎาคม 2548 และมีนาคม 2549 พรบความหนาแน่นเฉลี่ย 0.29 ± 0.01 , 0.32 ± 0.01 และ 0.44 ± 0.02 โโคโลนีต่อตารางเมตร ตามลำดับ ตัวอ่อนปะการัง ชนิดเด่น ๆ ลงเกาะในพื้นธรรมชาติ ได้แก่ *Acropora spp.*, *Pocillopora spp.* และ *Fungia spp.* โดยหลังจากเกิดคลื่นสึนามิทำให้ชนิดปะการังในพื้นที่มีปริมาณลดลงในระยะแรกที่ได้รับผลกระทบ อาทิเช่น *Montipora spp.*, *Acropora spp.*, *Fungia spp.* และ *Favia spp.* เป็นต้น (ดูภาพ 47)

อ่าวสุเทพ (เกาะสุรินทร์ใต้) พบร่วมกันในเดือนมกราคม 2548, กรกฎาคม 2548 และมีนาคม 2549 มีความหนาแน่นเฉลี่ย 0.24 ± 0.09 , 0.25 ± 0.01 และ 0.36 ± 0.02 โโคโลนีต่อตารางเมตร ตามลำดับ ตัวอ่อนปะการังชนิดเด่น ๆ ลงเกาะในพื้นธรรมชาติ ได้แก่ *Acropora spp.*, *Pocillopora spp.* และ *Fungia spp.* เป็นต้น โดยหลังจากเกิดคลื่นสึนามิทำให้ชนิดปะการังในพื้นที่มีปริมาณลดลงในระยะแรกที่ได้รับผลกระทบ อาทิเช่น *Acropora spp.*, *Pocillopora spp.*, *Pavona spp.* และ *Galaxea spp.* เป็นต้น (ดูภาพ 48)

อ่าวเต่า (เกาะสุรินทร์ใต้) พบร่วมกันในเดือนมกราคม 2548, กรกฎาคม 2548 และมีนาคม 2549 มีความหนาแน่นเฉลี่ย 0.63 ± 0.03 , 0.67 ± 0.03 และ 0.86 ± 0.03 โโคโลนีต่อตารางเมตร

ตามลำดับ โดยตัวอ่อนปะการังที่พบมากในพื้นธรรมชาติ ได้แก่ *Acropora spp.*, *Porites spp.* และ *Fungia spp.* เป็นต้น ภายหลังจากเกิดเหตุการณ์คลื่นสึนามิความหนาแน่นของชนิดตัวอ่อนมีจำนวนลดลง เช่น *Acropora spp.*, *Fungia spp.*, *Favia spp.* และ *Favia spp.* เป็นต้น (ดูภาพ 49)

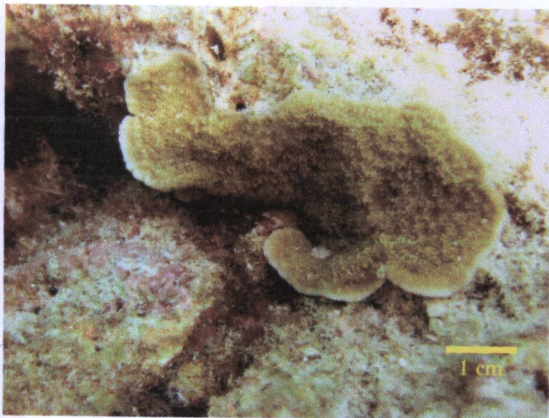
อาจารย์กาก (ケーアรูนทร์ไใต้) พบว่าความหนาแน่นของตัวอ่อนปะการังลงเกาะในเดือนมกราคม 2548, กรกฎาคม 2548, มีนาคม 2549 และธันวาคม 2549 มีความหนาแน่นเฉลี่ย 0.42 ± 0.02 , 0.44 ± 0.06 , 1.23 ± 0.11 และ 1.18 ± 0.08 โโคโลนีต่อตารางเมตร ตามลำดับ ส่วนใหญ่พบชนิดตัวอ่อนปะการังชนิดเด่น ๆ ลงเกาะในพื้นธรรมชาติ ได้แก่ *Acropora spp.*, *Porites spp.* และ *Pocillopora spp.* เป็นต้น โดยหลังจากเกิดคลื่นสึนามิทำให้ชนิดปะการังในพื้นที่มีปริมาณลดลงในระยะแรกที่ได้รับผลกระทบ ได้แก่ *Montipora spp.*, *Acropora spp.*, *Pocillopora spp.* และ *Fungia spp.* เป็นต้น (ดูภาพ 50)

ケーアรูนลา พบความหนาแน่นของตัวอ่อนปะการังลงเกาะในเดือนมกราคม 2548, กรกฎาคม 2548 และมีนาคม 2549 มีความหนาแน่นตัวอ่อนปะการังเฉลี่ย 0.18 ± 0.02 , 0.20 ± 0.03 และ 0.23 ± 0.02 โโคโลนีต่อตารางเมตร ตามลำดับ โดยส่วนใหญ่มีตัวอ่อนปะการังชนิดเด่น ๆ ลงเกาะในพื้นธรรมชาติ ได้แก่ *Acropora spp.* และ *Porites spp.* เป็นต้น โดยหลังจากเกิดคลื่นสึนามิทำให้ชนิดปะการังในพื้นที่มีปริมาณลดลงในระยะแรกที่ได้รับผลกระทบ ได้แก่ *Montipora spp.*, *Acropora spp.* และ *Fungia spp.* เป็นต้น (ดูภาพ 51)

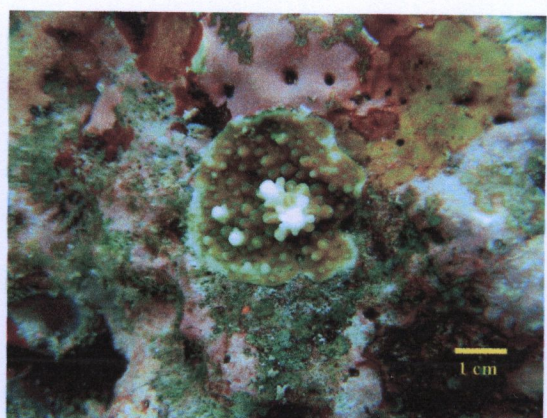
จากข้อมูลที่กล่าวในข้างต้นความหนาแน่นของตัวอ่อนปะการังที่ลงเกาะบนแนวปะการังแต่ละพื้นที่ได้รับความเสียหายจากคลื่นสึนามิ ความหนาแน่นของตัวอ่อนปะการังที่ลงเกาะในแต่ละพื้นที่ศึกษาระหว่างช่วงก่อนและหลังเกิดคลื่นสึนามิตั้งแต่เดือนมกราคม 2547 - ธันวาคม 2550 ปริมาณความหนาแน่นของตัวอ่อนลงเกาะ (juvenile coral) ไม่มีความแตกต่างกันในทางสถิติ (Two-way ANOVA, $P > 0.05$) (คุณลักษณะเดียวกันภาพหน้า ตาราง 17) เนื่องจากความหนาแน่นของตัวอ่อนปะการังลงเกาะแต่ละพื้นที่มีค่าที่ใกล้เคียงกัน

ขอบเขตการลงเกาะของตัวอ่อนปะการังในแนวปะการัง

ปะการังโดยทั่วไปจำแนกได้ 2 กลุ่ม คือ กลุ่มปะการังที่ปล่อยเซลล์สีบพันธุ์ (broadcasting species) และปะการังกลุ่มที่ออกเป็นตัว (brooding species) ในการติดตาม ตัวอ่อนปะการังที่แพร่กระจายการลงเกาะในพื้นที่แนวปะการังภาคตะวันออก อ่าวจาก อ่าวแม่ยาย อ่าวไม้งาม เกาะป่าชุมนา อ่าวสุเทพ อ่าวเต่า อ่าวผักกาด และเกาะตอรินดา พบร่วม การลงเกาะในธรรมชาติของตัวอ่อนปะการังกลุ่ม Broadcasting species มีความหนาแน่น เฉลี่ย 0.31 ± 0.02 , 0.45 ± 0.06 , 0.61 ± 0.01 , 0.54 ± 0.09 , 0.47 ± 0.20 , 0.26 ± 0.02 , 0.71 ± 0.07 , 0.69 ± 0.17 และ 0.19 ± 0.02 ตามลำดับ และตัวอ่อนปะการังกลุ่ม Brooding species มีความหนาแน่นเฉลี่ย 0.06 ± 0.01 , 0.06 ± 0.02 , 0.07 ± 0.02 , 0.07 ± 0.01 , 0.08 ± 0.02 , 0.03 ± 0.01 , 0.07 ± 0.01 , 0.13 ± 0.03 และ 0.04 ± 0.01 ตามลำดับ ตัวอ่อนปะการัง (juvenile coral) ที่ลงเกาะในธรรมชาติส่วนใหญ่เป็นปะการังในกลุ่ม Broadcasting species มีการแพร่กระจายมากกว่าตัวอ่อนปะการังกลุ่ม Brooding species ในทุกช่วงเวลาที่ศึกษา (Two-way ANOVA, $P < 0.05$) (คุณภาพ 52) และความหนาแน่นของตัวอ่อนปะการังระหว่าง 2 กลุ่มนี้มีความแตกต่างอย่างมีนัยสำคัญ (Two-way ANOVA, $P < 0.05$) แต่ขอบเขตการลงเกาะของตัวอ่อนปะการังทั้งสองกลุ่มของแต่ละพื้นที่ไม่มีความแตกต่างกัน (Two-way ANOVA, $P > 0.05$) (คุณภาพ 18 และ 19)



ก ปะการังเกลี้ด้น้ำแข็ง (*Montipora* sp.)



ข ปะการังเขากวาง (*Acropora* sp.)



ค ปะการังคอกกระหลั่ม (*Pocillopora* sp.)



ง ปะการังเกลี้ดควำ (Stylophora pistillata)



จ ปะการังหนวดดอกไม้ทะเล (*Euphyllia* sp.)

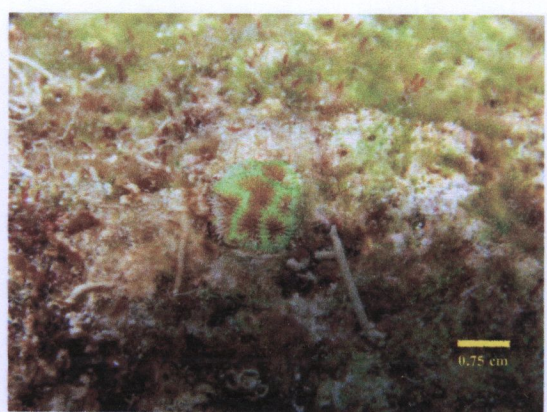


ฉ ปะการังลายดอกไม้ (*Pavona* sp.)

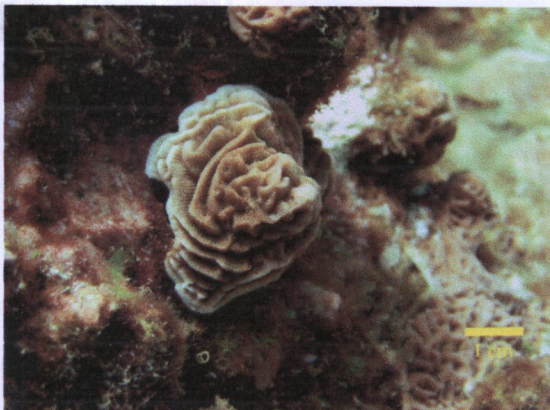
ภาพ 41 ชนิดของตัวอ่อนปะการังในพื้นที่อุทยานแห่งชาติหมู่เกาะสุรินทร์



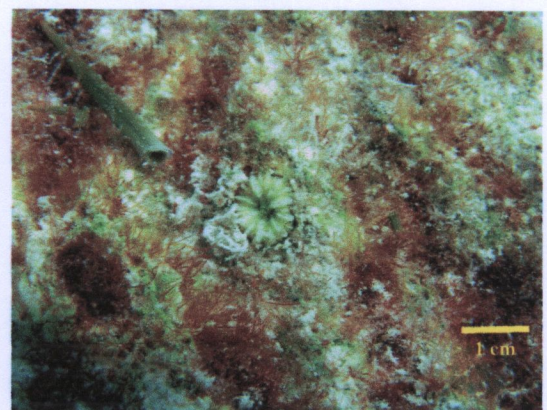
๗ ประการังช่องหินอ่อน (*Gardineroseris* sp.)



๘ ประการังรังผึ้ง (*Coeloseris mayeri*)



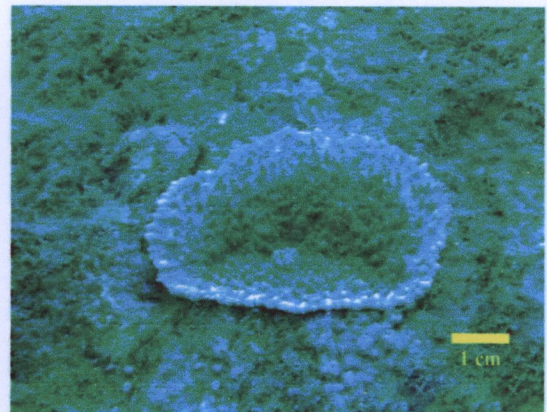
๙ ประการังลายถุงฟูก (*Pachyseris* sp.)



๑๐ ประการังดอกเห็ด (*Fungia* sp.)



๑๑ ประการัง (*Lithophyllum* sp.)

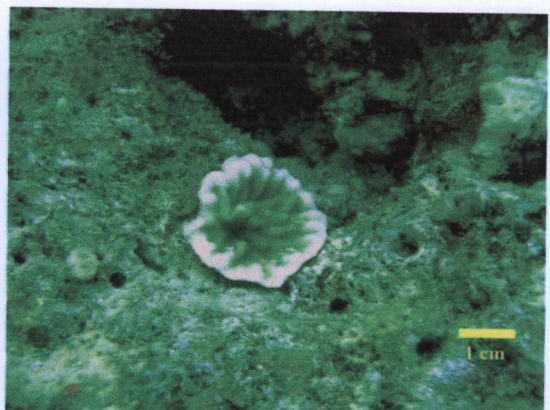


๑๒ ประการังใบหนาม (*Oxypora* sp.)

ภาพ 41 ชนิดของตัวอ่อนประการังในพื้นที่อุทยานแห่งชาติหมู่เกาะสุรินทร์ (ต่อ)



ข ประการังแผ่นแปلوไฟ (*Pectinia* sp.)



ข ประการังใบร่องหนาม (*Merulina* sp.)



ข ประการังถ้วยสีส้ม (*Tubastrea coccinea*)



ข ประการังถ้วยสมอง (*Lobophyllia* sp.)



ค ประการังวงแหวน (*Favia* sp.)



ต ประการังช่องเหลี่ยม (*Favites* sp.)

ภาพ 41 ชนิดของตัวอ่อนประการังในพื้นที่อุทยานแห่งชาติหมู่เกาะสุรินทร์ (ต่อ)



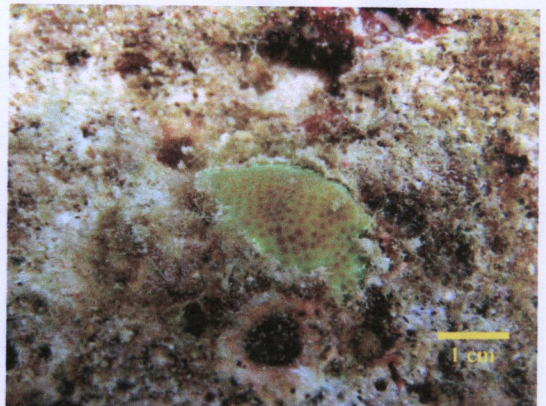
ฉ ปะการังรังผึ้ง (*Goniastrea* sp.)



ท ปะการังดาวเล็ก (*Cyphastrea* sp.)



ช ปะการังห้องหนาม (*Echinopora* sp.)



น ปะการังโขด (*Porites* sp.)

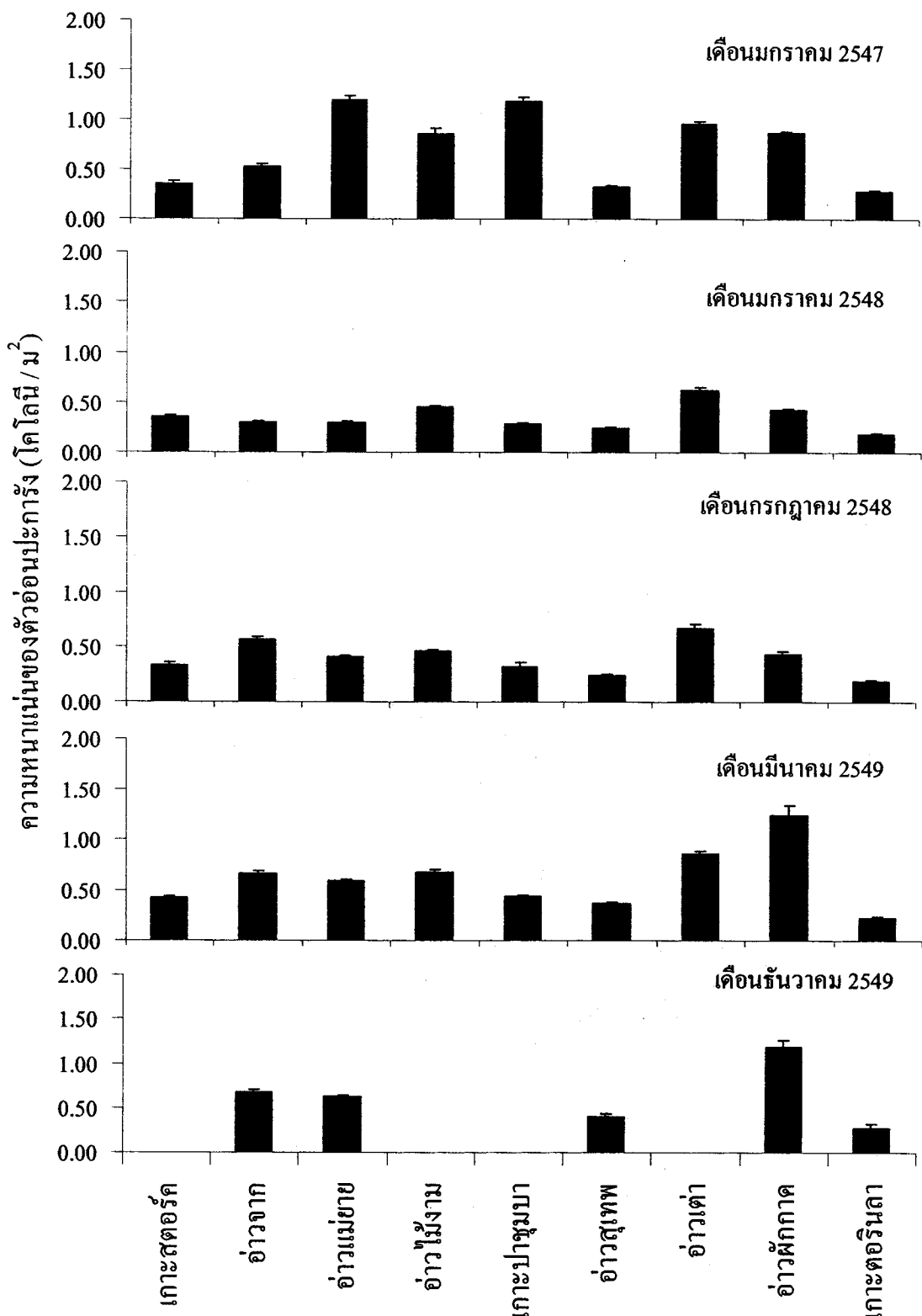


บ ปะการังผิวหยาบ (*Porites rus*)

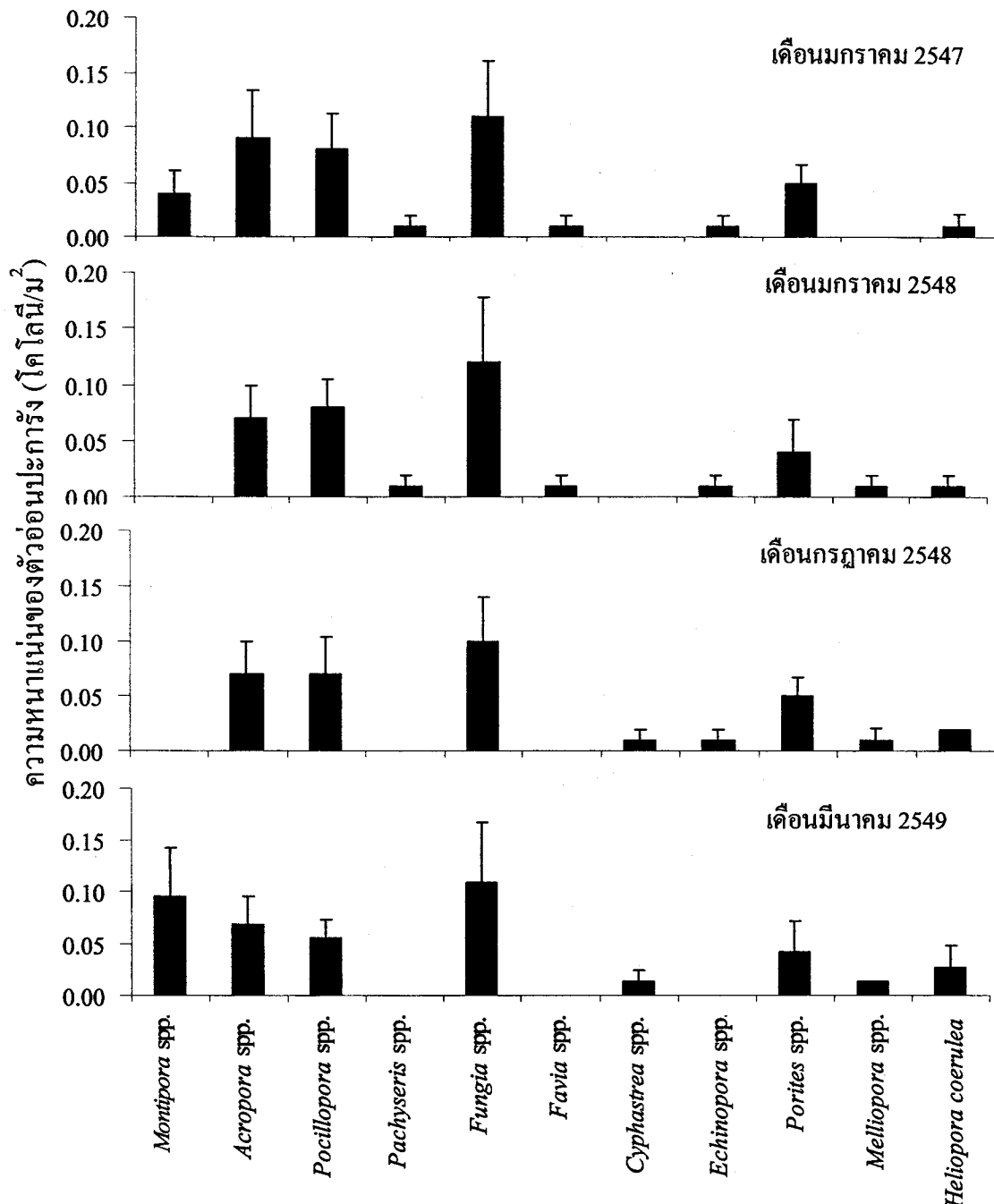


ป ปะการังนิ่วมีผิวเรียบ (*Porites cylindrica*)

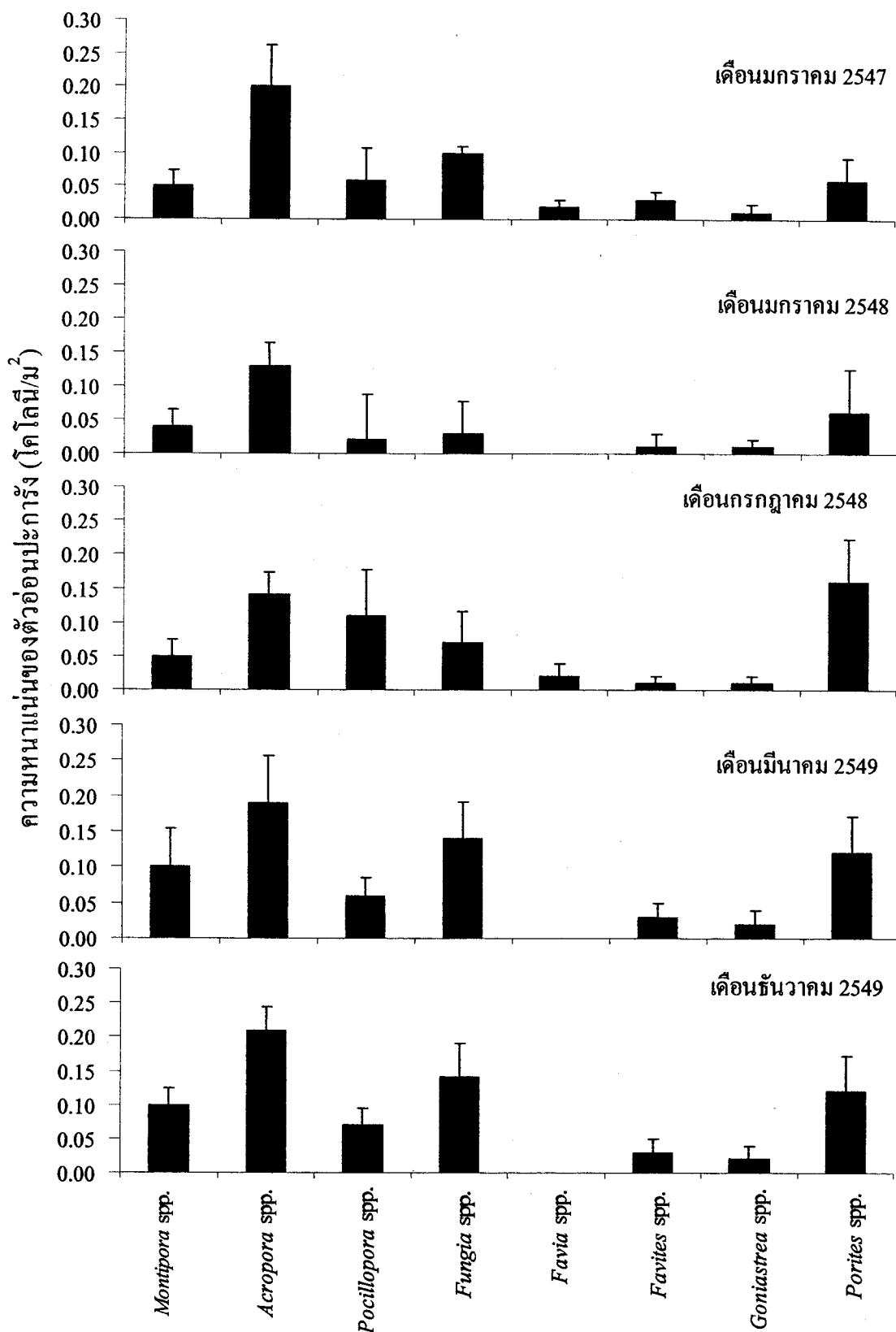
ภาพ 41 ชนิดของตัวอ่อนปะการังในพื้นที่อุทยานแห่งชาติหมู่เกาะสุรินทร์ (ต่อ)



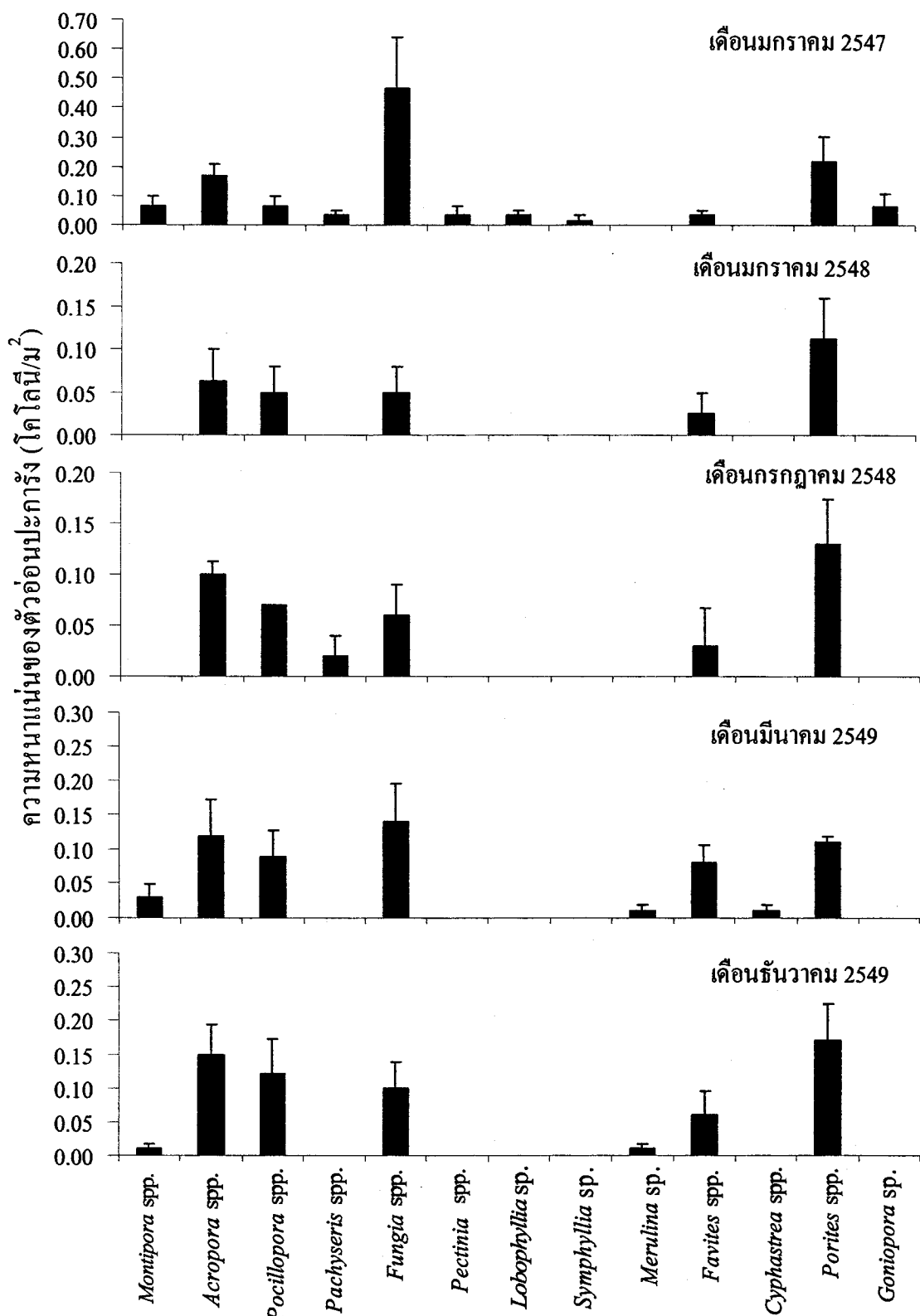
ภาพ 42 ความหนาแน่นตัวอ่อนปะการังที่ลงเกาะบนพื้นที่แนวปะการังของหมู่เกาะสุรินทร์ (สำหรับในเดือนธันวาคม 2550 ได้ทำการสำรวจเพียง 5 พื้นที่)



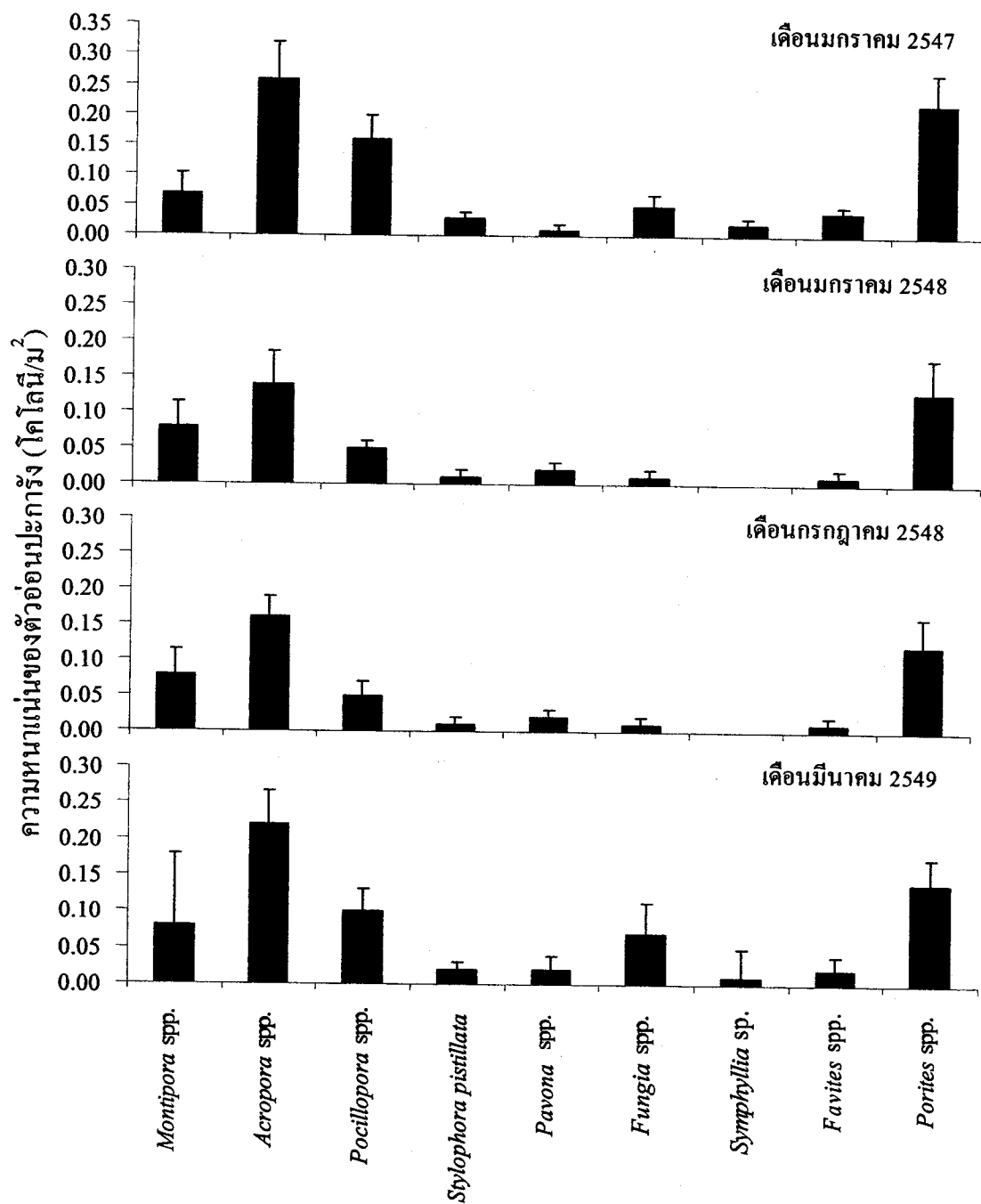
ภาพ 43 ความหนาแน่นของชนิดตัวอ่อนปะการัง บริเวณเกาะสตอร์ค



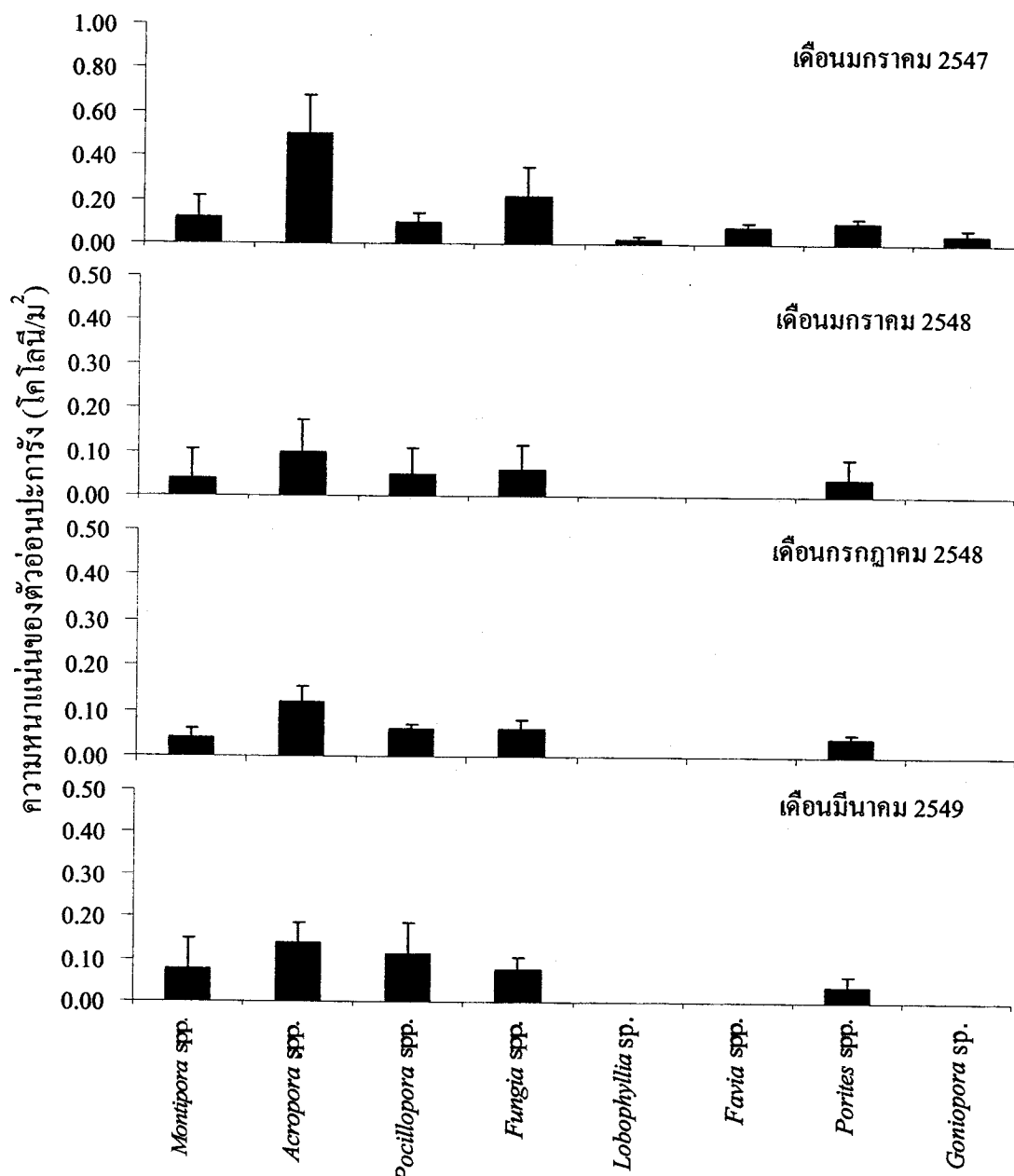
ภาพ 44 ความหนาแน่นของชนิดตัวอ่อนปะการัง บริเวณอ่าวจาก เกาะสุรินทร์เหนือ



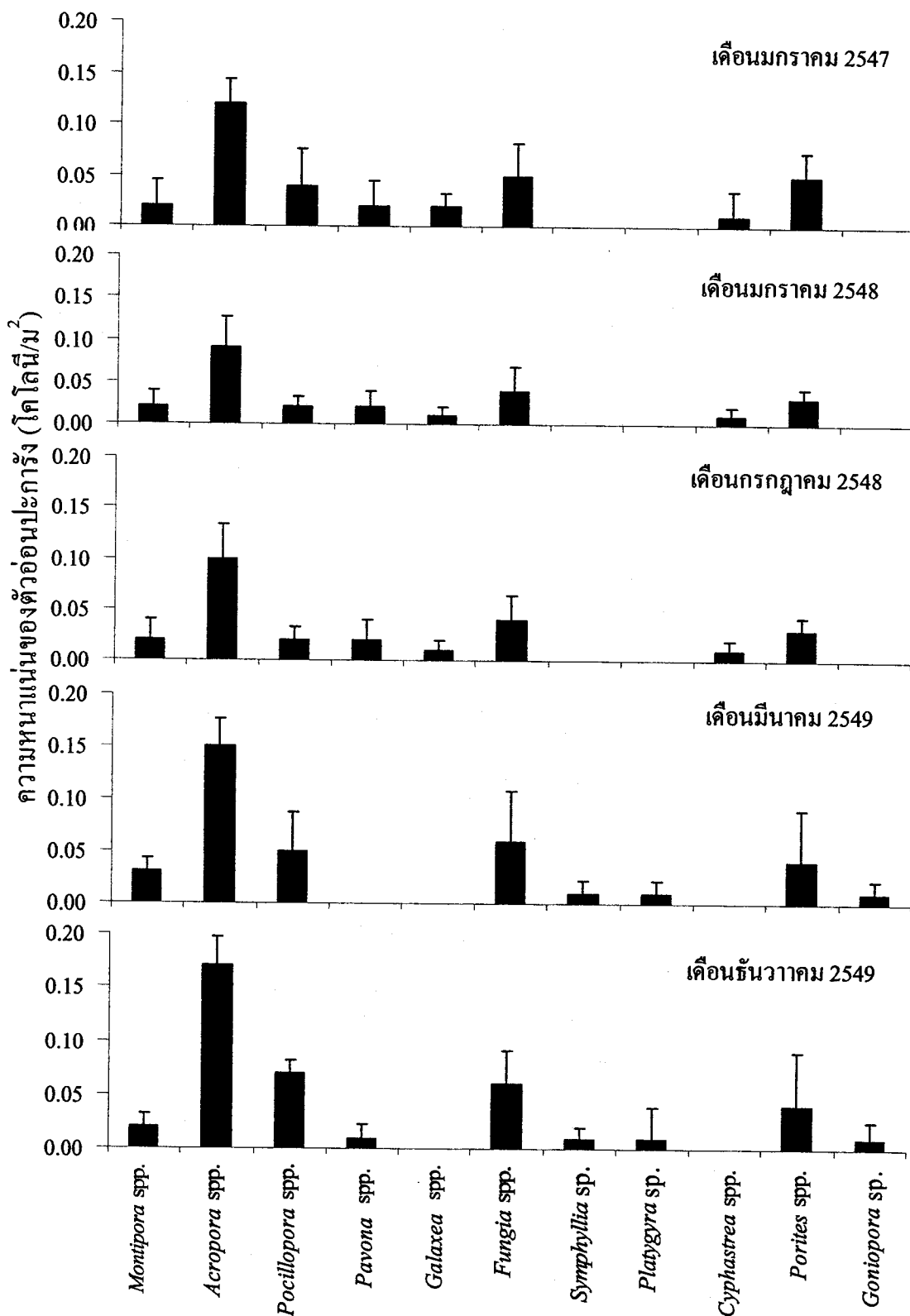
ภาพ 45 ความหนาแน่นของชนิดตัวอ่อนปะการัง บริเวณอ่าวแม่ยาย เกาะสุรินทร์เหนือ



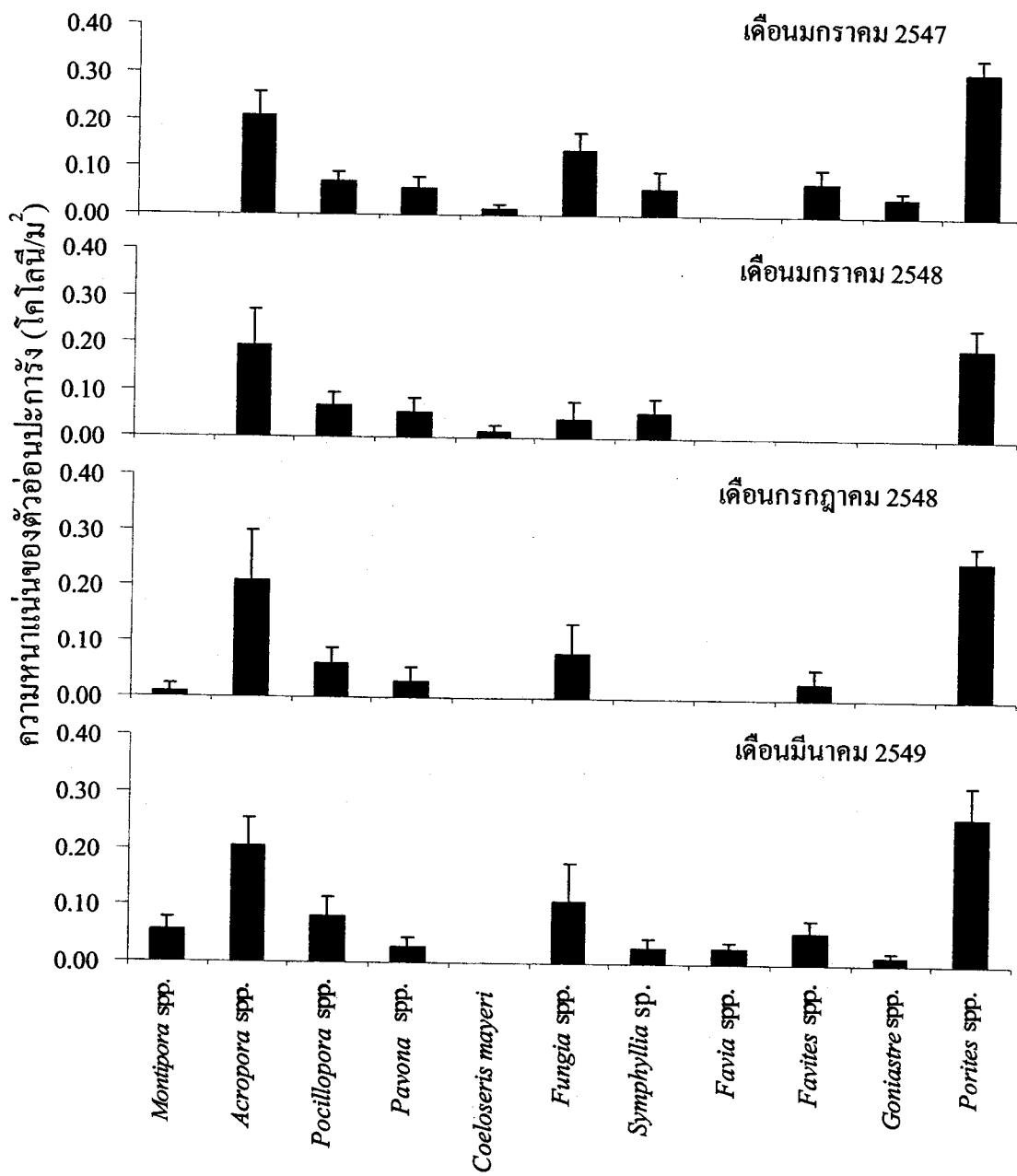
ภาพ 46 ความหนาแน่นของชนิดตัวอ่อนปะการัง บริเวณอ่าวไม้จาม เกาะสุรินทร์เหนือ



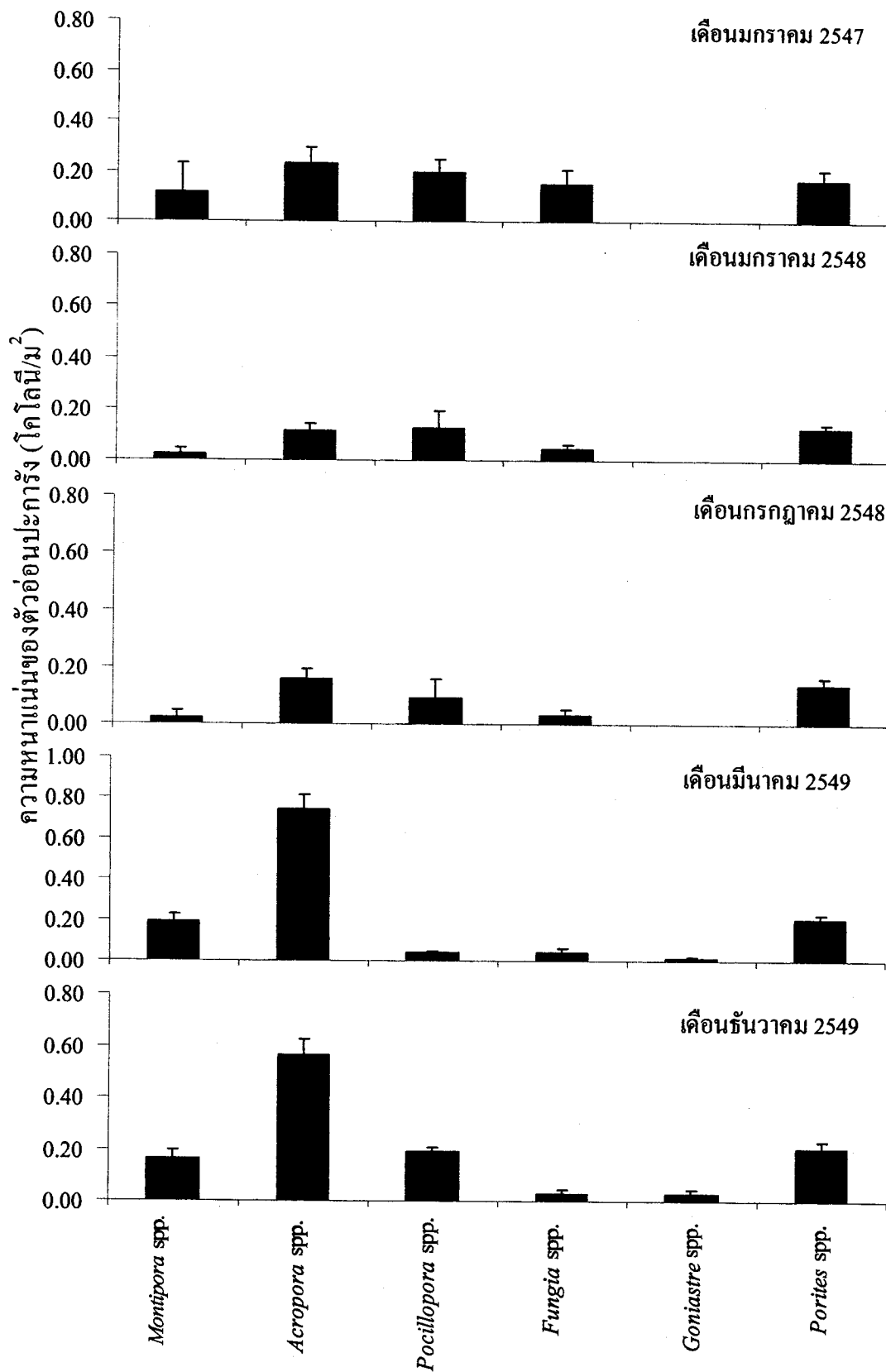
ภาพ 47 ความหนาแน่นของชนิดตัวอ่อนปะการัง บริเวณเกาะป่าชุมบาก



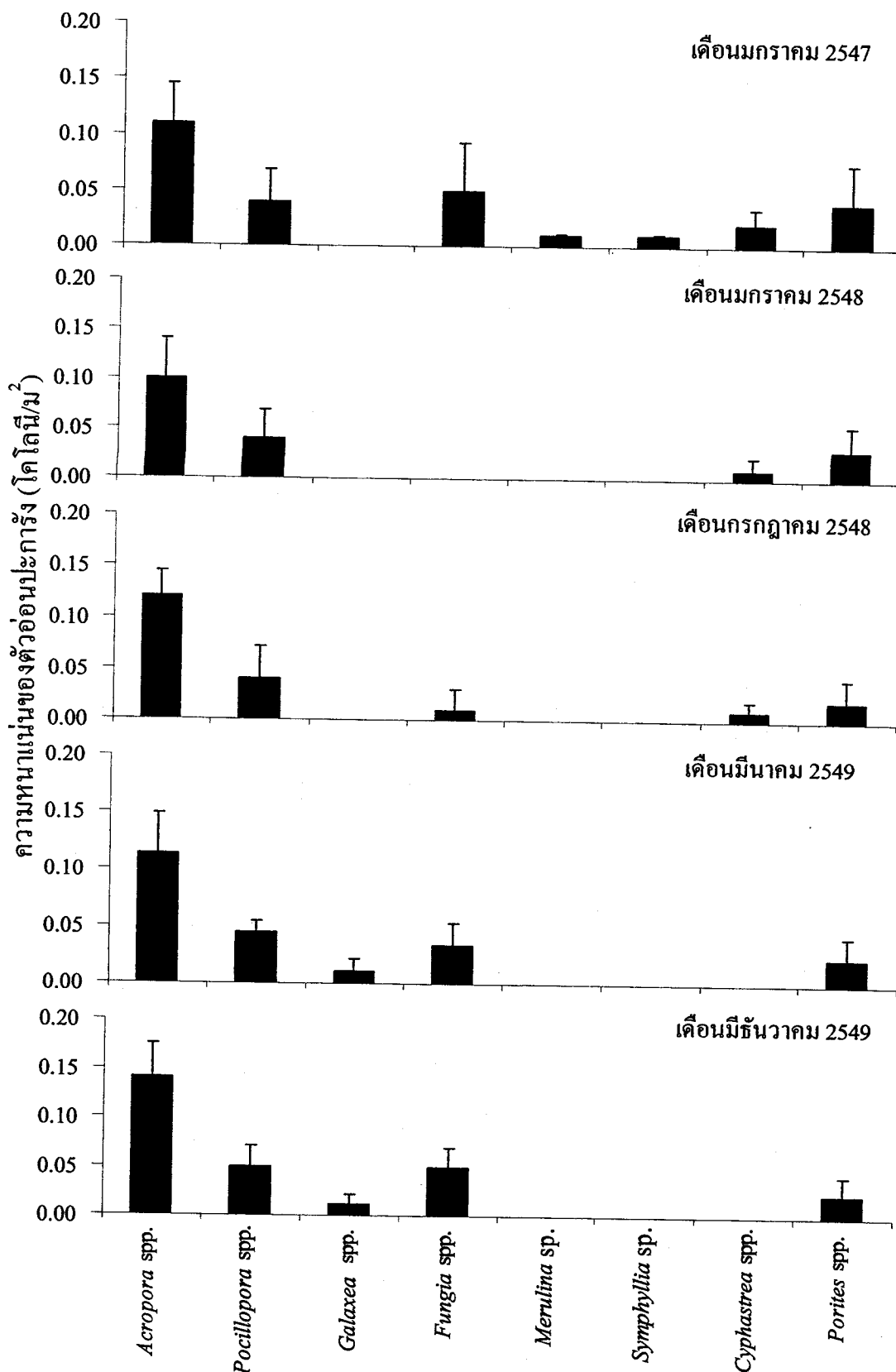
ภาพ 48 ความหนาแน่นของชนิดตัวอ่อนปะการัง บริเวณอ่าวสุเทพ เกาะสุรินทร์ใต้



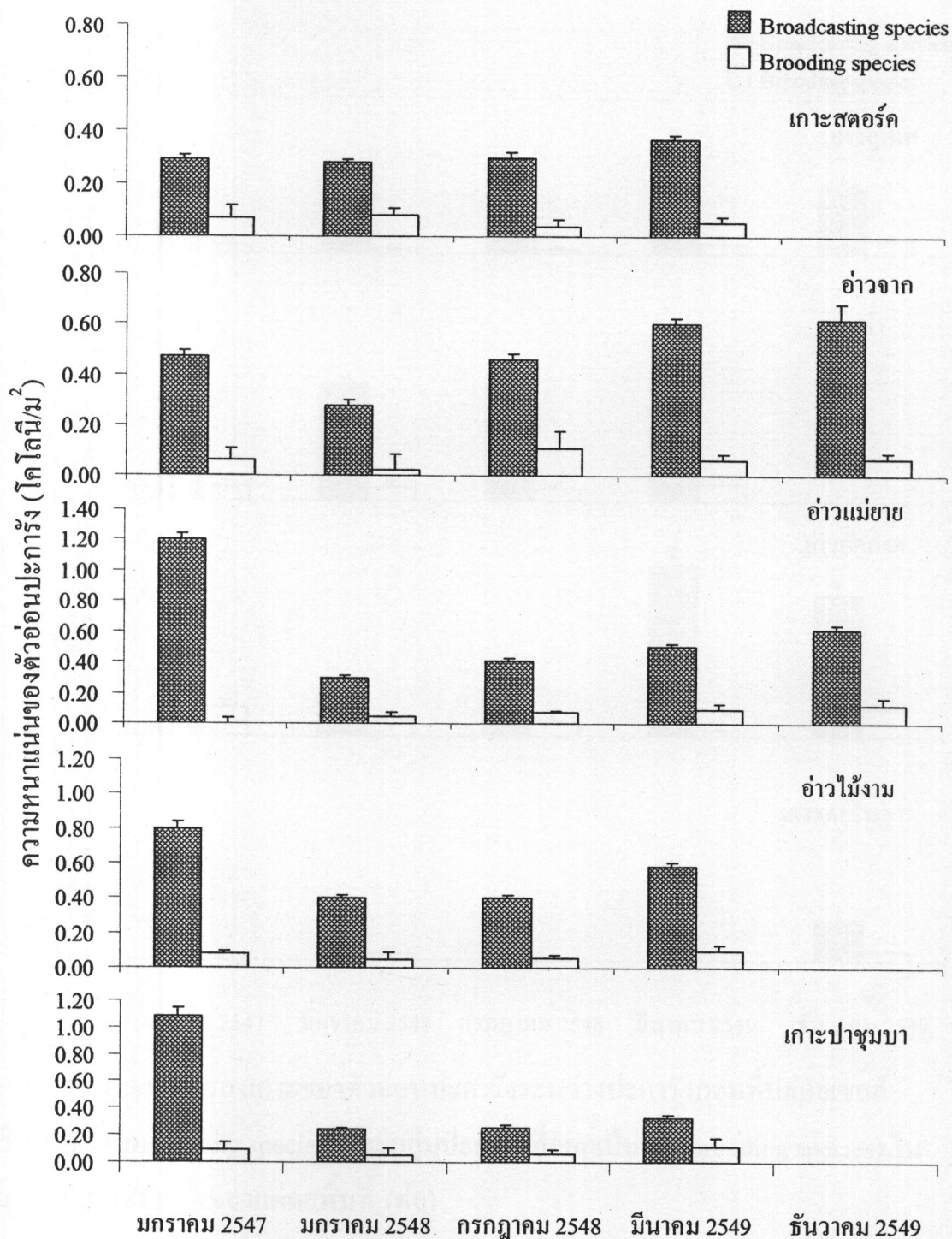
ภาพ 49 ความหนาแน่นของชนิดตัวอ่อนปะการัง บริเวณอ่าวเต่า เกาะสุรินทร์ใต้



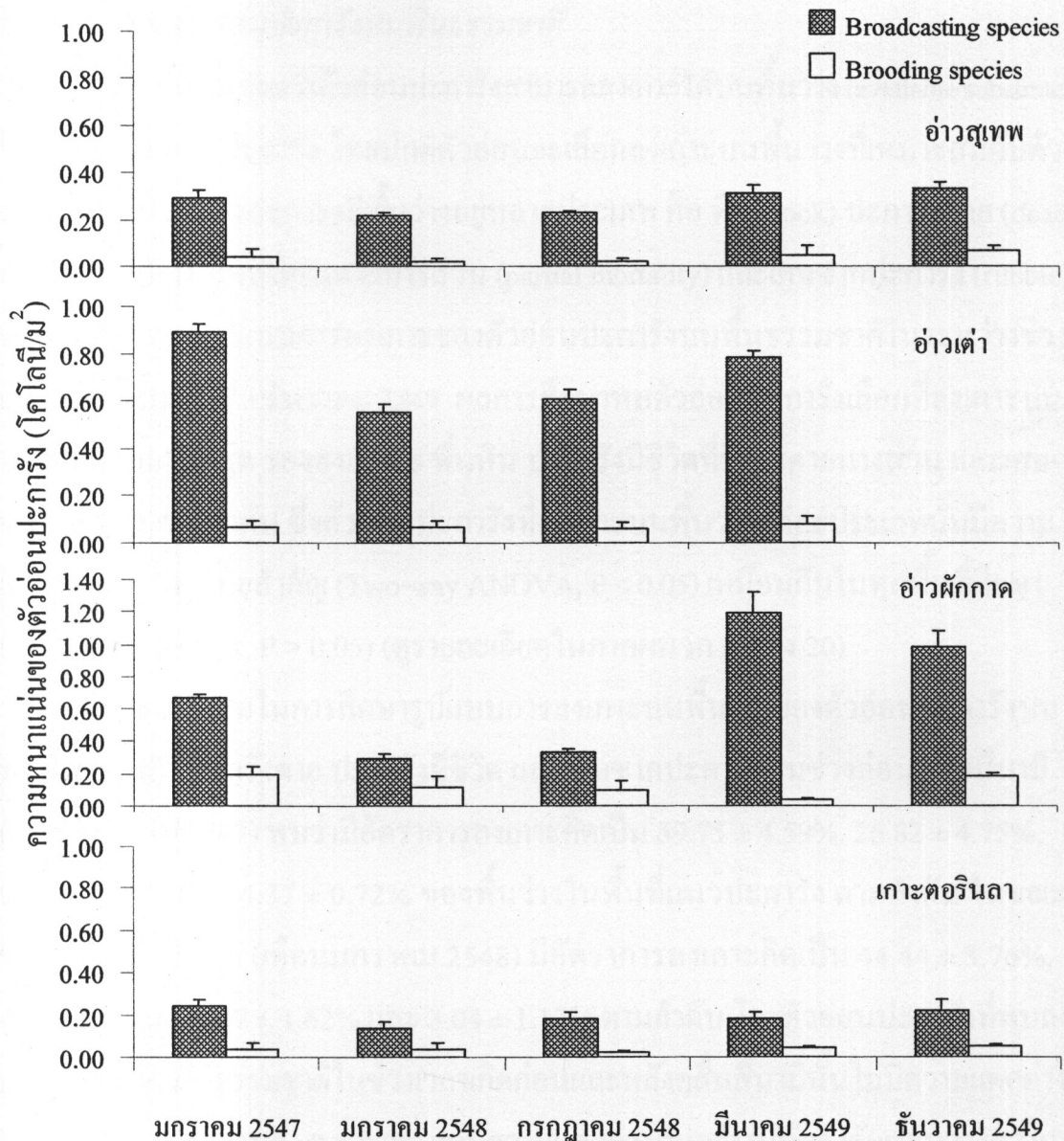
ภาพ 50 ความหนาแน่นของชนิดตัวอ่อนปะการัง บริเวณอ่าวผ้ากากاد เกาะสุรินทร์ใต้



ภาพ 51 ความหนาแน่นของชนิดตัวอ่อนปะการัง บริเวณเกาะตอรินดา



ภาพ 52 ขอบเขตการลงเกาของตัวอ่อนปะการังระหว่างปะการังกลุ่มที่ปล่อยเซลล์-สีบพันธุ์ (broadcasting species) และกลุ่มปะการังที่ออกเป็นตัว (brooding species) ในบริเวณแนวปะการังของแต่ละพื้นที่

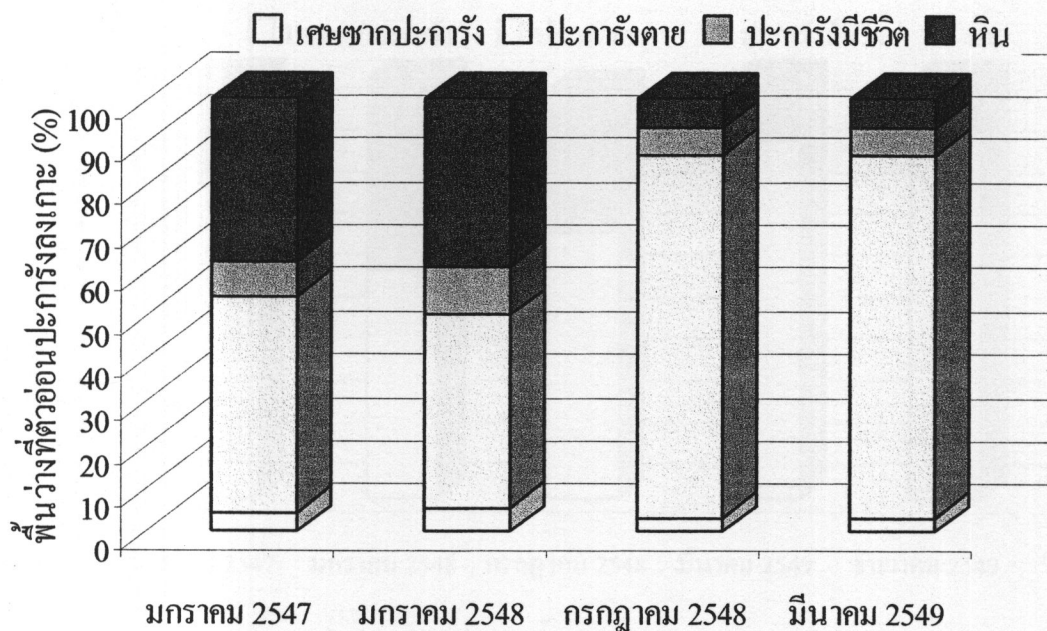


ภาพ 52 ขอบเขตการลงเกาะของตัวอ่อนปะการังระหว่างปะการังกลุ่มที่ปล่อยเซลล์สีบพันธุ์ (broadcasting species) และกลุ่มปะการังที่ออกเป็นตัว (brooding species) ในบริเวณแนวปะการังของแต่ละพื้นที่ (ต่อ)

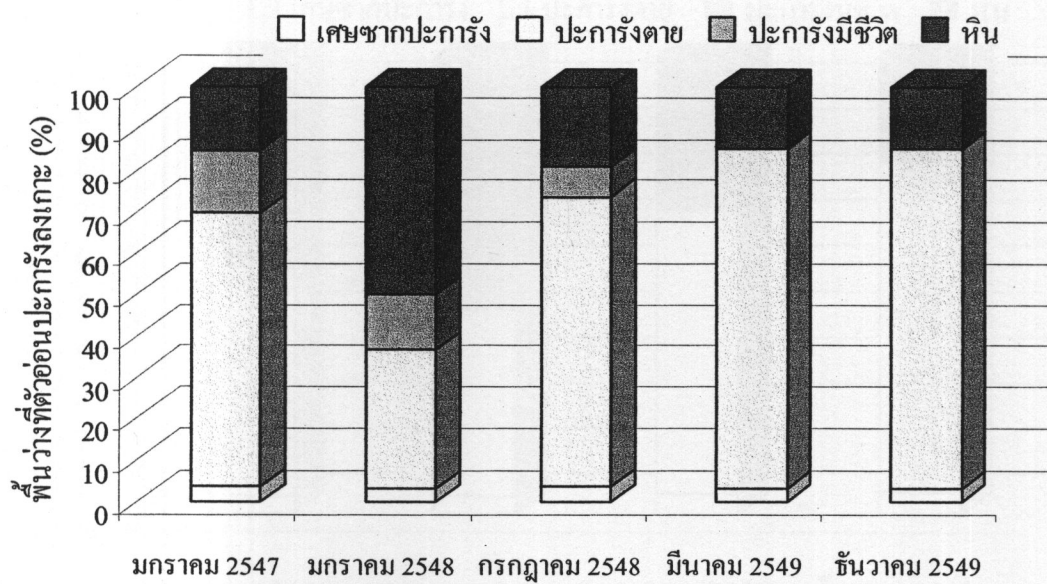
การลงทะเบของตัวอ่อนปะการังบนพื้นธรรมชาติ

จากการศึกษาพบว่าตัวอ่อนปะการังสามารถคงเกาะได้บนพื้นว่าง (available substrate) ได้ทุกชนิดในแนวปะการัง โดยปกติตัวอ่อนจะเลือกลงเกาะบนพื้นว่างที่เหมาะสมกับตัว ปะการังเท่านั้น แนวปะการังมีพื้นว่างอยู่หลายประเภท คือ หิน (rock) ปะการังตาย (dead coral) ปะการังมีชีวิตที่มีการตายบางส่วน (partial mortality) และเศษชากปะการัง (rubble) จากผลการศึกษารูปแบบการลงทะเบของตัวอ่อนปะการังบนพื้นธรรมชาติในระหว่างช่วง เดือนมกราคม 2547 - ธันวาคม 2549 ผลการศึกษาพบตัวอ่อนปะการังเลือกที่ลงเกาะบน ปะการังตายมากที่สุด รองลงมา คือ พื้นหิน ปะการังมีชีวิตที่มีการตายบางส่วน และเศษ- ชากปะการัง ตามลำดับ ซึ่งตัวอ่อนปะการังที่ลงเกาะบนพื้นว่างแต่ละประเภทนั้นมีความ แตกต่างกันอย่างมีนัยสำคัญ (Two-way ANOVA, $P < 0.05$) เมื่อเทียบกันในทุกพื้นที่ศึกษา (Two-way ANOVA, $P > 0.05$) (ดูรายละเอียดในภาคผนวก ตาราง 20)

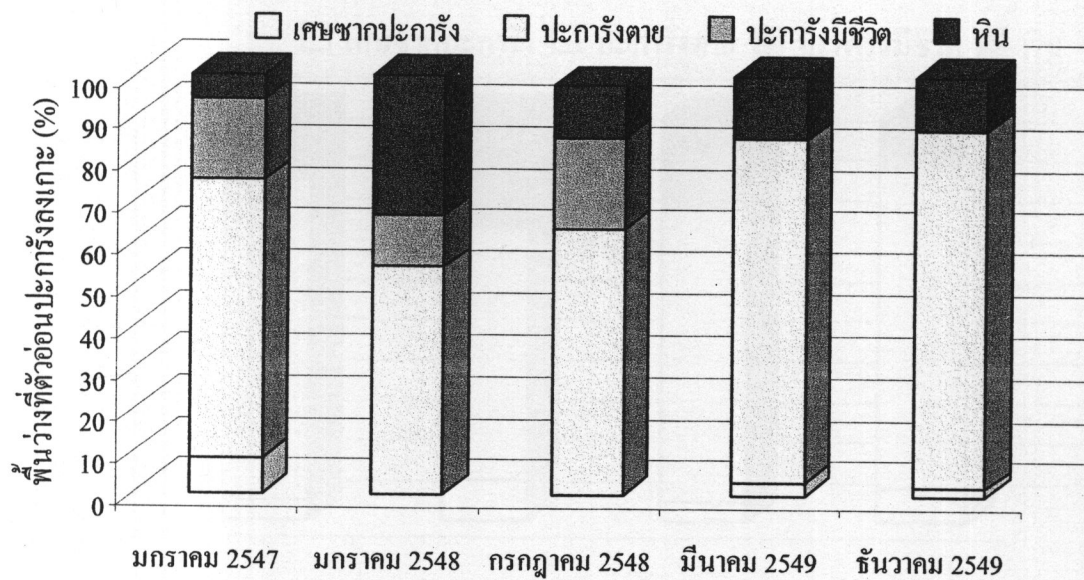
อย่างไรก็ตามในการศึกษารูปแบบการลงทะเบของตัวอ่อนปะการังบน พื้นหิน (rock) ปะการังตาย ปะการังมีชีวิต และเศษชากปะการัง ในช่วงก่อนคลื่นสีนามิ (เดือนมกราคม 2547) พบร่วมกันอัตราการลงทะเบคิดเป็น $59.75 \pm 4.59\%$, $26.82 \pm 4.75\%$, $9.04 \pm 1.94\%$ และ $4.37 \pm 0.72\%$ ของพื้นว่างในพื้นที่แนวปะการัง ตามลำดับ ในขณะ ช่วงหลังคลื่นสีนามิ (เดือนมกราคม 2548) มีอัตราการลงทะเบคิดเป็น $44.44 \pm 3.76\%$, $45.44 \pm 4.32\%$, $7.07 \pm 1.62\%$ และ $3.04 \pm 1.17\%$ ตามลำดับ โดยตัวอ่อนปะการังที่พบลง เกาะบนพื้นว่างในธรรมชาติในช่วงเวลาเกิดคลื่นสีนามินั้น ไม่มีความแตกต่าง กัน (Two-way ANOVA, $P > 0.05$) แต่มีความแตกต่างกันอย่างมีนัยสำคัญระหว่างความ หลากหลายของพื้นว่างที่ตัวอ่อนลงเกาะ (Two-way ANOVA, $P < 0.05$) (ดูรายละเอียด ในภาคผนวก ตาราง 9) แสดงดังภาพ 53-61



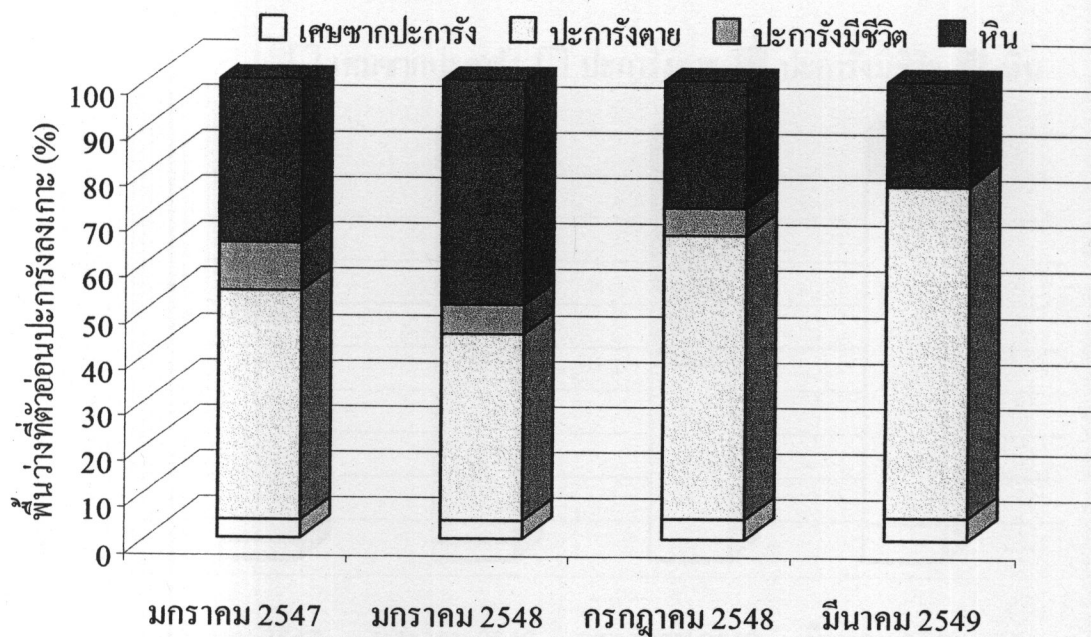
ภาพ 53 การลงเเกะของตัวอ่อนมะกรังบันพื้นว่างประเภทต่าง ๆ ในแนวมะกรังบริเวณเเกะสตอร์ค



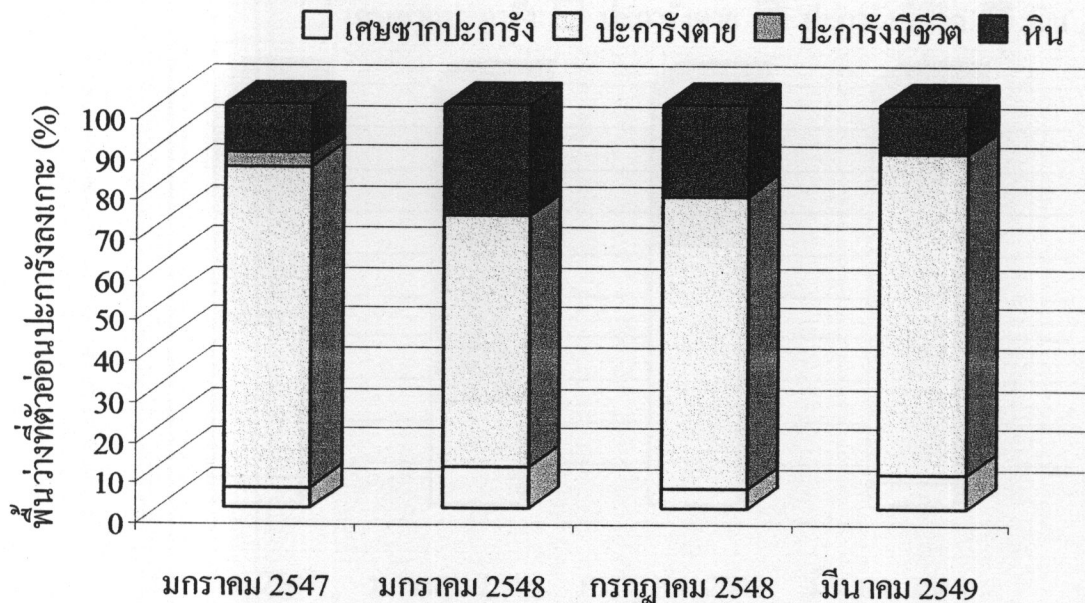
ภาพ 54 การลงเກะของตัวอ่อนมะกรังบันพื้นว่างประเภทต่าง ๆ ในแนวมะกรังบริเวณอ่าวจาก เกาะสูรินทร์เหนือ



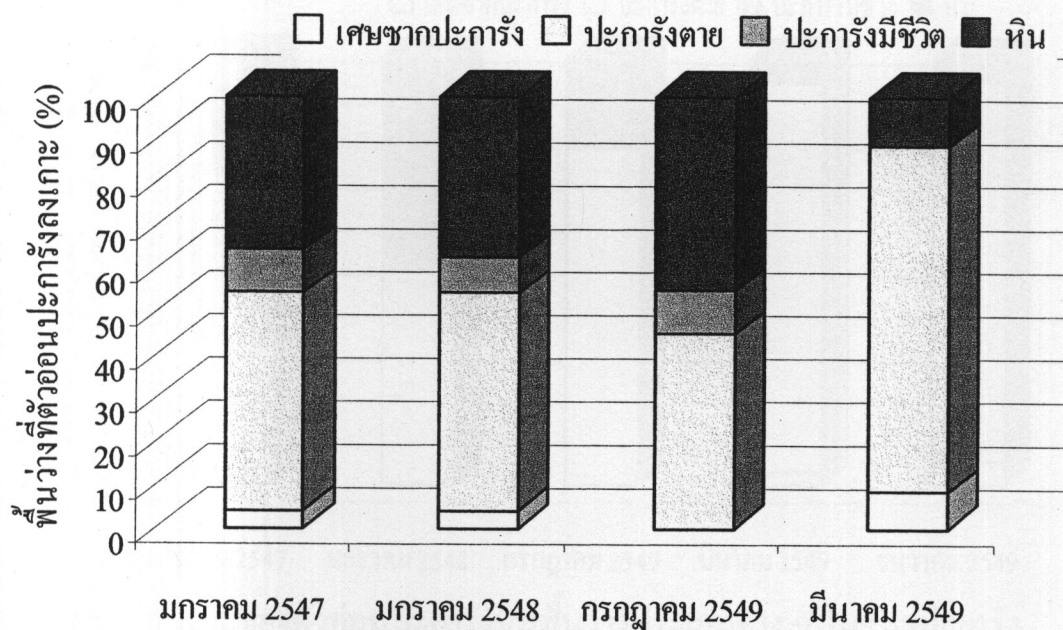
**ภาพ 55 การลงเเกะของตัวอ่อนประการงบนพื้นว่างประเทศต่าง ๆ ในแนวประการง
บริเวณอ่าวแม่ยาย เกาะสุรินทร์หนึ่อ**



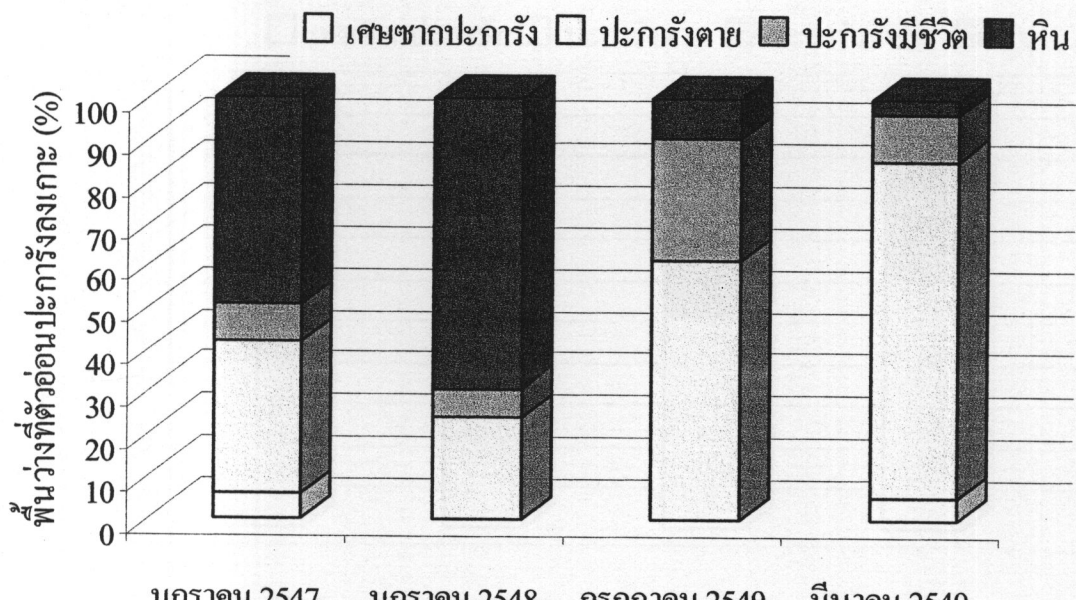
**ภาพ 56 การลงเກะของตัวอ่อนประการงบนพื้นว่างประเทศต่าง ๆ ในแนวประการง
บริเวณอ่าวไม้จาม เกาะสุรินทร์หนึ่อ**



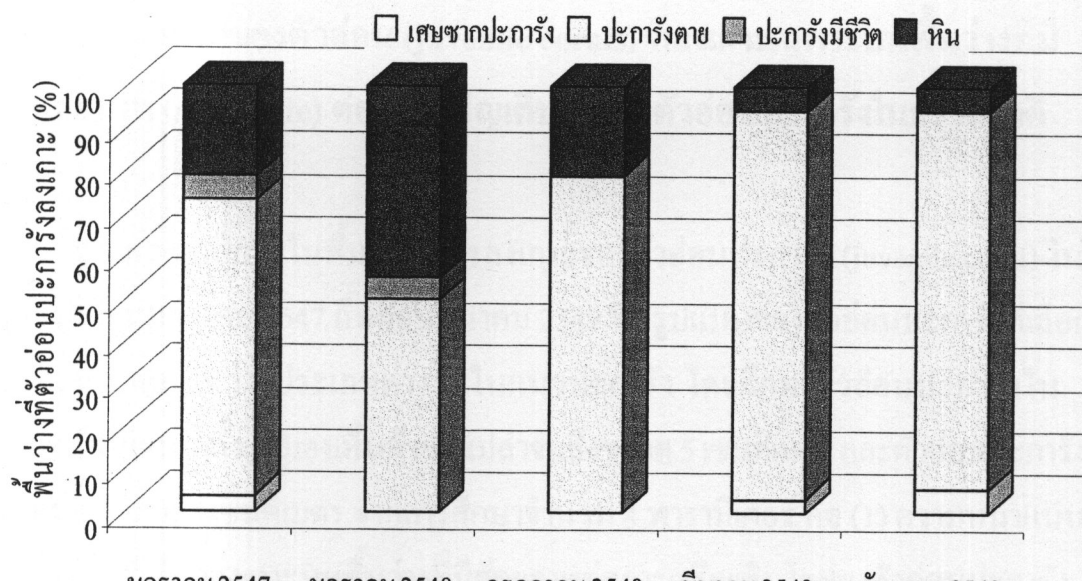
ภาพ 57 การลงเเกะของตัวอ่อนปะการังบนพื้นว่างประเภทต่าง ๆ ในแนวปะการังบริเวณเแกะป่าชุมนา



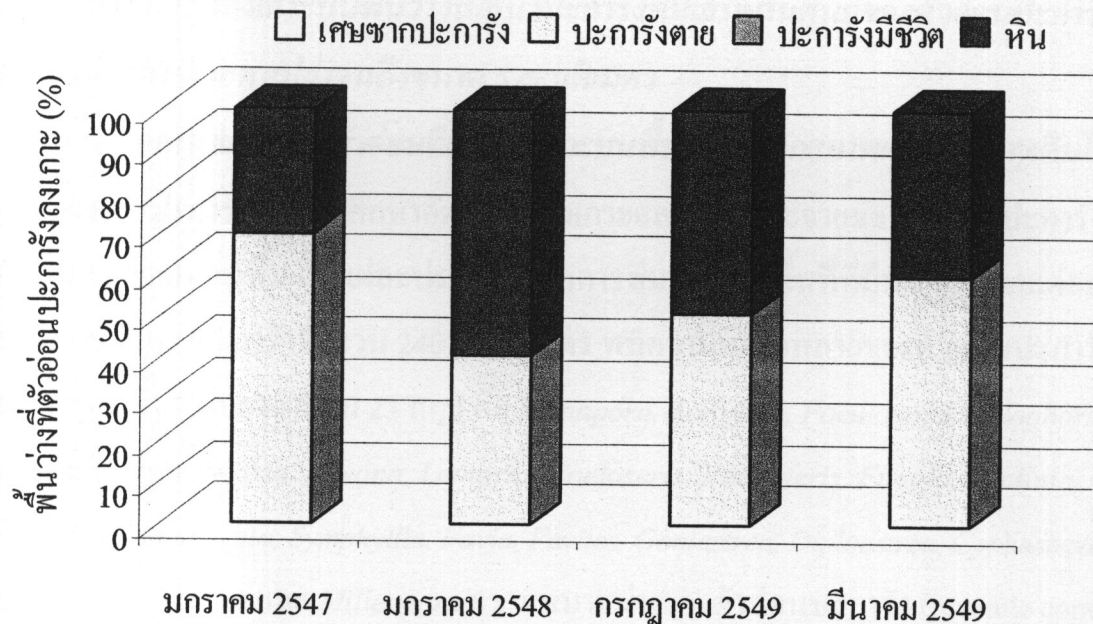
ภาพ 58 การลงเກะของตัวอ่อนปะการังบนพื้นว่างประเภทต่าง ๆ ในแนวปะการังบริเวณอ่าวสุเทพ เกาะสุรินทร์ได้



ภาพ 59 การลงเเกะของตัวอ่อนปะการังบนพื้นว่างประเภทต่าง ๆ ในแนวปะการังบริเวณอ่าวเต่า เกาะสุรินทร์ได้



ภาพ 60 การลงเກะของตัวอ่อนปะการังบนพื้นว่างประเภทต่าง ๆ ในแนวปะการังบริเวณอ่าวผักกาด เกาะสุรินทร์ได้



ภาพ 61 การลงเกาะของตัวอ่อนปะการังบนพื้นว่างประเภทต่าง ๆ ในแนวปะการังบริเวณเกาะตอรินดา

ความหนาแน่นของตัวอ่อน (*Juvenile corals*) ที่ลงเกาะบนพื้นว่างที่มีศักยภาพ (*substrate*) ต่อการเจริญเติบโตของตัวอ่อนปะการังในธรรมชาติ

จากการศึกษาในพื้นที่พบการลงเกาะของตัวอ่อนปะการัง (*juvenile coral*) ในระหว่างเดือนมกราคม 2547 ถึงเดือนมีนาคม 2549 ที่มีรูปแบบของตัวอ่อนปะการังที่เลือกลงเกาะบนกลุ่มพื้นว่างประเภทต่าง ๆ ในแนวปะการัง โดยศึกษาตัวอ่อนปะการังในธรรมชาติที่มีขนาดตั้งแต่ 0.5 ซม. จนถึง 5 ซม. คิมตร และตัวอ่อนปะการังขนาดน้ำอยกว่า 0.5 ซม. คิมตร จากการศึกษาจำนวน 4 พารามิเตอร์ คือ (1) ความหนาแน่นของตัวอ่อนที่เลือกลงเกาะบนพื้นว่างที่มีศักยภาพต่อการเจริญเติบโตของตัวอ่อนปะการัง (2) ขอบเขตการลงเกาะของตัวอ่อนปะการังที่ลงเกาะบนพื้นที่ว่างที่มีศักยภาพต่อการฟื้นตัวของแนวปะการังในธรรมชาติ (3) ประเภทของพื้นว่างที่มีศักยภาพต่อตัวอ่อนเลือกลงเกาะ และ (4) สิ่งมีชีวิตอื่น ๆ ที่แก่งแบ่งพื้นที่การลงเกาะของตัวอ่อนปะการังบนพื้นว่างในธรรมชาติ โดยมีผลการศึกษาดังนี้

ตัวอ่อนปะการังที่ลงเกาะบนพื้นว่างในแนวปะการังที่มีเส้นผ่าศูนย์ของตัวอ่อนปะการังตั้งแต่เมืองเห็นด้วยตาเปล่าจนถึงขนาด 5 เมตรติเมตร

ความหนาแน่นของตัวอ่อนที่เลือกลงเกาะบนพื้นว่างที่มีศักยภาพต่อการเจริญเติบโตของตัวอ่อนปะการัง ในกรณีมาอัตราการลงเกาะและแพร่กระจายของตัวอ่อนปะการัง (juvenile coral) บนพื้นว่างแต่ละประเภท จากการสุ่มเลือกในพื้นที่ที่มีพื้นว่างของแต่ละประเภทในแนวปะการังจำนวน 240 ตารางเมตร พนความหลากหลายของตัวอ่อนปะการังลงเกาะบนพื้นว่างของจำนวน 23 สกุล คือ *Montipora, Acropora, Pocillopora, Stylophora, Galaxea, Psammocosa, Pavona, Leptoria, Coeloseris, Pachyseris, Fungia, Pectinia, Merulina, Lobophyllia, Symphyllia, Favia, Favites, Goniastrea, Diploastrea, Cyphastrea, Echinopora, Porites* และ *Millepora* ความหนาแน่นของตัวอ่อนปะการัง (juvenile coral) ที่ลงเกาะในพื้นที่แนวปะการังของเกาะสตอร์ค อ่าวจาก อ่าวแม่ข่าย อ่าวไม้จัน เกาะปาชูนบาน อ่าวสุเทพ อ่าวเต่า อ่าวผักกาด และเกาะตอรินลา มีความหนาแน่นของตัวอ่อนปะการังลงเกาะบนพื้นว่างเฉลี่ย 3.40 ± 0.09 , 4.40 ± 0.63 , 5.93 ± 1.18 , 9.07 ± 1.27 , 6.77 ± 0.48 , 5.92 ± 0.77 , 8.33 ± 0.98 , 7.50 ± 1.77 และ 4.50 ± 0.74 โโคโลนีต่อตารางเมตร ตามลำดับ ซึ่งตัวอ่อนปะการังในพื้นที่อ่าวเต่าและอ่าวผักกาดที่มีความหนาแน่นของตัวอ่อนปะการังลงเกาะสูงที่สุด ในขณะที่แนวปะการังที่เกาะสตอร์ค มีความหนาแน่นของตัวอ่อนปะการังลงเกาะต่ำที่สุด (คุณภาพ 62) เมื่อสังเกตความหนาแน่นของตัวอ่อนปะการังลงเกาะ (juvenile coral) บนพื้นว่างในแต่ละพื้นที่กับช่วงเวลา มีความแตกต่างกันอย่างมีนัยสำคัญ (Two-way ANOVA, $P < 0.01$) (คุณภาพ 62) เมื่อสังเกตความหนาแน่นของตัวอ่อนปะการังลงเกาะ ที่เลือกลงเกาะบนพื้นว่างของแนวปะการังในแต่ละพื้นที่ของหมู่เกาะสุรินทร์ มีรายละเอียดดังต่อไปนี้

เกาะสตอร์ค จากผลการศึกษาพบจำนวนตัวอ่อนปะการังลงเกาะในพื้นที่ทั้งหมด 102 โโคโลนี โดยมีความหนาแน่นของตัวอ่อนปะการังที่ลงเกาะในเดือนกรกฎาคม 2547, ธันวาคม 2547, มกราคม 2548 และมีนาคม 2549 มีค่าความหนาแน่นเฉลี่ย 3.47 ± 0.19 , 3.60 ± 0.21 , 3.20 ± 0.20 และ 3.33 ± 0.23 โโคโลนีต่อตารางเมตร ตามลำดับ โดยตัวอ่อนปะการังชนิดเด่น ๆ ที่พบในพื้นที่ คือ สกุล *Acropora* และ *Montipora* มีค่าเฉลี่ย 1.06 ± 0.02 และ 0.99 ± 0.03 โโคโลนีต่อตารางเมตร (คุณภาพ 63)

อ่าวจาก (เกาะสุรินทร์เหนือ) จากผลการศึกษาพบจำนวนตัวอ่อนปะการังลงเกาะในพื้นที่ทั้งหมด 131 โโคโลนี ซึ่งตัวอ่อนในพื้นที่ศึกษาในช่วงเดือนมกราคม 2547, ธันวาคม 2547, มกราคม 2548 และมีนาคม 2549 มีค่าความหนาแน่นเฉลี่ย 5.73 ± 0.23 , 5.20 ± 0.24 , 3.47 ± 0.21 และ 3.07 ± 0.18 โโคโลนีต่อตารางเมตร ตามลำดับ ตัวอ่อนปะการังชนิดเด่นที่พบในพื้นที่ คือ สกุล *Acropora*, *Pocillopora* และ *Porites* โดยพบการลงเกาะของตัวอ่อนปะการังทั้ง 3 ชนิด มีค่าเฉลี่ย 1.73 ± 0.19 , 0.83 ± 0.10 และ 0.63 ± 0.14 โโคโลนีต่อตารางเมตร (ดูภาพ 64) ตามลำดับ

อ่าวแม่ยาย (เกาะสุรินทร์เหนือ) จากผลการศึกษาพบจำนวนตัวอ่อนปะการังลงเกาะในพื้นที่ทั้งหมด 204 โโคโลนี โดยมีความหนาแน่นของตัวอ่อนปะการังที่ลงเกาะในช่วงเดือนมกราคม 2547, ธันวาคม 2547, มกราคม 2548 และมีนาคม 2549 มีค่าความหนาแน่นเฉลี่ย 7.87 ± 0.36 , 8.00 ± 0.21 , 4.53 ± 0.18 และ 6.80 ± 0.02 โโคโลนีต่อตารางเมตร ตามลำดับ ซึ่งตัวอ่อนปะการังชนิดเด่นที่พบอยู่ในสกุล *Acropora*, *Porites* และ *Pocillopora* ความหนาแน่นของตัวอ่อนปะการังลงเกาะเฉลี่ย 2.47 ± 0.58 , 1.43 ± 0.10 และ 1.00 ± 0.35 โโคโลนีต่อตารางเมตร (ดูภาพ 65)

อ่าวไม้งาม (เกาะสุรินทร์เหนือ) จากผลศึกษาพบจำนวนตัวอ่อนปะการังลงเกาะในพื้นที่ทั้งหมด 272 โโคโลนี จากข้อมูลที่ศึกษาตัวอ่อนบนแนวปะการังระหว่างเดือนมกราคม 2547, ธันวาคม 2547, มกราคม 2548 และมีนาคม 2549 มีค่าความหนาแน่นเฉลี่ย 12.80 ± 0.14 , 13.07 ± 0.24 , 4.13 ± 0.20 และ 6.27 ± 0.26 โโคโลนีต่อตารางเมตร ตามลำดับ ตัวอ่อนปะการังชนิดเด่นที่พบในสกุล *Acropora* และ *Porites* โดยพบความหนาแน่นของตัวอ่อนปะการังลงเกาะเฉลี่ย 2.27 ± 0.35 และ 1.29 ± 0.36 โโคโลนีต่อตารางเมตร (ดูภาพ 66)

เกาะป่าชุมบาก จากผลการศึกษาพบจำนวนตัวอ่อนปะการังลงเกาะในพื้นที่ทั้งหมด 203 โโคโลนี ซึ่งข้อมูลตัวอ่อนปะการังลงเกาะในพื้นที่ได้จากการสำรวจในเดือนมกราคม 2547, ธันวาคม 2547, มกราคม 2548 และมีนาคม 2549 มีค่าความหนาแน่นเฉลี่ย 7.73 ± 0.15 , 7.47 ± 0.16 , 5.87 ± 0.12 และ 6.00 ± 0.11 โโคโลนีต่อตารางเมตร ตามลำดับ ตัวอ่อนปะการังชนิดเด่นที่พบ คือ *Acropora* และ *Fungia* โดยพบความหนาแน่นของตัวอ่อนปะการังลงเกาะเฉลี่ย 2.14 ± 0.31 และ 1.54 ± 0.14 โโคโลนีต่อตารางเมตร (ดูภาพ 67)

อ่าวสุเทพ (เกาะสุรินทร์ใต้) จากผลการศึกษาพบจำนวนตัวอ่อนปะการังลงเกาะในพื้นที่ทั้งหมด 177 โโคโลนี ซึ่งตัวอ่อนปะการังที่ลงเกาะในพื้นที่ศึกษาในระหว่างช่วงเดือนมกราคม 2547, ธันวาคม 2547, มกราคม 2548 และมีนาคม 2549 มีค่าความหนาแน่นเฉลี่ย 7.20 ± 0.22 , 7.07 ± 0.27 , 3.90 ± 0.12 และ 5.50 ± 0.24 โโคโลนีต่อตารางเมตร ตามลำดับ ตัวอ่อนปะการังชนิดเด่นที่พบมากที่สุดในพื้นที่ คือ สกุล *Acropora* มีความหนาแน่นของตัวอ่อนปะการังลงเกาะเฉลี่ย 1.97 ± 0.60 โโคโลนีต่อตารางเมตร (ดูภาพ 68)

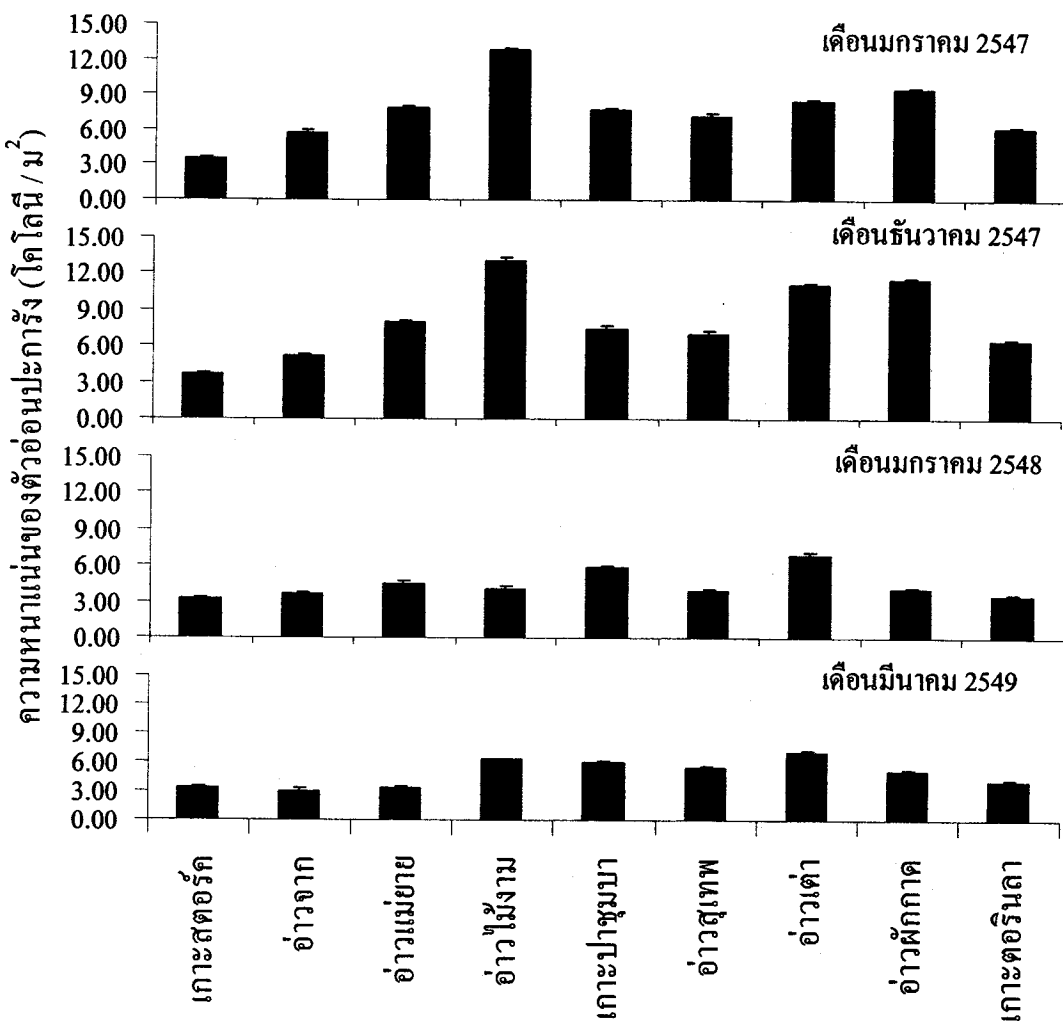
อ่าวเต่า (เกาะสุรินทร์ใต้) จากผลการศึกษาพบจำนวนตัวอ่อนปะการังลงเกาะในพื้นที่ทั้งหมด 250 โโคโลนี จากการลงเกาะของตัวอ่อนบนพื้นที่ศึกษาในช่วงเดือนมกราคม 2547, ธันวาคม 2547, มกราคม 2548 และมีนาคม 2549 มีค่าความหนาแน่นเฉลี่ย 8.40 ± 0.32 , 11.07 ± 0.46 , 6.80 ± 0.23 และ 7.07 ± 0.29 โโคโลนีต่อตารางเมตร ตามลำดับ โดยตัวอ่อนปะการังชนิดเด่นที่พบในพื้นที่ประกอบด้วยสกุล *Porites* และ *Acropora* มีความหนาแน่นของตัวอ่อนปะการังลงเกาะเฉลี่ย 3.50 ± 0.95 และ 1.90 ± 0.49 โโคโลนีต่อตารางเมตร (ดูภาพ 69)

อ่าวผักกาด (เกาะสุรินทร์ใต้) จากผลศึกษาพบจำนวนตัวอ่อนปะการังลงเกาะในพื้นที่ทั้งหมด 241 โโคโลนี จากข้อมูลที่ศึกษาตัวอ่อนบนแนวปะการังระหว่างเดือนมกราคม 2547, ธันวาคม 2547, มกราคม 2548 และมีนาคม 2549 มีค่าความหนาแน่นเฉลี่ย 9.47 ± 0.51 , 11.47 ± 0.29 , 4.00 ± 0.14 และ 5.07 ± 0.13 โโคโลนีต่อตารางเมตร ตามลำดับ ซึ่งตัวอ่อนปะการังชนิดเด่นที่พบในพื้นที่ คือ กลุ่ม *Acropora* และ *Pocillopora* มีความหนาแน่นของตัวอ่อนปะการังลงเกาะเฉลี่ย 2.87 ± 0.96 และ 1.00 ± 1.10 โโคโลนีต่อตารางเมตร (ดูภาพ 70)

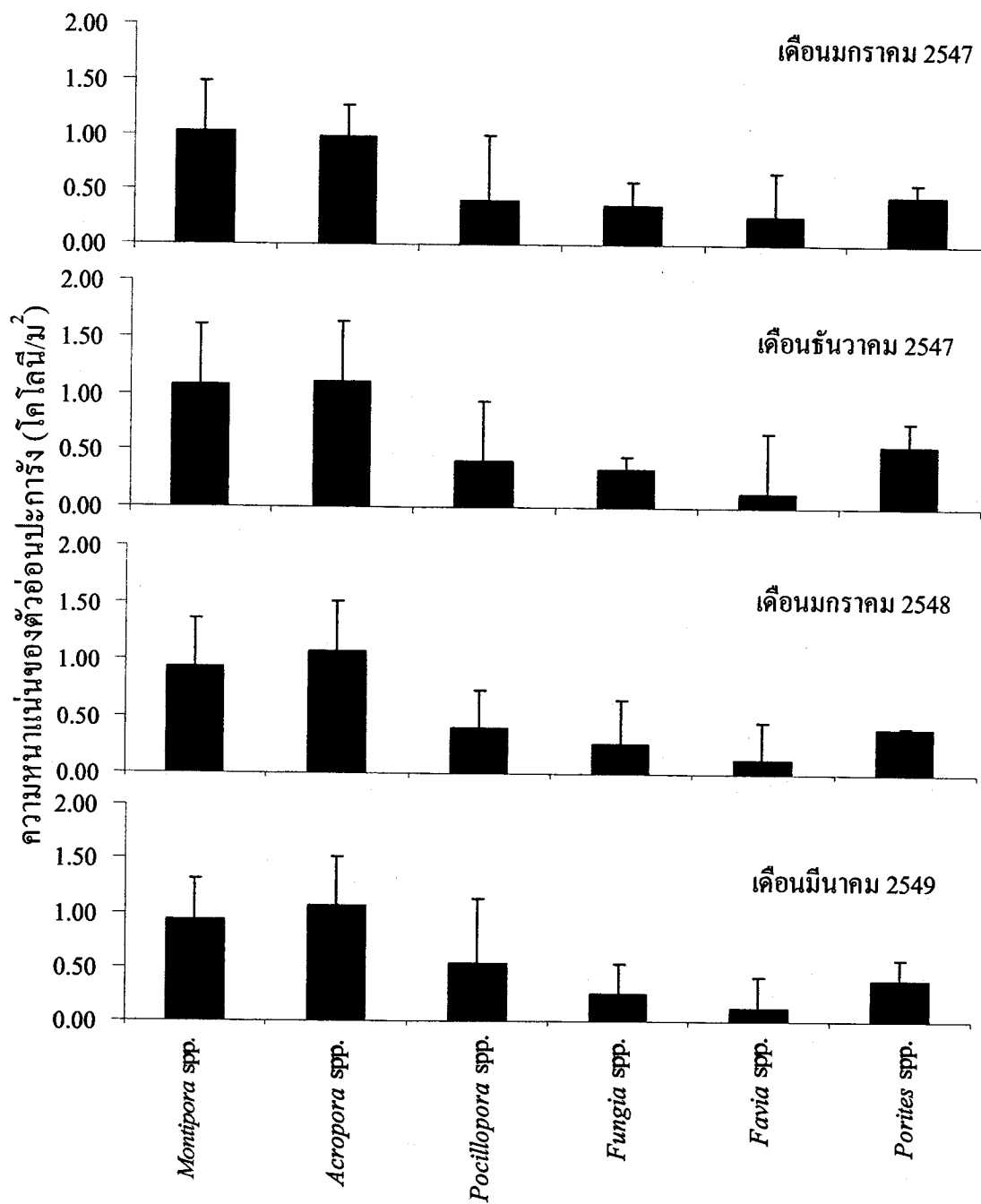
เกาะตอรินดา จากผลศึกษาพบจำนวนตัวอ่อนปะการังลงเกาะในพื้นที่ทั้งหมด 157 โโคโลนี จากการลงเกาะของตัวอ่อนบนพื้นที่ศึกษาในช่วงเดือนมกราคม 2547, ธันวาคม 2547, มกราคม 2548 และมีนาคม 2549 มีค่าความหนาแน่นเฉลี่ย 6.13 ± 0.15 , 6.40 ± 0.15 , 3.47 ± 0.21 และ 4.00 ± 0.31 โโคโลนีต่อตารางเมตร ตามลำดับ ตัวอ่อนปะการังชนิดเด่นที่พบในพื้นที่ประกอบด้วยกลุ่ม *Acropora* และ *Porites* มีความหนาแน่นของตัวอ่อนปะการังลงเกาะเฉลี่ย 1.82 ± 0.12 และ 0.87 ± 0.04 โโคโลนีต่อตารางเมตร (ดูภาพ 71)

ดังนั้นสรุปได้ว่าความหนาแน่นของตัวอ่อนประการังที่มีการลงเกะบันพื้นว่างในระหว่างช่วงก่อนมีความหนาแน่นสูงกว่าช่วงหลังการเกิดคลื่นสึนามิ (Two-way ANOVA, $P < 0.01$) (คุณภาพเดียวกันภาคผนวก ตาราง 11)

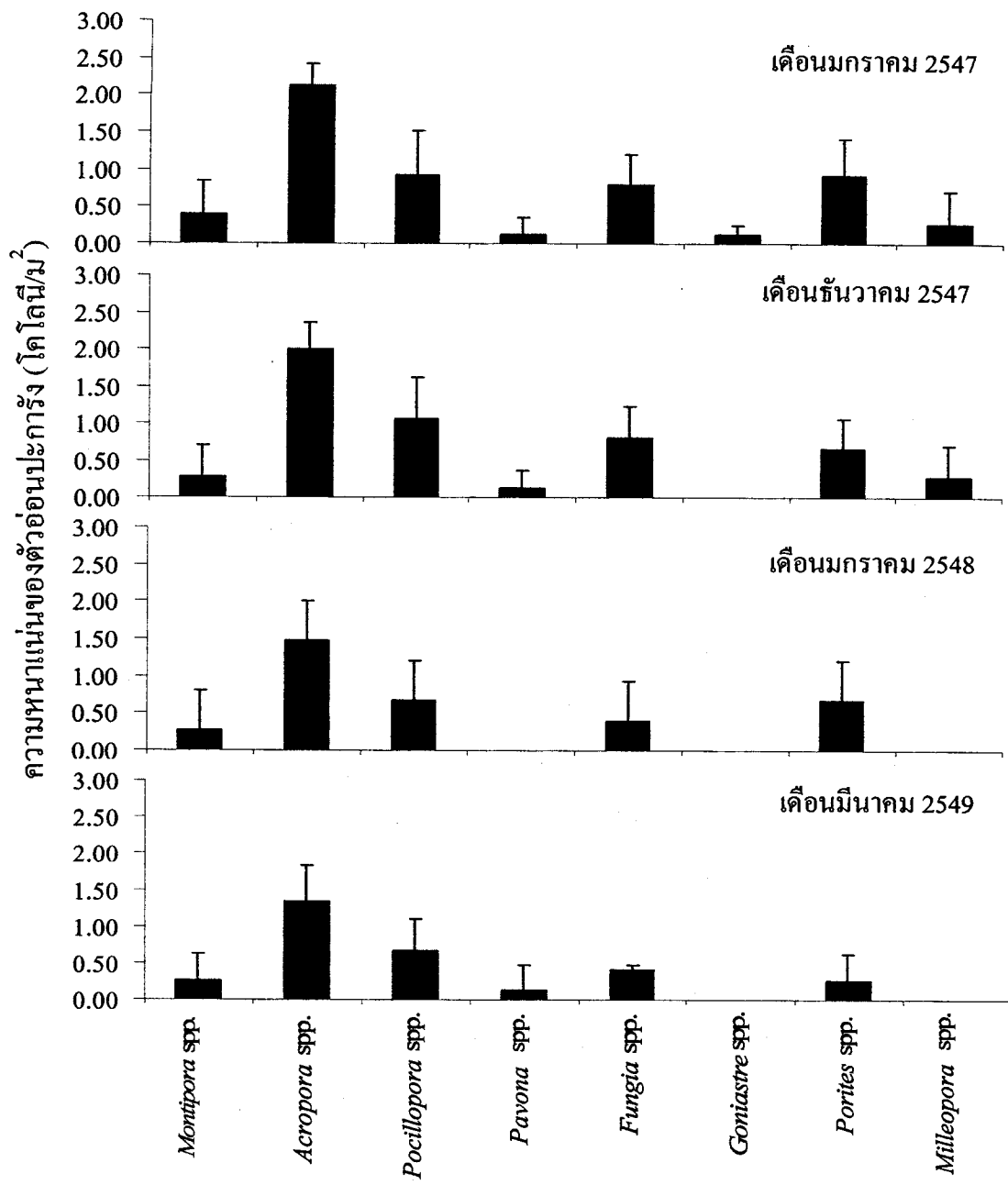
ขอบเขตการลงเกะของตัวอ่อนประการังที่ลงเกะบันพื้นที่ว่างที่มีศักยภาพต่อการพื้นตัวของแนวประการังในธรรมชาติ ระดับการแพร่กระจายของตัวอ่อนบนพื้นที่มีศักยภาพต่อการลงเกะของประการังนี้ ซึ่งจะมีขอบเขตการลงเกะของตัวอ่อนประการังในกลุ่มประการังที่ปล่อยเซลล์สีบันธุ์ (broadcasting species) และกลุ่มประการังที่ออกลูกเป็นตัว (brooding species) ในพื้นที่ต่าง ๆ ไม่เท่ากัน ผลการศึกษาภาคสนามในพื้นที่แนวประการังเกาะสหอร์ค อ่าวจาก อ่าวแม่ยาย อ่าวไม้จาม เกาะป่าชุมนา อ่าวสุเทพ อ่าวเต่า อ่าวผักกาด และเกาะตอรินลา พบว่าการลงเกะบันพื้นธรรมชาติของตัวอ่อนกลุ่ม Broadcasting species มีค่าความหนาแน่นของตัวอ่อนเฉลี่ย 2.97 ± 0.10 , 3.53 ± 0.56 , 5.80 ± 0.74 , 8.27 ± 1.01 , 5.98 ± 0.37 , 5.41 ± 0.79 , 8.33 ± 0.98 , 7.93 ± 0.90 และ 4.40 ± 0.62 โคลoni ต่อตารางเมตร ตามลำดับ โดยมีการลงเกะบันพื้นว่างในธรรมชาติมีการกระจายสูงกว่าของตัวอ่อนกลุ่ม Brooding species เฉลี่ย 0.43 ± 0.03 , 0.83 ± 0.10 , 1.00 ± 0.35 , 0.80 ± 0.27 , 0.78 ± 0.14 , 0.50 ± 0.03 , 0.40 ± 0.09 , 1.00 ± 0.21 และ 0.60 ± 0.13 โคลoni ต่อตารางเมตร ตามลำดับ (คุณภาพ 72) ดังนั้นความหนาแน่นของตัวอ่อนประการัง (juvenile coral) กลุ่ม Broadcasting species สามารถแพร่กระจายและลงเกะบันพื้นว่างในแนวประการังอื่นมากกว่าตัวอ่อนประการังกลุ่ม Brooding species (Two-way ANOVA, $P < 0.01$) (คุณภาพเดียวกันภาคผนวก ตาราง 12)



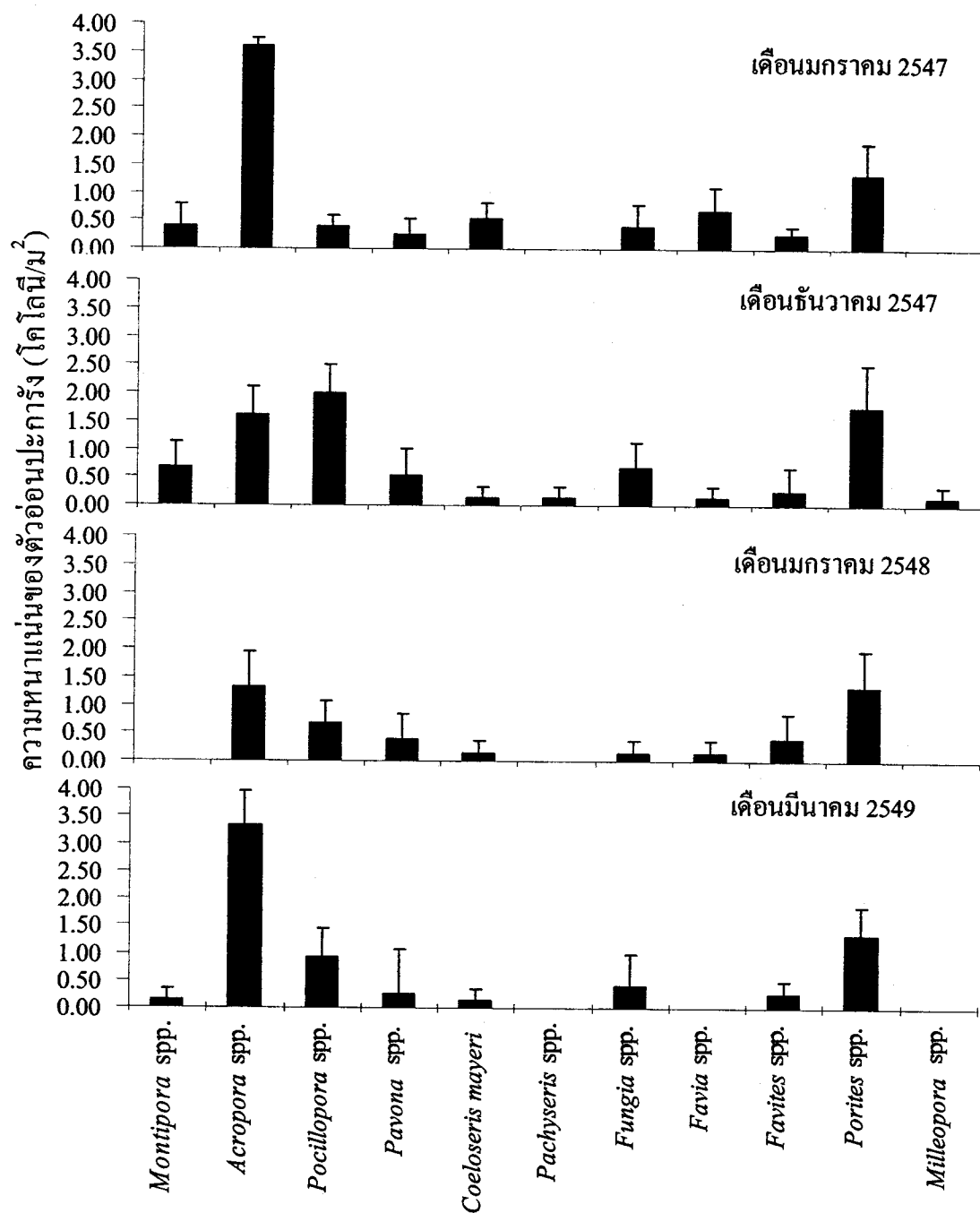
ภาพ 62 ความหนาแน่นของจำนวนประชากรตัวอ่อนประชากรที่ลงเก็บบันพื้นที่ว่าง
ของแนวประชากรของหมู่เกาะสุรินทร์ ในระหว่างเดือนมีนาคม 2547 - ธันวาคม 2549



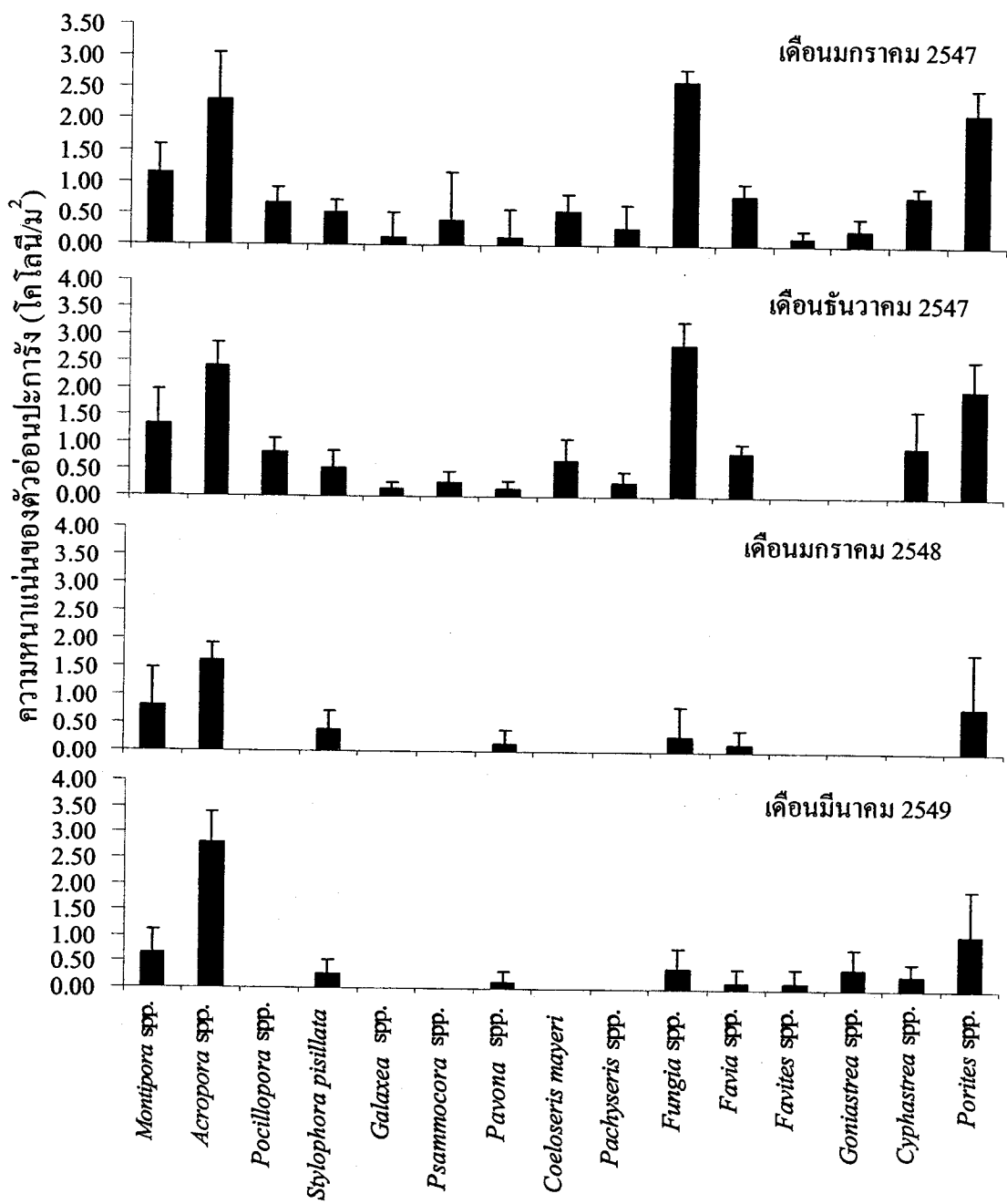
ภาพ 63 ความหนาแน่นของชนิดตัวอ่อนปะการังลงเกาะบนพื้นที่ว่างในแนวปะการังบริเวณเกาะสตอร์ค



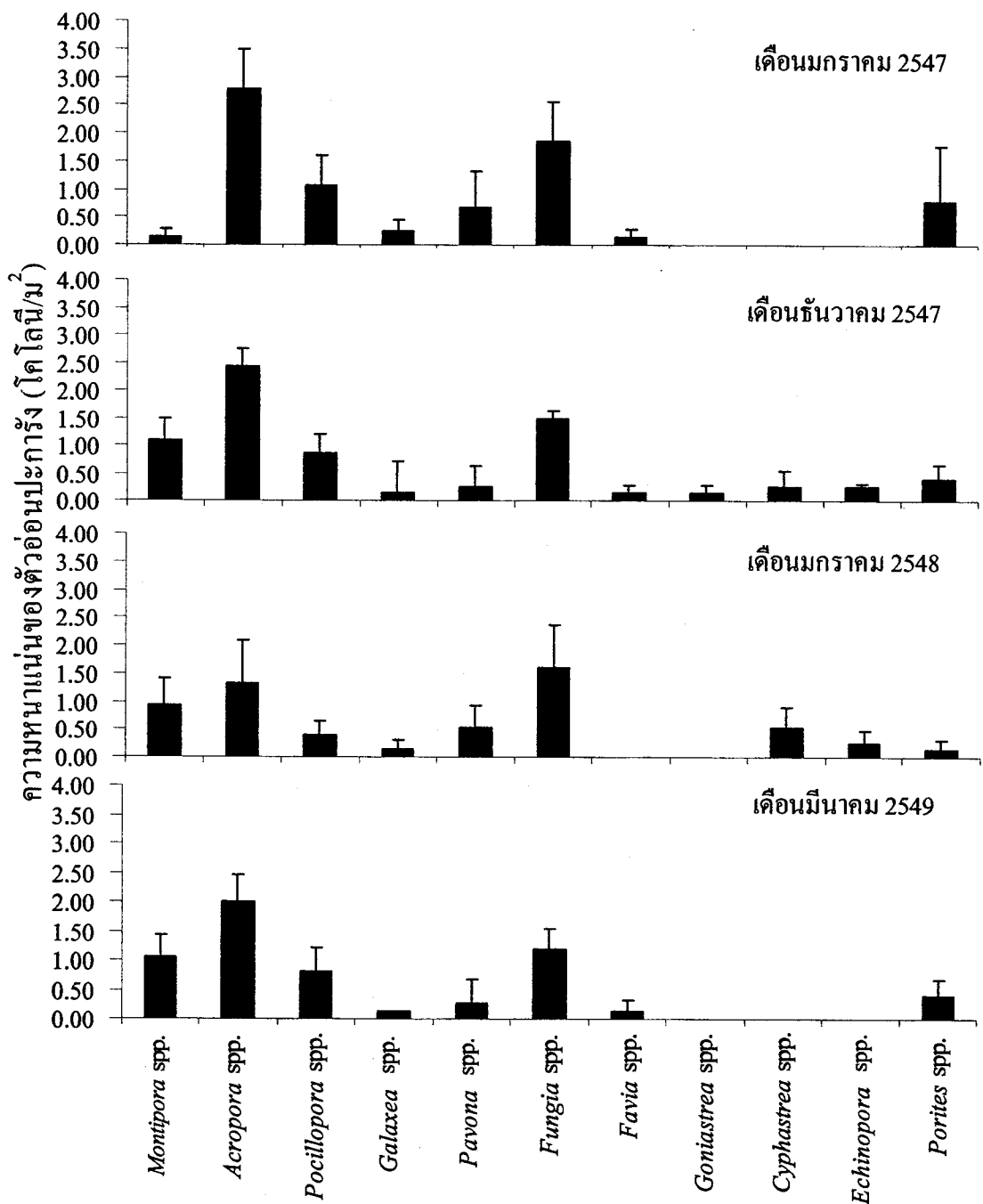
ภาพ 64 ความหนาแน่นของชนิดตัวอ่อนปะการังลงเกาะบนพื้นที่ว่างในแนวปะการังบริเวณอ่าวจาก เกาะสุรินทร์เหนือ



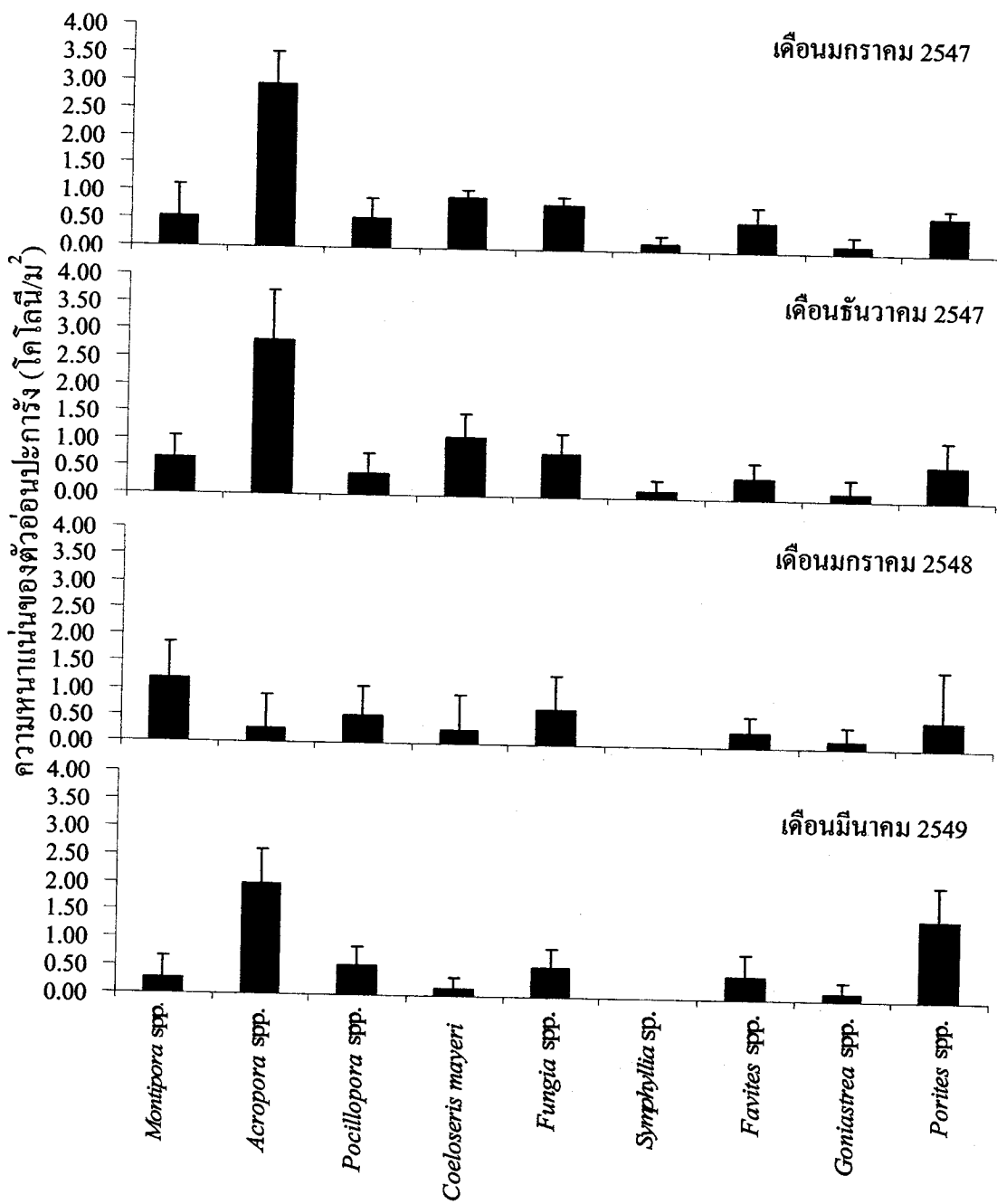
ภาพ 65 ความหนาแน่นของชนิดตัวอ่อนปะการังลงเกาะบนพื้นที่ว่างในแนวปะการังบริเวณอ่าวแม่ยาย เกาะสุรินทร์เหนือ

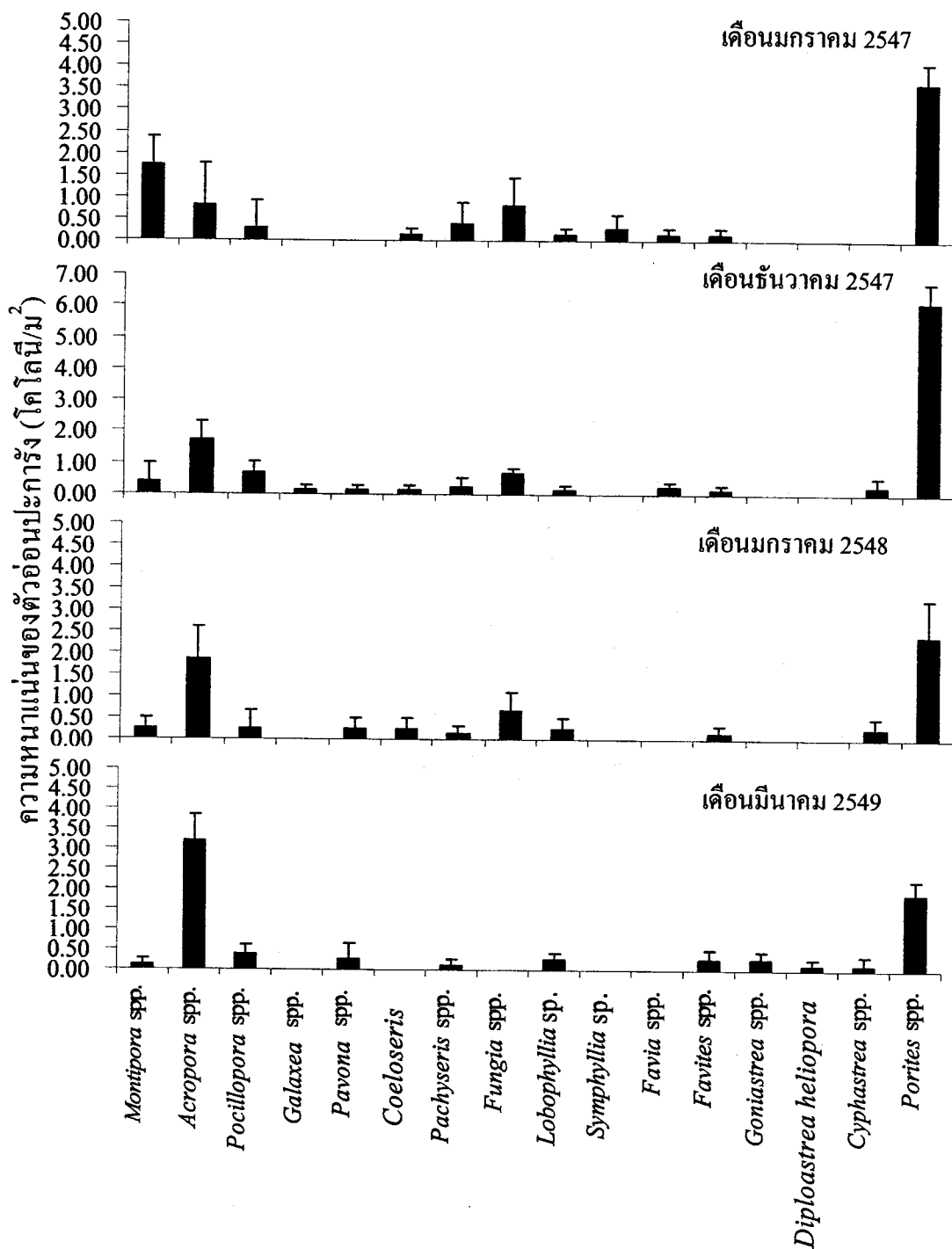


ภาพ 66 ความหนาแน่นของชนิดตัวอ่อนปะการังลงเกาะบนพื้นที่ว่างในแนวปะการังบริเวณอ่าวไม้จาม เกาะสุรินทร์เหนือ

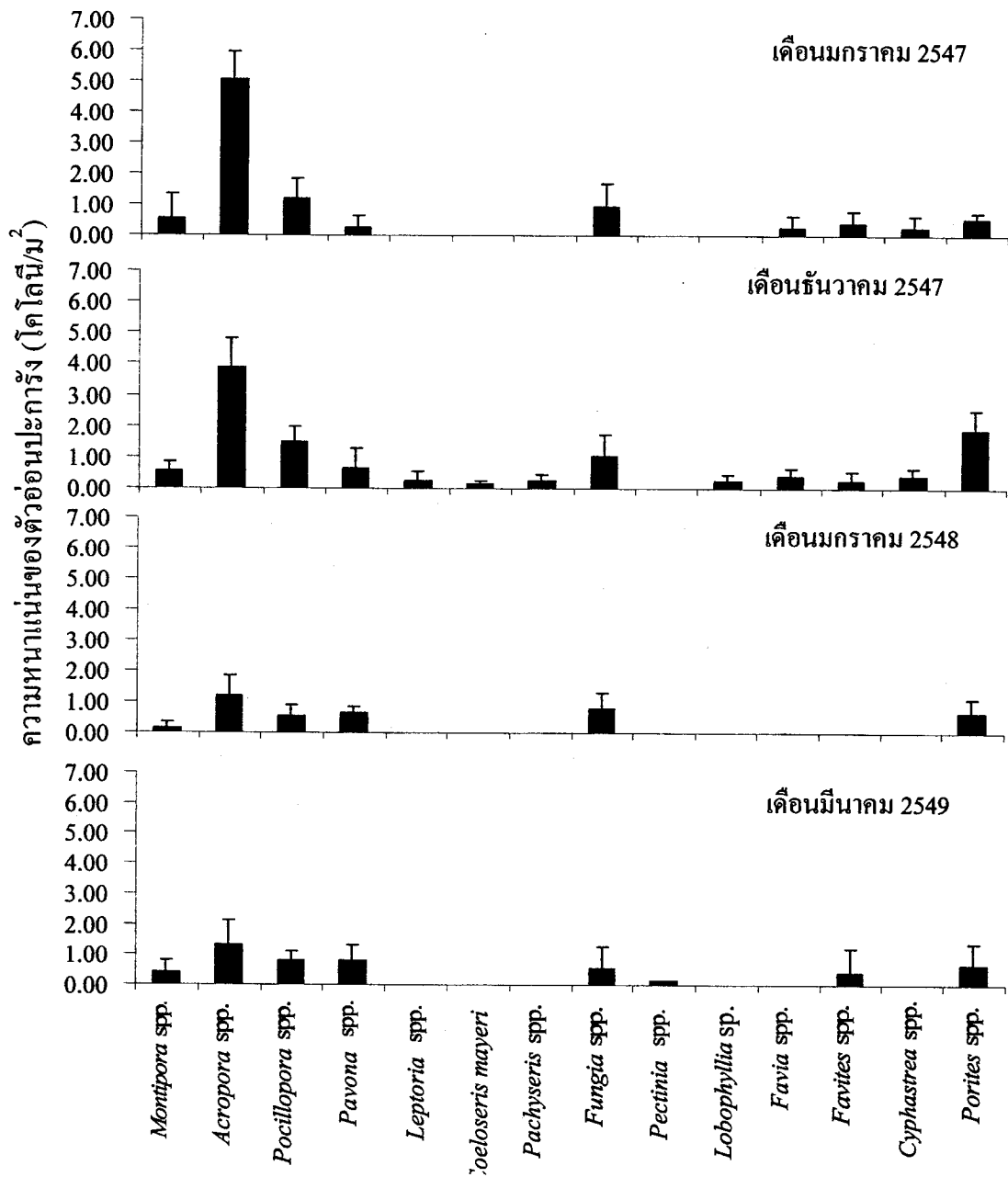


ภาพ 67 ความหนาแน่นของชนิดตัวอ่อนปะการังลงเกาะบนพื้นที่ว่างในแนวปะการังบริเวณเกาะป่าชุมบาก

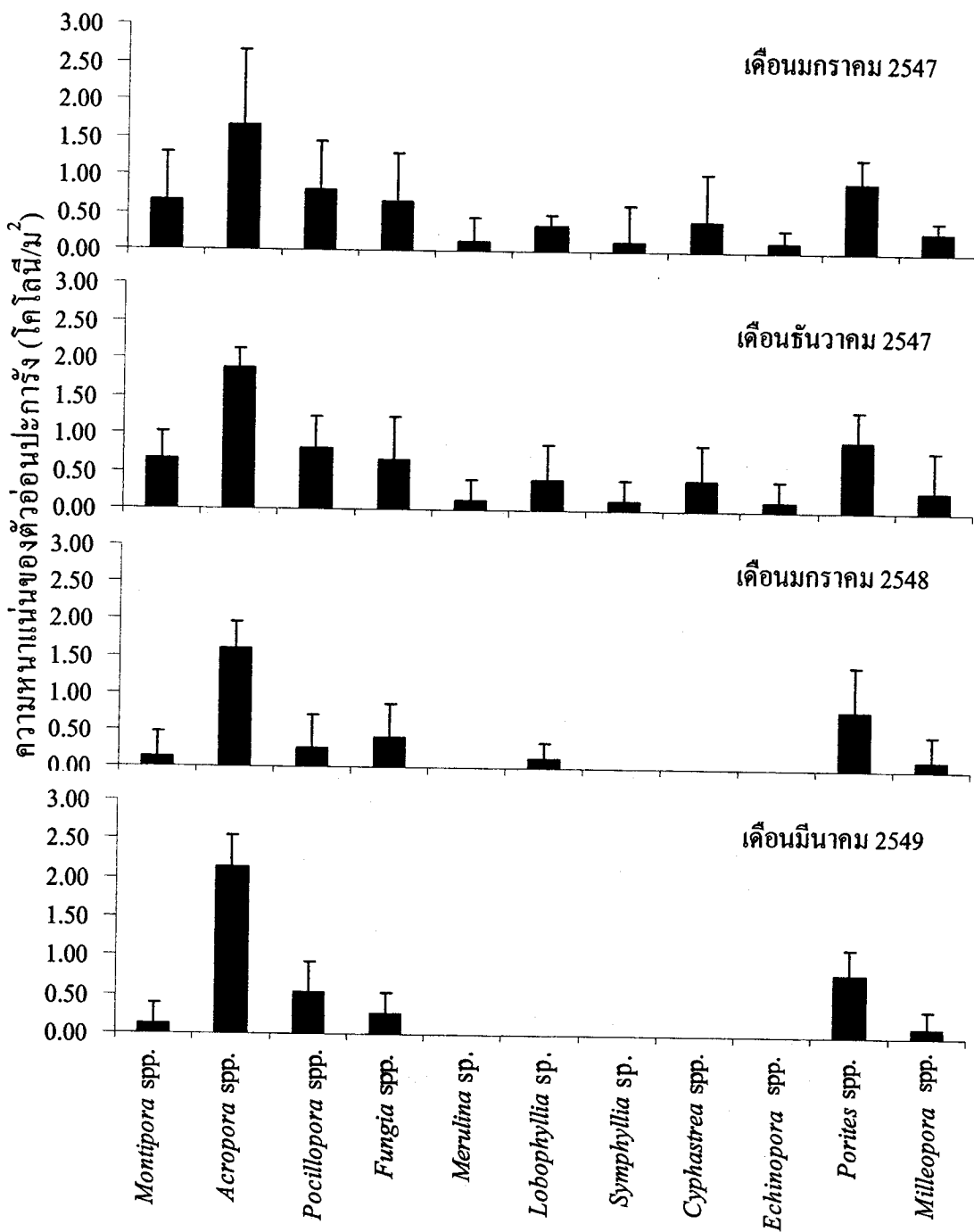




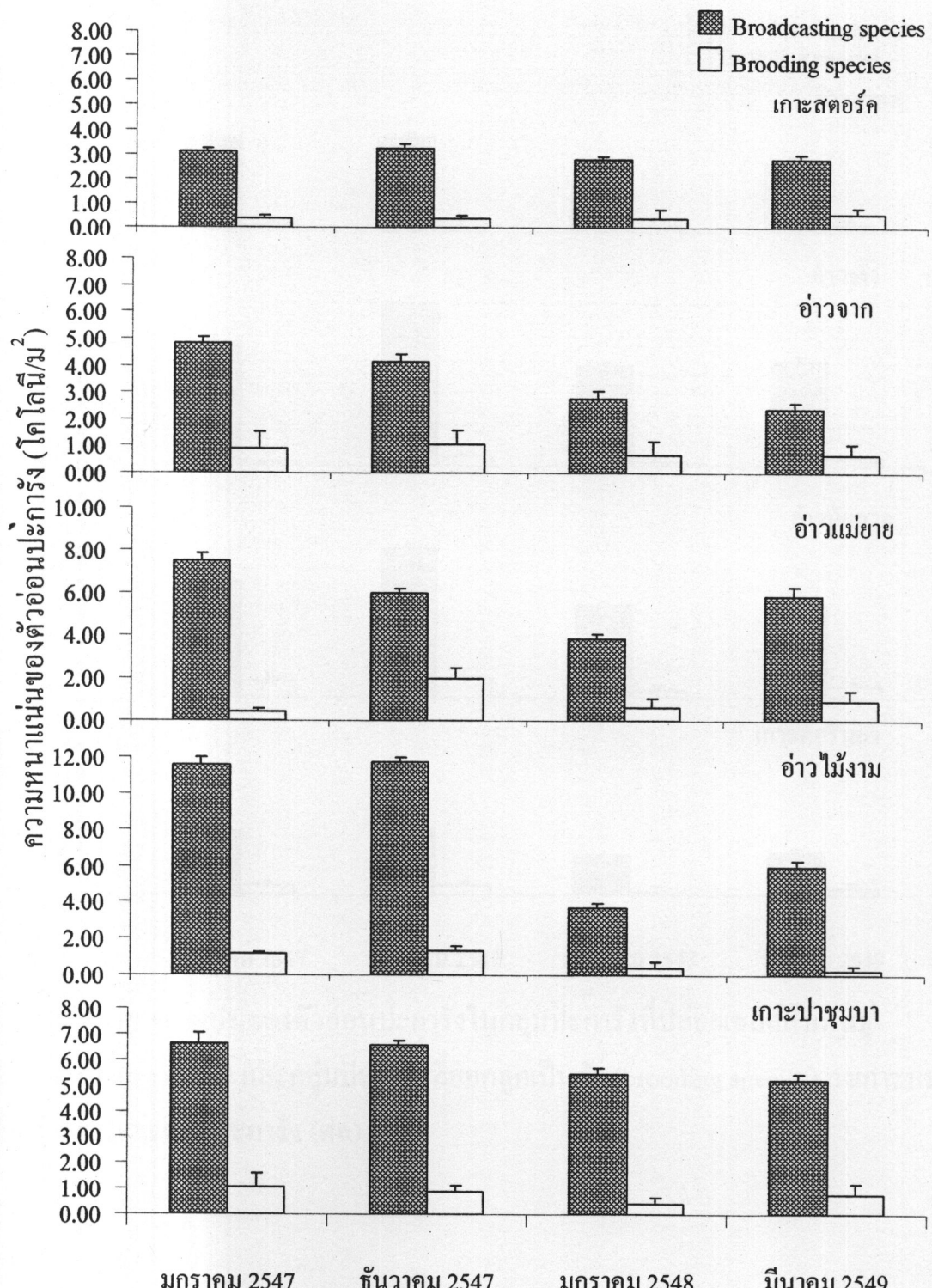
ภาพ 69 การความหนาแน่นของชนิดตัวอ่อนปะการังลงบนพื้นที่ว่างในแนวปะการังบริเวณอ่าวเต่า เกาะสุรินทร์ใต้



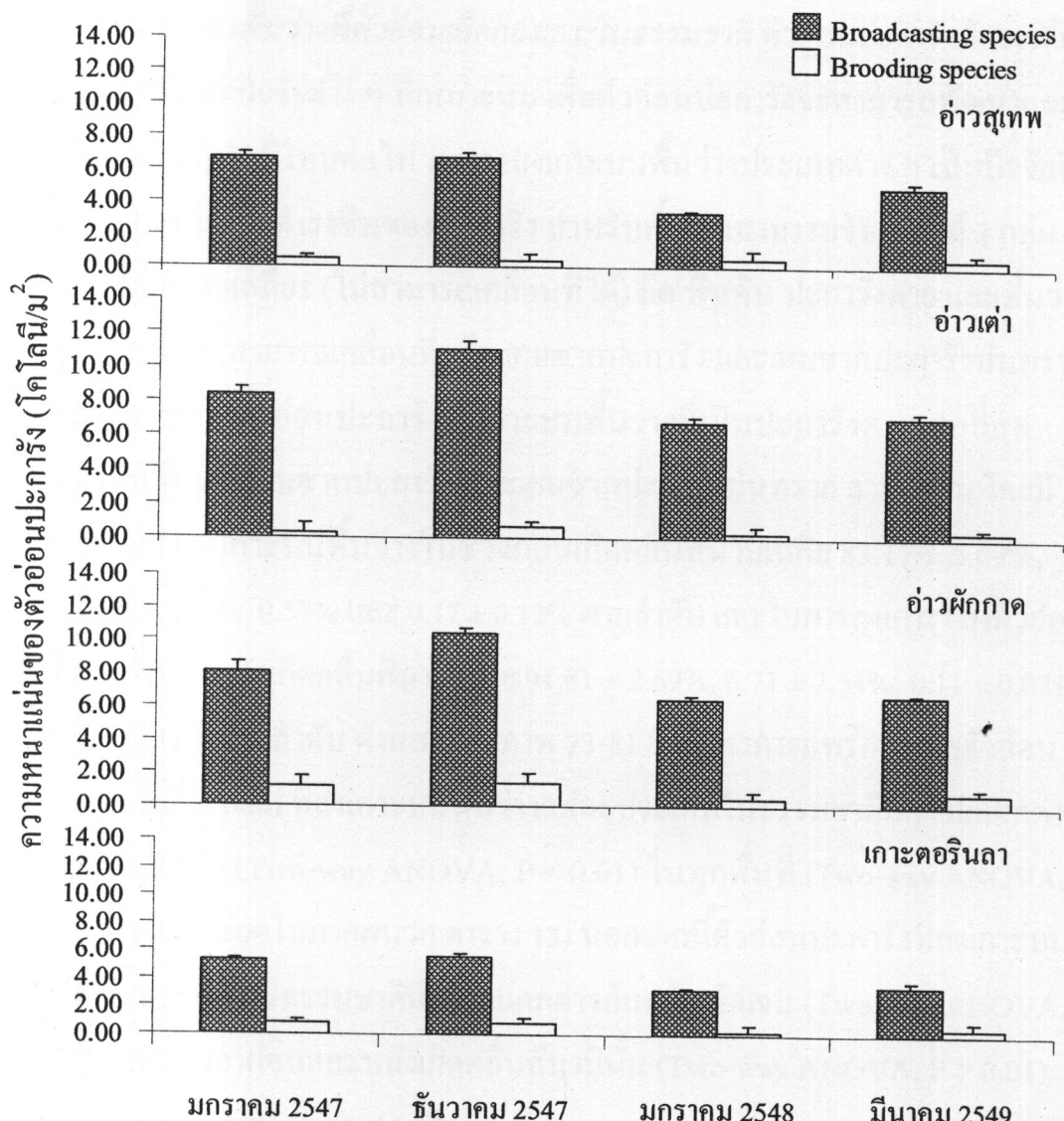
ภาพ 70 ความหนาแน่นของชนิดตัวอ่อนปะการังลงเกาะบนพื้นที่ว่างในแนวปะการังบริเวณอ่าวผักกาด เกาะสุรินทร์ใต้



ภาพ 71 ความหนาแน่นของชนิดตัวอ่อนปะการังลงเกาะบนพื้นที่ว่างในแนวปะการังบริเวณเกาะตอรินดา



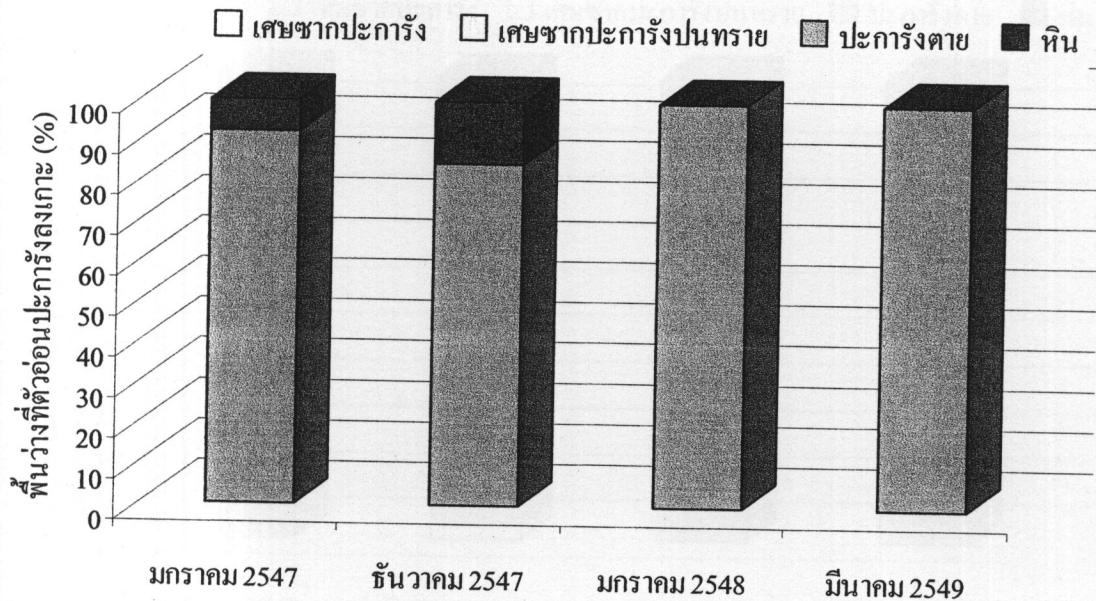
ภาพ 72 ความหนาแน่นของตัวอ่อนประการงในกลุ่มประการงที่ปล่อยเซลล์สีบพันธุ์ (broadcasting species) และกลุ่มประการงที่ออกลูกเป็นตัว (brooding species) ลงเกาะบนพื้นที่ว่างบริเวณแนวประการง



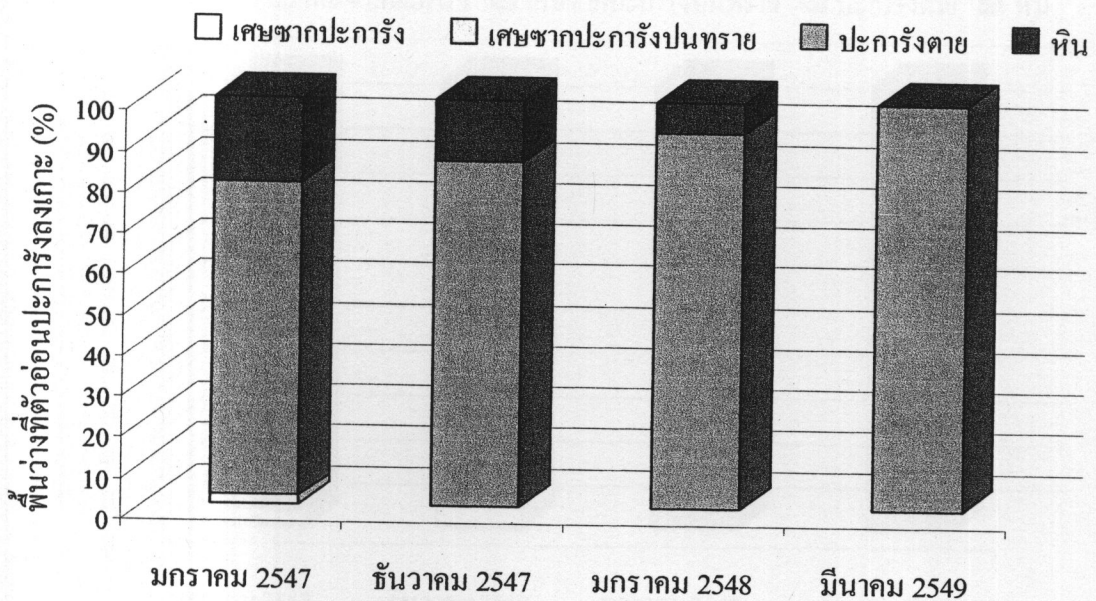
ภาพ 72 ความหนาแน่นของตัวอ่อนปะการังในกลุ่มปะการังที่ปล่อยเชลล์สีบพันธุ์ (broadcasting species) และกลุ่มปะการังที่ออกลูกเป็นตัว (brooding species) ลงเกาะบนพื้นที่ว่างบริเวณแนวปะการัง (ต่อ)

ประเภทของพื้นว่างที่ตัวอ่อนเลือกลงเกาะในธรรมชาติ ตัวอ่อนประรังมักจะเลือกลงเกาะในพื้นที่แหล่งปัจจัยต่าง ๆ ที่เหมาะสม เพื่อตัวอ่อนประรังจะสามารถพัฒนาและเจริญเติบโตเป็นโคลโนนใหม่ต่อไป ในการลงเกาะบนพื้นว่างประเภทต่าง ๆ เป็นปัจจัยที่มีความสำคัญมากต่อการดำรงชีพของประรัง สำหรับพื้นว่างสามารถจำแนกได้ 2 กลุ่ม คือ พื้นว่างที่มีความเสถียร (ไม่สามารถเคลื่อนที่ได้) คือ พื้นหิน ประรังตาย และพื้นว่างที่ไม่มีความเสถียร (สามารถเคลื่อนที่) คือ เศษซากประรัง และเศษซากประรังปนทรายจากการศึกษาพบว่าตัวอ่อนประรังลงเกาะบนพื้นว่างที่เป็นประรังตายมากที่สุด รองลงมาเป็นพื้นหิน เศษซากประรัง และเศษซากประรังปนทราย ตามลำดับ โดยมีตัวอ่อนประรังลงเกาะบนพื้นว่างในช่วงก่อนเกิดคลื่นสึนามิเฉลี่ย $83.17 \pm 3.69\%$, $24.59 \pm 3.79\%$, $3.17 \pm 0.57\%$ และ $0.17 \pm 0.12\%$ ตามลำดับ และในการลงเกาะของตัวอ่อนประรังบนพื้นว่างหลังเกิดคลื่นสึนามิเฉลี่ย $91.81 \pm 2.69\%$, $6.71 \pm 2.51\%$, $0.11 \pm 0.02\%$ และ $0.38 \pm 0.38\%$ ตามลำดับ ดังแสดงในภาพ 73-81 ซึ่งอัตราการแพร่กระจายตัวอ่อนประรัง (juvenile coral) ที่ลงเกาะบนพื้นว่างแต่ละประเภทในธรรมชาติมีความแตกต่าง กันอย่างมีนัยสำคัญ (Two-way ANOVA, $P < 0.01$) ในทุกพื้นที่ (Two-way ANOVA, $P > 0.01$) (คุณภาพเฉลี่ยในภาคผนวก ตาราง 13) นอกจากนี้ตัวอ่อนประรังที่ลงเกาะบนพื้นว่างแต่ละประเภทในธรรมชาติมีความแตกต่างกันอย่างชัดเจน (Two-way ANOVA, $P < 0.01$) ในช่วงเวลา ก่อนและหลังเกิดคลื่นสึนามินั้น (Two-way ANOVA, $P > 0.01$) (คุณภาพเฉลี่ยในภาคผนวก ตาราง 14)

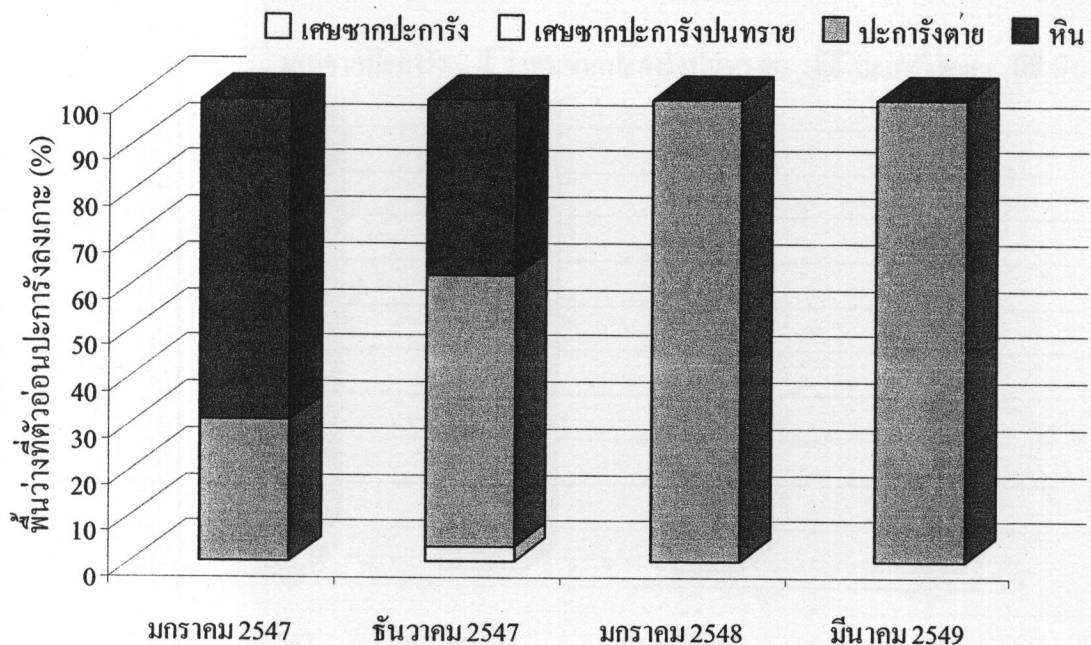
สิ่งมีชีวิตอื่น ๆ ที่แก่งแย่งพื้นที่การลงเกาะของตัวอ่อนประรังบนพื้นว่างในธรรมชาติ จากการศึกษาสิ่งมีชีวิตอื่น ๆ ที่ลงเกาะบนพื้นว่าง ซึ่งทำให้ตัวอ่อนประรังที่พร้อมเลือกลงเกาะบนพื้นธรรมชาติต้องเสียโอกาสในการลงเกาะและการอยู่รอด รวมทั้งพื้นว่างในธรรมชาติมีจำนวนพื้นที่ลดลง จากการศึกษาพบว่าความหลากหลายของกลุ่มสิ่งมีชีวิตอื่น ๆ ที่ปกคลุมและแก่งแย่งพื้นที่ของตัวอ่อนประรังบนพื้นว่างมีค่าเฉลี่ย $59.34 \pm 1.47\%$ โดยสิ่งมีชีวิตอื่น ๆ คือ กลุ่มสาหร่ายแบบเส้นสาย (filament algae) กลุ่มจากทะเล (corallimorph) พรหมทะเล (zoanthid) ประรังอ่อน (soft coral) และดอกไม้ทะเล (sea anemone) ซึ่งมีปอร์เซ็นต์การปกคลุมเฉลี่ย $32.91 \pm 2.94\%$, $8.92 \pm 3.14\%$, $0.45 \pm 0.40\%$ และ $0.34 \pm 0.30\%$ ตามลำดับ ดังแสดงในภาพ 82



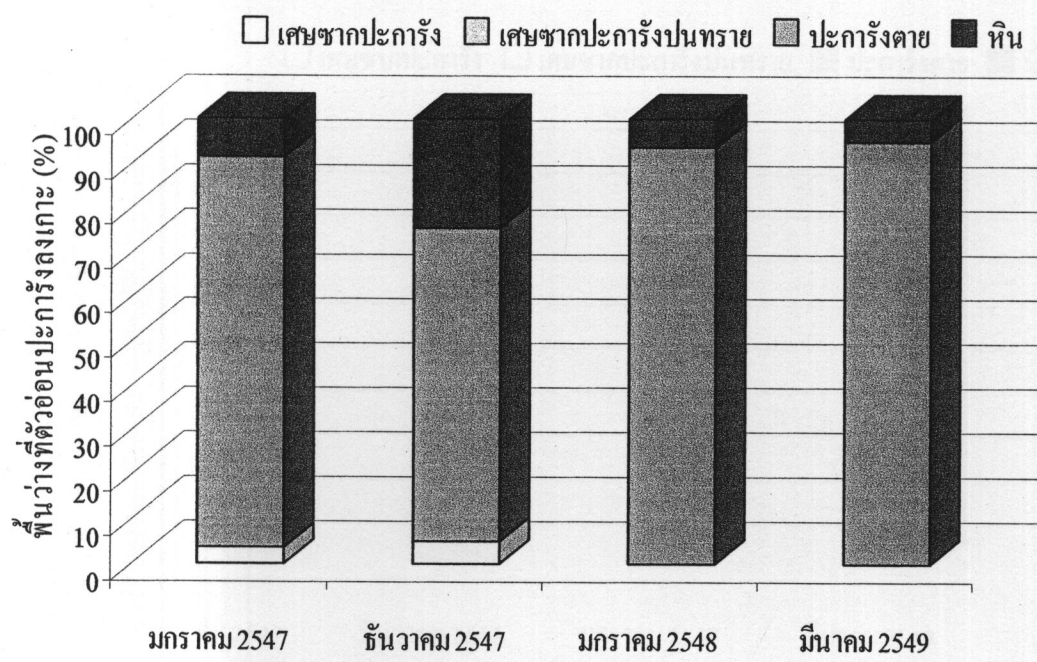
ภาพ 73 พื้นว่างที่มีศักยภาพต่อการลงเกษตรของตัวอ่อนปะการังและสิ่งมีชีวิตอื่น ๆ บริเวณเกษตรอุรุค



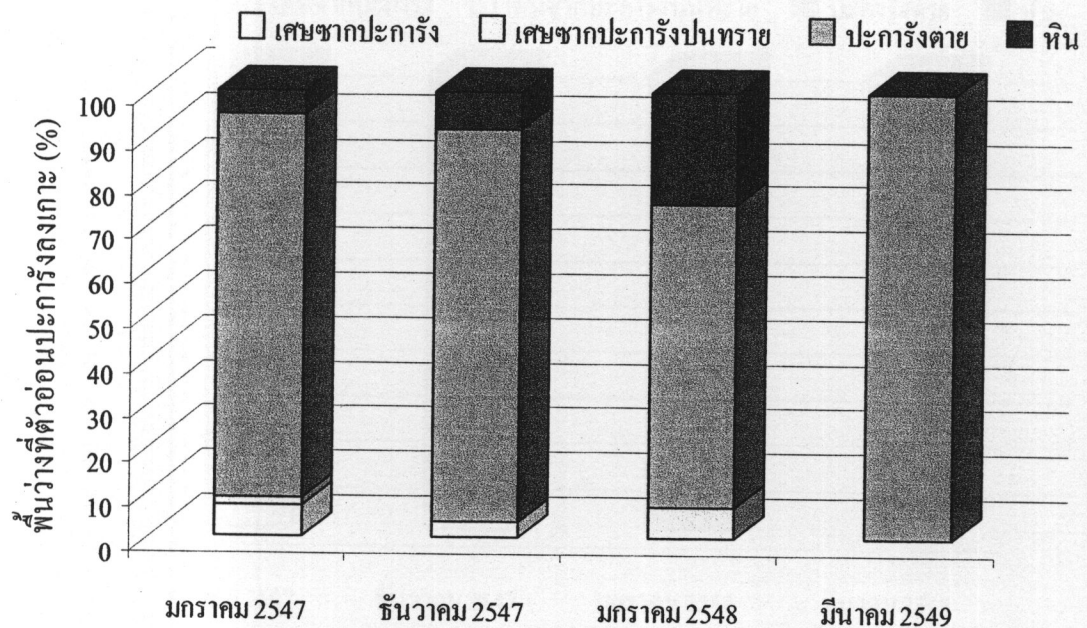
ภาพ 74 พื้นว่างที่มีศักยภาพต่อการลงเกษตรของตัวอ่อนปะการังและสิ่งมีชีวิตอื่น ๆ บริเวณอ่าวจาก เกาะสูรินทร์เหนือ



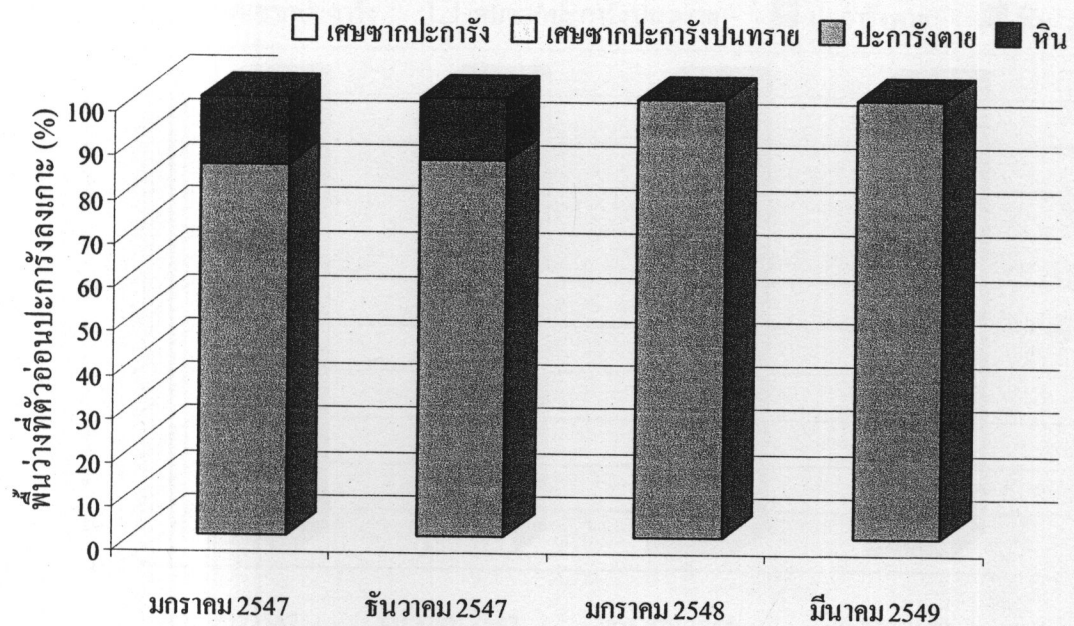
ภาพ 75 พื้นว่างที่มีศักยภาพต่อการลงเกาของตัวอ่อนประสบการงและสิ่งมีชีวิตอื่น ๆ บริเวณอ่าวแม่ยาย เกาะสุรินทร์เนื้อ



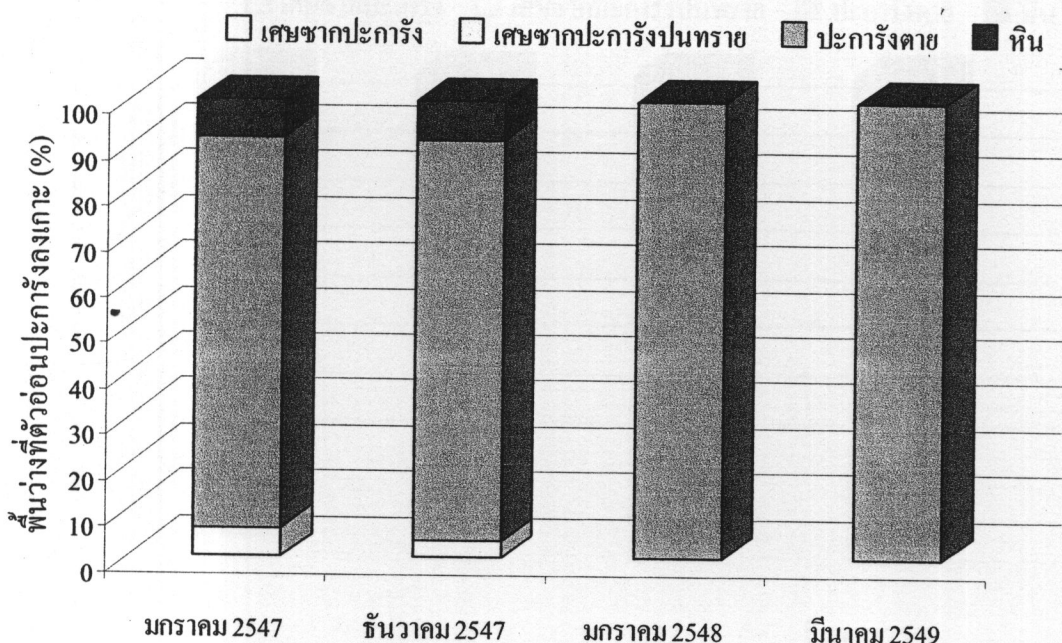
ภาพ 76 พื้นว่างที่มีศักยภาพต่อการลงเกาของตัวอ่อนประสบการงและสิ่งมีชีวิตอื่น ๆ บริเวณอ่าวไม้งาน เกาะสุรินทร์เนื้อ



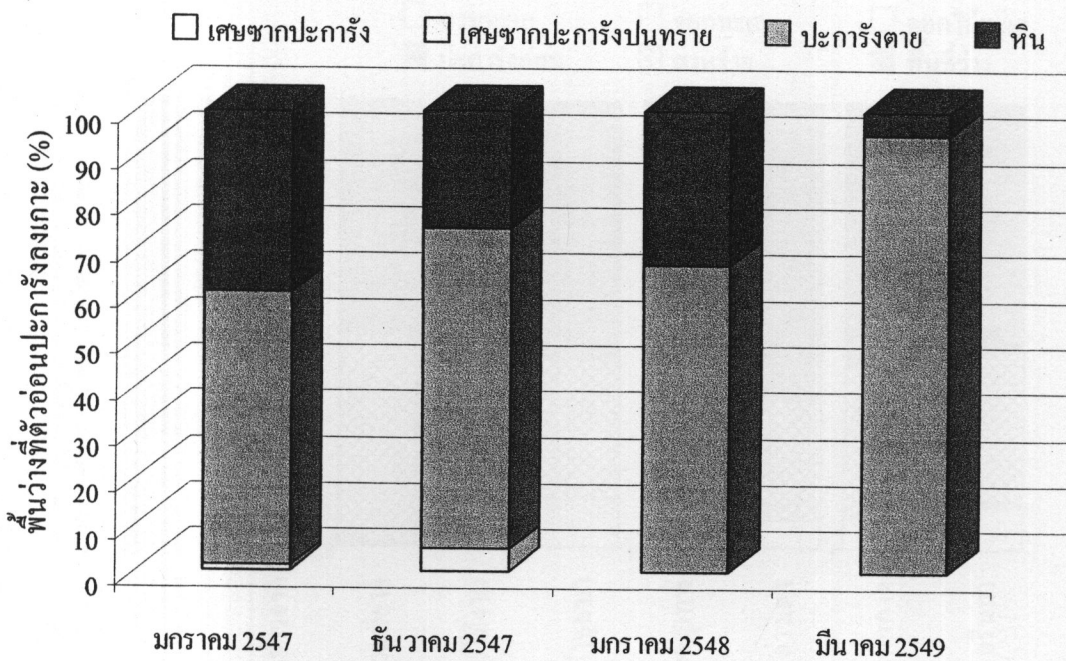
ภาพ 77 พื้นว่างที่มีศักยภาพต่อการลงเกาของตัวอ่อนประการังและสิ่งมีชีวิตอื่น ๆ บริเวณเกาะป่าชุมบาก



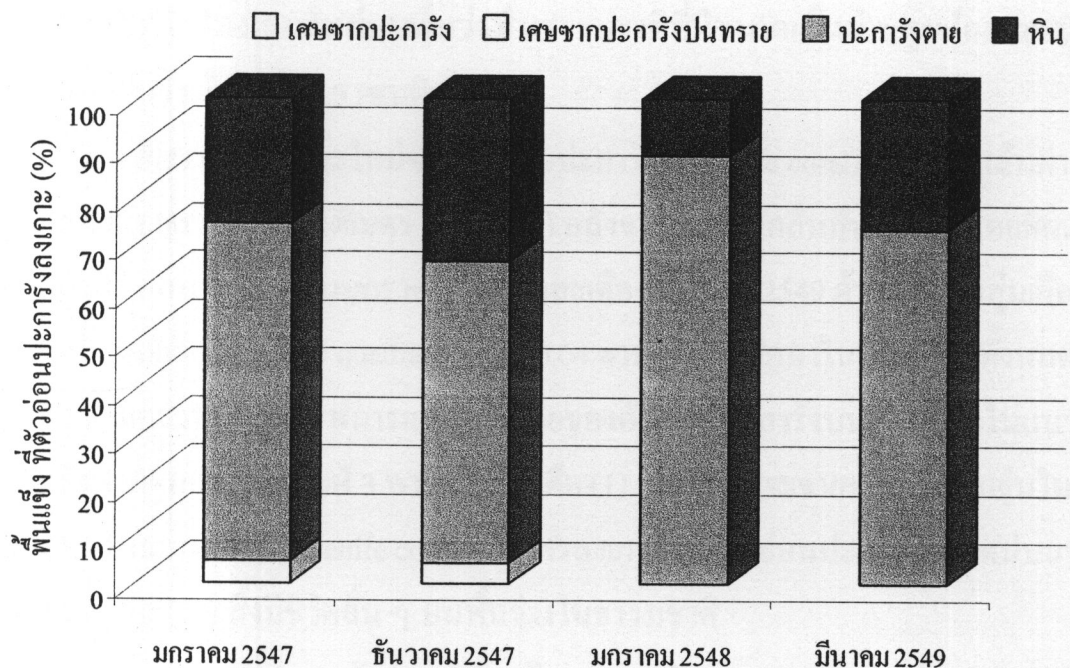
ภาพ 78 พื้นว่างที่มีศักยภาพต่อการลงเกาของตัวอ่อนประการังและสิ่งมีชีวิตอื่น ๆ บริเวณอ่าวสุเทพ เกาะสุรินทร์ได้



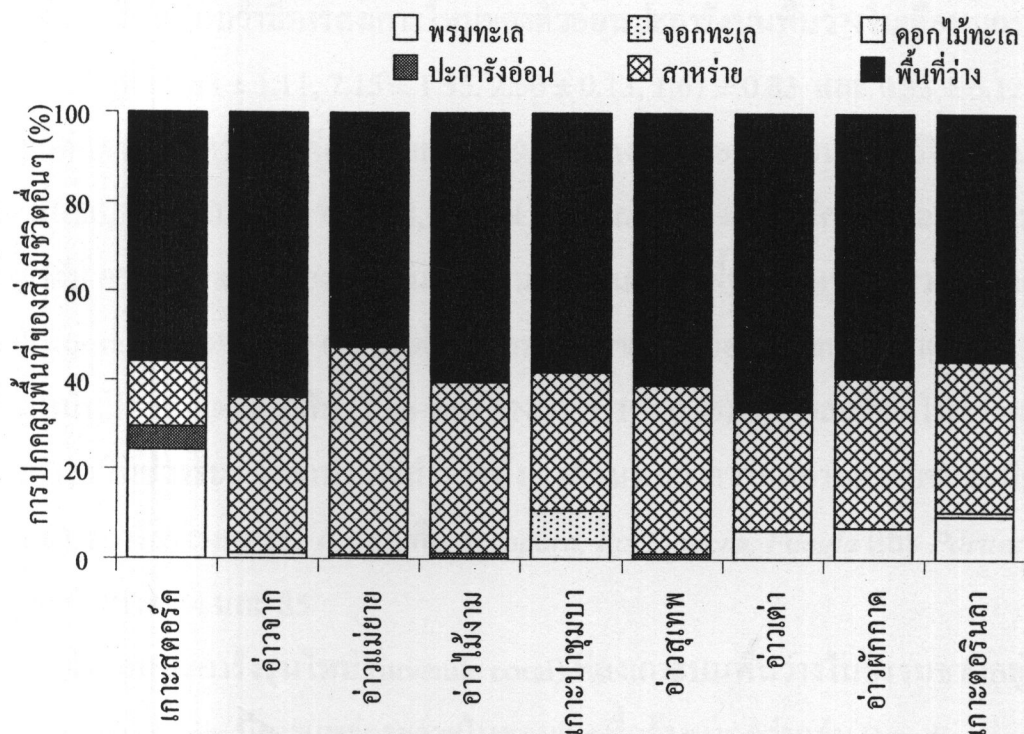
ภาพ 79 พื้นว่างที่มีศักยภาพต่อการลงเกาของตัวอ่อนประภังและสิ่งมีชีวิตอื่น ๆ บริเวณอ่าวเต่า เกาะสุรินทร์ได้



ภาพ 80 พื้นว่างที่มีศักยภาพต่อการลงเกาของตัวอ่อนประภังและสิ่งมีชีวิตอื่น ๆ บริเวณประภังอ่าวพัកกาด เกาะสุรินทร์ได้



ภาพ 81 พื้นที่ที่ได้รับผลกระทบจากการน้ำท่วม (%)
บริเวณบ้านเรือนในเขตต่อไปนี้ ๆ



ภาพ 82 สิ่งมีชีวิตอื่น ๆ ที่ปกคลุมพื้นที่บริเวณแนวปะการังของหมู่เกาะสุรินทร์ ในเดือน
มีนาคม 2549

ตัวอ่อนปะการังที่ลงเกาะใหม่บนพื้นที่ว่างในธรรมชาติที่มีขนาดเส้นผ่าศูนย์กลางของตัวอ่อนปะการังน้อยกว่า 0.5 เซนติเมตร

การศึกษาการลงเกาะใหม่ของตัวอ่อนปะการัง (juvenile coral) ที่มีขนาดเส้นผ่าศูนย์กลางน้อยกว่า 0.5 เซนติเมตร (ฤกษ์ 83) หลังจากการเกิดคลื่นสึนามิ 1 ปี โดยศึกษาข้อมูลในภาคสนามในเดือนมกราคม 2549 และเดือนมีนาคม 2549 ด้วยวิธีแบบสุ่มเลือกในพื้นที่ขนาดเด็ก ในแต่ละ quadrat มีพื้นที่ 0.04 ตารางเมตร ศึกษาในพื้นที่รวมทั้งหมด 12 ตารางเมตร เพื่อวิเคราะห์การแพร่กระจายของตัวอ่อนปะการังบนพื้นที่ว่างในแนวปะการัง จากผลการวิเคราะห์ 3 พารามิเตอร์ คือ (1) การแพร่กระจายของตัวอ่อนรุ่นใหม่ที่ลงเกาะในธรรมชาติ (juvenile coral) (2) การลงเกาะของตัวอ่อนปะการังรุ่นใหม่บนพื้นธรรมชาติ และ (3) สิ่งมีชีวิตอื่น ๆ บนพื้นที่ว่างในธรรมชาติ

การแพร่กระจายของตัวอ่อนรุ่นใหม่ในธรรมชาติ (*juvenile coral*) การแพร่กระจายของตัวอ่อนปะการังรุ่นใหม่ที่มีการลงเกาะ (*juvenile coral*) บนพื้นที่ว่าง ด้วยวิธีเลือกสุ่มในพื้นที่ศึกษา 12 ตารางเมตร บริเวณแนวปะการังอ่าวจาก อ่าวแม่ยาย อ่าวสุเทพ อ่าวพักกาด และเกาะตอรินลา พนบว่ามีการลงเกาะใหม่ของตัวอ่อนปะการังบนพื้นที่ว่างในเดือนมกราคม 2549 มีค่าเฉลี่ย 5.83 ± 1.11 , 7.15 ± 1.35 , 2.50 ± 0.13 , 1.67 ± 0.83 และ 0.33 ± 0.12 โคลoni ต่อตารางเมตร และเดือนมีนาคม 2549 มีการลงเกาะของตัวอ่อนปะการังบนพื้นที่ว่าง 4.17 ± 0.56 , 3.34 ± 0.11 , 4.17 ± 0.28 , 14.17 ± 0.28 และ 5.00 ± 0.48 โคลoni ต่อตารางเมตร ตามลำดับ ความหนาแน่นของตัวอ่อนที่ลงเกาะใหม่ในแต่ละพื้นที่ศึกษาไม่มีความแตกต่างกัน (Two-way ANOVA, $P > 0.05$) แต่ความหนาแน่นของตัวอ่อนที่ลงเกาะในแต่ละช่วงเวลา ที่ศึกษานั้นมีความแตกต่างกัน (Two-way ANOVA, $P < 0.05$) (คุณภาพและอุณหภูมิในภาคพนวก ตาราง 15) ในช่วงระยะเวลาทำการสำรวจทั้ง 2 เดือนพบว่าความหลากหลายของชนิดตัวอ่อนปะการังที่ลงเกาะมี 4 สถาุต คือ *Acropora*, *Pocillopora*, *Fungia* และ *Porites* ดังแสดงในภาพ 84 และ 85

ตัวอ่อนปะการังรุ่นใหม่ (*juvenile coral*) ที่ลงเกาะบนพื้นที่ว่างในธรรมชาติกลุ่ม Broadcasting species มีการแพร่กระจายในขอบเขตที่กว้างมากกว่ากลุ่ม Brooding species แต่มีความหนาแน่นของตัวอ่อนปะการังที่ลงเกาะใกล้เคียงกัน โดยความหนาแน่นของ

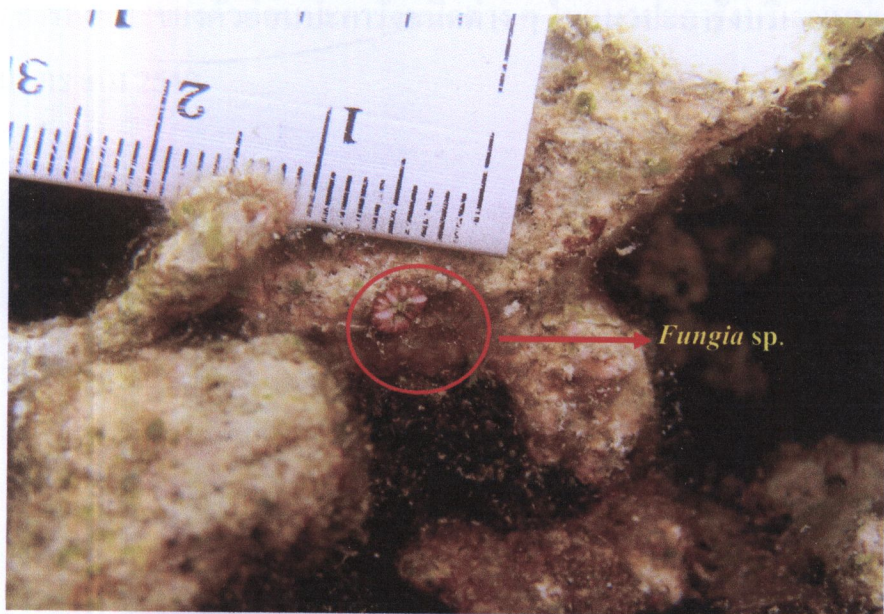
ตัวอ่อนปะการังในเดือนมกราคมของทั้ง 2 กลุ่ม มีค่าเฉลี่ย 1.58 ± 0.19 และ 1.39 ± 0.56 โคลอนิต่อตารางเมตร ตามลำดับ และเดือนมีนาคมมีค่าเฉลี่ย 2.57 ± 0.64 และ 1.25 ± 0.24 โคลอนิต่อตารางเมตร ตามลำดับ ดังแสดงในภาพ 86 ซึ่งความหนาแน่นของปะการังทั้ง 2 กลุ่มนี้มีความแตกต่างกัน (Two-way ANOVA, $P > 0.05$) (คุณภาพและอุบัติเหตุในภาคผนวก ตาราง 16)

รูปแบบการลงเกาะของตัวอ่อนปะการังบนพื้นที่ว่างในธรรมชาติ ตัวอ่อนปะการังลงเกาะบนพื้นที่ว่างได้ทุกประเภทในแนวปะการัง โดยพบว่ามีการลงเกาะของตัวอ่อนปะการังบนพื้นที่เป็นปะการังตาย (dead coral) มากที่สุด รองลงมาคือพื้นหิน (rock) พื้นเศษซากปะการัง (rubble) และพื้นเศษซากปะการังปนทราย (rubble and sand) การลงเกาะของตัวอ่อนปะการังในเดือนมกราคมเฉลี่ย $91.50 \pm 4.81\%$, $6.00 \pm 4.89\%$ และ $2.50 \pm 2.04\%$ ตามลำดับ และในเดือนมีนาคมมีการลงเกาะเฉลี่ย $92.00 \pm 5.14\%$, $3.00 \pm 2.89\%$ และ $5.00 \pm 4.04\%$ ตามลำดับ ดังแสดงในภาพ 87 และ 88 ดังนั้นปริมาณตัวอ่อนปะการังที่ลงเกาะบนพื้นที่ว่างแต่ละประเภทจะมีความแตกต่างกันในแต่ละพื้นที่ (Two-way ANOVA, $P > 0.05$) (คุณภาพและอุบัติเหตุในภาคผนวก ตาราง 17)

สิ่งมีชีวิตอื่น ๆ ที่ลงเกาะบนพื้นที่ว่างในธรรมชาติ จากการศึกษาความหลากหลายของสิ่งมีชีวิตอื่น ๆ ที่ปกคลุมในพื้นที่ว่างแนวปะการัง พบร่วมกันในเดือนมกราคม 2549 สิ่งมีชีวิตอื่น ๆ ที่ลงเกาะมากที่สุด คือ กลุ่มสาหร่ายแบบเส้นสาย รองลงมา คือ กลุ่มฟองน้ำ มีค่าเฉลี่ย $34.73 \pm 4.36\%$ และ $1.96 \pm 0.53\%$ แต่ยังมีพื้นที่ว่างที่ตัวอ่อนปะการังสามารถลงเกาะได้เฉลี่ย $64.48 \pm 4.30\%$ สำหรับในเดือนธันวาคม 2549 พบร่วมกันในเดือนธันวาคม 2549 พบสาหร่ายแบบเส้นสายปกคลุมบนพื้นที่ว่างเพิ่มมากขึ้นเป็น $48.20 \pm 8.90\%$ และและกลุ่มฟองน้ำ มีค่าเฉลี่ย $0.31 \pm 0.25\%$ ตามลำดับ ทำให้มีพื้นที่ว่างที่ตัวอ่อนปะการังสามารถลงเกาะได้เฉลี่ย $51.55 \pm 8.77\%$ ดังแสดงในภาพ 89 และ 90

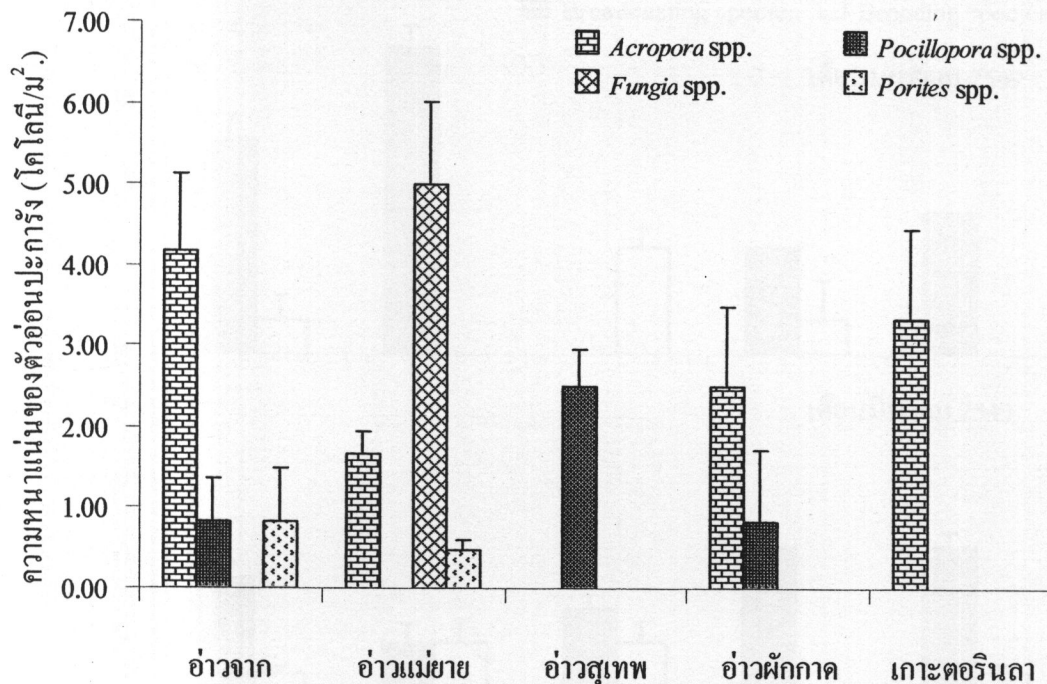


ก ตัวอ่อนปะการังดอกกะหลา (Pocillopora damicornis) ที่เริ่มพัฒนาการเจริญบนผิวพื้นที่ว่างในแนวปะการัง

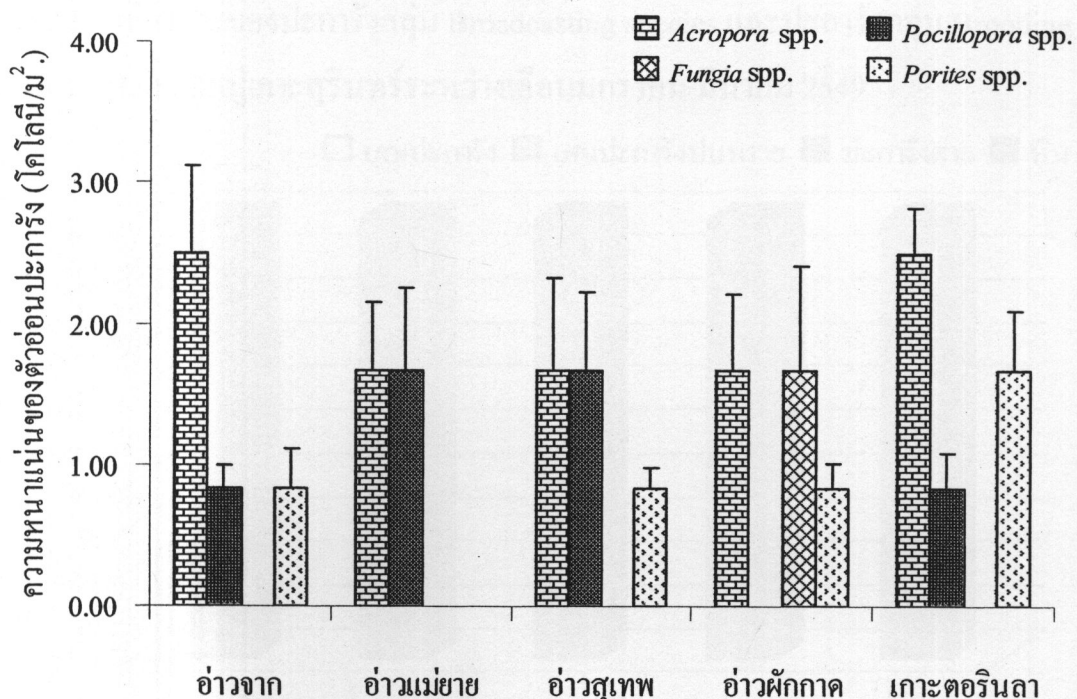


ข ตัวอ่อนปะการังดอกเห็ด (Fungia sp.) ลงเกาะบนซากปะการังตาย

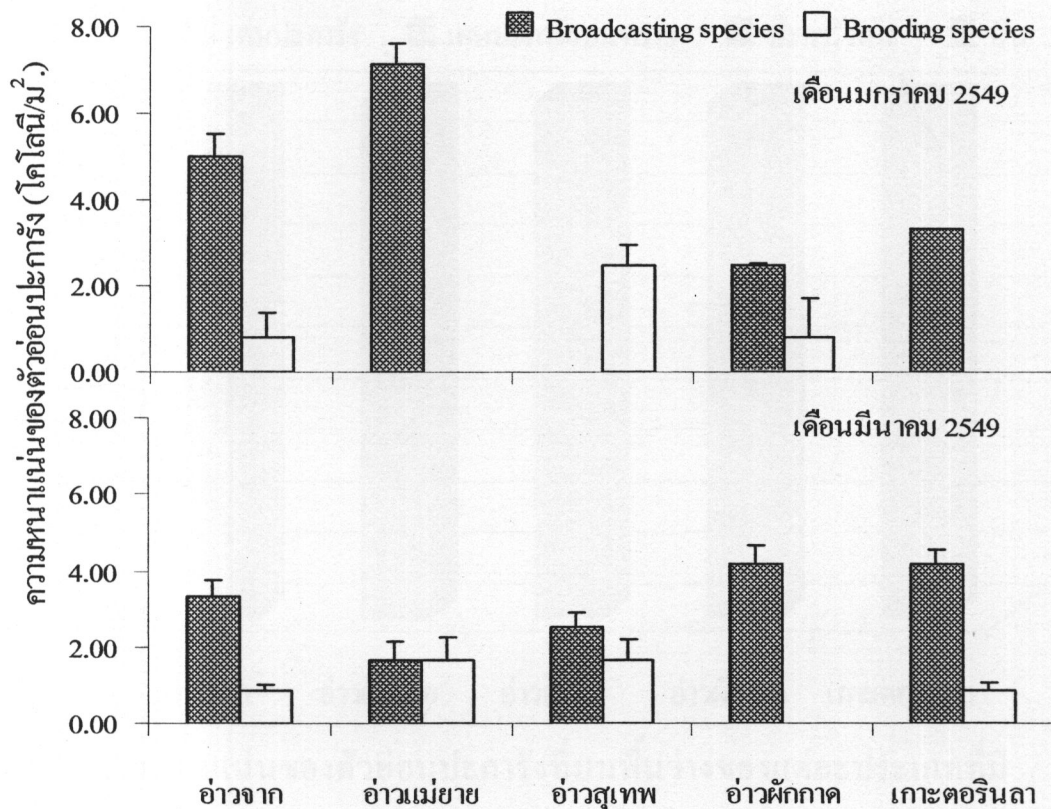
ภาพ 83 การลงเกาะของตัวอ่อนปะการังขนาดเส้นผ่านศูนย์กลางน้อยกว่า 0.50 เซนติเมตร



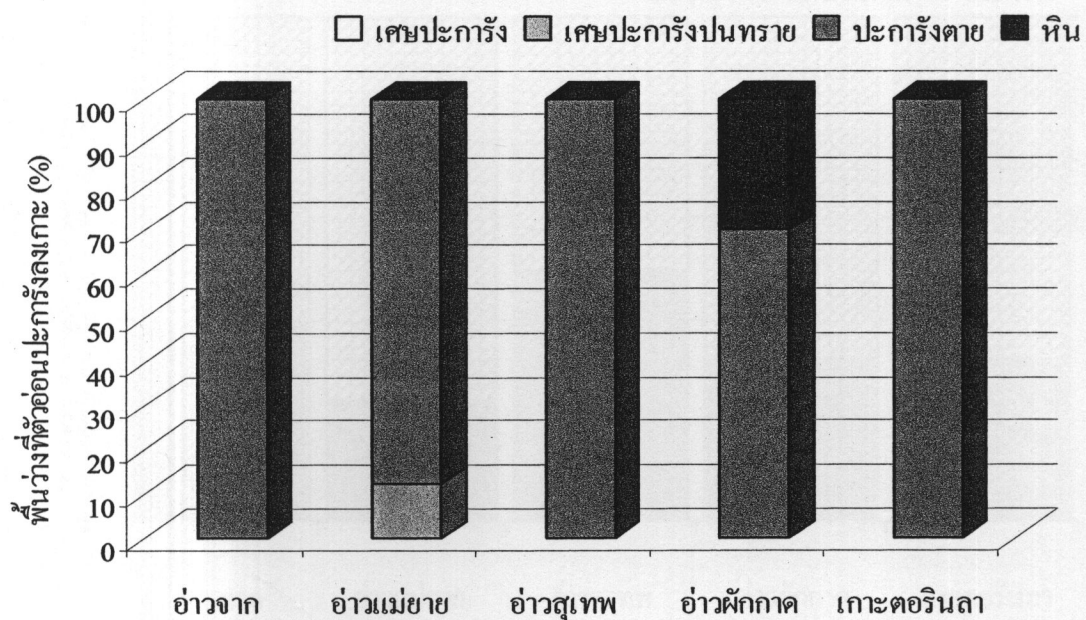
ภาพ 84 การลง Kearse ของตัวอ่อนปะการังชนิดต่าง ๆ ในแนวปะการังบริเวณหมู่เกาะสุรินทร์ ในเดือนมกราคม 2549



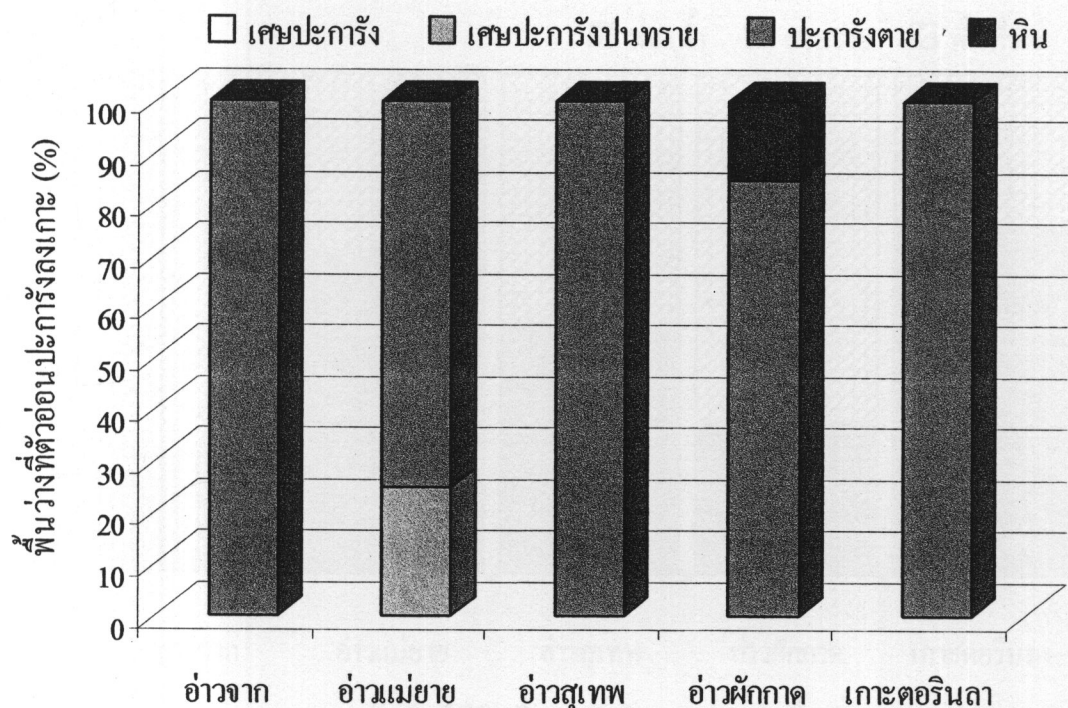
ภาพ 85 การลง Kearse ของตัวอ่อนปะการังชนิดต่าง ๆ ในแนวปะการังบริเวณหมู่เกาะสุรินทร์ ในเดือนมีนาคม 2549



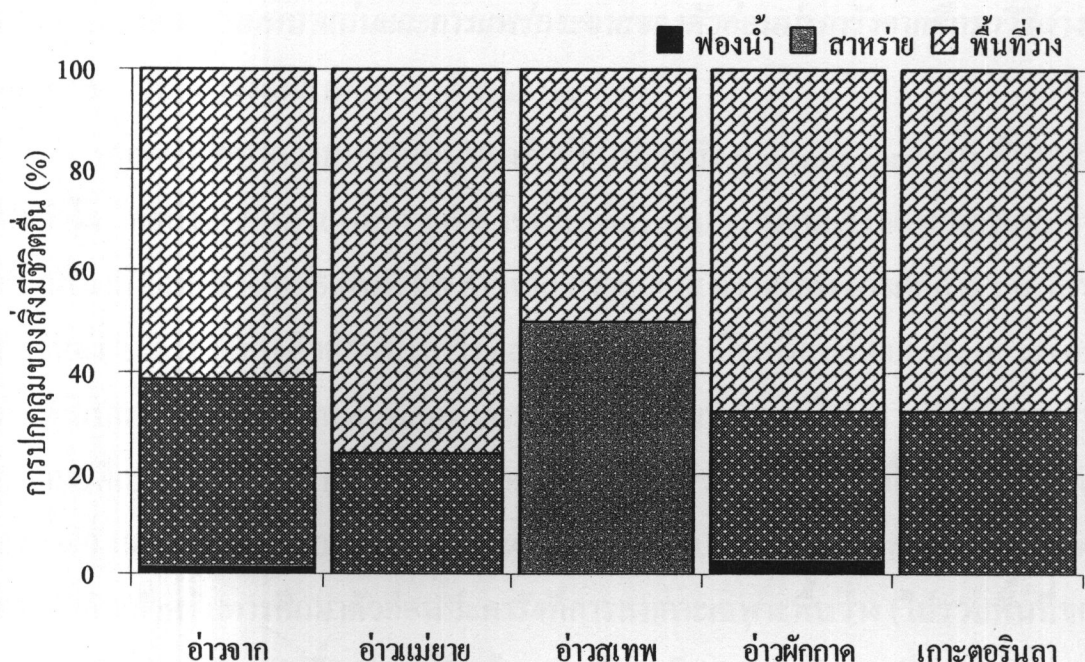
ภาพ 86 การลงเกาของปะการังกลุ่ม Broadcasting species และปะการังกลุ่ม Brooding species ในบริเวณหมู่เกาะสุรินทร์ระหว่างเดือนมีนาคม-กุมภาพันธ์ 2549



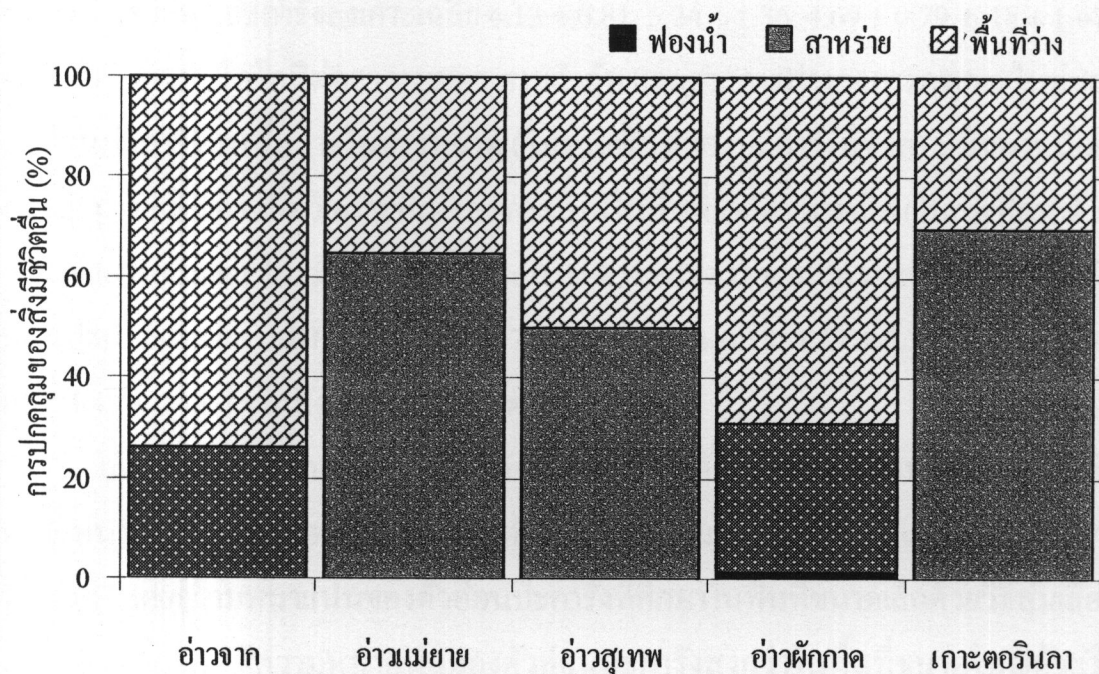
ภาพ 87 ความหนาแน่นของตัวอ่อนปะการังที่บันทึกไว้ว่างของแต่ละประเภทที่มีศักยภาพต่อการลงเกาในเดือนมีนาคม 2549



ກາພ 88 ຄວາມໜ້າແນ່ນຂອງຕົວອ່ອນປະກາຮັງທີ່ບິນພື້ນວ່າງຂອງແຕ່ລະປະເກດທີ່ມີ
ຫັກຍາພຕ່ອກາລົງເກາະໃນເດືອນມິນາຄມ 2549



ກາພ 89 ຄວາມໜ້າກຫາຍຂອງກຸລົມສິ່ງມີຈິວຕົ້ນ ຈຸ່າທີ່ເຂົ້າມາແກ່ແຍ່ງພື້ນທີ່ກາລົງເກາະຂອງຕົວ
ອ່ອນປະກາຮັງໃນເດືອນກຣາຄມ 2549



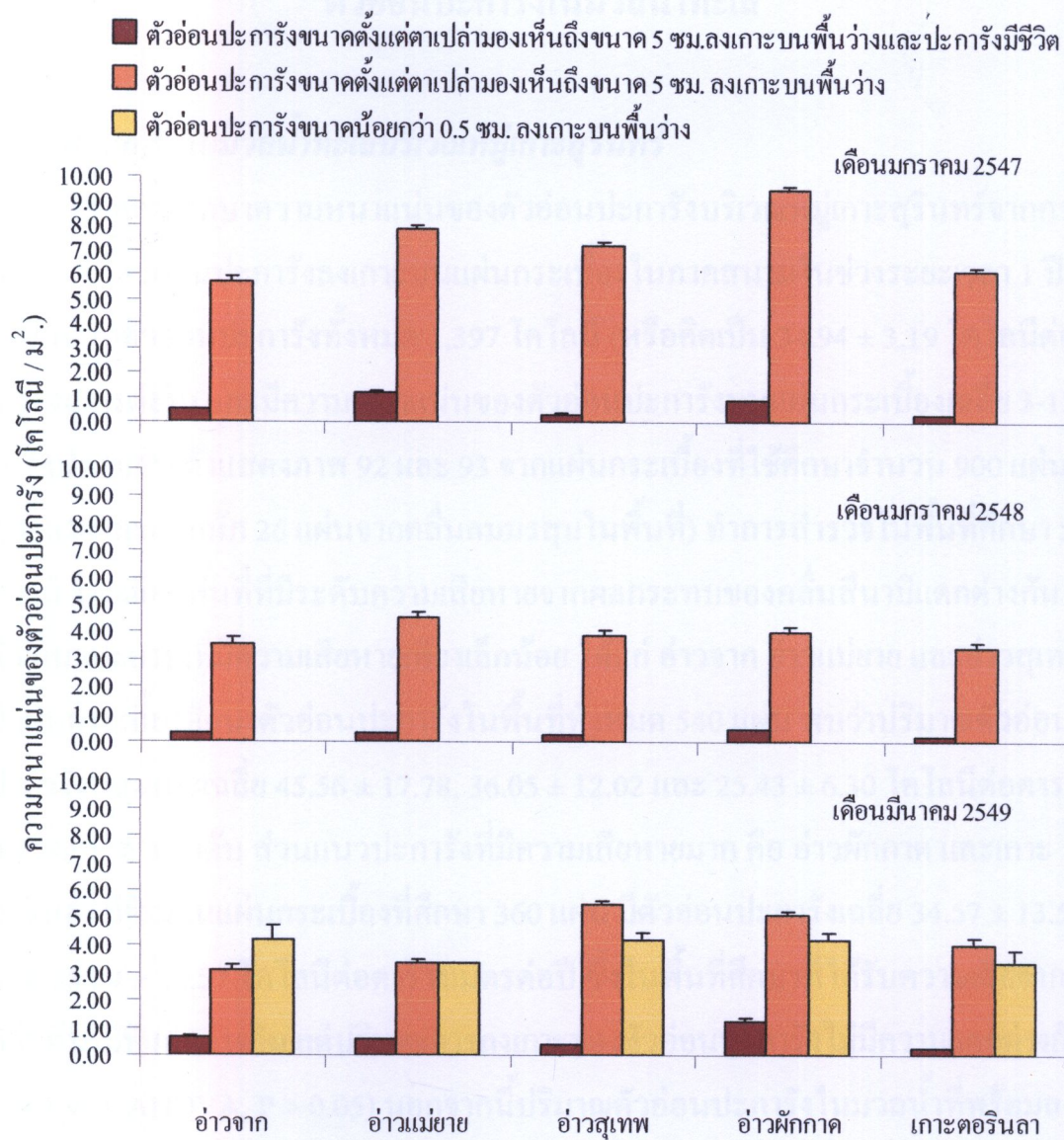
ภาพ 90 ความหลากหลายของกลุ่มสิ่งมีชีวิตอื่น ๆ ที่เข้ามาแก่งแย่งพื้นที่การลงเกะของตัวอ่อนปะการังในเดือนมีนาคม 2549

การเปรียบเทียบความหนาแน่นและการแพร่กระจายของตัวอ่อนปะการังจากศึกษาวิธีต่าง ๆ ในพื้นที่แนวปะการังอุทยานแห่งชาติหมู่เกาะสุรินทร์

จากการศึกษาความหนาแน่นของตัวอ่อนปะการัง (juvenile coral) บนพื้นแนวปะการัง โดยนำมาเชื่อมโยงกับการสำรวจพื้นที่ที่มีระดับความรุนแรงของผลกระทบจากคลื่นสูงที่แตกต่างกัน 5 พื้นที่ คือ อ่าวจาก อ่าวแม่ยาย อ่าวสุเทพ อ่าวผักกาด และเกาะตอรินลา ซึ่งการสำรวจตัวอ่อนปะการังที่ลงเกะในพื้นที่ เมื่อเปรียบเทียบการลงเกะของตัวอ่อนบนพื้นธรรมชาติในพื้นที่ศึกษาตามขนาดของพื้นที่สำรวจในแนวปะการัง พบร่วมกับจากการศึกษาด้วยวิธี belt transect ความหนาแน่นของตัวอ่อนปะการังที่ลงเกะมีค่าเฉลี่ย 0.49 ± 0.10 , 0.69 ± 0.26 , 0.31 ± 0.04 , 0.84 ± 0.23 และ 0.23 ± 0.28 โโคโลนีต่อตารางเมตร ตามลำดับ สำหรับการศึกษาตัวอ่อนปะการังที่การลงเกะเฉพาะพื้นที่ว่าง (ไม่รวมพื้นที่ของปะการังมีชีวิต) ที่มีขนาดตั้งแต่ 0.05 จนถึง 5.0 เซนติเมตร ซึ่งจะจำกัดขนาดพื้นที่ศึกษาด้วยวิธี random quadrat โดยมีขนาด quadrat 0.25 ตารางเมตร พบร่วมกับความ

หนาแน่นตัวอ่อนปะการังลงเกาะเฉลี่ย 4.13 ± 0.81 , 5.24 ± 1.36 , 4.69 ± 0.79 , 6.18 ± 1.67 และ 3.73 ± 0.27 โโคโนนิต่อตารางเมตร ตามลำดับ และจากการสำรวจการลงเกาะใหม่ของตัวอ่อนปะการังบนพื้นที่ในธรรมชาติ (ไม่รวมพื้นที่ของปะการังมีชีวิต) ที่มีขนาดน้อยกว่า 0.50 เซนติเมตร เพื่อวิเคราะห์การลงเกาะใหม่ในพื้นที่จำกัดขนาดเล็ก (ในการศึกษาด้วยวิธี random quadrat โดยมีขนาด quadrate 0.04 ตารางเมตร) พบว่าความหนาแน่นของตัวอ่อนปะการังที่ลงเกาะใหม่มีค่าเฉลี่ย 3.07 ± 0.56 , 3.43 ± 0.18 , 4.17 ± 0.28 , 4.17 ± 0.23 และ 3.43 ± 0.48 โโคโนนิต่อตารางเมตร ตามลำดับ

เมื่อเปรียบเทียบการลงเกาะของตัวอ่อนปะการังด้วยวิธีการศึกษาทั้ง 3 แบบ พบว่าความหนาแน่นของตัวอ่อนปะการังในแต่ละพื้นที่มีความแตกต่างกัน (Two-way ANOVA, $P > 0.01$) โดยความหนาแน่นของตัวอ่อนปะการังที่ศึกษาในพื้นที่ขนาดเล็กด้วยวิธีสุ่มเลือก (random quadrat) มีความหนาแน่นของตัวอ่อนปะการังสูงกว่าในพื้นที่ขนาดใหญ่ด้วยวิธี belt transect อย่างมีนัยสำคัญ (Two-way ANOVA, $P < 0.01$) (ดูรายละเอียดในภาคผนวกตาราง 18) ดังแสดงในภาพ 91



ภาพ 91 ความหนาแน่น และการแพร่กระจายของตัวอ่อนปะการัง บริเวณแนวปะการัง
หมู่เกาะสุรินทร์

ตัวอ่อนปะการังในมวลน้ำทะเล

ตัวอ่อนปะการังในมวลน้ำทะเลบริเวณหมู่เกาะสุรินทร์

จากการศึกษาความหนาแน่นของตัวอ่อนปะการังบริเวณหมู่เกาะสุรินทร์จากการทดลองให้ตัวอ่อนปะการังลงเก็บบนแผ่นกระเบื้องในภาชนะในช่วงระยะเวลา 1 ปี พบจำนวนตัวอ่อนปะการังทั้งหมด $1,397 \pm 3.19$ โคลอน尼 (หรือคิดเป็น 34.94 ± 3.19 โคลอน尼ต่อตารางเมตรต่อปี) และมีความหนาแน่นของตัวอ่อนปะการังบนแผ่นกระเบื้องเฉลี่ย $3-15$ โคลอน尼ต่อแผ่น ดังแสดงภาพ 92 และ 93 จากแผ่นกระเบื้องที่ใช้ศึกษาจำนวน 900 แผ่น (สูญหายและแตกหัก 26 แผ่นจากคลื่นลมแรงสูนในพื้นที่) ทำการสำรวจในพื้นที่ศึกษา 5 สถานี โดยเลือกพื้นที่ที่มีระดับความเสียหายจากผลกระทบของคลื่นสึนามิแตกต่างกัน คือ แนวปะการังที่มีความเสียหายเพียงเล็กน้อย ได้แก่ อ่าวจาก อ่าวแม่ยาย และอ่าวสุเทพ มีแผ่นกระเบื้องศึกษาตัวอ่อนปะการังในพื้นที่ทั้งหมด 540 แผ่น พนว่าปริมาณตัวอ่อนปะการังที่ลงเกาะเฉลี่ย 45.56 ± 17.78 , 36.05 ± 12.02 และ 25.43 ± 6.30 โคลอน尼ต่อตารางเมตรต่อปี ตามลำดับ ส่วนแนวปะการังที่มีความเสียหายมาก คือ อ่าวพักกาด และเกาะตอรินลา มีจำนวนแผ่นกระเบื้องที่ศึกษา 360 แผ่น มีตัวอ่อนปะการังเฉลี่ย 34.57 ± 13.58 และ 35.39 ± 10.57 โคลอน尼ต่อตารางเมตรต่อปี ซึ่งในพื้นที่ศึกษาที่ได้รับความเสียจากคลื่นสึนามิที่แตกต่างกัน แต่ปริมาณการลงเกาะของตัวอ่อนปะการังไม่มีความแตกต่างกัน (Two-way ANOVA, $P > 0.05$) นอกจากนี้ปริมาณตัวอ่อนปะการังในมวลน้ำที่พร้อมลงเกาะบนพื้นธรรมชาติมีความแปรปรวนตามช่วงเวลาหรือฤดูกาล ซึ่งจะสอดคล้องกับช่วงเวลาที่โคลอนีปะการังปล่อยเซลล์สืบพันธุ์ จากการศึกษาในช่วงเดือนเมษายน 2548 - พฤษภาคม 2549 พนตัวอ่อนปะการังลงเกาะในแต่ละเดือนมีความหนาแน่น 18.58 ± 3.91 , 48.57 ± 10.49 , 47.22 ± 8.09 , 56.73 ± 12.60 และ 5.31 ± 0.72 โคลอน尼ต่อตารางเมตร ตามลำดับ ซึ่งจะมีปริมาณของตัวอ่อนมากทั้ง 2 ช่วงเวลาของปี คือ ช่วงมรสุม (เดือนกรกฎาคม-เดือนพฤษจิกายน 2548) และในช่วงฤดูร้อน (เดือนมีนาคม-เดือนมีนาคม 2549) มีความหนาแน่นเฉลี่ย 48.57 ± 10.49 และ 56.73 ± 12.60 โคลอนิต่อตารางเมตร แต่ระดับ

ความหนาแน่นของตัวอ่อนปะการังที่ลงเกาะมีความแตกต่างกันตามช่วงเวลาอย่างมีนัยสำคัญ (Two-way ANOVA, $P < 0.05$) (คุณละอิจในภาคพนวก ตาราง 19) ดังแสดงในภาพ 94 ชนิดตัวอ่อนของปะการังในพื้นที่หมู่เกาะสุรินทร์ส่วนใหญ่เป็นปะการังสกุล *Acropora, Pocillopora, Porites* เป็นกลุ่มหลักและยังพบปะการังชนิดอื่น ๆ มีความหนาแน่นคิดเป็น 35.96%, 12.43%, 41.45% และ 10.16% ของพื้นที่แนวปะการัง (หรือมีความหนาแน่น $13.02 \pm 2.23, 4.50 \pm 0.98, 15.01 \pm 3.22$ และ 3.68 ± 1.98 โคลอนต่อตารางเมตร ต่อปี ตามลำดับ) ตัวอ่อนปะการังในสกุล *Porites* พบมากที่สุดในบริเวณอ่าวเมเมย เมื่อเปรียบเทียบกับพื้นที่ศึกษาอื่น ๆ โดยมีเฉลี่ย 16.11 ± 1.98 โคลอนต่อตารางเมตรต่อปี ส่วนตัวอ่อนปะการังปะการังสกุล *Acropora* พบมากที่สุดในบริเวณอ่าวจากมีค่าเฉลี่ย 12.64 ± 1.51 โคลอนต่อตารางเมตรต่อปี และตัวอ่อนปะการังสกุล *Pocillopora* พบมากที่สุดในบริเวณอ่าวผ้ากากมีค่าเฉลี่ย 6.07 ± 0.58 โคลอนต่อตารางเมตรต่อปี ซึ่งปริมาณตัวอ่อนปะการังที่ศึกษาในทุกพื้นที่มีความใกล้เคียงกัน (Two-way ANOVA, $P > 0.05$) แต่ในระหว่างชนิดปะการังของพื้นที่ศึกษามีความแตกต่างกันอย่างมีนัยสำคัญ (Two-way ANOVA, $P < 0.05$) (คุณละอิจในภาคพนวก ตาราง 20) นอกจากนี้เมื่อสังเกตความหนาแน่นของชนิดตัวอ่อนที่พบตามช่วงเวลาหรือฤดูกาล พบว่าตัวอ่อนปะการังสกุล *Porites* พบได้ทั้งปี แต่มีปริมาณตัวอ่อนมากในช่วงเดือนพฤษภาคม-กุมภาพันธ์ โคลอมีค่าเฉลี่ย 31.33 ± 10.09 โคลอนต่อตารางเมตร ส่วนตัวอ่อนปะการังสกุล *Acropora* พบได้ตลอดทั้งปี เช่นเดียวกับปะการังสกุล *Porites* แต่ปะการังสกุล *Acropora* มีปริมาณตัวอ่อนสูงที่สุด 2 ช่วงเวลาอย่างชัดเจน คือ ในระหว่างเดือนกรกฎาคม-พฤษภาคม 2549 และในระหว่างเดือนมกราคม-มีนาคม 2549 โดยมีค่าเฉลี่ย 17.09 ± 6.62 และ 51.58 ± 9.32 โคลอนต่อตารางเมตร ส่วนตัวอ่อนปะการังสกุล *Pocillopora* จะพบสมำเสมอในทุกเดือนหรือพบได้ตลอดปี โดยมีปริมาณมากในช่วงเดือนมกราคม-มีนาคม 2549 ซึ่งมีความหนาแน่นเฉลี่ย 8.21 ± 3.54 โคลอนต่อตารางเมตร ปริมาณตัวอ่อนปะการังแต่ละชนิดมีความแปรปรวนตามช่วงเวลาหรือฤดูกาลอย่างมีนัยสำคัญ (Two-way ANOVA, $P < 0.01$) (คุณละอิจในภาคพนวก ตาราง 21) ดังแสดงในภาพ 95-99

การเปรียบเทียบปริมาณตัวอ่อนปะการังระหว่างกลุ่ม *Broadcasting species* และ *Brooding species* ในแนวปะการัง

การสืบพันธุ์แบบอาศัยเพศของปะการังมีทั้งแบบที่ออกลูกเป็นไข่ (broadcasting species) และที่ออกลูกเป็นตัว (brooding species) ในกรณีข้อบนเขตการแพร่กระจายของตัวอ่อนปะการัง (planula larva) ในมวลน้ำบริเวณแนวปะการังอ่าวจาก อ่าวแม่ยาย อ่าวสูเทพ อ่าวผักกาด และเกาะตอรินลา พบว่าความหนาแน่นของตัวอ่อนปะการังที่ลงเกาะในกลุ่ม *Broadcasting species* มีค่าเฉลี่ย 43.21 ± 17.07 , 34.57 ± 12.00 , 20.74 ± 5.99 , 24.08 ± 10.23 และ 32.43 ± 9.74 โคลอนต่อตารางเมตร ตามลำดับ ซึ่งมีค่าที่สูงกว่าตัวอ่อนปะการังกลุ่ม *Brooding species* ที่มีค่าเฉลี่ย 2.93 ± 0.63 , 1.48 ± 0.50 , 4.69 ± 0.91 , 10.00 ± 4.33 และ 4.56 ± 1.13 โคลอนต่อตารางเมตร ตามลำดับ โดยคิดเป็นสัดส่วนร้อยละ 86.32: 13.68 ของปริมาณตัวอ่อนทั้งหมด ดังนั้นปริมาณตัวอ่อนปะการังทั้ง 2 กลุ่มนี้มีการแพร่กระจายการลงเกาะในแต่ละพื้นที่ไม่มีความแตกต่างกัน (Two-way ANOVA, $P > 0.05$) และปะการัง กลุ่ม *Broadcasting species* มีความหนาแน่นของตัวอ่อนปะการังที่ลงเกาะมากกว่าปะการัง กลุ่ม *Brooding species* (Two-way ANOVA, $P < 0.05$) (คุณภาพเฉลี่ยในภาคพนวก ตาราง 22) นอกจากนี้ขอบเขตการแพร่กระจายของชนิดตัวอ่อนปะการังในแต่ละช่วงเวลาซึ่งมีความแตกต่างกันอย่างมีนัยสำคัญ (Two-way ANOVA, $P < 0.01$) (คุณภาพเฉลี่ยในภาคพนวก ตาราง 23) ดังแสดงในภาพ 100

รูปแบบการลงเกาะตัวอ่อนปะการังบนแผ่นกระเบื้องในตำแหน่งการวางที่แตกต่างกัน

การลงเกาะของตัวอ่อนปะการังบนแผ่นกระเบื้องที่มีในตำแหน่งการวางแตกต่างกัน จากการศึกษาในช่วงเดือนเมษายน 2548 ถึงพฤษภาคม 2549 พบว่าตัวอ่อนปะการังเลือกลงเกาะมากที่สุดบนแผ่นกระเบื้องที่วางในแนวอน (horizontal) 46.23% รองลงมาคือ แนวอីយ 45 องศา (oblique) 29.84% และแนวตั้ง (vertical) 23.92% โดยมีความหนาแน่นเฉลี่ย 40.52 ± 7.34 , 33.48 ± 4.26 และ 29.48 ± 5.34 โคลอนต่อตารางเมตรต่อปี ตามลำดับ ดังข้อมูลที่ปรากฏ (คุณภาพ 11) แสดงในภาพ 101 ซึ่งจำนวนตัวอ่อนปะการังที่เลือกลงเกาะ

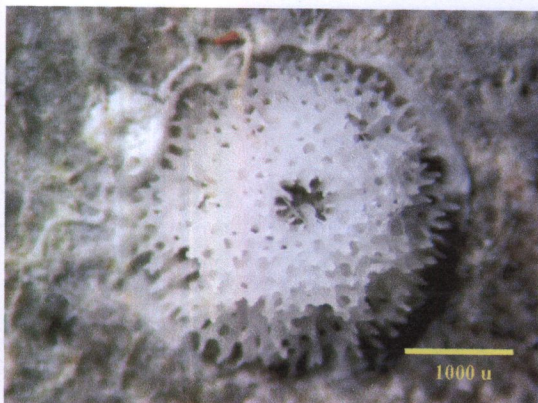
ในแต่ละตำแหน่งและแต่ละช่วงเวลาจะมีความแตกต่างกันอย่างมีนัยสำคัญ (Two-way ANOVA, $P < 0.05$) (ดูรายละเอียดในภาคผนวก ตาราง 24)

ตาราง 11

การลงเกะตัวอ่อนปะการังบนแผ่นกระเบื้องในตำแหน่งการวางที่แตกต่างกันในระหว่างเดือนเมษายน 2548 - พฤศจิกายน 2549

ช่วงเวลาที่เก็บตัวอย่าง	ความหนาแน่นของตัวอ่อนปะการังที่ลงเกะบนแผ่นกระเบื้องในตำแหน่งที่วางต่างกัน (โโค โลนี/ตารางเมตร, mean \pm SE)		
	แนวราบ (horizontal)	แนวเฉียง (oblique)	แนวตั้ง (vertical)
เมษายน-กรกฎาคม 2548	14.07 \pm 03.73	18.15 \pm 04.32	22.96 \pm 4.46
กรกฎาคม-พฤษจิกายน 2548	58.89 \pm 15.98	39.26 \pm 13.07	41.85 \pm 5.99
พฤษจิกายน 2548 - มกราคม 2549	63.70 \pm 14.59	32.96 \pm 09.70	41.11 \pm 8.63
มกราคม 2549 - มีนาคม 2549	61.11 \pm 17.82	52.22 \pm 15.12	55.56 \pm 6.59
มีนาคม 2549 - พฤษภาคม 2549	4.81 \pm 01.26	4.81 \pm 01.16	5.93 \pm 1.36

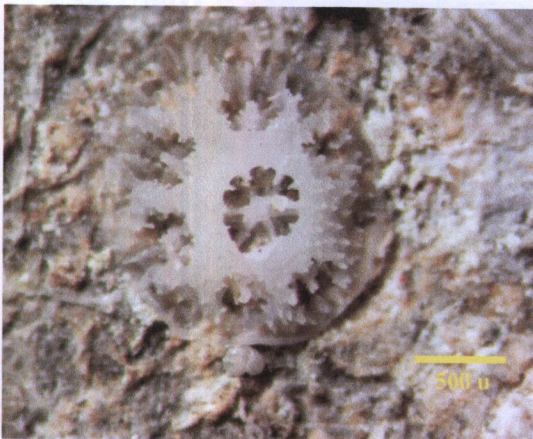
ที่มา. จากการเก็บข้อมูลตัวอ่อนปะการังที่ลงเกะบนแผ่นกระเบื้องในภาคสนามของแต่ละพื้นที่บริเวณอุทยานแห่งชาติหมู่เกาะสุรินทร์ ในระหว่างช่วงเดือนเมษายน 2548 - พฤษภาคม 2549



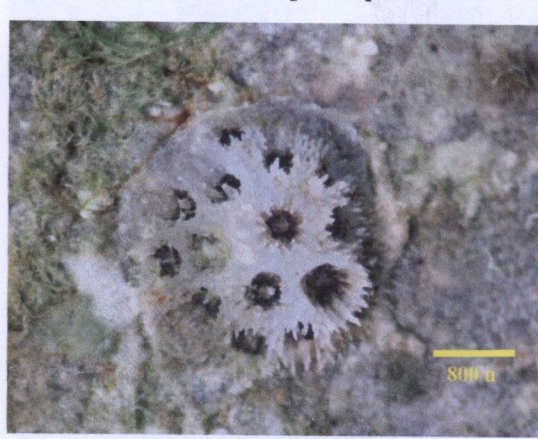
ก ปะการังผิวเกล็ดน้ำแข็ง (*Montipora* sp.)



ข ปะการังเขากวาง (*Acropora* sp.)



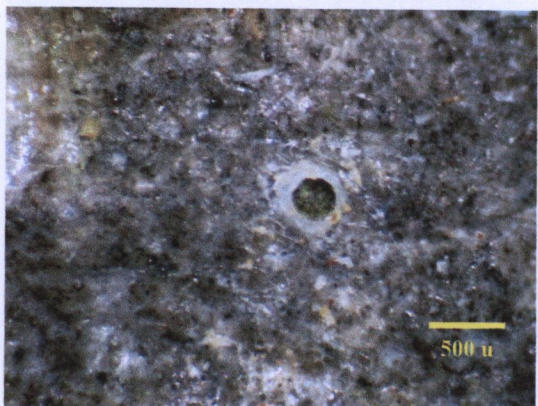
ค ปะการังดอกระหลា (*Pocillopora* sp.)



ง ปะการังเข็ม (*Seriatopora hystrix*)



จ ปะการังเกล็ดคว่า (*Stylophora pistillata*)



ฉ ปะการังหนามขมุน (*Hydnophora* sp.)

ภาพ 92 ชนิดของตัวอ่อนปะการังในพื้นที่อุทยานแห่งชาติหมู่เกาะสุรินทร์



๗ ประการังใบผักกาด (*Merulina* sp.)



๘ ประการังแกแล็กซี่ (*Galaxea* sp.)



๙ ประการังดอกเห็ด (*Fungia* sp.)



๑๐ ประการังดอกเห็ด (*Fungia* sp.) อายุ 4 เดือน



๑๑ ประการังรังผึ้ง (*Goniastrea* sp.)



๑๒ ประการังสมอง (*Platygyra* sp.)

ภาพ 92 ชนิดของตัวอ่อนประการังในพื้นที่อุทยานแห่งชาติหมู่เกาะสุรินทร์ (ต่อ)



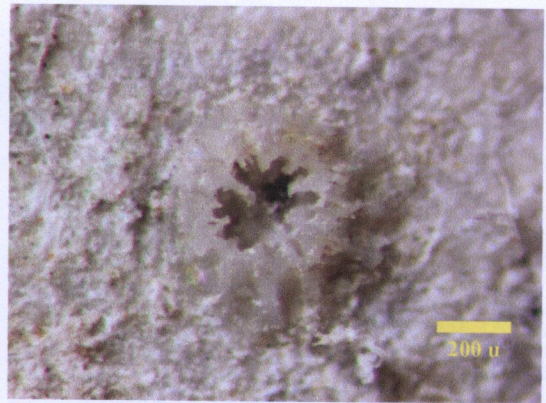
๙ ปะการังสมอง (*Platygyra* sp.)



๑๐ ปะการังโขด (*Porites* sp.)

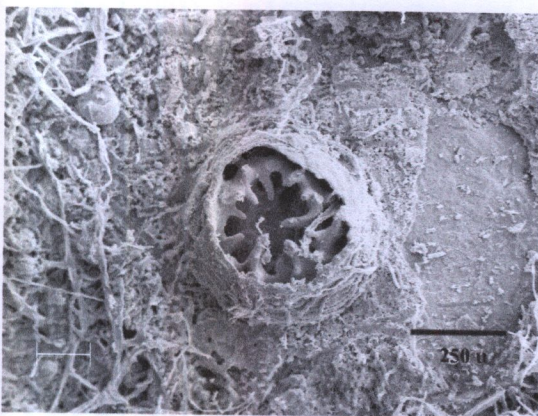


๑๑ ปะการังคอคไม้ทale (*Goniopora* sp.)

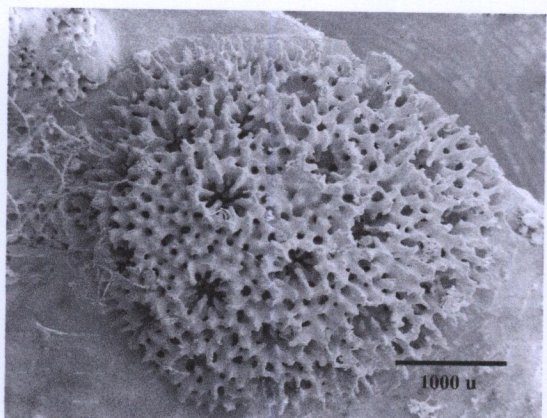


๑๒ Unidentified specimen

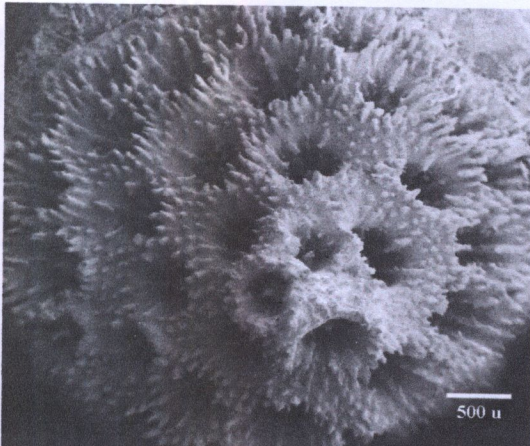
ภาพ 92 ชนิดของตัวอ่อนปะการังในพื้นที่อุทยานแห่งชาติหมู่เกาะสุรินทร์ (ต่อ)



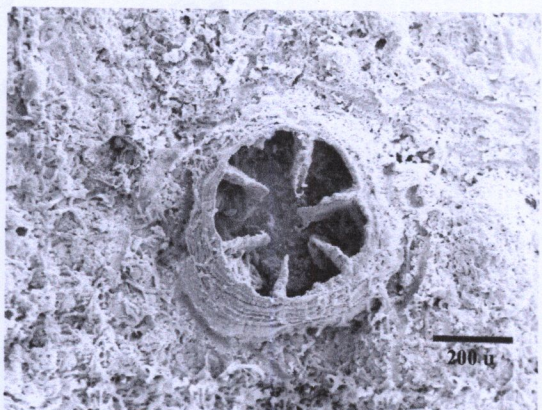
ก ปะการังผิวกลีดน้ำแข็ง (*Montipora* sp.)



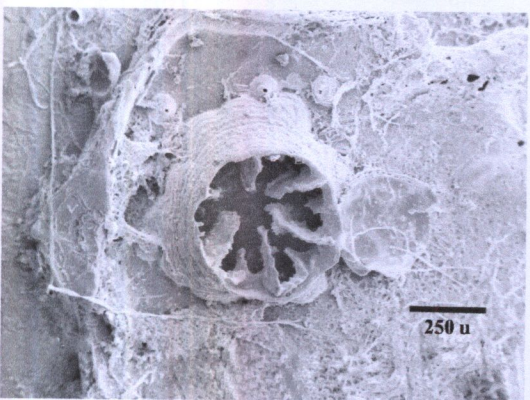
ข ปะการังขากราฟ (*Acropora* sp.)



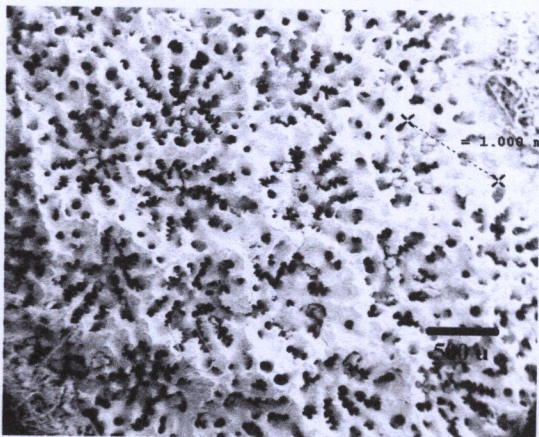
ค ปะการังดอกกระหลา (Pocillopora sp.)



ง ปะการังลูกโป่งใหญ่ (*Physogyra* sp.)

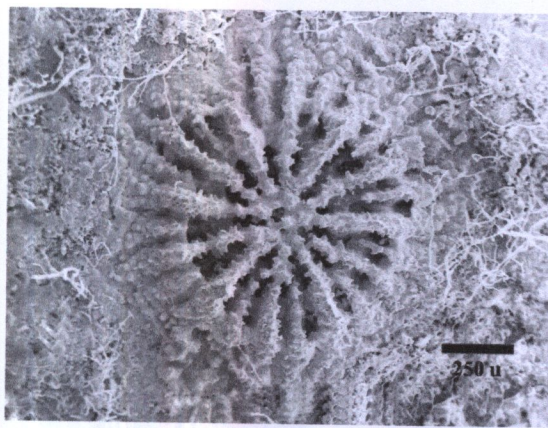


จ ปะการังห่านมขนุน (*Hydnophora* sp.)

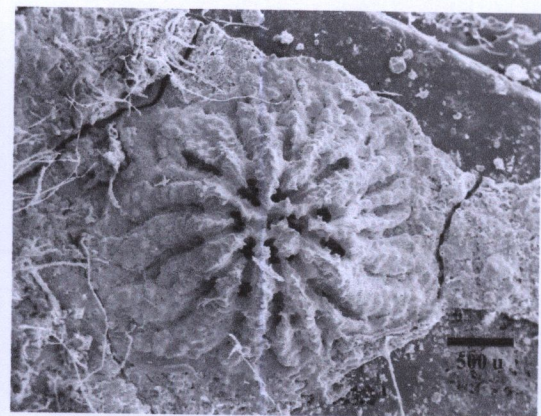


ฉ ปะการังโขด (*Porites* sp.)

ภาพ 93 โครงสร้างของตัวอ่อนปะการังจากกล้องชุลทรรศน์อิเล็กตรอนแบบสแกน
หรือ SEM (Scanning Electron Microscope)



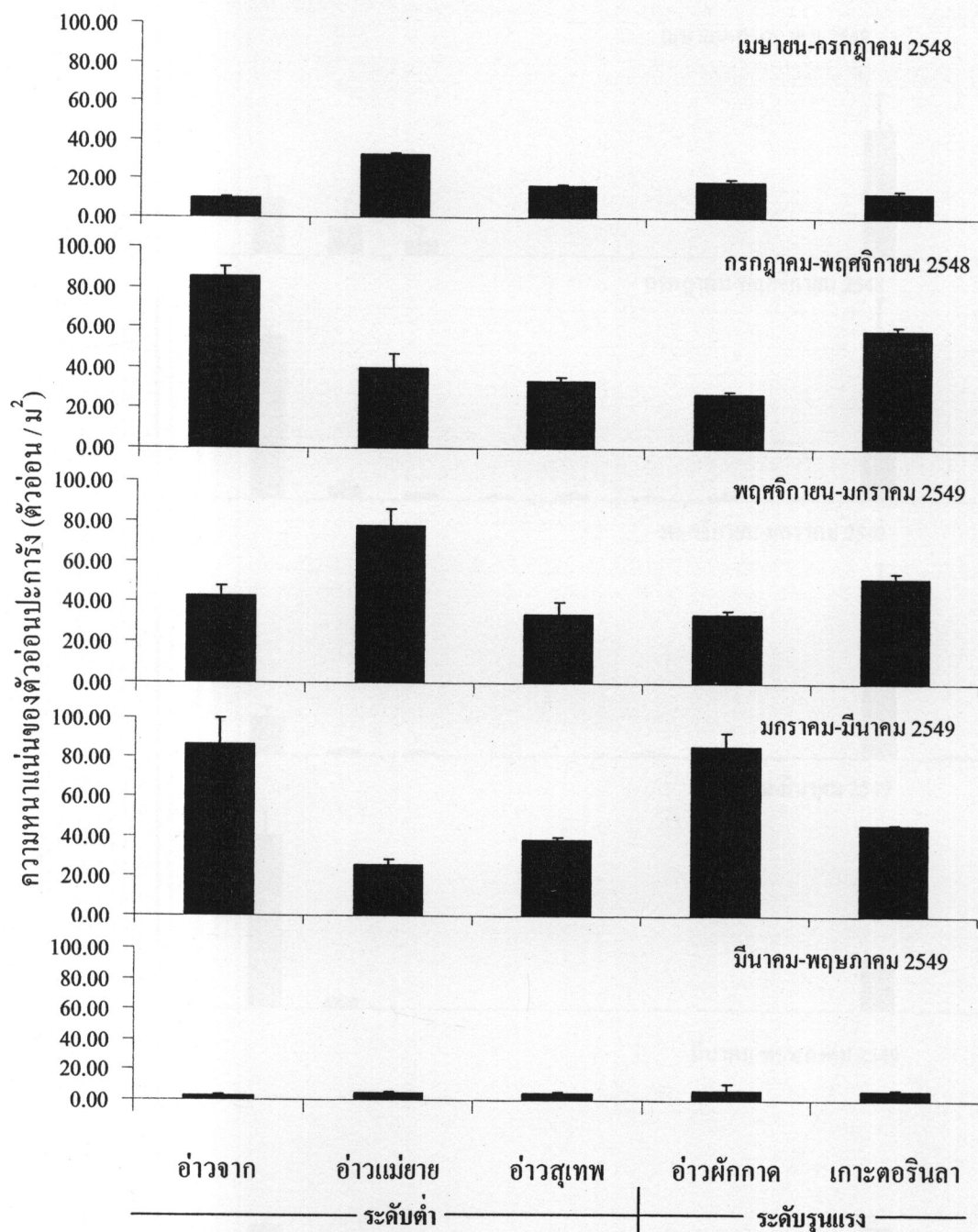
❖ Unidentified specimen



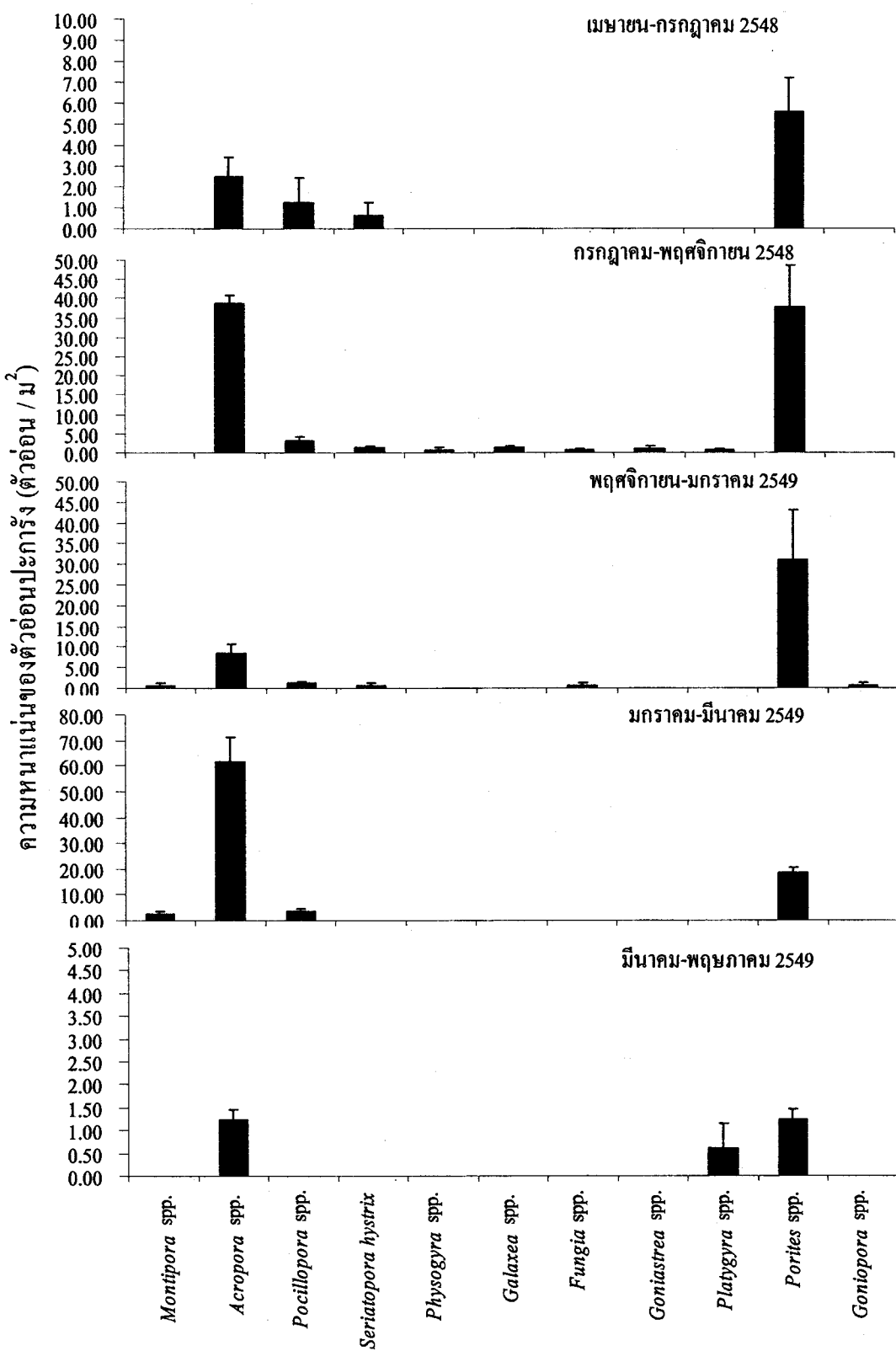
❖ Unidentified specimen

ภาพ 93 โครงสร้างของตัวอ่อนปะการังจากกล้องจุลทรรศน์อิเล็กตรอนแบบสแกน

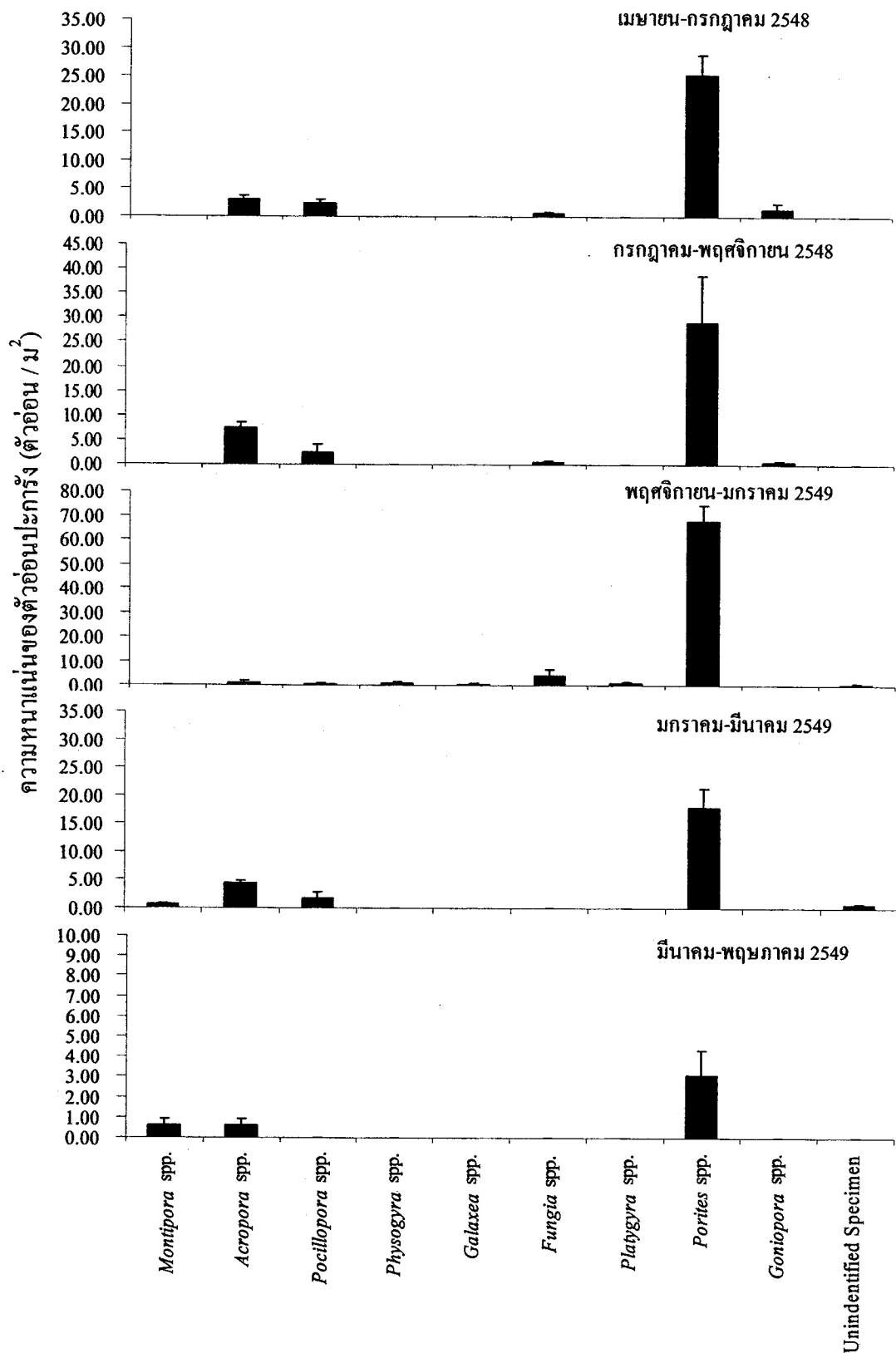
หรือ SEM (Scanning Electron Microscope) (ต่อ)



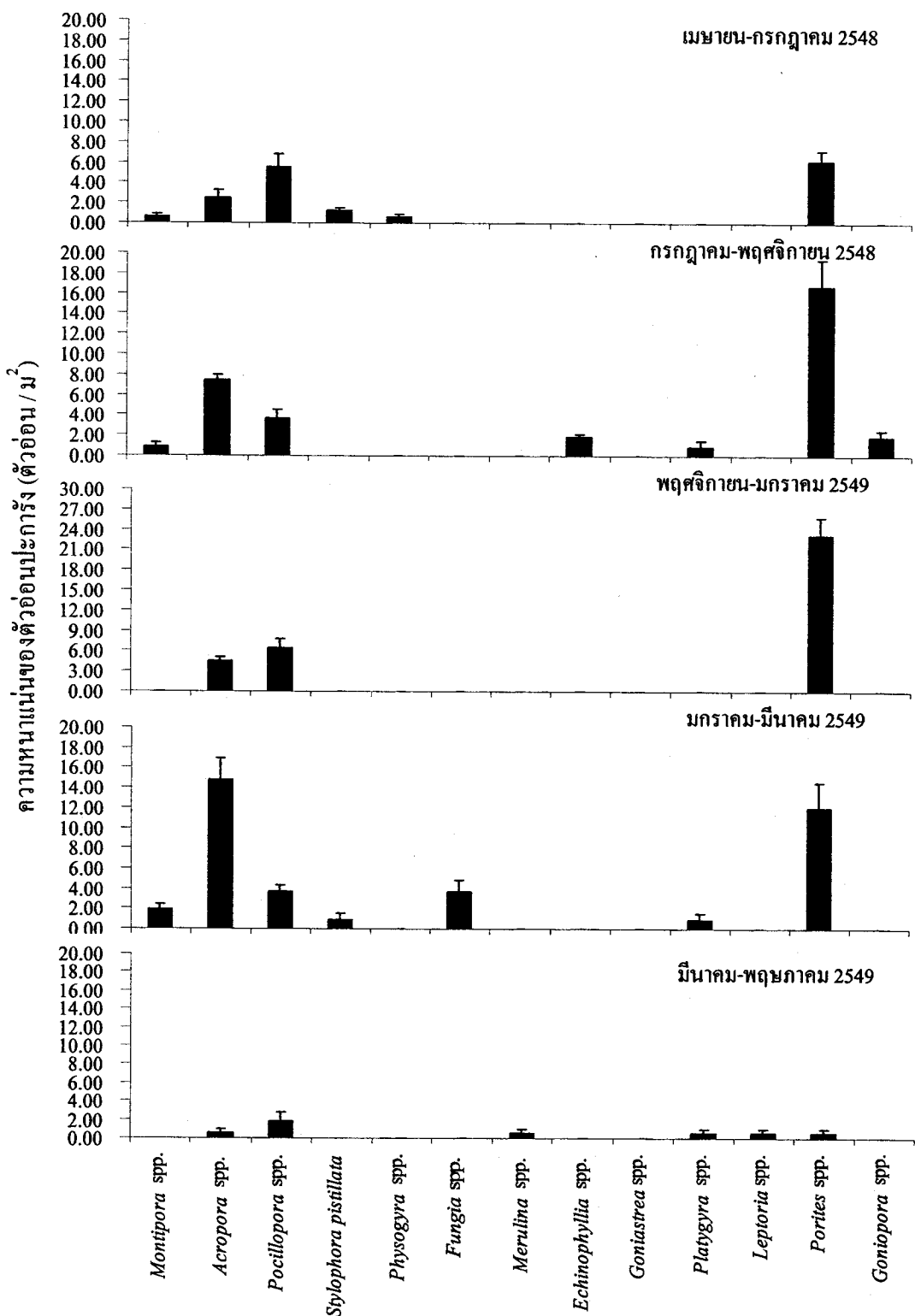
ภาพ 94 อัตราการลงเกะตัวอ่อนป่ารัง (ทุกชนิด) บนแผ่นกระเบื้องจาก 5 สถานีศึกษา ในบริเวณแนวป่ารังหมู่เกาะสุรินทร์ตามระดับความรุนแรงจากอิทธิพลคลื่นสึนามิ ในช่วงเดือนเมษายน 2548 - พฤษภาคม 2549



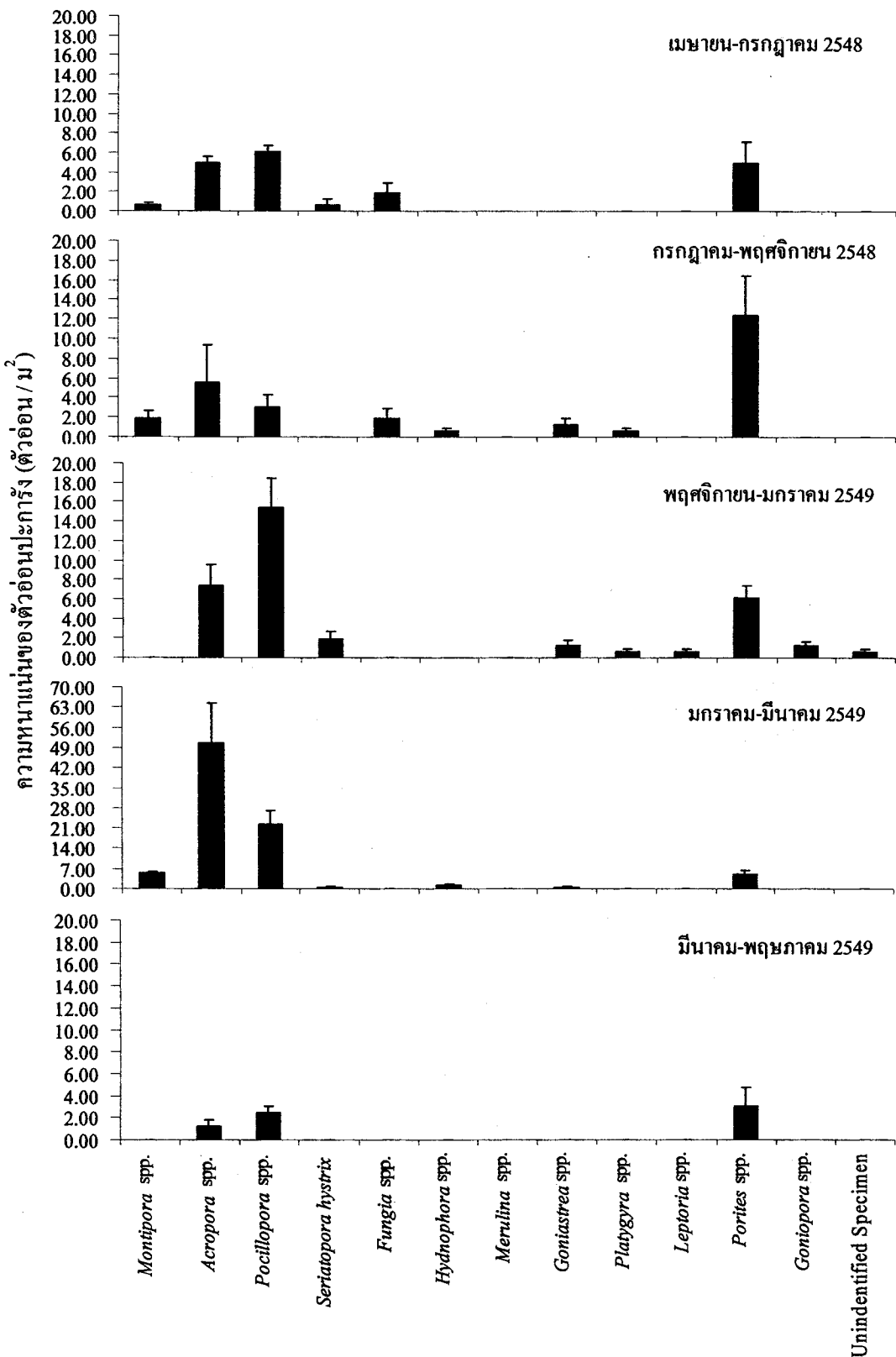
ภาพ 95 ความหนาแน่นของตัวอ่อนปะการังที่ลงเกาะบนแผ่นกระเบื้องตามช่วงเวลา
ที่ศึกษา บริเวณอ่าวจาก เกาะสุรินทร์เหนือ



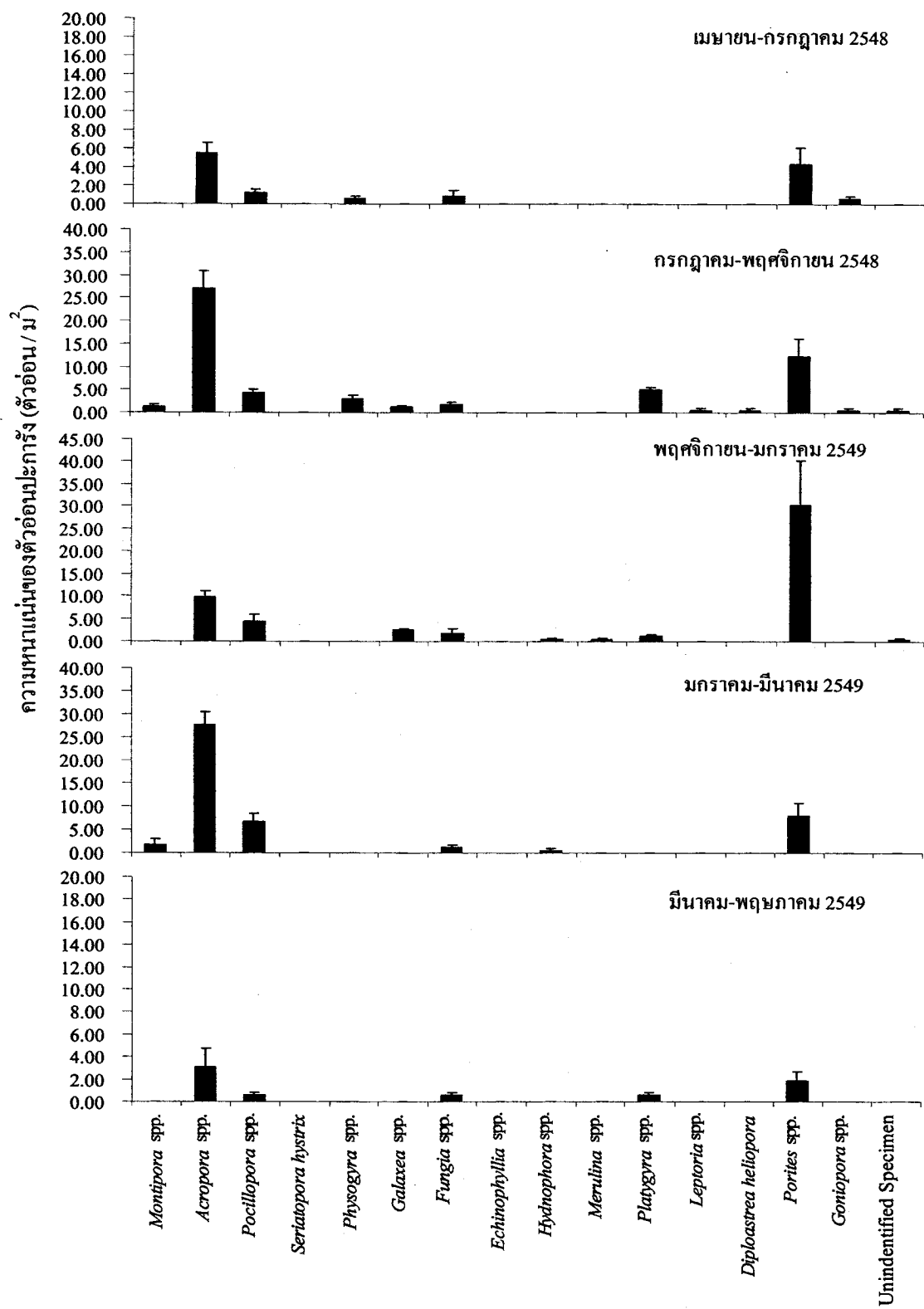
ภาพ 96 ความหนาแน่นของตัวอ่อนปะการังที่ลงเกาะบนแพ่นกระเบองตามช่วงเวลา
ที่ศึกษา บริเวณอ่าวแม่ยาย เกาะสุรินทร์เหนือ



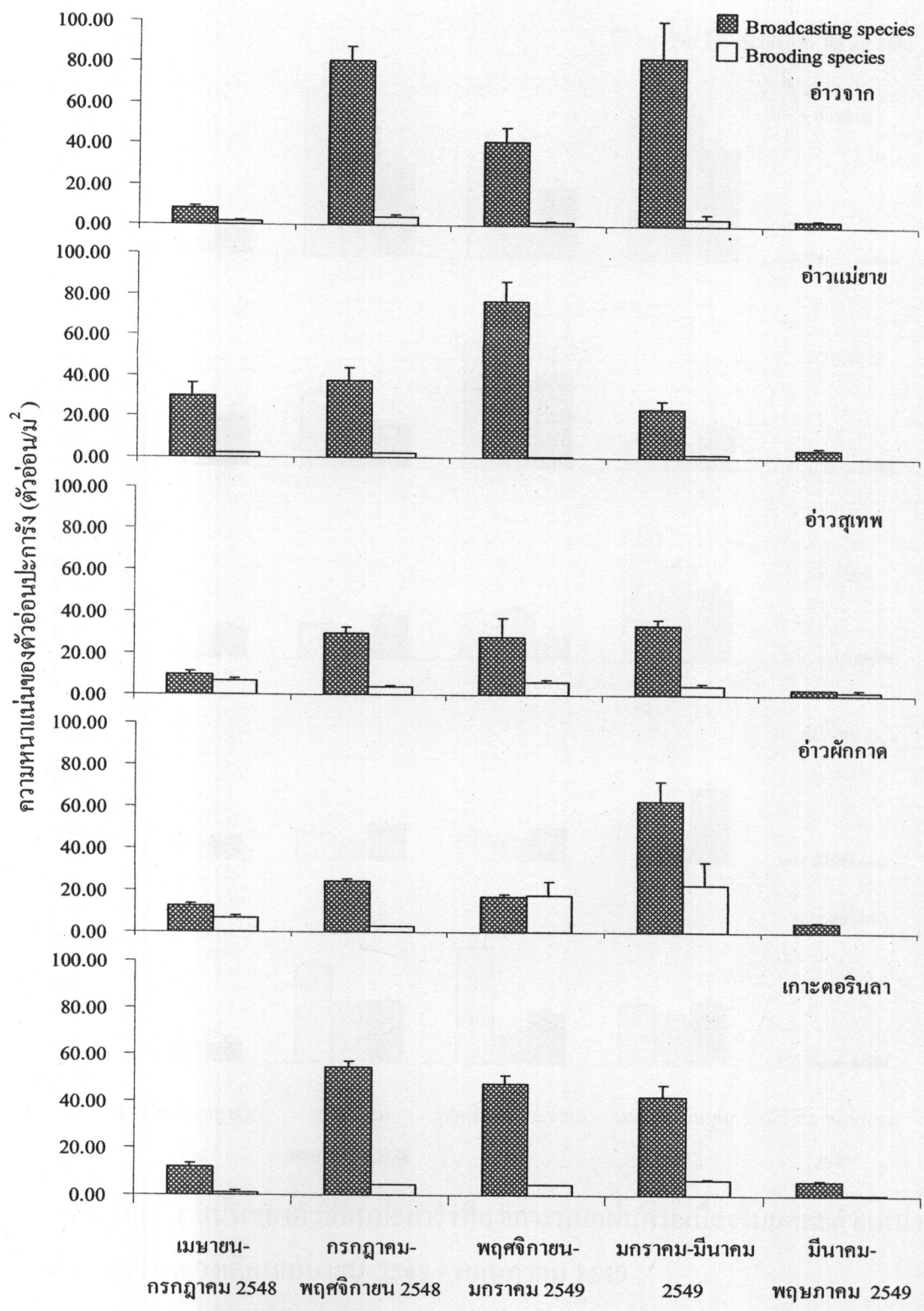
ภาพ 97 ความหนาแน่นของตัวอ่อนปะการังที่ลงทะเบียนแบ่งตามช่วงเวลา
ที่ศึกษา บริเวณอ่าวสุเทพ เกาะสุรินทร์ใต้



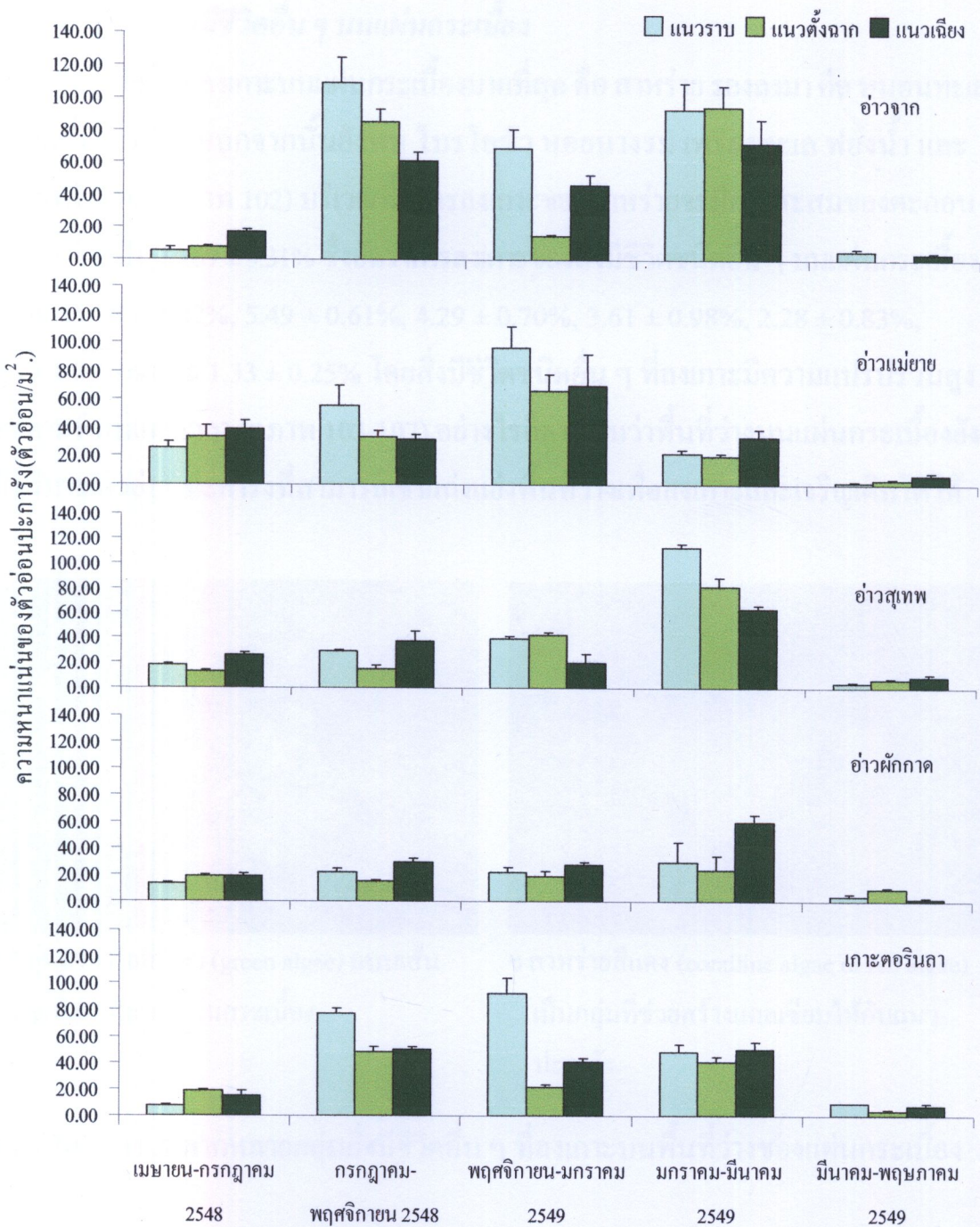
ภาพ 98 ความหนาแน่นของตัวอ่อนปะการังที่ลงเกาะบนแพ่นครยะเบื้องตามช่วงเวลาที่ศึกษา บริเวณอ่าวพักกาด เกาะสุรินทร์ใต้



ภาพ 99 ความหนาแน่นของตัวอ่อนปะการังที่ลงเกาะบนแพ่นกรอบเบงตามช่วงเวลา
ที่ศึกษา บริเวณเกาะตอรินดา



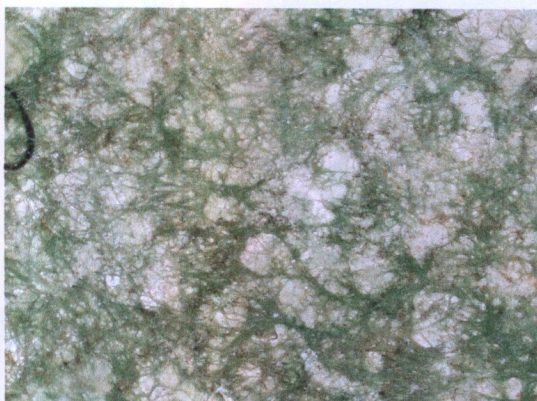
ภาพ 100 ความหนาแน่นของตัวอ่อนปะการังที่พบบนแพ่นกระเบื้องในพื้นที่หมู่เกาะสุรินทร์ในช่วงเดือนเมษายน 2548 - พฤษภาคม 2549



ภาพ 101 ความหนาแน่นของตัวอ่อนปะการังที่ลงเกาะบนแพ่นกระเบื้องในแต่ละตำแหน่งในพื้นที่ศึกษาของช่วงเดือนเมษายน 2548 - พฤษภาคม 2549

การลงเกาะของสิ่งมีชีวิตอื่น ๆ บนแผ่นกระเบื้อง

สิ่งมีชีวิตที่ลงเกาะบนแผ่นกระเบื้องมากที่สุด คือ สาหร่าย รองลงมา คือ หนอนทะเล (ชนิดที่สร้างห่อ) นอกจากนั้นยังพบ ไบรโอล่า หอยนางรม เพรียงทะเล ฟองน้ำ และ เพรียงหัวหอม (ดูภาพ 102) บริเวณที่มีการลงเกาะของสาหร่ายจะมีการสะสมของตะกอน อญ্যมาก คิดเป็น $14.69 \pm 3.31\%$ ซึ่งอัตราการลงเกาะของสิ่งมีชีวิตชนิดอื่น ๆ บนแผ่นกระเบื้อง เนลี่ย $45.78 \pm 2.02\%$, $5.49 \pm 0.61\%$, $4.29 \pm 0.70\%$, $3.61 \pm 0.98\%$, $2.28 \pm 0.83\%$, $2.13 \pm 0.46\%$ และ $1.33 \pm 0.25\%$ โดยสิ่งมีชีวิตชนิดอื่น ๆ ที่ลงเกาะมีความแปรปรวนสูง ทั้งตามพื้นที่และเวลา (ดูภาพ 103-107) อย่างไรก็ตามพบว่าพื้นที่ว่างบนแผ่นกระเบื้องยัง มีปริมาณตัวอ่อนประรังที่สามารถเข้าหากันแล้วแผ่ขยายพื้นที่ว่างเพื่อลงเกาะและเจริญเติบโตได้



ก กลุ่มสาหร่ายสีเขียว (green algae) แบบเส้น
สายที่ลงเกาะบนแผ่นกระเบื้อง



ข สาหร่ายสีแดง (coralline algae or red algae)
เป็นกลุ่มที่ช่วยสร้างแคลเซียมให้กับแนว-
ประรัง

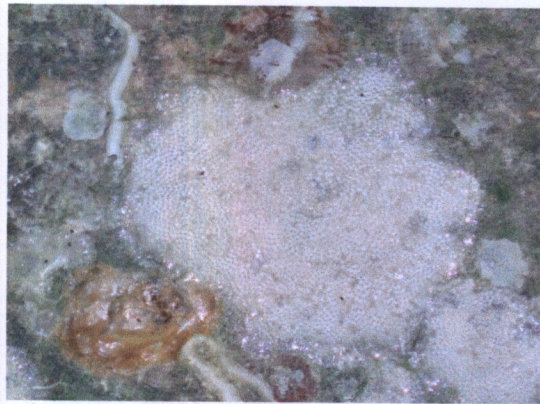
ภาพ 102 ความหลากหลายกลุ่มสิ่งมีชีวิตอื่น ๆ ที่ลงเกาะบนพื้นที่ว่างของแผ่นกระเบื้อง



ค สาหร่ายแบบเส้นสาย (filament algae) ที่มี
สะสมตะกอน



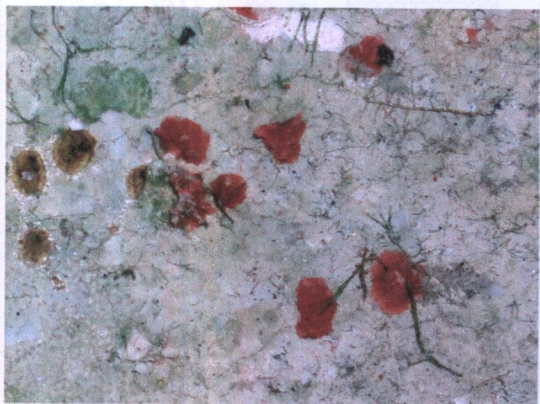
ง รังของหนอนทะเล (polychaete tube) แผ่น-
กระเบื้อง



ข สิ่งมีชีวิตกลุ่มไบรโอลซัว (bryozoa) ที่พับใน
บนแผ่นกระเบื้อง



ฉ ลักษณะไบรโอลซัว (bryozoa) รูปร่างแบบอื่น ๆ
ที่พับบนแผ่นกระเบื้อง



ช กลุ่มฟองน้ำ (sponge) เคลือบสีแดง
เจริญเติบโตบนแผ่นกระเบื้อง



ช กลุ่มเพรียงทะเล (barnacle) ที่พับบนแผ่น-
กระเบื้อง

ภาพ 102 ความหลากหลายกลุ่มสิ่งมีชีวิตอื่น ๆ ที่ลงเกาะบนพื้นที่ว่างของแผ่นกระเบื้อง
(ต่อ)

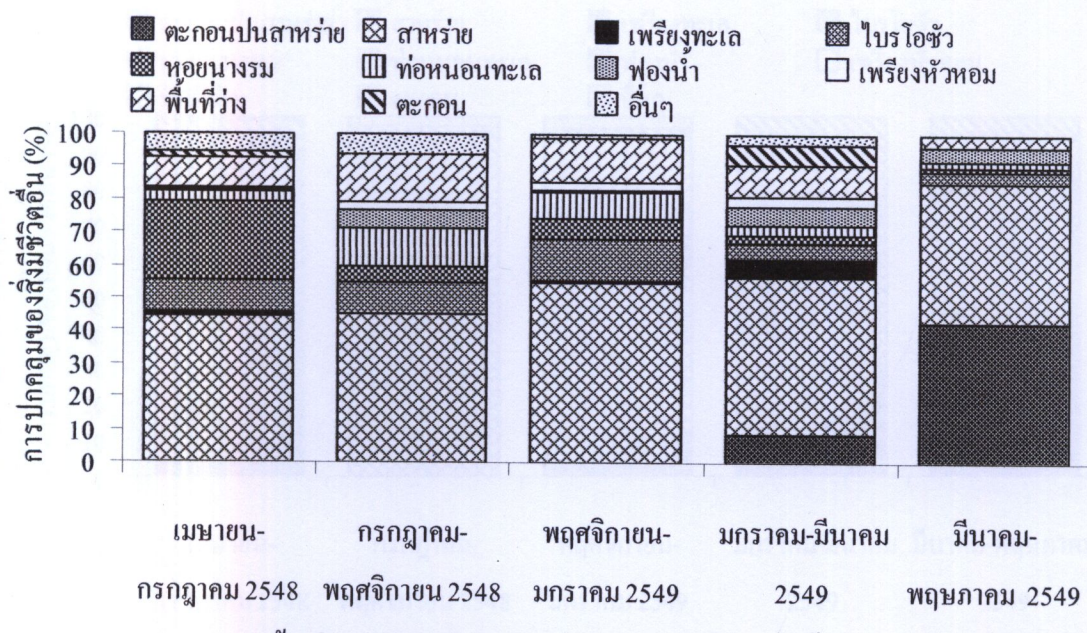


กลุ่มหอยนางรม (oyster) ที่ลงเกาะบนแพ่น-
กระเบื้อง

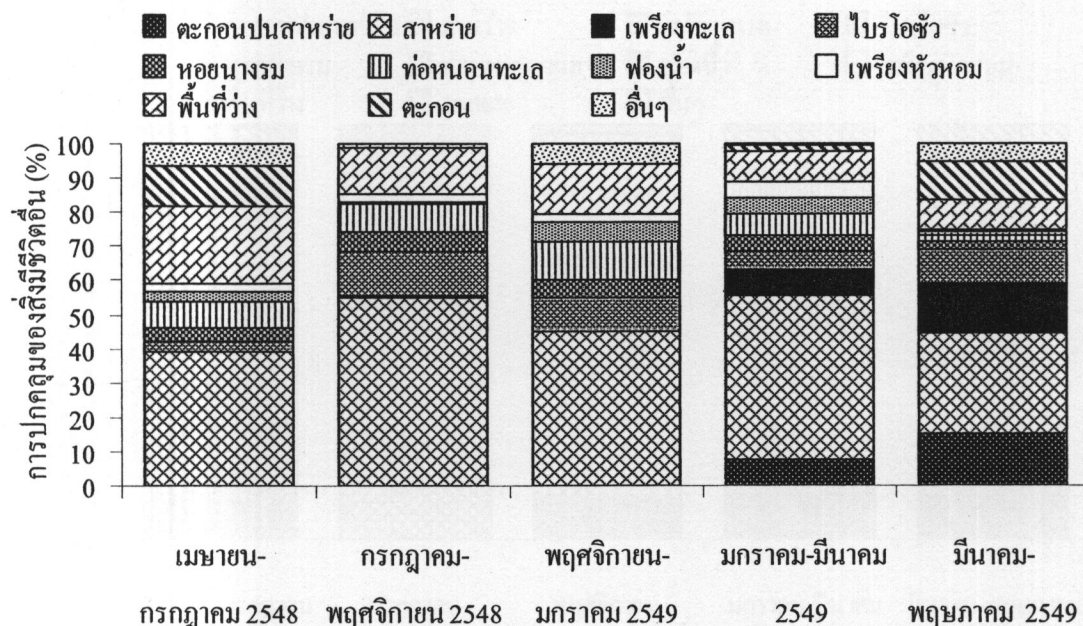


เพรียงหัวหอน (tunicate) ลงเกาะอยู่ร่วมกัน
เป็นกลุ่ม

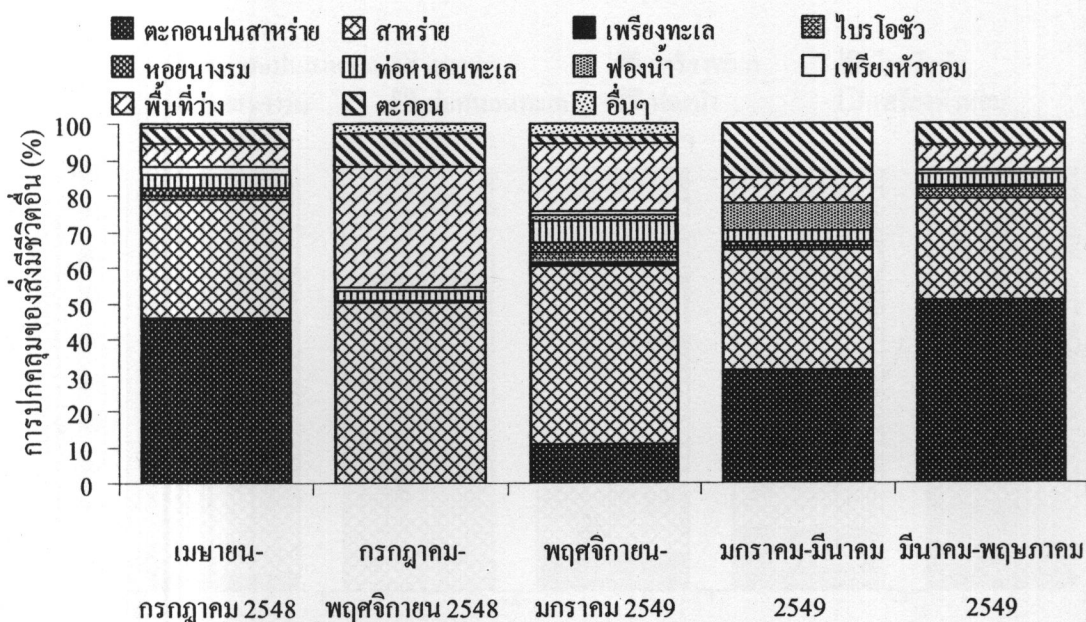
ภาพ 102 ความหลากหลายกลุ่มสิ่งมีชีวิตอื่น ๆ ที่ลงเกาะบนพื้นที่ว่างของแพ่นกระเบื้อง
(ต่อ)



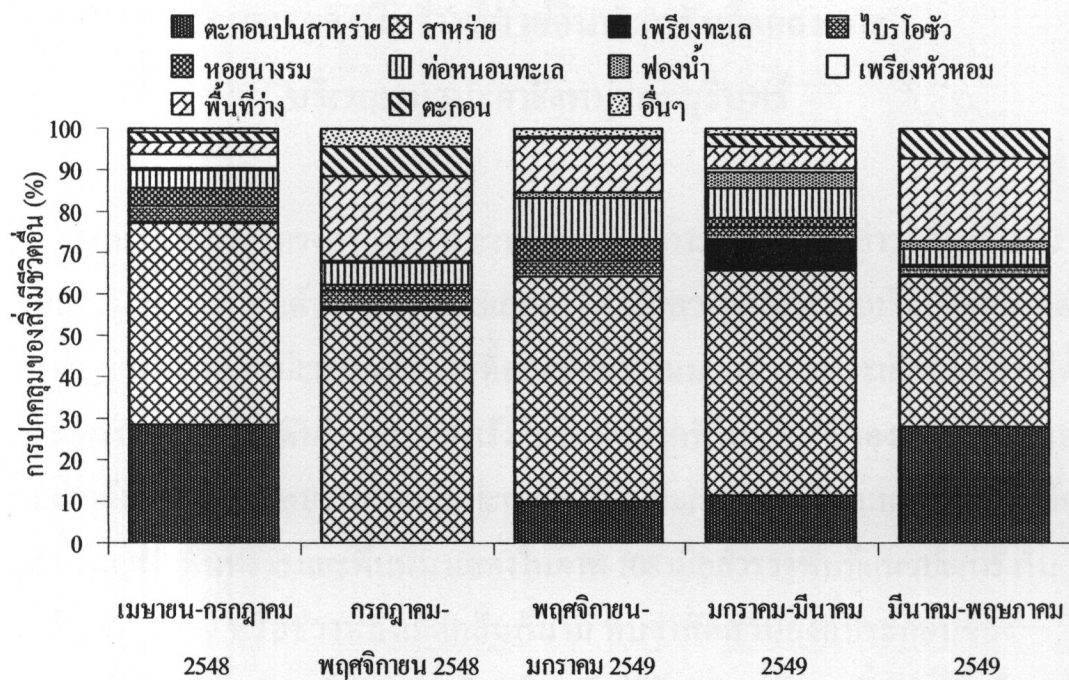
ภาพ 103 การปักลุ่มพื้นที่ของกลุ่มสิ่งมีชีวิตอื่น ๆ บนแพ่นกระเบื้อง ในบริเวณอ่าวจาก
เกาะสุรินทร์เหนือ



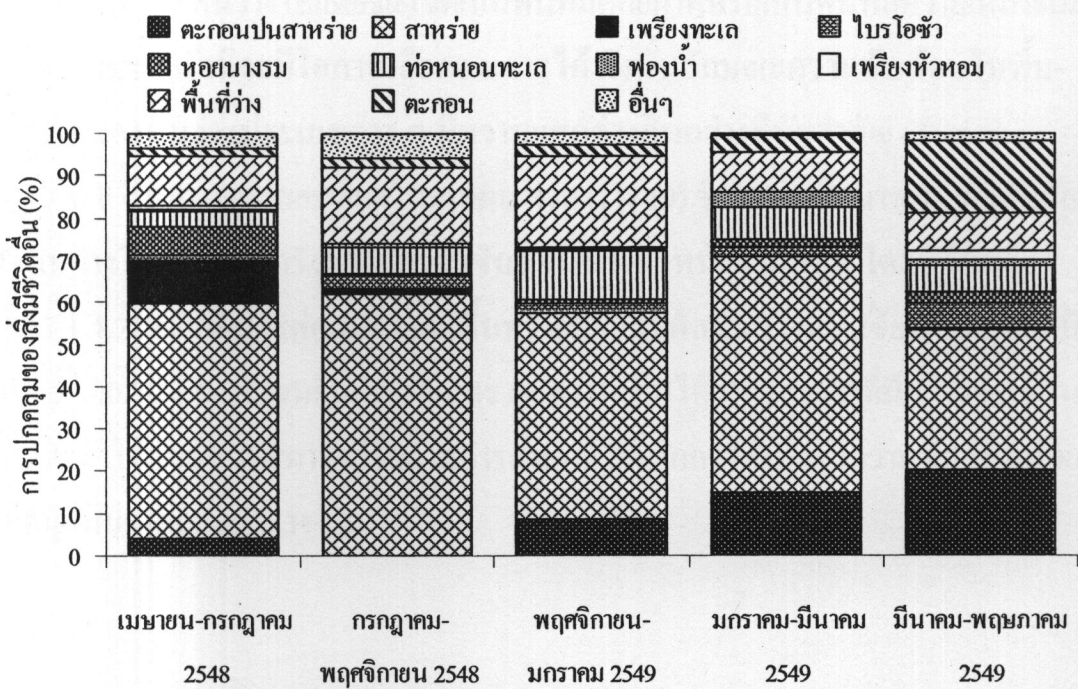
ภาพ 104 การปักลุ่มพื้นที่ของกลุ่มสิ่งมีชีวิตอื่น ๆ บนแผ่นกระเบื้อง ในบริเวณอ่าวแม่ยาย
เกาะสุรินทร์เหนือ



ภาพ 105 การปักลุ่มพื้นที่ของกลุ่มสิ่งมีชีวิตอื่น ๆ บนแผ่นกระเบื้อง ในบริเวณอ่าวสุเทพ
เกาะสุรินทร์ใต้



ภาพ 106 การปักลุมพื้นที่ของกลุ่มสิ่งมีชีวิตอื่น ๆ บนแผ่นกระเบื้อง ในบริเวณอ่าวผ้ากาด
เกาะสุรินทร์ใต้



ภาพ 107 การปักลุมพื้นที่ของกลุ่มสิ่งมีชีวิตอื่น ๆ บนแผ่นกระเบื้อง ในบริเวณเกาะตอรินดา

ลักษณะของพื้นว่างที่ตัวอ่อนปะการังเลือกลงเกาะ บริเวณแนวปะการังหมู่เกาะสุรินทร์

จากการสำรวจ โครงการสร้างแนวปะการังของหมู่เกาะสุรินทร์ที่กล่าวไว้ในขั้นตอนนี้ แนวปะการังจะประกอบด้วยพื้นว่างประเภทต่าง ๆ ที่มีความเหมาะสมหรือมีศักยภาพต่อการลงเกาะของตัวอ่อนปะการังรุ่นใหม่ที่ล่องลอยอยู่ในมวลน้ำ โดยจะเลือกลงเกาะได้แล้วจะพัฒนาการเจริญเติบโตเป็นปะการังโคลoniขนาดที่ใหญ่ขึ้น ซึ่งองค์ประกอบของแนวปะการังส่วนใหญ่ที่พบจะเป็นกลุ่มปะการังมีชีวิต ปะการังตายทึ้งแบบกิ่งก้านและก้อน เศษชากปะการัง พื้นทราย และพื้นหิน แสดงในภาพ 108 เมื่อสำรวจพื้นที่แนวปะการังในเดือนมีนาคม 2549 หรือช่วงหลังเกิดคลื่นสึนามิ พบร่วงสัดส่วนองค์ประกอบของแนวปะการังหมู่เกาะสุรินทร์ประกอบด้วยปะการังมีชีวิต ปะการังตายทึ้งแบบกิ่งก้านและก้อน เศษชากปะการัง พื้นทราย และพื้นหิน โดยมีสัดส่วน $52.66 \pm 1.90\%$, $20.00 \pm 2.97\%$, $8.89 \pm 2.12\%$, $7.78 \pm 1.23\%$, $8.22 \pm 1.53\%$ และ $2.44 \pm 0.48\%$ ตามลำดับ ของพื้นที่ทึ้งหมวด แสดงในภาพ 109 พื้นว่าง (substrate) จัดเป็นพื้นที่มีศักยภาพหรือเป็นพื้นที่มีความเหมาะสมต่อตัวอ่อนปะการังที่จะมีโอกาสเลือกลงเกาะ ได้ ดังนั้nlักษณะความชันช้อนในพื้นผิวสัมผัสของพื้นว่างประเภทต่าง ๆ มีความแตกต่างกันอย่างมีนัยสำคัญ (Two-way ANOVA, $P < 0.01$) (ดูรายละเอียดในภาคผนวก ตาราง 19) ซึ่งในการศึกษาพบว่าผิวสัมผัสของพื้นว่างในกลุ่มปะการังตายมีความชันช้อนของผิวน้ำมากที่สุด โดยมีค่าเฉลี่ย 183.33 ± 4.78 เชนติเมตรต่อมتر และพื้นทรายมีผิวสัมผัสที่มีความชันช้อนน้อยที่สุด มีค่าเฉลี่ย 100.00 ± 0.01 เชนติเมตรต่อมตร แสดงให้เห็น ได้ว่าผิวสัมผัสที่มีความชันช้อนน้อยที่สุด นี่ที่มากจะทำให้ตัวอ่อนปะการังมีโอกาสการลงเกาะ ได้มากกว่าพื้นที่ที่มีความชันช้อนน้อย ดังข้อมูลที่ปรากฏ (ดูตาราง 12)



ก ปะการังมีชีวิตที่มีการต�ยบางส่วน (coral)



ข ปะการังต้ายแบบกิ่งก้าน (dead branching coral)



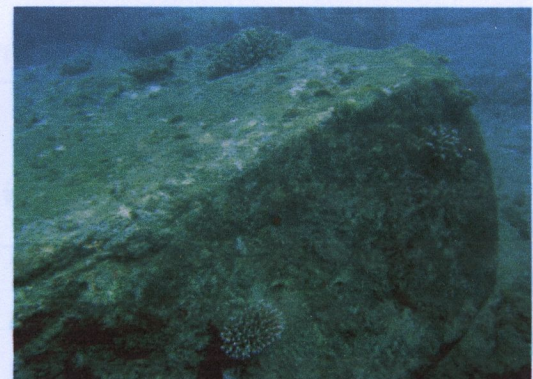
ค ปะการังต้ายแบบก้อน (dead massive coral)



ง เศษชากปะการัง (rubble)

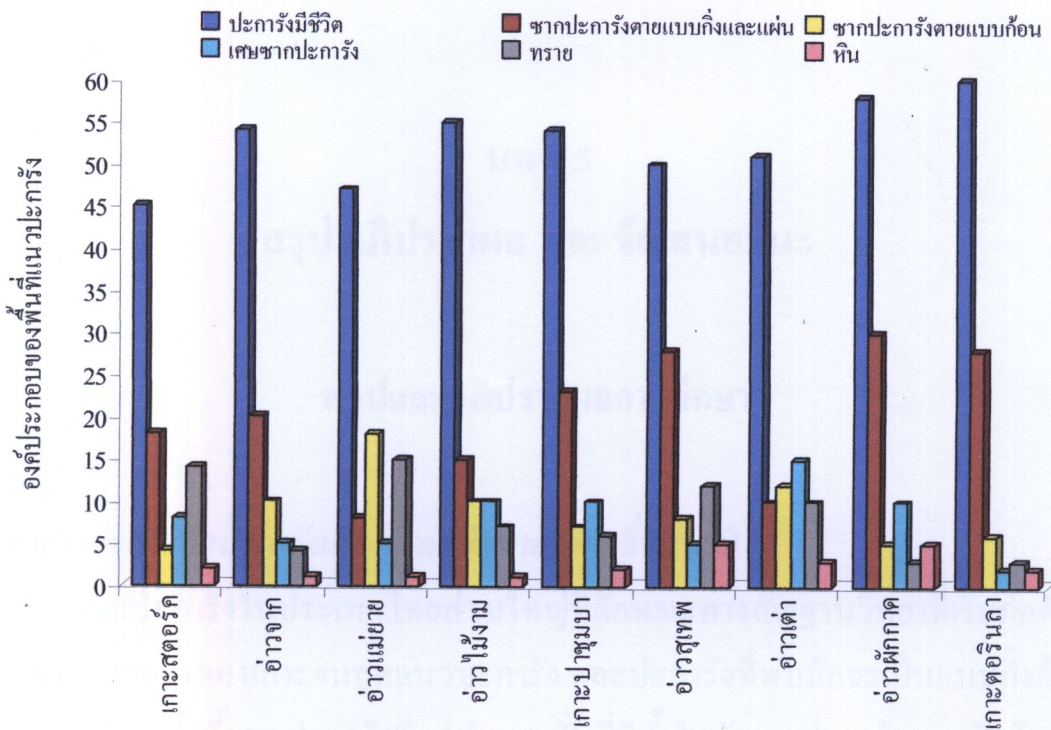


จ เศษชากปะการังปูนราย (rubble and sand)



ฉ หิน (rock)

ภาพ 108 ประเภทของพื้นที่ว่างที่ตัวอ่อนปะการัง และสิ่งมีชีวิตอื่น ๆ สามารถเลือกลง棲azole ได้ในพื้นที่แนวปะการัง



ภาพ 109 องค์ประกอบของพื้นที่แนวปะการัง
ในช่วงเดือนมีนาคม 2549

ตาราง 12

ค่าเฉลี่ยพื้นผิวสัมผัสของพื้นที่ว่าง (substrate) แต่ละประเภทที่มีศักยภาพต่อการลงเกาะของตัวอ่อนปะการังในเขตแนวปะการังหมู่เกาะสุรินทร์

ประเภทพื้นที่ว่าง (substrate)	ค่าความแตกต่างของพื้นผิวสัมผัสของพื้นที่ว่าง ($\text{เซนติเมตร} \pm \text{SE}/\text{ระยะวัด } 1 \text{ เมตร}$)
ปะการังมีชีวิตแบบกิ่งก้าน (branching corals)	169.35 ± 4.22
ปะการังมีชีวิตแบบก้อน (massive corals)	136.87 ± 3.86
ปะการังตายแบบกิ่งก้าน (dead branching coral)	183.33 ± 4.78
ปะการังมีตายแบบก้อน (dead massive coral)	141.84 ± 3.90
เศษชากปะการัง (rubble)	140.89 ± 2.71
พื้นหิน (rock)	114.89 ± 1.31
พื้นทราย (sand)	100.00 ± 0.01

ที่มา. จากการเก็บข้อมูลศึกษาในภาคสนามของแต่ละพื้นที่บริเวณอุทยานแห่งชาติหมู่เกาะสุรินทร์ ในระหว่างช่วงเดือนมกราคม-พฤษภาคม 2549

บทที่ 5

สรุป อภิปรายผล และข้อเสนอแนะ

สรุปและอภิปรายผลการศึกษา

โครงสร้างของแนวปะการังและความเสียหายจากคลื่นสึนามิ

แนวปะการังในประเทศไทยส่วนใหญ่มีลักษณะทางสัณฐานวิทยาที่เริ่มก่อตัวตั้งแต่แนวชายฝั่งของเกาะจนสุดแนวปะการัง และปะการังที่พบมากจะเป็นแบบกิงก้าน และแบบก้อน ทั้งนี้แนวปะการังที่อยู่ห่างจากฝั่งที่มีน้ำใสมักพบปะการังแบบกิงก้าน (*Acropora spp.*) เป็นชนิดเด่น (กรมป่าไม้, 2543, หน้า 1-3) พื้นที่แนวปะการังของหมู่เกาะสุรินทร์โดยส่วนใหญ่มักมีการปักกลุ่มด้วยปะการังมีชีวิตที่มีรูปร่างแตกต่างกัน เช่น แบบกิงก้าน แบบเคลือบ แบบแผ่นตั้งหรือนานกับพื้น แบบโขด เป็นต้น โดยปะการังและสิ่งมีชีวิตอื่น ๆ จะยึดติดกับพื้นว่างหรือพื้นแข็ง (hard substrate) ดำรงเป็นรากฐานที่ถาวรต่อการเจริญเติบโตที่จะเป็นแนวปะการังต่อไป และมีการก่อตัวของปะการังเป็นพื้นที่ใหญ่ที่สุดในแนบทะเลอันดามัน มักพบกลุ่มปะการัง *Montipora, Acropora, Pocillopora, Stylophora, Pavona, Coeloseris, Galaxea, Pectinia, Oxypora, Symphyllia, Fungia, Favia, Favites, Goniastrea, Platygyra, Cyphastrea, Echinopora, Diploastrea, Porites, Goniopora* เป็นต้น และกลุ่มปะการังสีน้ำเงิน *Heliorpora sp.* เป็นชนิดเด่น ซึ่งสอดคล้องกับรายงานของกรมป่าไม้ (2542, หน้า 20-22)

เมื่อเกิดภัยพิบัติคลื่นสึนามิสภาพแนวปะการังมีความเสียหายมากในหลายพื้นที่ ของหมู่เกาะสุรินทร์ แต่บางพื้นที่อยู่ในพื้นที่อันคลื่นลมจึงได้รับผลกระทบจากอิทธิพลของคลื่นเพียงเล็กน้อย ผลการสำรวจการปักกลุ่มของปะการังมีชีวิตในแนวปะการังของเกาะตอรินลา อ่าวผักกาด เกาะป่าชุมนา อ่าวเต่า อ่าวจาก อ่าวแม่ยาย เกาะสตอร์ค อ่าวไม้งาม

และอ่าวสุเทพ มีระดับความเสี่ยงของพื้นที่แตกต่างกัน ทำให้ปะการังมีชีวิตมีแนวโน้มลดลงแตกต่างกัน โดยมีค่าความเสี่ยงอยู่ 24.71%, 21.05%, 10.06%, 9.47%, 6.30%, 4.76%, 3.43%, 2.50% และ 2.3% ของพื้นที่ สำหรับคลื่นสึนามิส่งผลกระทบต่อแนวปะการังในเขตหน้าตื้นเป็นส่วนใหญ่ ด้วยอิทธิพลจากแรงคลื่นและกระแสน้ำจึงมีความรุนแรงมากกว่าปะการังที่อยู่ในระดับความลึก ทำให้เกิดการเปลี่ยนแปลงขององค์ประกอบต่าง ๆ (Baird et al., 2005, pp. 1926-1928; Burns, 1985, p. 117; Kayanne, Harii, Ide, & Akimoto, 2002, p. 93) เมื่อปะการังที่เจริญอยู่บนแนวปะการังมีรูปแบบความเสี่ยงต่างกัน การแตกหักของปะการังที่มีลักษณะเป็นกิ่งก้าน (fragmentation) การพลิกคว่ำของปะการังก้อน (up-turn coral) การหลุดเคลื่อนหรือกร่อน (erosion) ของแนวปะการัง (Lirman, 2000, pp. 52-53; Goto et al., 2007, p. 832) และตะกอนทับถมบนตัวปะการัง (sedimentation) เป็นสาเหตุหนึ่งที่ทำให้ปะการังตาย และมีโอกาสฟื้นตัวกลับมาได้ช้า (Clarke, Warwick, & Brown, 1993, p. 153) รวมทั้งความหลากหลายกลุ่มสิ่งมีชีวิตต่าง ๆ ที่ลงเกาะบนพื้นแนวปะการังมีแนวโน้มลดลง

แนวปะการังรอบหมู่เกาะสุรินทร์ในช่วงเวลาที่ยังไม่เกิดคลื่นสึนามิในต้นเดือนธันวาคม 2547 มีการปักกลุ่มของพื้นว่างประเภทต่าง ๆ หรือ Hard substrate ไม่มากนัก (พบองค์ประกอบของปะการังตายแบบกิ่งก้าน ปะการังตายแบบก้อน เศษชากปะการัง หินทราย และหรายปนเศษชากปะการัง เนลี่ย 16.07%, 3.70%, 3.20%, 6.85%, 2.77% และ 0.61% ของพื้นที่แนวปะการังทั้งหมดเท่านั้น) เพราะมีปะการังมีชีวิตขึ้นปักกลุ่มอย่างหนาแน่นและสมบูรณ์ แต่การสำรวจแนวปะการังหลังจากเกิดคลื่นสึนามิในเดือนมีนาคม 2549 (พบว่าองค์ประกอบต่าง ๆ เพิ่มขึ้นจากเดิม เป็น 25.74%, 4.80%, 3.32%, 8.11%, 2.15% และ 0.70% ของพื้นที่แนวปะการังทั้งหมด) สภาพพื้นแนวปะการัง (hard substrate) มีความเปลี่ยนแปลงมากขึ้นกว่าในช่วงต้นเดือนธันวาคม 2547 (ก้อนเกิดคลื่นสึนามิ) ด้วยสาเหตุจากปะการังที่แตกหักจากที่กล่าวไว้ข้างต้น ทำให้ปะการังมีชีวิตปักกลุ่มพื้นที่ลดลงถ้าหากปะการังสามารถซ้อมแซมตัวเองจากการใช้พลังงานในตัวได้ ก็จะเจริญเติบโตและลดอัตราเสี่ยงต่อการตาย แต่หากปะการังบางส่วนไม่มีความสามารถที่จะใช้พลังงานในกระบวนการนี้ได้ เนื่องจากมีสภาวะเร้าต่าง ๆ จากหลากหลายสาเหตุ เช่น ขนาดของชั้นปะการัง การกัดกินของสิ่งมีชีวิตอื่น การแก่งแย่งพื้นที่ ตะกอนทรายตกทับ กระแสน้ำ และปัจจัยสิ่งแวดล้อมอื่น ๆ จะทำให้ปะการังไม่สามารถเจริญต่อไปได้ และจะตายเป็นชากระหว่าง

ในที่สุด (Highsmith, 1982, p. 207; Yap, Montebon, & Dizon, 1994, p. 42) ซึ่งคล้ายกับผลการศึกษาจากนักวิจัยที่ทำการสำรวจที่หมู่เกาะ Maldives บริเวณตอนใต้ของแนวปะการัง Maalhosmadulu atoll พบว่ามีปะการังในพื้นที่มีความเสียหายประมาณ 9% หรือเฉลี่ย 3.75% ของพื้นที่แนวปะการัง และปะการังส่วนใหญ่มีการแตกหัก พลิกคว่ำจากโคลนีปะการังอยู่มาก (Kench et al., 2008, p. 361)

อย่างไรก็ตามจากการศึกษาติดตามสถานภาพแนวปะการังอย่างต่อเนื่องหลังจากเหตุการณ์คลื่นสึนามิจนครบรอบปีที่ผ่านมา สถานภาพปะการังในปี 2549 โดยทั่วไปอยู่ในระดับคงที่ (แต่มีความใกล้เคียงกับสภาพปะการังที่ได้รับผลกระทบจากคลื่นสึนามิในเดือนมกราคม 2548) แต่มีหลายพื้นที่ที่ปะการังพื้นตัวได้มากขึ้นกว่าช่วงแรก โดยเฉพาะในพื้นที่เก่าตอรินลาและอ่าวผักกาดที่ได้รับความเสียหายมากที่สุดจากคลื่นสึนามิ จากการสำรวจในครั้งล่าสุดในเดือนมีนาคม 2549 แนวปะการังบริเวณนี้มีแนวการฟื้นตัวไม่มากนัก เนื่องจากปะการังที่แตกหักส่วนใหญ่มีการตายมากและมีสาหร่ายชนิดเส้นสาย (filament algae) ขึ้นปกคลุมพื้นที่ แต่แนวปะการังในส่วนที่ไม่ได้รับผลกระทบยังคงมีความหลากหลายทั้งปะการังและสิ่งมีชีวิตอื่นที่มีความสมบูรณ์มาก เช่นเดิม ซึ่งสอดคล้องกับรายงานการติดตามพื้นที่แนวปะการังในบริเวณเกาะสูมาตรา จังหวัดอันเจ ประเทศอินโดนีเซีย จากการสำรวจสถานภาพปะการังที่ปกคลุมพื้นที่ปรากฏว่าสภาพแนวปะการังทั่วไปมีลักษณะโครงสร้างและการปกคลุมจากปะการังเปลี่ยนแปลงไปจากเดิมมาก โดยมีปะการังมีการแตกหัก การพลิกคว่ำ และเกิดการทับถมของตะกอนบนปะการัง แต่แนวปะการังมีการฟื้นกลับคืนในทิศทางที่เดิมขึ้นอย่างรวดเร็ว จากเหตุผลดังกล่าวคลื่นสึนามิสามารถส่งผลกระทบต่อระบบนิเวศแนวปะการัง วัฏจักรการสืบพันธุ์ของปะการัง และการลงเกาะของตัวอ่อนปะการังในอนาคต ได้ (Baird et al., 2005, pp. 1926-1928; Lirman, 2000, pp. 41)

การสร้างเหลือสืบพันธุ์และความคงของไข่ปะการังในธรรมชาติ

การสืบพันธุ์แบบอาศัยเพศในปะการัง像 Acropora formosa ซึ่งมีทั้งเพศผู้และเพศเมียในตัวเดียวกันหรือ hermaphrodite มีลักษณะเดียวกับการสืบพันธุ์ของปะการัง像 Acropora formosa ที่มีทั้งเพศผู้และเพศเมียในตัวเดียวกัน หรือ hermaphrodite ที่มีลักษณะเดียวกับการสืบพันธุ์ของปะการัง像 Acropora formosa ที่มีทั้งเพศผู้และเพศเมียในตัวเดียวกัน หรือ hermaphrodite (Wallace, 1985, p. 217) ในบริเวณหมู่เกาะสุรินทร์หลังจาก

ได้รับความเสียหายจากคลื่นสึนามิ ปะการังเขากวาง *Acropora formosa* มีไข่ขนาดประมาณ 500-800 ไมครอน ในช่วงเดือนมีนาคม 2548 ทั้งจากบริเวณแนวปะการังเกาะตอรินลา อ่าวพักกาด และอ่าวสุเทพ ไปปะการังที่แก่เต็มที่มีสีส้มแดงพร้อมจะรวมตัวเป็นลูกบود (bundles or clusters) ภายใน bundles ประกอบด้วยเซลล์ไข่และสเปร์มรวมอยู่ด้วยกันก่อนจะปล่อยสู่มวลน้ำทะเลในแนวปะการังพร้อมกันในช่วงหลังพระจันทร์เต็มดวงไม่เกิน 3-6 วัน นับจากคืนพระจันทร์เต็มดวง (ท่านศักดิ์ จันทร์เมธากุล, 2545, หน้า 47; Kojis & Quinn, 1982, p. 251; Sakai, 1997, p. 67; Twan et al., 2006, p. 247; Van Veghel, 1994, p. 209-215) ในบางบริเวณแนวปะการังพัฒนาเซลล์สีบพันธุ์ (gametes) ทั้ง ovary และ testis อยู่ภายใน gonads และพัฒนาต่อไปเป็นไข่และสเปร์ม (Kojis & Quinn, 1982, pp. 253-254) และรอระยะเวลาที่เหมาะสมก่อนจะปล่อยออกสู่มวลน้ำทะเลในช่วงพระจันทร์เต็มดวง การปล่อยเซลล์สีบพันธุ์ขึ้นอยู่กับปัจจัยสิ่งแวดล้อมหลายประการ เช่น อุณหภูมิ ความเค็ม และระดับการขึ้น-ลง (tides) ของน้ำทะเลที่มีความเหมาะสม (Baird et al., 2000, p. 385) ในแต่ละพื้นที่ของหมู่เกาะสุรินทร์มีการสร้างเซลล์สีบพันธุ์ในระดับที่ใกล้เคียงกันและจะพบได้เกือบทั่วทั้งปี ยกเว้นในบางช่วง คือ เดือนพฤษภาคม ที่การสร้างเซลล์สีบพันธุ์มีแนวโน้มต่ำกว่าในช่วงเดือนอื่น ๆ (ธรรมศักดิ์ ชีมิน, 2542, หน้า 12) เมื่อพิจารณาจำนวนโพลิปปะการังในโคลoni ปะการังพบว่ามีการสร้างเซลล์สีบพันธุ์ในทุกโพลิปอย่างต่อเนื่อง แต่ระดับการสร้างของเซลล์สีบพันธุ์จะไม่เท่ากันในช่วงการสร้างเซลล์สีบพันธุ์ของปะการังสามารถพบไปปะการังขนาดเล็กปะบนบางภัยในหนึ่งโพลิป หลังจากเซลล์สีบพันธุ์พัฒนาเป็นเซลล์ไข่แล้ว ยังสามารถศึกษาความคงของไข่ปะการัง *Acropora formosa* ในพื้นที่หมู่เกาะสุรินทร์ โดยพบว่ามีความคงของไข่ในโพลิปเฉลี่ย 6.74 ± 0.38 ไข่ต่อโพลิปต่อปี ในพื้นที่ที่ได้รับผลกระทบจากคลื่นสึนามิที่แตกต่างกัน คือ เกาะตอรินลา อ่าวพักกาด อ่าวสุเทพ อ่าวแม่ยาย และอ่าวจาก ยังสามารถพบความคงของไข่ปะการังที่มีจำนวนใกล้เคียงกัน คือ 6.70 ± 0.62 , 6.67 ± 0.71 , 7.36 ± 0.65 , 6.72 ± 1.14 และ 6.86 ± 0.95 ไข่ต่อโพลิปต่อปี ตามลำดับ อย่างไรก็ตามขนาดของไข่ปะการัง *Acropora* ในเขตมหาสมุทร Indo-Pacific จะมีขนาดไข่เฉลี่ย 601-728 ไมโครเมตร (Wallace, 1985, p. 217; Kenyon, 1992, pp. 42-43) สำหรับการศึกษาในครั้งนี้ขนาดของเซลล์ไข่ปะการังในพื้นที่ศึกษามีขนาดใกล้เคียงกันในทุกพื้นที่ศึกษาและมีขนาดเซลล์ไข่

อยู่ในช่วง 450-600 ไมครอน และมีขนาดของไข่ในปะการังโโคโลนีแม่ที่อยู่ในระยะพร้อมปล่อยสู่มวลน้ำ โดยพบว่าช่วงของไข่แก่เกือบเต็มที่มี 2 ช่วงเวลา คือ เดือนมีนาคมและเดือนกรกฎาคม ซึ่งมีขนาดไข่ใหญ่มากที่สุด (Van Veghel, 1994, p. 209) สอดคล้องกับการปล่อยเซลล์สีบพันธุ์ในแบบที่ลดต่ำลงสูง ในเมืองโอลกินาวา ประเทศญี่ปุ่น ปะการัง *Acropora spp.* ปล่อยเซลล์สีบพันธุ์ในช่วงฤดูร้อนของเดือนพฤษภาคม-กันยายน (Hayashibara, et al., 1993, p. 253; Sakai, 1997, p. 67; Szmant, 1991, p. 13; Yeemin, 1988, p. 3; Yeemin et al., 1990, p. 105) ในขณะที่ทางด้านตะวันออกของประเทศออสเตรเลีย พบการปล่อยเซลล์สีบพันธุ์ของปะการัง ในช่วงเดือนธันวาคม-เมษายน (Wilson & Harrison, 2003, p. 115) โดยมีปัจจัยสิ่งแวดล้อมที่ต่างกันกับแบบประเทศที่อยู่ในเขตเส้นศูนย์สูตรอย่างเช่นประเทศไทยที่มีอุณหภูมิสูงยาวนานปะการังสามารถปล่อยเซลล์สีบพันธุ์ได้มากกว่าช่วงเวลาเดียว นอกจากนี้จากการศึกษาในครั้งนี้เซลล์ไข่ที่พบมีขนาดแตกต่างกันอย่างชัดเจนในแต่ละช่วงเวลาที่ศึกษา สำหรับอิทธิพลจากคลื่นสีนามีผลกระทบต่อการสร้างเซลล์สีบพันธุ์และความดกของไข่ในโโคโลนีปะการังในพื้นที่ไม่นานก็

วัฏจักรการสีบพันธุ์ของปะการังในธรรมชาติมีบทบาทสำคัญมากต่อการฟื้นตัวของปะการัง และการเพร่กระจายเพื่อเพิ่มปริมาณตัวอ่อนปะการัง (juvenile coral) รุ่นใหม่ ๆ สู่แนวปะการัง จากการศึกษาที่ผ่านมาเกี่ยวกับศักยภาพการสีบพันธุ์ของปะการัง像ขาว *Acropora formosa* ในพื้นที่แนวปะการังหมู่เกาะสุรินทร์หลังจากเกิดคลื่นสึนามิ ก่อสร้าง ได้ว่าสถานภาพของปะการัง像ขาวในพื้นที่มีศักยภาพในการสร้างเซลล์สีบพันธุ์ทั้งไข่ และสเปร์ม ได้ตามปกติ ซึ่งสามารถพบได้อย่างต่อเนื่องเกือบตลอดปี เมื่อเซลล์สีบพันธุ์เหล่านี้ถูกปล่อยออกสู่แนวปะการังจะพัฒนาเป็นตัวอ่อน (planula larvae) และเจริญเติบโตต่อไปเป็นโโคโลนีใหม่ (Babcock & Heyward, 1986, p. 111; Lam, 2000, p. 111) แต่จะมีปะการังบางส่วนที่ได้รับความเสียหายจากคลื่นและกระแส海水ทำให้ปะการังแตกหัก กระบวนการฟื้นตัวของปะการังจะใช้พลังงานในตัวปะการัง (energy flow) เพื่อเร่งการเจริญเติบโตอย่างรวดเร็วให้อยู่รอดในสภาพแวดล้อมน้ำในระยะแรก ทำให้กระบวนการสีบพันธุ์ลดลงไประยะหนึ่ง จนกว่าโโคโลนีจะพร้อมในการสร้างเซลล์สีบพันธุ์ (Highsmith, 1982, p. 222; Lirman, 2000, p. 41) นอกจากนี้ปัจจัยหลักที่มีความเกี่ยวข้อง

หรือมีอิทธิพลต่อการสร้างเซลล์สีบพันธุ์และความคงของไบปะการัง ประกอบด้วย อายุ ของโคลoni ขนาดของโคลoni ขนาดของโพลิป ตำแหน่งของโพลิปที่มีความพร้อมในการ สีบพันธุ์ และปัจจัยสิ่งแวดล้อมอื่น ๆ เช่น อุณหภูมิ ความเค็ม การแก่งແย่งพื้นที่ เป็นต้น

การลงทะเบียนของตัวอ่อนและการเปลี่ยนแปลงของตัวอ่อนจากคลื่นสีนามิ

การเปลี่ยนแปลงของประชากรตัวอ่อนประการัง (*juvenile coral*) ในพื้นที่แนวประการัง การแพร่กระจายของตัวอ่อนประการังตามธรรมชาติเป็นการเพิ่มหรือพัฒนาแนวประการังให้มีความสมบูรณ์มากขึ้น เมื่อแนวประการังเกิดการเปลี่ยนแปลงจากแรงคลื่นสีนามิหรือพายุจะเกิดความเสียหายต่อโครงสร้าง (Baird et al., 2005, pp. 1926-1928) และองค์ประกอบของแนวประการังก่อให้เกิดความแปรปรวนของระดับความหนาแน่นของตัวอ่อนประการังในแนวประการังบริเวณอุทยานแห่งชาติหมู่เกาะสุรินทร์ จากเหตุผลในเรื่องความสัมพันธ์ของโครงสร้างประการังและตัวอ่อนประการังที่ลงเกาะในพื้นที่ซึ่งได้รับผลกระทบโดยตรง เนื่องจากกระแสนำและคลื่นพัดพาพื้นว่างที่ไม่เสถียรหรือเคลื่อนที่ได้ พร้อมกับตัวอ่อนประการังที่ลงเกาะอยู่ด้วยหลักของการแยกจากแนวประการัง จากการวางแผนเทบปันจุดศึกษา แบบถาวรและติดตามการเปลี่ยนแปลงความหนาแน่นตัวอ่อนประการัง (Fernando, Samarakkrama, Balasubramanian, Hettiarachchi, & Voropayev, 2008, p. 187; Kayanne et al., 2002, p. 93) โดยบันทึกค่าความหนาแน่นในเดือนมกราคม 2547 บริเวณเกาะตอรินลา อ่าวผักกาด เกาะป่าชุนนา อ่าวเต่า อ่าวจาก อ่าวแม่ยาย เกาะสตอร์ค อ่าวไม้งาน และอ่าวสุเทพ มีความหนาแน่นสูงกว่าปีมาแล้วตัวอ่อนประการังในเดือนมกราคม 2548 สังเกตได้ว่าผลต่างของความหนาแน่นตัวอ่อนประการังที่ลงเกาะแล้ว จะมีปีมาลดลงอย่างชัดเจน คือ 0.10, 0.44, 0.89, 0.33, 0.29, 0.90, 0.05, 0.41 และ 0.09 โคลoni ต่อตารางเมตร ตามลำดับ เมื่อติดตามอย่างต่อเนื่องเพื่อศึกษาการเปลี่ยนแปลงความหนาแน่นของตัวอ่อนประการัง พบว่าตัวอ่อนประการังในแต่ละพื้นที่สามารถลงเกาะในแนวประการังในปีมาแล้วที่สูงขึ้นกว่าในช่วงแรกที่เกิดคลื่นสีนามิ เนื่องจากแนวประการังมีกลไกการเพิ่มจำนวนประชากรด้วยการสร้างและปล่อยเซลล์สีบพันธุ์ตามธรรมชาติค้างที่กล่าวไว้ในเรื่องการสีบพันธุ์ของประการัง

การแพร่กระจายของประชากรตัวอ่อนปะการัง (*juvenile coral*) และการลงเกา
เฉพาะบนพื้นว่างที่มีศักยภาพต่อการพื้นตัวของแนวปะการัง ในธรรมชาติการลงเกาของ
ตัวอ่อนปะการัง (*juvenile coral*) ถูกปกคลุมด้วยปัจจัยสิ่งแวดล้อมหลายประการ โดยเฉพาะ
พื้นว่างที่เป็นปัจจัยสำคัญต่อปะการังที่จะเจริญเติบโตได้ จากข้อมูลที่ศึกษาในบริเวณ
ภาคสนามมีปริมาณตัวอ่อนปะการังที่พบในช่วงหลังเกิดคลื่นสึนามิลงเกาบนพื้นว่างใน
บริเวณพื้นที่ศึกษาของช่วงเดือนมกราคม 2548 ซึ่งมีการแพร่กระจายตัวอ่อนที่ลงเกา
ต่ำกว่าช่วงก่อนเกิดคลื่นสึนามากเมื่อเปรียบเทียบข้อมูลในเดือนธันวาคม 2547 แสดงให้
เห็นว่าตัวอ่อนปะการังที่ลงเกาบนพื้นว่างบริเวณเกาะตอรินลา อ่าวผักกาด เกาะป่าชุมนา อ่าว
เต่า อ่าวจาก อ่าวแม่ยาย เกาะสตอร์ค อ่าวไม้งาม และอ่าวสุเทพ มีแนวโน้มลดลงอย่างชัดเจน
(2.93, 7.47, 1.60, 4.27, 1.60, 3.47, 0.40, 8.93 และ 3.17 โโคโลนีต่อตารางเมตร ตามลำดับ)
เมื่อพิจารณาการลงเกาใหม่ของปะการังในช่วงเดือนมีนาคม 2549 โดยทดสอบสมมุติฐาน
จากตัวอ่อนปะการังที่มีขนาดเล็กไม่เกิน 0.5 เซนติเมตร พบว่ามีการลงเกาของตัวอ่อน
ใหม่โดยมีความหนาแน่นในแต่ละพื้นที่อยู่ในระดับสูงใกล้เคียงกัน และมีความหนาแน่น^{เฉลี่ย}
 4.17 ± 0.26 โโคโลนีต่อตารางเมตร โดยตัวอ่อนปะการังชนิดเด่นที่พบ คือ สกุล
Acropora, *Pocillopora* และ *Porites* ดังนี้พื้นที่แนวปะการังได้รับความเสียหายมาก่อน
หน้าี้มีแนวโน้มพื้นตัวเองได้ ซึ่งตัวอ่อนปะการังที่ลงเกาใหม่ในพื้นที่ว่างจะมีการเติบโต
เป็นโโคโลนีและพัฒนาการเป็นขนาดใหญ่ ทำให้อัตราการตายมีแนวโน้มลดลง (Fitzhardinge,
1988, p. 673; Highsmith, 1982, p. 222; Muko, Sakai, & Iwasa, 2001, p. 67)

เมื่อทำการศึกษาความหนาแน่นของตัวอ่อนปะการังในภาพรวมที่ลงเกาบนแนว
ปะการังที่มีขนาดเส้นผ่านศูนย์กลางตั้งแต่น้อยกว่าไปถึงขนาด 5 เซนติเมตร ใน
เดือนมีนาคม 2549 บริเวณเกาะตอรินลา อ่าวผักกาด เกาะป่าชุมนา อ่าวเต่า อ่าวจาก อ่าวแม่ยาย
เกาะสตอร์ค อ่าวไม้งาม และอ่าวสุเทพ มีค่าเฉลี่ย 4.00 ± 0.23 , 5.07 ± 0.19 , 6.00 ± 0.11 ,
 7.07 ± 0.11 , 3.07 ± 0.23 , 3.33 ± 0.14 , 3.33 ± 0.23 , 6.27 ± 0.17 และ 5.50 ± 0.13 โโคโลนี
ต่อตารางเมตร ตามลำดับ แสดงให้เห็นว่าแนวปะการังบริเวณหมู่เกาะสุรินทร์หลังได้รับ^{ความเสียหายจากคลื่นสึนามิยังคงมีความหนาแน่นของตัวอ่อนปะการังที่ลงเกาเพิ่มขึ้นใน}
แนวปะการัง อย่างไรก็ตามการพื้นตัวของแนวปะการังต้องขึ้นอยู่กับปริมาณและการ
แพร่กระจายของตัวอ่อนปะการัง (*planula larva*) ซึ่งสอดคล้องกับลักษณะทางภูมิศาสตร์

ของประเทศไทยที่ตั้งอยู่ในบริเวณเขตเด่นศูนย์สูตรมีอุณหภูมิที่เหมาะสมต่อการปล่อยเชลล์สีบพันธุ์ได้หลายครั้งในรอบปี จึงทำให้มีความหนาแน่นของตัวอ่อนปะการังแพร่กระจายมากแนวปะการังทุกพื้นที่ (Glassom et al., 2006, p. 488; Yeemin & Sudara, 1992, p. 15)

ตัวอ่อนปะการังในมวลน้ำทะเลบริเวณอุทยานแห่งชาติหมู่เกาะสุรินทร์

การแพร่กระจายของตัวอ่อนปะการังในพื้นที่แนวปะการัง จากการศึกษาการลงเกะของตัวอ่อนปะการังบนแผ่นกระเบื้องพบว่ามีอัตราการลงเกะของตัวอ่อนปะการังในพื้นที่ศึกษาที่ได้รับความเสียหายจากคลื่นสึนามิระดับต่างกันในแต่ละช่วงเวลาที่เก็บข้อมูล ปริมาณตัวอ่อนปะการังที่ลงเกะไม่มีความแตกต่างกันอย่างมีนัยสำคัญ โดยมีความหนาแน่นของตัวอ่อนปะการังที่ลงเกะบนแผ่นกระเบื้องมีปริมาณสูงและมีความหนาแน่นเฉลี่ย 34.94 ± 3.19 โโคโนนิตต่อตารางเมตรต่อปี ซึ่งในระหว่างพื้นที่ศึกษาที่ได้รับความเสียหายมาก (อ่าวผักกาดและเกาะตอรินลา) และพื้นที่ได้รับความเสียหายเพียงเล็กน้อย (อ่าวจาก อ่าวแม่ยาย และอ่าวสุเทพ) มีความหนาแน่นของตัวอ่อนปะการังมีปริมาณสูง และมีปริมาณใกล้เคียงกันทุกพื้นที่ นอกจากนี้ตัวอ่อนปะการังที่พบในพื้นที่มีความแตกต่างอย่างชัดเจนในระดับสกุล (genus) ในพื้นที่หมู่เกาะสุรินทร์

เมื่อพิจารณาการกระจายของชนิดตัวอ่อนปะการังที่พบในพื้นที่แนวปะการัง ในสกุล *Acropora* สามารถพบตัวอ่อนมากในทุก ๆ พื้นที่ เนื่องจากสภาพพื้นที่แนวปะการัง ส่วนใหญ่จะพบปะการังเขากวาง (*Acropora* spp.) เป็นกลุ่มชนิดเด่นที่ปักคลุนพื้นที่ ในขณะที่ปะการังในสกุล *Porites* จะพบได้ทั่วไปในทุกพื้นที่ แต่จะพบตัวอ่อนมากเป็นชนิดเด่นในพื้นที่โดยเฉพาะบริเวณอ่าวแม่ยายที่มีอัตราการลงเกะสูงมากกว่าพื้นที่อื่น ๆ ส่วนปะการังในสกุล *Pocillopora* มีระดับการแพร่กระจายที่ค่อนข้างต่ำในทุกพื้นที่ แต่จะพบมากในบริเวณอ่าวผักกาด เพราะในแต่ละพื้นที่จะมีโโคโนนิตแม่ของปะการังปักคลุนอยู่มากและเป็นชนิดหลักของพื้นที่ นอกจากนี้ตัวอ่อนปะการังจะมีรูปแบบเฉพาะตัวที่จะทนต่อสภาวะเร้าต่าง ๆ ได้แตกต่างกัน ปะการังสกุล *Acropora* และ *Pocillopora* สามารถพบได้ทั่วไป และมีอัตราการลงเกะสูงและเร็วๆ ต้นโโคโนนิตเป็นโโคโนนิตเร็ว แต่จะทนต่อสภาพแวดล้อมได้น้อยกว่าปะการังกลุ่มก้อนหรือโขดสกุล *Porites* ที่สามารถทนต่อปัจจัยสิ่งแวดล้อมต่าง ๆ

ได้คิมาก เช่น บริเวณแนวปะการังที่มีปริมาณของตะกอนมาก เป็นต้น แต่กลุ่มก้อนหรือโขด สกุล *Porites* มีอัตราการเจริญเติบโตช้ามาก และจากเหตุนี้การลงเกาของตัวอ่อนปะการัง ในพื้นที่แนวปะการังของแต่ละสกุลมีอัตราการเจริญเติบโตและอัตราการตายไม่เท่ากัน (Adjeroud et al., 2006, pp. 210-213)

สำหรับการแพร่กระจายของตัวอ่อนปะการังหลังจากแนวปะการังได้รับผลกระทบ จากคลื่นสึนามินน้ำ ตัวอย่างในพื้นที่หมู่เกาะสุรินทร์กลุ่ม Broadcasting species มากกว่ากลุ่ม Brooding species ในทุกพื้นที่ศึกษา โดยความหนาแน่นของตัวอ่อนปะการัง ทั้งสองกลุ่มที่ลงเกาในพื้นที่ศึกษาระหว่าง Broadcasting species และ Brooding species โดยมีสัดส่วนเป็น 3 : 1 ของชนิดของปะการัง ซึ่งตัวอ่อนปะการังที่ลงเกาบนพื้นทั้งภายใน แนวปะการังเดียวกับโคลอนีแม่และระหว่างพื้นที่แนวปะการัง ซึ่งพิจารณาได้จากลักษณะ เฉพาะของปะการังด้วย ปะการังประกอบด้วย 2 กลุ่ม คือ กลุ่ม Broadcasting planula มี ลักษณะทางกายภาพที่ไข่และสเปร์มผสมพร้อมฟักเป็นตัวอ่อนในมวลน้ำจะใช้เวลา ประมาณ 72 ชั่วโมง ก่อนจะเลือกพื้นที่ลงเกา ทำให้ตัวอ่อนปะการังกลุ่มนี้สามารถ แพร่กระจายในรัศมีกว้างตามกระแสน้ำ ได้แก่ สกุล *Acropora* และ *Porites* เป็นต้น ส่วน กลุ่ม Brooding planula มีการผสมพันธุ์ภายในตัวปะการัง เมื่อปล่อยอອกมาสู่แนวปะการัง ตัวอ่อนปะการังนี้สามารถเลือกลงเกาได้ทันทีหรือภายใน 24 ชั่วโมง ทำให้มีการกระจาย ตัวออกพื้นที่แนวปะการังต่ำมากและส่วนใหญ่จะเจริญอยู่ในพื้นที่เดียวกับโคลอนีแม่ ได้แก่ สกุล *Pocillopora*, *Seriatopora* และ *Stylophora* (Adjeroud et al., 2006, p. 215; Nishikawa, Kotoh, & Sakai, 2003, p. 87; Tioho et al., 2001, p. 84)

ความแปรปรวนของช่วงฤดูกาลกับตัวอ่อนปะการังในมวลน้ำ จากอัตราการลงเกา ของตัวอ่อนปะการังในมวลน้ำมีความแตกต่างกันตามช่วงเวลาหรือฤดูกาล (Adjeroud et al., 2006, p. 213) ซึ่งสอดคล้องกับช่วงเวลาการปล่อยเซลล์สืบพันธุ์ของปะการังของปะการัง โคลอนีแม่เป็นสำคัญ โดยตัวอ่อนปะการังแพร่กระจายตามช่วงเวลาหรือฤดูกาลของพื้นที่ หมู่เกาะสุรินทร์สูงมากที่สุดในรอบปีอยู่ในระหว่างเดือนมีนาคม-มีนาคม 2549 (พบตัวอ่อน ปะการังจำนวน 456 โคลอนี มีค่าความหนาแน่นของตัวอ่อนปะการังเฉลี่ย 56.36 ± 12.59 โคลอนีต่อตารางเมตร) อย่างไรก็ตามในระหว่างเดือนมีนาคม-พฤษภาคม 2549 จะพบ ตัวอ่อนน้อยมากเพียงไม่ถึงโคลอนี (พบตัวอ่อนปะการังจำนวน 42 โคลอนี มีค่าความ-

หนาแน่นของตัวอ่อนปะการังเฉลี่ย 5.19 ± 0.71 โคลอน/ตร.ม. (ต่อตารางเมตร) จากการศึกษาตัวอ่อนปะการังในแต่ละช่วงเวลาที่ศึกษาพบตัวอ่อนปะการังหลายสกุล ได้แก่ *Acropora*, *Porites* และ *Pocillopora* ตามลำดับ ดังนั้นข้อมูลพื้นฐานนี้สอดคล้องกับสมมุติฐานที่ตั้งไว้ว่าระยะ การปล่อยเชลล์สีบพันธุ์ต่อตัวอ่อนปะการังที่พบในมวลน้ำในด้านฝั่งอันดามันที่มีตัวอ่อนปะการังมีการแพร่กระจายสูงในช่วงเดือนกรกฎาคม-มีนาคม และยังพบช่วงที่ตัวอ่อนแพร่กระจายมาก 2 ช่วง คือช่วงฤดูมรสุมกับฤดูร้อน แต่พบตัวอ่อนมากที่สุดในช่วงเดือน มกราคม-มีนาคม (Adjeroud et al., 2006, p. 204; Babcock, 1988, p. 635; Glassom et al., 2006, p. 485)

อย่างไรก็ตามการแพร่กระจายของตัวอ่อนปะการังแต่ละสกุลจะมีความแตกต่างกันตามฤดูกาล (Fox, 2004, p. 136) คือ สกุล *Acropora* จะพบตัวอ่อนปริมาณมากที่สุดอยู่ 2 ช่วงเวลาอย่างชัดเจน คือ ระหว่างเดือนกรกฎาคม-พฤษจิกายน 2549 และระหว่างเดือน มกราคม-มีนาคม 2549 ซึ่งสอดคล้องกับขนาดของไข่ที่มีขนาดใหญ่ที่พร้อมจะปล่อยออกสู่มวลน้ำ ตัวอ่อนปะการังสกุล *Porites* มีอัตราการกระจายตัวอ่อนสูงที่สุด แต่จะมีปริมาณมากอยู่ในช่วงระหว่างเดือนพฤษจิกายน 2548 - มกราคม 2549 โดยมีค่าเฉลี่ย 31.33 ± 10.09 โคลอน/ตร.ม. ต่อตารางเมตร ส่วนตัวอ่อนปะการังสกุล *Pocillopora* มีการแพร่กระจายอย่างสม่ำเสมอในทุกเดือนหรือพบตลอดปีในปริมาณต่ำ แต่จะมีปริมาณตัวอ่อนสูงมากในช่วงเดือนมกราคม-มีนาคม 2549 โดยมีความหนาแน่นเฉลี่ย 8.21 ± 3.54 โคลอน/ตร.ม. ต่อตารางเมตร จากผลการศึกษาสรุปได้ว่าช่วงเวลาที่มีการปล่อยตัวอ่อนสู่มวลน้ำของตัวอ่อนปะการังที่พบในสกุล *Acropora* มีการกระจายของตัวอ่อนสูง ได้อยู่ 2 ช่วงเวลา แต่ตัวอ่อนปะการังสกุล *Pocillopora* และ *Porites* มีการแพร่กระจายสม่ำเสมอทั้งปี (Adjeroud et al., 2006, pp. 213-214; Dunstan & Johnson, 1998, p. 71; Gleason, 1996, p. 79)

การแก่งแย่งพื้นที่ของสิ่งมีชีวิตกลุ่มอื่น ๆ จากการวิเคราะห์ข้อมูลสิ่งมีชีวิตอื่น ๆ บนแผ่นกระเบื้อง โดยส่วนใหญ่มักจะมีสิ่งมีชีวิตในกลุ่มพืชที่เป็นสาหร่ายประเภทเส้นสาย (filament algae) ลงเกลากามากที่สุดในทุกช่วงฤดูกาล โดยมีค่าเฉลี่ย $45.78 \pm 2.02\%$ ต่อปี และสาหร่ายสามารถเก็บกักตะกอนด้วย (Bittell, McCook, & Willis, 2005, p. 408) ส่วนกลุ่มสัตว์ที่ลงเกลากะและบุกรุกพื้นที่ส่วนใหญ่คือ กลุ่มหอนทะเล (กลุ่มที่สร้างท่อ) และไบรโอลซัว ซึ่งมีความแปรปรวนสูงตามสภาพแวดล้อมทั้งพื้นที่และตามเวลา ซึ่ง

สอดคล้องกับการสำรวจในภาคสนามที่สิ่งมีชีวิตเหล่านี้จะแก่งเบ่งและปักลุนพื้นที่ว่างทำให้ตัวอ่อนปะการังที่พร้อมจะเลือกลงเกาะบนพื้นธรรมชาติคือสิ่งเดียวโอกาสในการลงเกาะและการเจริญเติบโตต่อไปในอนาคต (Tioho et al., 2001, p. 84) จึงเป็นเหตุผลที่ทำให้พื้นที่ว่าง (hard substrate) มีปริมาณตัวอ่อนปะการัง (juvenile coral) ลงเกาะลดลง เพราะว่าแนวปะการังมีพื้นที่การปักลุนส่วนใหญ่เป็นกลุ่มสาหร่ายแบบเส้นสาย (filament algae) บนหากปะการัง

ความชันช้อนของพื้นที่ว่างที่มีความสำคัญต่อศักยภาพของการลงเกาะของตัวอ่อนปะการัง และการฟื้นตัวของแนวปะการังบริเวณหมู่เกาะสุรินทร์

แนวปะการังของหมู่เกาะสุรินทร์มีองค์ประกอบต่าง ๆ รวมเป็นระบบนิเวศแนวปะการัง โดยพื้นที่ส่วนใหญ่ประกอบด้วยปะการังมีชีวิต สิ่งมีชีวิตอื่น ๆ และพื้นที่ว่างที่แบ่งเป็นพื้นที่ว่างในกลุ่มต่าง ๆ (hard substrate) และยังเป็นปัจจัยพื้นฐานที่สำคัญ ต่อการดำเนินค้นแนวปะการัง จากผลการสำรวจในภาคสนามสภาพพื้นที่ว่างในแนวปะการังหมู่เกาะสุรินทร์ประกอบด้วย 2 กลุ่ม คือ กลุ่มพื้นที่ว่างที่มีความเสถียรหรือไม่เคลื่อนที่ไปตามอิทธิพลของกระแสน้ำ ได้แก่ พื้นที่นิ่ง ซากปะการังตายทึบแบบก็งก้านและก้อน และปะการังมีชีวิตที่มีรอยแผลจากการตายบางส่วน ซึ่งมักพบในปะการังก้อนที่อาจถูกกระทำ จากแรงคลื่นหรือปัจจัยต่าง ๆ (Sheppard, Dixon, Gourlay, Sheppard, & Payet, 2005, p. 223) และกลุ่มพื้นที่ว่างที่ไม่มีความเสถียรหรือเคลื่อนที่ได้ตามอิทธิพลของกระแสน้ำ ได้แก่ เหยษาก-ปะการัง และพื้นทราย (Fox et al., 2003, p. 1024) จากการสำรวจสัดส่วนพื้นที่ว่าง ภายหลังเกิดคลื่นสึนามิในเดือนมีนาคม 2549 มีสัดส่วนของแนวปะการังที่มีปะการังมีชีวิตและพื้นที่ว่างทุกชนิด คิดเป็นสัดส่วน 2: 1 ของพื้นที่แนวปะการังทั้งหมด ให้เห็นว่าแนวปะการังมีแนวโน้มของพื้นที่ว่างเพิ่มขึ้นมากกว่าก่อนเกิดคลื่นสึนามิ เนื่องจากคลื่นสึนามิเป็นเหตุผลหลักที่ทำให้กระแสน้ำมีความรุนแรงกระทำต่อระบบนิเวศแนวปะการัง เกิดการแตกหักเสียหายและทำให้เกิดการตายบางส่วนของปะการังมีชีวิต ซึ่งเปรียบเสมือนการเปิดผิวน้ำแนวปะการังขึ้นมาใหม่ ทำให้พื้นที่ว่างที่พบมาก ในแนวปะการังหมู่เกาะสุรินทร์เป็นปะการังตายโดยมีค่าเฉลี่ยร้อยละ 28.89 ของพื้นที่แนวปะการังทั้งหมด

เมื่อตัวอ่อนปะการังที่ปล่อยมาจากโคลoniแม่และสามารถคงเกาะบนพื้นที่ว่าง (substrate) ที่มีพื้นผิวสัมผัส (surface substrate) ที่ว่างและมีศักยภาพต่อการลงเกาะบนพื้นที่เหมาะสมที่สุด (Edmunds, Bruno, & Carlon, 2004, p. 115) จากสมมุติฐานที่คาดว่าความซับซ้อนของพื้นที่ผิวสัมผัส (complex substrate) จะมีอิทธิพลต่อปริมาณตัวอ่อนเลือกลงเกาะที่มากขึ้น (Vermeij, 2005, p. 123) จากผลการวิจัยลักษณะของพื้นที่ว่างประเภทต่าง ๆ จะเป็นตัวแปรที่สำคัญต่อการลงเกาะของสิ่งมีชีวิตและปะการัง ในการศึกษาลักษณะพื้นที่ว่างที่มีผิวน้ำของปะการังตายทั้งแบบกึ่งก้านและก้อนจะมีระดับความซับซ้อนของพื้นที่ผิวสัมผัสสูงมากกว่าพื้นที่ว่างกลุ่มอื่น ๆ โดยมีค่าเฉลี่ย 183.33 ± 4.78 , 141.84 ± 3.90 เซนติเมตรต่อเมตร เนื่องจากพื้นที่เป็นปะการังตายมีลักษณะความซับซ้อนของพื้นที่ผิวสัมผスマาก ทำให้พื้นกลุ่มนี้มีเนื้อที่มากต่อการลงเกาะของตัวอ่อนปะการังและสิ่งมีชีวิต อื่น ๆ ซึ่งสอดคล้องกับแนวปะการังบริเวณหมู่เกาะสุรินทร์ซึ่งมีการปกคลุมพื้นที่ที่มีพื้นที่ว่างส่วนใหญ่เป็นปะการังตาย จากเหตุผลนี้ที่จะใช้สนับสนุนข้อมูลการสืบพันธุ์และปริมาณตัวอ่อนปะการังที่มีในมวลน้ำและตัวอ่อนปะการังที่ลงเกาะในพื้นที่มาก ทำให้แนวปะการังก็จะสามารถฟื้นฟูตัวเองได้ตามธรรมชาติ นอกจากนี้ในหลายพื้นที่ทั่วโลกมีการทำการฟื้นฟูแนวปะการังกลับมาใหม่จากตัวอ่อนปะการังที่มีอยู่ในพื้นที่และลงเกาะบนเศษซากปะการัง (bubble) ที่ไม่เหมาะสมต่อตัวอ่อนเจริญอยู่ได้จึงต้องมีวิธีการยึดติดพื้นไม้ให้เคลื่อนที่ได้ ทำให้แนวปะการังมีการฟื้นฟูตัวเองและมีความหลากหลายของสิ่งมีชีวิตเพิ่มมากขึ้น (Fox et al., 2003, p. 1024; Fox, 2004, p.137; Raymundo et al., 2007, p. 2016-2017) จากเหตุผลที่กล่าวมาทั้งหมดได้ตามสมมุติฐานว่าความซับซ้อนพื้นที่ผิวน้ำมากจะทำให้เอื้อประโยชน์ต่อการลงเกาะของตัวอ่อนปะการังมีจำนวนมากขึ้น ผลการศึกษาตัวอ่อนปะการังที่ลงเกาะบนพื้นที่ว่างประเภทต่าง ๆ ในหมู่เกาะสุรินทร์พบตัวอ่อนปะการังลงเกาะบนซากปะการังตายมากที่สุด (Raymundo et al., 2007, p. 2017) เฉลี่ย $91.81 \pm 2.69\%$ และพื้นที่นี้มีความหนาแน่นของตัวอ่อนลงเกาะเฉลี่ย $6.71 \pm 2.57\%$ ของตัวอ่อนปะการังทั้งหมด นอกจากนี้จะพบตัวอ่อนลงเกาะบนพื้นชนิดอื่น ๆ เฉลี่ย $1.48 \pm 0.69\%$ ของตัวอ่อนปะการัง สรุปได้ว่าตัวอ่อนปะการังมีการเลือกลงเกาะบนซากปะการังมากที่สุด และสอดคล้องกับปริมาณปะการังตายที่พบมากในพื้นที่หมู่เกาะสุรินทร์ ทำให้แนวปะการังมีพื้นที่ว่างมากพอที่ตัวอ่อนปะการังมาลงเกาะในธรรมชาติ

จากเหตุผลดังที่กล่าวมาแนวปะการังหมู่เกาะสูรินทร์ที่ได้รับความเสียหายของคลื่นสึนามิ แนวปะการังสามารถมีระบบป้องกันและซ่อมแซมตัวเองได้ ยกเว้นแนวปะการังอยู่ในสภาพวิกฤตจนฟื้นตัวไม่ทัน อย่างเช่น การฟอกขาวในปะการัง (coral bleaching) เป็นต้น จากการติดตามและเฝ้าระวังในเรื่องรูปแบบการสึบพันธุ์ ตัวอ่อนปะการังที่ล่องเกา และปัจจัยของพื้นที่ว่าที่อิทธิพลต่อตัวอ่อนลงเกา (complex substrate) ซึ่งจะเป็นจุดที่เชื่อมโยงกันและเป็นปัจจัยที่สำคัญต่อการฟื้นตัวของแนวปะการังที่เสียหาย ดังนั้น สรุปได้ว่าแนวปะการังหมู่เกาะสูรินทร์สามารถฟื้นตัวกลับมาได้่องตามธรรมชาติ เมื่อจากพื้นที่มีความเสียหายจากผลกระทบคลื่นสึนามิไม่มากและแนวปะการังยังมีระดับจำนวนประชากรตัวอ่อนปะการังเข้ามาเพิ่มหรือลดแทนในปริมาณที่มากพอบนพื้นที่ว่าที่มีอยู่มากในพื้นที่และยังมีกระบวนการสึบพันธุ์ของปะการังชนิดต่าง ๆ ที่สามารถผลิตตัวอ่อนได้ตลอดเวลา รวมทั้งมีช่วงพักฟื้นตัวของแนวปะการังตามธรรมชาติในช่วงฤดูมรสุม จึงเป็นเหตุผลทำให้แนวปะการังจะฟื้นกลับคืนด้วยตัวเองได้แต่อาจจะต้องใช้ระยะเวลาหนึ่งที่จะสร้างความสมบูรณ์หรือความหลากหลายทางชีวภาพต่าง ๆ ให้สูงขึ้นในอนาคต

ข้อเสนอแนะ

1. ควรมีการติดตามการเปลี่ยนแปลงสถานภาพแนวปะการังในแต่ละพื้นที่ เพื่อวิเคราะห์ปัญหาและสาเหตุที่ทำให้แนวปะการังเสื่อมโทรม เพื่อประเมินแนวโน้มของการฟื้นตัวในอนาคต และวางแผนการจัดการแนวปะการังในแต่ละพื้นที่
2. ควรมีการศึกษาข้อมูลในเชิงลึกของพื้นที่เกี่ยวกับการสึบพันธุ์ของปะการัง ความหนาแน่นของตัวอ่อนปะการัง ชีวส่วนปะการัง และสภาพพื้นที่ว่าที่ในแนวปะการัง เพื่อประเมินศักยภาพของแนวปะการังก่อนที่จะเลือกวิธีการฟื้นฟูหรือปล่อยให้แนวปะการังฟื้นตัวเองตามธรรมชาติ
3. เมื่อมีการฟื้นฟูแนวปะการังควรมีการติดตามการเปลี่ยนแปลงอย่างต่อเนื่อง เพื่อสามารถวิเคราะห์แนวทางและวิธีการที่เหมาะสมกับแต่ละพื้นที่
4. การฟื้นฟูแนวปะการังในแต่ละพื้นที่มีวิธีการแตกต่างกันขึ้นอยู่กับสภาพปัญหาของแนวปะการัง ดังนั้นก่อนดำเนินการฟื้นฟูแนวปะการังควรศึกษาสถานภาพ

ของแนวปะการัง ปัจจุหา และสาเหตุของการเดื่อมโกรน เพื่อให้สามารถเลือกวิธีการพื้นฟูที่เหมาะสมกับสภาพพื้นที่ และควรคำนึงการคู่ไปกับการอนุรักษ์ แนวปะการังในเชิงนโยบาย เพื่อให้การพื้นฟูแนวปะการังประสบผลสำเร็จอย่างแท้จริง

ภาคผนวก

ตาราง 13

การวิเคราะห์ด้วย Two-way ANOVA เปรียบเทียบปริมาณการสร้างเซลล์สีบพันธุ์ระหว่างแต่ละพื้นที่และช่วงเวลาของปะการัง *Acropora formosa*

Source of Variation	SS	df	MS	F	P-value	F crit
Rows (ช่วงเวลา)	16694.84	5	3338.968	149.4135	3.97E-15	2.71089
Columns (สถานที่)	318.29	4	79.572	3.5607	0.023833	2.86608
Error	446.94	20	22.347			
Total	17460.07	29				

ตาราง 14

การวิเคราะห์ด้วย Two-way ANOVA เปรียบเทียบปริมาณการสร้างเซลล์สีบพันธุ์ระหว่างแต่ละพื้นที่และเวลาของปะการัง *Acropora formosa*

Source of Variation	SS	df	MS	F	P-value	F crit
Rows (ช่วงเวลา)	29.41958	5	5.883917	1.615311	0.201688	2.71089
Columns (สถานที่)	2.71620	4	0.679051	0.186420	0.942720	2.86608
Error	72.85180	20	3.642590			
Total	104.98760	29				

ตาราง 15

การวิเคราะห์ด้วย Two-way ANOVA เปรียบเทียบปริมาณที่ยับขนาดของไข่ระหว่างแต่ละพื้นที่และเวลาของปะการัง *Acropora formosa*

Source of Variation	SS	df	MS	F	P-value	F crit
Rows (ช่วงเวลา)	645630.4	5	129126.10	10.10416	6.11E-05	2.71089
Columns (สถานที่)	126227.1	4	31556.77	2.46932	0.077796	2.86608
Error	255590.1	20	12779.50			
Total	1027448.0	29				

ตาราง 16

การวิเคราะห์ด้วย Two-way ANOVA เปรียบเทียบความเปลี่ยนแปลงความหนาแน่น การลงแกะของปะการังตัวอ่อน ในแต่ละพื้นที่ระหว่างช่วงเวลาในพื้นที่หมู่เกาะสุรินทร์

Source of Variation	SS	df	MS	F	P-value	F crit
Rows (สถานที่)	1.19289855	8	0.149112	3.931871	0.004289	2.355081
Columns (ช่วงเวลา)	0.83435715	3	0.278119	7.333587	0.001179	3.008787
Error	0.91017628	24	0.037924			
Total	2.93743198	35				

ตาราง 17

การวิเคราะห์ด้วย Two-way ANOVA เปรียบเทียบความเปลี่ยนแปลงความหนาแน่น การลงเกาของปะการังตัวอ่อน ในแต่ละพื้นที่ระหว่างช่วงก่อนและหลังเกิดคลื่นสึนามิ

Source of Variation	SS	df	MS	F	P-value	F crit
Rows (สถานที่)	0.740524	8	0.092565552	1.78108	0.21592	3.438101
Columns (ช่วงเวลา)	0.660398	1	0.660398422	12.70692	0.00735	5.317655
Error	0.415773	8	0.051971571			
Total	1.816695	17				

ตาราง 18

การวิเคราะห์ด้วย Two-way ANOVA เปรียบเทียบความเปลี่ยนแปลงความหนาแน่น การลงเกาของตัวอ่อนปะการังกลุ่ม Broadcasting species และกลุ่ม Brooding species ในระหว่างช่วงก่อนและหลังเกิดคลื่นสึนามิ

Source of Variation	SS	df	MS	F	P-value	F crit
Sample (การคลื่นสึนามิ)	0.315054	1	0.315053532	8.61173	0.006134	4.149097
Columns (ประเภทของ ปะการัง)	1.554178	1	1.554177778	42.48220	2.45E-07	4.149097
Interaction	0.258779	1	0.258779458	7.07352	0.012120	4.149097
Within	1.170695	32	0.036584208			
Total	3.298705	35				

ตาราง 19

การวิเคราะห์ด้วย Two-way ANOVA เปรียบเทียบความเปลี่ยนแปลงความหนาแน่น การลงเกะของตัวอ่อนปะการังกลุ่ม Broadcasting species และกลุ่ม Brooding species ในระหว่างพื้นที่กับช่วงเวลาที่ศึกษาในบริเวณหมู่เกาะสุรินทร์

Source of Variation	SS	df	MS	F	P-value
Rows (สถานที่)	0.173181	8	0.021647588	1.550576	0.274597
Columns (ประเภทของปะการัง)	0.725611	1	0.725611278	51.974160	9.16E-05
Error	0.111688	8	0.013961000		
Total	1.010480	17			

ตาราง 20

การวิเคราะห์ด้วย Two-way ANOVA เปรียบเทียบความเปลี่ยนแปลงการลงเกะของตัวอ่อนปะการังบนพื้นที่ว่าง (substrate) ในแต่ละพื้นที่

Source of Variation	SS	df	MS	F	P-value	F crit
Rows (สถานที่)	4.83E-06	8	6.04E-07	7.78E-09	1	2.355081495
Columns (ประเภทของพื้นที่ว่าง)	20103.910000	3	6701.304000	86.307560	5.37E-13	3.008786572
Error	1863.467000	24	77.644460			
Total	21967.380000	35				

ตาราง 21

การวิเคราะห์ด้วย Two-way ANOVA เปรียบเทียบความเปลี่ยนแปลงของตัวอ่อนลงเกาะของปะการังตัวอ่อนบนพื้นว่าง (substrate) ระหว่างช่วงก่อนและหลังเกิดคลื่นสึนาม尼ในบริเวณหมู่เกาะสุรินทร์

Source of Variation	SS	df	MS	F	P-value	F crit
Sample (การเกิดคลื่นสึนาม尼)	3.89E-07	1	3.89E-07	4.68E-09	0.999946	3.990923688
Columns (ประเภทของพื้นว่าง)	37051.840000	3	12350.610000	148.679600	8.64E-29	2.748190911
Interaction	77.202760	3	25.734250	0.309795	0.818218	2.748190911
Within	5316.394000	64	83.068660			
Total	42445.43000	71				

ตาราง 22

การวิเคราะห์ด้วย Two-way ANOVA เปรียบเทียบความหนาแน่นของตัวอ่อนปะการังลงเกาะบนพื้นว่างที่มีศักยภาพต่อการลงเกาะในธรรมชาติระหว่างในแต่ละพื้นที่และช่วงเวลาของหมู่เกาะสุรินทร์

Source of Variation	SS	df	MS	F	P-value	F crit
Rows (สถานที่)	110.80210	8	13.850260	6.742831	0.000122	2.355081
Columns (ช่วงเวลา)	102.14530	3	34.048450	16.576070	4.77E-06	3.008787
Error	49.29773	24	2.054072			
Total	262.24520	35				

ตาราง 23

การวิเคราะห์ด้วย Two-way ANOVA เปรียบเทียบความหนาแน่นของตัวอ่อนปะการัง ลงเกะบันพื้นที่ที่มีศักยภาพต่อการลง闳ในธรรมชาติแต่ละพื้นที่ระหว่างก่อนและหลังคลื่นสึนามิในบริเวณหมู่เกาะสุรินทร์

<i>Source of Variation</i>	<i>SS</i>	<i>df</i>	<i>MS</i>	<i>F</i>	<i>P-value</i>	<i>F crit</i>
Sample (สถานที่)	109.76150	8	13.720190	22.383150	7.53E-08	2.510158
Columns (การคลื่นสึนามิ)	96.72722	1	96.727220	157.801100	2.41E-10	4.413873
Interaction	41.91940	8	5.239925	8.548428	8.75E-05	2.510158
Within	11.03345	18	0.612969			
Total	259.44160	35				

ตาราง 24

การวิเคราะห์ด้วย Two-way ANOVA เปรียบเทียบของเขตการลง闳ของตัวอ่อนปะการัง ระหว่างกลุ่ม Broadcasting species และกลุ่ม Brooding species บนพื้นที่ที่ศักยภาพกับพื้นที่ในบริเวณหมู่เกาะสุรินทร์

<i>Source of Variation</i>	<i>SS</i>	<i>df</i>	<i>MS</i>	<i>F</i>	<i>P-value</i>	<i>F crit</i>
Rows (สถานที่)	17.18880	8	2.148601	1.103952	0.446092	3.438101
Columns (ประเภทของปะการัง)	118.97820	1	118.978200	61.131030	5.15E-05	5.317655
Error	15.57025	8	1.946281			
Total	151.73720	17				

ตาราง 25

การวิเคราะห์ด้วย Two-way ANOVA เปรียบเทียบรูปแบบการลงเกาตัวอ่อนปะการังบนพื้นที่น้ำท่วงประเภทต่าง ๆ ระหว่างพื้นที่

Source of Variation	SS	df	MS	F	P-value	F crit
Rows (สถานที่)	3.04E-06	8	3.8E-07	3.68E-09	1.000000	2.355081
Columns (ประเภทของพื้นที่น้ำท่วง)	40961.67000	3	13653.89000	132.408600	4.59E-15	3.008787
Error	2474.86400	24	103.11930			
Total	43436.53000	35				

ตาราง 26

การวิเคราะห์ด้วย Two-way ANOVA เปรียบเทียบความเปลี่ยนแปลงรูปแบบการลงเกาตัวอ่อนปะการังบนพื้นที่น้ำท่วงช่วงก่อนและหลังเกิดคลื่นสึนามิในบริเวณหมู่เกาะสุรินทร์

Source of Variation	SS	df	MS	F	P-value	F crit
Sample (การเกิดสึนามิ)	3.81E-08	1	3.81E-08	5.17E-10	0.999982	3.990924
Columns (ประเภทของพื้นที่น้ำท่วง)	86687.110000	3	28895.700000	392.578000	3.87E-41	2.748191
Interaction	2305.898000	3	768.632700	10.442670	1.11E-05	2.748191
Within	4710.720000	64	73.605000			
Total	93703.730000	71				

ตาราง 27

การวิเคราะห์ด้วย Two-way ANOVA เปรียบเทียบความหนาแน่นของตัวอ่อนปะการัง
ลงagara ใหม่บนพื้นที่ระหว่างในแต่ละพื้นที่และช่วงเวลาศึกษา

Source of Variation	SS	df	MS	F	P-value	F crit
Rows (สถานที่)	5.269182	4	1.317296	0.454690	0.767978	6.388233
Columns (ช่วงเวลา)	0.170738	1	0.170738	0.058933	0.820130	7.708647
Error	11.588510	4	2.897127			
Total	17.028430	9				

ตาราง 28

การวิเคราะห์ด้วย Two-way ANOVA เปรียบเทียบของเขตของตัวอ่อนปะการังที่ลงagara ใหม่
ของกลุ่ม Broadcasting species และกลุ่ม Brooding Species ระหว่างแต่ละพื้นที่

Source of Variation	SS	df	MS	F	P-value	F crit
Sample (สถานที่)	2.634591	4	0.658648	0.278109	0.885524	3.478050
Columns (ประเภทของ ปะการัง)	30.372910	1	30.372910	12.824740	0.005002	4.964603
Interaction	13.819410	4	3.454853	1.458787	0.285486	3.478050
Within	23.683060	10	2.368306			
Total	70.509970	19				

ตาราง 29

การวิเคราะห์ด้วย Two-way ANOVA เปรียบเทียบรูปแบบการลง kakage ใหม่ของตัวอ่อนปะการัง
บนพื้นที่ว่างประเภทต่าง ๆ ระหว่างพื้นที่

Source of Variation	SS	df	MS	F	P-value	F crit
Sample (สถานที่)	0.000	4	0.000	0.000000	1.000000	2.866081
Columns (ประเภทของพื้นที่ว่าง)	42916.670	3	14305.5600	135.831800	1.82E-13	3.098391
Interaction	5118.265	12	426.5221	4.049844	0.002890	2.277581
Within	2106.363	20	105.3182			
Total	50141.300	39				

ตาราง 30

การวิเคราะห์ด้วย Two-way ANOVA เปรียบเทียบพื้นที่ว่างในการลง kakage ของตัวอ่อนปะการัง
ทั้ง 3 ขนาดพื้นที่ของพื้นที่ศึกษา

Source of Variation	SS	df	MS	F	P-value	F crit
Rows (สถานที่)	2.811867	4	0.702967	1.904562	0.20315	3.837853
Columns (ขนาดของพื้นที่ศึกษา)	39.225990	2	19.613000	53.137900	2.4E-05	4.458970
Error	2.952770	8	0.369096			
Total	44.990630	14				

ตาราง 31

การวิเคราะห์ด้วย Two-way ANOVA เปรียบเทียบความหนาแน่นของตัวอ่อนปะการังที่ลงเกะบันแผ่นกระเบื้องระหว่างแต่ละพื้นที่ได้รับผลกระทบจากคลื่นสีนามิและช่วงเวลาที่ศึกษา

Source of Variation	SS	df	MS	F	P-value	F crit
Rows (สถานที่)	1221.981	4	305.4952	1.020505	0.420666	2.866081
Columns (ช่วงเวลา)	9943.260	5	1988.6520	6.643082	0.000853	2.710890
Error	5987.137	20	299.3568			
Total	17152.380	29				

ตาราง 32

การวิเคราะห์ด้วย Two-way ANOVA เปรียบเทียบการลงเกะบันแผ่นกระเบื้องระหว่างชนิดตัวอ่อนปะการังและพื้นที่ได้รับผลกระทบจากคลื่นสีนามิ

Source of Variation	SS	df	MS	F	P-value	F crit
Sample (สถานที่)	258.391	4	64.59774	0.516359	0.723896	2.485885
Columns (ชนิดของปะการัง)	2559.632	3	853.21080	6.820102	0.000376	2.718785
Interaction	2653.447	12	221.12060	1.767518	0.068028	1.875262
Within	10008.190	80	125.10230			
Total	15479.660	99				

ตาราง 33

การวิเคราะห์ด้วย Two-way ANOVA เปรียบเทียบการลงเกะบันแพ่นกระเบื้องระหว่างชนิดตัวอ่อนปะการังและช่วงเวลาที่ศึกษา

<i>Source of Variation</i>	<i>SS</i>	<i>df</i>	<i>MS</i>	<i>F</i>	<i>P-value</i>	<i>F crit</i>
Sample (ช่วงเวลา)	2445.400	4	611.35010	7.111506	5.96E-05	2.485885
Columns (ชนิดของปะการัง)	2559.632	3	853.21080	9.924942	1.23E-05	2.718785
Interaction	3597.319	12	299.77660	3.487140	0.000367	1.875262
Within	6877.306	80	85.96633			
Total	15479.660	99				

ตาราง 34

การวิเคราะห์ด้วย Two-way ANOVA ขอบเขตของตัวอ่อนปะการังที่ลงเกะของบันแพ่นกระเบื้องกุดม์ Broadcasting species และกุดม์ Brooding species ระหว่างแต่ละพื้นที่

<i>Source of Variation</i>	<i>SS</i>	<i>df</i>	<i>MS</i>	<i>F</i>	<i>P-value</i>
Sample (สถานที่)	512.252	4	128.0630	0.369709	0.828781
Columns (ประเภทของปะการัง)	8851.109	1	8851.1090	25.552560	9.94E-06
Interaction	1298.345	4	324.5862	0.937059	0.452404
Within	13855.530	40	346.3883		
Total	24517.240	49			

ตาราง 35

การวิเคราะห์ด้วย Two-way ANOVA ของเขตของตัวอ่อนปะการังที่ลงเกาะของบนแพ่นกระเบื้องกลุ่ม *Broadcasting species* และกลุ่ม *Brooding species* ระหว่างแต่ละพื้นที่

Source of Variation	SS	df	MS	F	P-value
Sample (ช่วงเวลา)	5099.382	4	1274.8460	6.967438	0.000236
Columns (ผลกระทบของปะการัง)	8851.109	1	8851.1090	48.374130	2.17E-08
Interaction	3247.869	4	811.9673	4.437660	0.004615
Within	7318.878	40	182.9719		
Total	24517.240	49			

ตาราง 36

การวิเคราะห์ด้วย Two-way ANOVA เปรียบเทียบความหนาแน่นของตัวอ่อนที่ลงเกาะบนแพ่นกระเบื้องระหว่างตำแหน่งที่แตกต่างกันกับช่วงเวลาที่ศึกษา

Source of Variation	SS	df	MS	F	P-value	F crit
Rows (ช่วงเวลา)	51731.410	24	2155.4760	11.889840	5.14E-13	1.746353
Columns (ตำแหน่งการลงเกาะ)	1561.134	2	780.5670	4.305694	0.019059	3.190727
Error	8701.783	48	181.2872			
Total	61994.330	74				

ตาราง 37

การวิเคราะห์ด้วย *One-way ANOVA* เปรียบเทียบพื้นผิวน้ำสัมผัสของพื้นที่ว่างแต่ละประเภท (*substrate*) ที่มีศักยภาพต่อการลงเกาของตัวอ่อนปะการังในเขตแนวปะการังหมู่เกาะสุรินทร์

Source of Variation	SS	df	MS	F	P-value	F crit
Between Groups						
(ประเภทของของพื้นที่ว่าง)	200295.6	7	28613.6500	61.43343	6.26E-52	2.044227
Within Groups	123428.2	265	465.7668			
Total	323723.8	272				

บรรณานุกรม

กรมป่าไม้. (2542). รายงานฉบับร่าง: แผนแม่บทอุทยานแห่งชาติหมู่เกาะสุรินทร์.

กรุงเทพมหานคร: ผู้แต่ง.

กรมป่าไม้. (2543). รายงานการสำรวจบริเวณอุทยานแห่งชาติหมู่เกาะสุรินทร์

ประจำปี 2543: อุทยานแห่งชาติหมู่เกาะสุรินทร์. กรุงเทพมหานคร: ผู้แต่ง.

กรมปะยาง. (2542). โครงการจัดการทรัพยากรป่าไม้: แผนที่แนวป่ารังในป่าฯ ไทย
เล่มที่ 2 ทะเลอันดามัน. ภูเก็ต: ผู้แต่ง.

กรมทรัพยากรทางทะเลและชายฝั่ง. (2548). รายงานการสำรวจและประเมินผลกระบวนการ
จากเหตุการณ์ธรรมชาติภัยต่อทรัพยากรชายฝั่งทะเลในทะเลอันดามัน.

กรุงเทพมหานคร: ผู้แต่ง.

กิตติไชย งามประสิทธิ์. (2543). การถูกทำลายของป่ารังจากการท่องเที่ยว และการพื้น
ตัวในระยะสั้น บริเวณเกาะล้านและเกาะริ้ว จังหวัดชลบุรี. วิทยานิพนธ์วิทยา-
ศาสตรมหาบัณฑิต, จุฬาลงกรณ์มหาวิทยาลัย.

ทรงศักดิ์ จันทร์เมธากุล. (2545). ดุกดการปล่อยเชลล์สีบันธุ์ของป่ารังแห่งบริเวณ
เกาะภูเก็ต. วิทยานิพนธ์วิทยาศาสตรมหาบัณฑิต, มหาวิทยาลัยสงขลานครินทร์.

ธรรมศักดิ์ ยืนนิ. (2538). รายงานฉบับสมบูรณ์การลงสำรวจของตัวอ่อนป่ารังในอ่าวไทย.

กรุงเทพมหานคร: มหาวิทยาลัยรามคำแหง, สำนักงานกองทุนสนับสนุนการวิจัย.

ธรรมศักดิ์ ยืนนิ (บรรณาธิการ). (2540). รายงานผลการสำรวจและประชุมเชิงปฏิบัติการ
เรื่องการพื้นฟูแนวป่ารัง. กรุงเทพมหานคร: มหาวิทยาลัยรามคำแหง.

ธรรมศักดิ์ ยืนนิ. (2542). การลึบพันธุ์แบบอาศัยเพศของป่ารังชนิด *Acropora*
hyacinthus ในอ่าวไทย. กรุงเทพมหานคร: มหาวิทยาลัยรามคำแหง, สถาบันวิจัย
และพัฒนา.

นิพนธ์ พงษ์สุวรรณ, ธรรมศักดิ์ ยืนนิ, สุรชัย วรชนานันท์, ไมตรี คงสวัสดิ์, เจดจินดา ใจดียะปุตตะ และเจนส์ คอมลีย์. (2548). สถานภาพของแนวปะการังและระบบน้ำเวคอิน ๆ ในทะเลอันดามันบริเวณชายฝั่งทะเลของประเทศไทย ที่ได้รับผลกระทบจากภัยพิบัติคลื่นยักษ์สึนามิ. ใน ไคลฟ์ วิลคินสัน, เดวิด ชูเตอร์, เจเรมี โกลด์เบิร์ก และเชิคศักดิ์ วีระพัฒน์ (บรรณาธิการ), รายงานสถานภาพแนวปะการังปี พ.ศ. 2548 ในประเทศไทยที่ได้รับผลกระทบจากภัยพิบัติคลื่นยักษ์สึนามิ (หน้า 63-71). กรุงเทพมหานคร: ผู้แต่ง.

รัตนติกา เพชรทองมา. (2549). การพื้นฟูแนวปะการังโดยการนำเข้าส่วนปะการังมาขึ้นติดกับพื้นบริเวณกลุ่มปะการังในแหล่งท่องเที่ยวของจังหวัดกระนี่. วิทยานิพนธ์-วิทยาศาสตรมหาบัณฑิต, มหาวิทยาลัยรามคำแหง.

สถาบันวิจัยชีววิทยาและประมงทะเล ภูเก็ต. (2538). โครงการอุทยานใต้ทะเลภูเก็ต 36: คู่มือสัตว์และพืชในแนวปะการัง หมู่เกาะสุรินทร์และสินิลัน. ภูเก็ต: ผู้แต่ง.

Adjeroud, M., Penin, L., & Carroll, A. (2006). Spatio-temporal heterogeneity in coral recruitment around Moorea, French Polynesia: Implications for population maintenance. *Journal of Experimental Marine Biology and Ecology*, 341, 204-218.

Atrigenio, M. P., & Alino, M. P. (1994). Seasonal recruitment of scleractinian corals at Puerto Galera, Oriental Mindoro, Philippines. In S. Sudara, C. R. Wilkinson, & L. M. Chou (Eds.), *Proceedings Third ASEAN-Australia Symposium on Living Coastal Resources: Vol. 2* (pp. 157-160). Townsville, Australia: Australian Institute of Marine Science.

Babcock, R., & Mundy, C. (1996). Coral recruitment: Consequences of settlement choice for early growth and survivorship in two scleractinians. *Journal of Experimental Marine Biology and Ecology*, 206, 179-201.

- Babcock, R. C. (1988). Fine-scale spatial and temporal patterns in coral settlement. In J. H. Choat, D. Barnes, M. A. Browitzka, J. C. Coll, P. J. Davies, P. Flood et al. (Eds.), *Proceedings of Sixth International Coral Reef Symposium: Vol. 2* (pp. 635-639). Queensland, Australia: The Sixth International Coral Reef Symposium.
- Babcock, R. C., & Heyward, A. J. (1986). Larval development of certain gamete-spawning scleractinian corals. *Coral Reefs*, 5, 111-116.
- Babcock, R. C., Baird, A. H., Piromvaragorn, S., Thomson, D. P., & Willis, B. L. (2003). Identification of scleractinian coral recruits from Indo-Pacific reefs. *Zoological Studies*, 42, 211-226.
- Baird, A. H., & Babcock, R. C. (2000). Morphological differences among three species of newly settled Pocilloporid coral recruits. *Coral Reefs*, 19, 179-183.
- Baird, A. H., Marshall, P. A., & Wolstenholme, J. (2000). Latitudinal variation in the reproduction of *Acropora* in the Coral Sea. In K. M. Moosa, S. Soemodihardjo, A. Soegiarto, K. Romimohtarto, A. Nontji, & S. Suharsono (Eds.), *Proceeding Ninth International Coral Reef Symposium: Vol. 1* (pp. 385-389). Bali, Indonesia: The Ninth International Coral Reef Symposium.
- Baird, A. H., Campbell, S. J., Anggoro, A. W., Ardiwijaya, R. L., Fadli, N., Herdiana, Y. et. al. (2005). Acehnese reefs in the wake of the Asian Tsunami. *Current Biology*, 15, 1926-1930.
- Birkeland, C. (Ed.). (1997). *Life and death of coral reefs*. New York: International Thomson.

- Birrell, C. L., McCook, L. J., & Willis, B. (2005). Effects of algal turfs and sediment on coral settlement. *Marine Pollution Bulletin*, 51, 408-414.
- Brown, E. K. (2004, June-July). *Settlement patterns and early life history strategies of the dominant reef building corals at selected sites on Maui, Hawaii*. Paper presentation at the Tenth International Coral Reef Symposium, Okinawa, Japan.
- Burns, T. P. (1985). Hard-coral distribution and cold-water disturbances in South Florida: Variation with depth and location. *Coral Reefs*, 4, 117-124.
- Carleton, J. H., & Done, T. J. (1995). Quantitative video sampling of coral reef benthos: Large-scale application. *Coral Reefs*, 14, 35-46.
- Carlon, D. B. (2002). Production and supply of larvae as determinants of zonation in a brooding tropical coral. *Journal of Experimental Marine Biology and Ecology*, 268, 33-46.
- Cervino, J. M., Hayes, R. L., Honovich, M., Goreau, T. J., Jones, S., & Rubec, P. J. (2003). Changes in zooxanthellae density, morphology, and mitotic index in hermatypic corals and anemones exposed to cyanide. *Marine Pollution Bulletin*, 46, 573-586.
- Chanfi, D. (2004, June-July). *Recruitment of scleractinian corals at Mayotte (Indian Ocean)*. Paper presentation at the Tenth International Coral Reef Symposium, Okinawa, Japan.
- Clarke, K. R., Warwick, R. M., & Brown, B. E. (1993). An index breakdown of seriation, related to disturbance, in a coral-reef assemblage. *Marine Ecology Progress Series*, 102, 153-160.

- Clark, S., & Edwards, A. J. (1995). Coral transplantation as an aid to reef rehabilitation: Evaluation of a case study in the Maldives Island. *Coral Reefs*, 14, 201-213.
- Cochard, R., Ranamukhaarachchi, S. L., Shivakoti, G. P., Shipin, O. V., Edwards, P. J., & Seeland, K. T. (2008). The 2004 tsunami in Aceh and Southern Thailand: A review on coastal ecosystems, wave hazards and vulnerability. *Perspectives in Plant Ecology, Evolution and Systematics*, 10, 3-40.
- Comley, J., O'Farrell, S., Hamylton, S., Ingwersen, C., & Walker, R. (Eds.). (2005). *Report prepared: The impact of the December 2004 Indian Ocean Tsunami on the coral reef resources of Mu Ko Surin Marine National Park, Thailand*. London, UK: Coral Cay Conservation.
- Connell, J. H., Hughes, T. P., & Wallace, C. C. (1997). A 30-year study of coral abundance, recruitment, and disturbance at several scales in space and time. *Ecological Monographs*, 67(4), pp. 461-488.
- Cox, E. F., & Ward, S. (2002). Impact of elevated ammonium on reproduction in two Hawaiian scleractinian corals with different life history patterns. *Marine Pollution Bulletin*, 44, 1230-1235.
- Dai, C. F., Soong, K., & Fan, T. Y. (1992). Sexual reproduction of coral in Northern and Southern Taiwan. In R. H. Richmond (Ed.), In R. H. Richmond (Ed.), *Proceedings of the Seventh International Coral Reef Symposium: Vol. 1* (pp. 448-455). Mangilao, GU: University of Guam Press.

- Dollar, S. J. (1982). Wave stress and coral community structure in Hawaii. *Coral Reefs*, 1, 71-81.
- Dunstan, P. K., & Johnson, C. R. (1998). Spatio-temporal variation in coral recruitment at different scales on Heron Reef, southern Great Barrier Reef. *Coral Reefs*, 17, 71-81.
- Edmunds, P. J., Bruno, J. F., & Carlon, D. B. (2004). Effects of depth and microhabitat on growth and survivorship of juvenile corals in the Florida Keys. *Marine Ecology Progress Series*, 278, 115-124.
- English, S., Wilkison, C., & Baker, V. (Eds.). (1997). *Survey manual for tropical marine resources* (2nd ed.). Townsville, Australia: Australian Institute of Marine Science.
- Fadlallah, Y. H. (1983). Sexual reproduction, development and larval biology in scleractinian corals. *Coral Reefs*, 2, 129-150.
- Fan, T.-Y., Lin, K.-H., Kuo, F.-W., Soong, K., Liu, L.-L., & Fang, L.-S. (2006). Diel patterns of larval release by five brooding scleractinian corals. *Marine Ecology Progress Series*, 321, 133-142.
- Fernando, J., Braun, A., Galappatti, R., Ruwanpura, J., & Wirasinghe, S. C. (2005). *The Indian Ocean Tsunami of December 26, 2004: A journey through the disaster with an emphasis on Sri Lanka*. Retrieved April 12, 2008, from http://www.schulich.ucalgary.ca/resrch_civil/publications/IndianOceanTsunami.doc

- Fernando, H. J. S., Samarawickrama, S. P., Balasubramanian, S., Hettiarachchi, S. S. L., & Voropayev, S. (2008). Effects of porous barriers such as coral reefs on coastal wave propagation. *Journal of Hydro-environment Research*, 1, 187-194.
- Fitzhardinge, R. C. (1988). Coral recruitment: The importance of interspecific differences in juvenile growth and mortality. In J. H. Choat, D. Barnes, M. A. Browitzka, J. C. Coll, P. J. Davies, P. Flood et al. (Eds.), *Proceedings of the Sixth International Coral Reef Symposium: Vol. 2* (pp. 673-678). Queensland, Australia: The Sixth International Coral Reef Symposium.
- Fox, H. E. (2004). Coral recruitment in blasted and unblasted sites in Indonesia: Assessing rehabilitation potential. *Marine Ecology Progress Series*, 269, 131-139.
- Fox, H. E., Pet, J. S., Dahuri, R., & Caldwell, R. L. (2003). Recovery in rubble fields: Long-term impacts of blast fishing. *Marine Pollution Bulletin*, 46, 1024-1031.
- Glassom, D., Celliers, L., & Schleyer, (2006). Coral recruitment patterns at Sodwana Bay, South Africa. *Coral Reefs*, 25, 485-492.
- Gleason, M. G. (1996). Coral recruitment in Moorea, French Polynesia: The importance of patch type and temporal variation. *Journal Experimental Marine Biology and Ecology*, 207, 79-101.

- Gleason, A. C. R., Liman, D., Williams, D., Gracias, N. R., Gintert, B. G., Madjidi, H., Reid, R. P. et al. (2007). Documenting hurricane impacts on coral reefs using two-dimensional video-mosaic technology. *Marine Ecology*, 28(2), 254-258.
- Goffredo, S., & Chadwick-Furman, N. E. (2000). Abundance distribution of mushroom corals (Scleractinian: Fungiidae) on a coral reef at Eilat, Northern Red Sea. *Bulletin of Marine Science*, 66(1), 241-254.
- Goto, K., Chavanich, S. A., Imamura, F., Kunthasap, P., Matsui, T., Minoura, K. et al. (2007). Distribution, origin and transport process of boulders deposited by the 2004 Indian Ocean tsunami at Pakarang Cape, Thailand. *Sedimentary Geology*, 202, 821-837.
- Gusiakov, V. K. (2005). Tsunami generation potential of different tsunamigenic regions in the Pacific. *Marine Geology*, 215, 3-9.
- Harriott, V. K., & Fisk, D. A. (1987). A comparison of settlement plate types for experiment on the recruitment of scleractinian corals. *Marine Ecology Progress Series*, 37, 201-208.
- Hayashibara, T., Shimoike, K., Kimura, T., Hosaka, S., Heyward, A., Harrison, P. et al. (1993). Patterns of coral spawning at Akajima Island Okinawa, Japan, *Marine Ecology Progress Series*, 101, 253-262.
- Heyward, A. Yamasato, K., Yeemin, T., & Minei, M. (1987). Sexual reproduction of corals in Okinawa. *Galaxea*, 6, 331-343.
- Highsmith, R. C. (1982). Reproduction by fragmentation in corals. *Marine Ecology Progress Series*, 7, 207-226.

- Hutchinson, N., & Williams, G. A. (2001). Spatio-temporal variation in recruitment on a seasonal, tropical rocky shore: The importance of local versus non-local processes. *Marine Ecology Progress Series*, 215, 57-68.
- Kayanne, H., Harii, S., Ide, Y., & Akimoto, F. (2002). Recovery of coral populations after the 1998 bleaching on Shiraho Reef, in the southern Ryukyus, NW Pacific. *Marine Ecology Progress Series*, 239, 93-103.
- Kench, P. S., Nichol, S. L., Smithers, S. G., McLean, R. F., & Brander, R. W. (2008). Tsunami as agents of geomorphic change in mid-ocean reef islands. *Geomorphology*, 95, 361–383.
- Kenyon, J. C. (1992). Sexual reproduction in Hawiian *Acropora*. *Coral Reef*, 11, 37-43.
- Kojis, B. L., & Quinn, N. (1982). Reproductive ecology of two Faviid Corals (Coelenterata: Scleractinia). *Marine Ecology Progress Series*, 8, 251-255.
- Kružić, P. (2007). Polyp expulsion of the coral *Cladocora caespitosa* (Anthozoa, Scleractinia) in extreme sea temperature conditions. *Natura Croatica*, 16(3), 211-214.
- Lam, K. K. Y. (2000). Sexual reproduction of a low-temperature tolerant coral *Oulastrea crispata* (Scleractinia, Faviidae) in Hong Kong, China. *Marine Ecology Progress Series*, 205, 101-111.
- Lam, K. K. Y. (2003). Coral recruitment onto an experimental pulverised fuel ash-concrete artificial reef. *Marine Pollution Bulletin*, 46, 642-653.
- Lirman, D. (2000). Fragmentation in the branching coral *Acropora palmata* (Lamarck): growth, survivorship, and reproduction of colonies and fragments. *Journal Experimental Marine Biology and Ecology*, 251, 41-57.

- Marchand, H. (2006). Impacts of the tsumami on a Marine National Park area-Case study of Lanta Island (Thailand). *Ocean & Coastal Management*, 49, 923-946.
- Massel, S. R., & Done, T. J. (1993). Effects of cyclone waves on massive coral assemblages on the Great Barrier Reef: Meteorology, hydrodynamics and demography. *Coral Reefs*, 12, 153-166.
- Minchinton, T. E., & Scheibling, R. E. (1993). Free space availability and larval substratum selection as determinants of barnacle population structure in a developing rocky intertidal community. *Marine Ecology Progress Series*, 233, 233-244.
- Muko, S., Sakai, K., & Iwasa, Y. (2001). Dynamics of marine sessile organisms with space-limited growth and recruitment: Application to corals. *Journal of Theoretical*, 210, 67-80.
- Munasik, (2004, June-July). *Reproductive biology of scleractinian coral Acropora aspera at Panjang Island, Java Sea*. Paper presentation at the Tenth International Coral Reef Symposium, Okinawa, Japan.
- Nishikawa, A., Kotoh, M., & Sakai, K. (2003). Larval settlement rates and gene flow of broadcast-spawning (*Acropora tenuis*) and planula-brooding (*Stylophora pistillata*) corals. *Marine Ecology Progress Series*, 256, 87-97.
- Page, C., Coleman, G., Ninio, R., & Osborne, K. (2001). *Survey benthic reef communities using underwater video*. Townsville, Australia: Australian Institute of Marine Science.

- Pearson, R. G. (1981). Recovery and recolonization of coral reefs. *Marine Ecology Progress Series*, 4, 105-122.
- Raymundo, L. J., Maypa, A. P., Gomez, E. D., & Cadiz, P. (2007). Can dynamite-blasted reefs recover?: A noval, low-tech approach to stimulating natural recovery in fish and coral populations. *Marine Pollution Bulletin*, 54(7), 1009-1019.
- Reichelt, R. E., Loya, Y., & Bradbury, R. H. (1986). Patterns in the use of space by benthic communities on two coral of the Great Barrier Reef. *Coral Reefs*, 5, 73-79.
- Richmond, R. H. (1988). Competency and dispersal planula larvae of a spawning versus a brooding coral. In J. H. Choat, D. Barnes, M. A. Browitzka, J. C. Coll, P. J. Davies, P. Flood et al. (Eds.), *Proceedings of Sixth International Coral Reef Symposium: Vol. 2* (pp. 827-831). Queensland, Australia: The Sixth International Coral Reef Symposium.
- Richmond, R. H., & Hunter, C. H. (1990). Reproduction and recruitment of corals: Comparisons among the Caribbean, the Tropical Pacific, and the Red Sea. *Marine Ecology Progress Series*, 60, 185-203.
- Rinkevich, B., & Loya, Y. (1979). The reproduction of the Red Sea coral *Stylophora pistillata*. I. gonads and planulae. *Marine Ecology Progress Series*, 1, 133-144.
- Rogers, C. S. (1993). Hurricanes and coral reefs: The intermediate disturbance hypothesis revisited. *Coral Reefs*, 12, 127-137.

- Rogers, C. S., Garrison, G., Grober, R., Hillis, Z., Hillis, M., & Franke, M. A. (1994). *Coral reef monitoring manual for the Caribbean and Western Atlantic*. Virgin Islands National Park, VI: National Park Service.
- Rogers, C. S., McLain, L. N., & Tobias, C. R. (1991). Effects of Hurricane Hugo (1989) on a coral reef in St. John, USVI. *Marine Ecology Progress Series*, 78, 189-199.
- Sakai, K. (1997). Gametogenesis, spawning, and planula brooding by the reef coral *Goniastrea aspera* (Scleractinia) in Okinawa, Japan. *Marine Ecology Progress Series*, 151, 67-72.
- Sammarco, P. W. (1982). Polyp bail-out: An escape response to environmental stress and a new means of reproduction in corals. *Marine Ecology Progress Series*, 10, 57-65.
- Sammarco, P. W. (1991). Geographically specific recruitment and post-settlement mortality as influences on coral communities: the cross-shelf transplant experiment. *Limnology and Oceanography*, 36, 496-514.
- Sheppard, C., Dixon, D. J., Gourlay, M., Sheppard, A., & Payet, R. (2005). Coral mortality increases wave energy reaching shores protected by reef flats: Examples from the Seychelles. *Estuarine, Coastal and Shelf Science*, 64, 223-234.
- Shimoike, K., Hayashibara, T., Kimura, T., & Omori, M. (1992). Observation of spilt spawning in *Acropora* spp. at Akajima Island, Okinawa. In R. H. Richmond (Ed.), *Proceedings of Seventh International Coral Reef Symposium: Vol. 1* (pp. 484-488). Mangilao, GU: University of Guam Press

- Shimoike, K., Hayashibara, T., Kimura, T., & Omori, M. (1993). Patterns of coral spawning Akajima Island, Okinawa, Japan, *Marine Ecology Progress Series, 101*, 253-263.
- Smith, L. D., Devlin, M., Haynes, D., & Gilmour, J. P. (2005). A demographic approach to monitoring the health of coral reefs. *Marine Pollution Bulletin, 51*, 399-407.
- Smith, L. D., & Hughes. (1999). An experiment assessment of survival, re-attachment and fecundity of coral fragments. *Journal of Experimental Marine Biology and Ecology, 235*, 147-164.
- Soong, K. (1993). Colony size as a species character in massive reef corals. *Coral Reefs, 12*, 77-83.
- Soong, K., Chen, M.-H., Chen, C.-L., Dai, C.-F., Fan, T.-Y., & Li, J.-J. (2003). Spatial and temporal variation of coral recruitment in Taiwan. *Coral Reefs, 22*, 224-228.
- Stoddart, J. A. (1983). A sexual production of planulae in the coral *Pocillopora damicornis*. *Marine Biology, 76*, 279-284.
- Stoddart, J. A., & Black, R. (1985). Cycles of gametogenesis and planulation in the coral *Pocillopora damicornis*. *Marine Ecology Progress Series, 23*, 153-164.
- Stoddart, B. Babcock, R. C., & Willis, B. L. (1992). Biannual spawning of three species of scleractinian coral from the Great Barrier Reef. In R. H. Richmond (Ed.), *Proceedings of the Seventh International Coral Reef Symposium: Vol. 1* (pp. 494-499). Mangilao, GU: University of Guam Press.

- Sudara, S., Yeemin, T., & Amornsakchai, S. (1994). Recruitment of Scleractinian corals at Pha-nga Island, Gulf of Thailand: an experimental approach. In S. Sudara, C. R. Wilkinson, & L. M. Chou (Eds.), *Proceedings Third ASEAN-Australia Symposium on Living Coastal Resources: Vol. 2* (pp. 149-155). Townsville, Australia: Australian Institute of Marine Science.
- Szmant, A. M. (1986). Reproduction ecology of Caribbean reef corals. *Coral Reefs*, 5, 43-54.
- Szmant, A. M. (1991). Sexual reproduction by the Caribbean reef corals *Montastrea annularis* and *M. cavernosa*. *Marine Ecology Progress Series*, 74, 13-25.
- Tanner, J. E. (1996). Seasonality and lunar periodicity in the reproduction of Pocilloporid corals. *Coral Reefs*, 15, 59-66.
- Tioho, H., Tokeshi, M., & Nojima, S. (2001). Experimental analysis of recruitment in a scleractinian coral at high latitude. *Marine Ecology Progress Series*, 213, 79-86.
- Twan, W.-H., Hwang, J.-S., Lee, Y.-H., Wu, H.-F., Tung, Y.-H., & Chang, C.-F. (2006). Hormones and reproduction in scleractinian corals. *Comparative Biochemistry and Physiology*, 144, 247-253.
- Van Moorsel , G. W. N. M. (1988). Early maximum growth of stony corals (Scleractinia) after settlement on artificial substrata on a Caribbean reef. *Marine Ecology Progress Series*, 50, 127-135.

- Van Veghel, M. L. J. (1994). Reproductive characteristics of the polymorphic Caribbean reef building coral *Monastrea annularis*. I. Gametogenesis and spawning behavior. *Marine Ecology Progress Series*, 109, 209-219.
- Veron, J. E. N. (1986). *Corals of Australia and the Indo-Pacific*. New South Wale, Australia: Angus & Robertson.
- Veron, J. E. N. (1995). *Corals of Australia and the Indo-Pacific*. Queensland, Australia: Australian Institute of Marine Science.
- Veron, J. E. N. (2000). *Corals of the world*. Queensland, Australia: Australian Institute of Marine Science.
- Vermeij, M. J. A. (2005). Substrate composition and distribution determine recruitment patterns in a Caribbean brooding coral. *Marine Ecology Progress Series*, 293, 123-133.
- Ward, S., & Harrison, P. (2000). Changes in gametogenesis and fecundity of acroporid corals that were exposed to elevated nitrogen and phosphorus during the ENCORE experiment. *Journal of Experiment Marine Biology and Ecology*, 246, 179-221.
- Wallace, C. C. (1985). Reproduction, recruitment and fragmentation in nine sympatric species of the coral genus *Acropora*. *Marine Biology*, 88, 217-233.
- Wallace, C. C. (1999). *Staghorn corals of the world*. Victoria, Australia: CSIRO
- Wilkinson, C., Souter, D., & Goldberg, J. (2006). *Status of coral reefs in Tsunami affected countries: 2005*. Queensland, Australia: Australian Institute of Marine Science.

- Willis, B. L., & Oliver, J. K. (1988). Inter-reef dispersal of coral larvae following the annual mass spawning on the Great Barrier Reef. In J. H. Choat, D. Barnes, M. A. Browitzka, J. C. Coll, P. J. Davies, P. Flood et al. (Eds.), *Proceedings of Sixth International Coral Reef Symposium* (Vol. 2, 853-859). Queensland, Australia: The Sixth International Coral Reef Symposium.
- Yap, H. T., Montebon, A. R. F., & Dizon, R. M. (1994). Energy flow and seasonality in a tropical coral reef flat. *Marine Ecology Progress Series*, 103, 35-43.
- Yeemin, T. (1988). *A comparative study of reproductive biology in four congeneric species of scleractinian corals (Montipora) from Okinawa*. Unpublished master's thesis University of the Ryukyus, Okinawa, Japan.
- Yeemin, T., Nojima, S., & Kikuchi, T. (1990). Sexual reproduction of a scleractinian coral, *Montipora valenciennesi*, from a high-latitude coral community, southwest Japan. *Public Amakusa Marine Biological Laboratory*, 10(2), 105-121.
- Yeemin, T., & Sudara, S. (1992). The role of coral recruitment in problems of coral reef development: A perspective view. In L. M. Chou & C. R. Wilkinson (Eds.), *Proceedings Third ASEAN Science and Technology Week: Vol. 6* (pp. 15-25). Singapore: National University of Singapore.

- Yeemin, T., Sudara, S., & Amornsakchai, S. (1992). Distribution and Abundance of juvenile corals at Pha-Ngan Island, Tao Island and Nang-Yuan Island, Gulf of Thailand. In L. M. Chou & C. R. Wilkinson (Eds.), *Proceedings of Third ASEAN Science and Technology Week: Vol. 6* (pp. 63-67). Singapore: National University of Singapore.
- Yeemin, T., Sudara, S., & Amornsakchai, S. (1994). Recruitment of scleractinian corals at Pha-Ngan Island, Gulf of Thailand: An experimental approach. In S. Sudara, C. R. Wilkinson, & L. M. Chou (Eds.), *Proceedings of Third ASEAN-Australia Symposium on Living Coastal Resources: Vol. 2* (pp. 149-155). Bangkok: Chulalongkorn University.

ประวัติผู้เขียน

ชื่อ ชื่อสกุล นายชัยพิชิต แสงให้สุข
วัน เดือน ปีเกิด 1 กุมภาพันธ์ 2522
สถานที่เกิด กรุงเทพมหานคร
วุฒิการศึกษา สำเร็จการศึกษาระดับชั้นมัธยมศึกษาตอนปลาย
จากโรงเรียนจันทร์ประดิษฐารามวิทยาคม จังหวัดกรุงเทพมหานคร
ปีการศึกษา 2540
สำเร็จการศึกษาระดับปริญญาตรีวิทยาศาสตรบัณฑิต (วิทยาศาสตร์
สิ่งแวดล้อม) จากมหาวิทยาลัยรามคำแหง ปีการศึกษา 2544
ตำแหน่งหน้าที่ ตำแหน่งผู้จัดการงานปัจจุบัน
การงานปัจจุบัน นักวิจัย กลุ่มวิจัยความหลากหลายทางชีวภาพในทะเล
มหาวิทยาลัยรามคำแหง